

١٢



الفيزياء

للفصل الثاني عشر

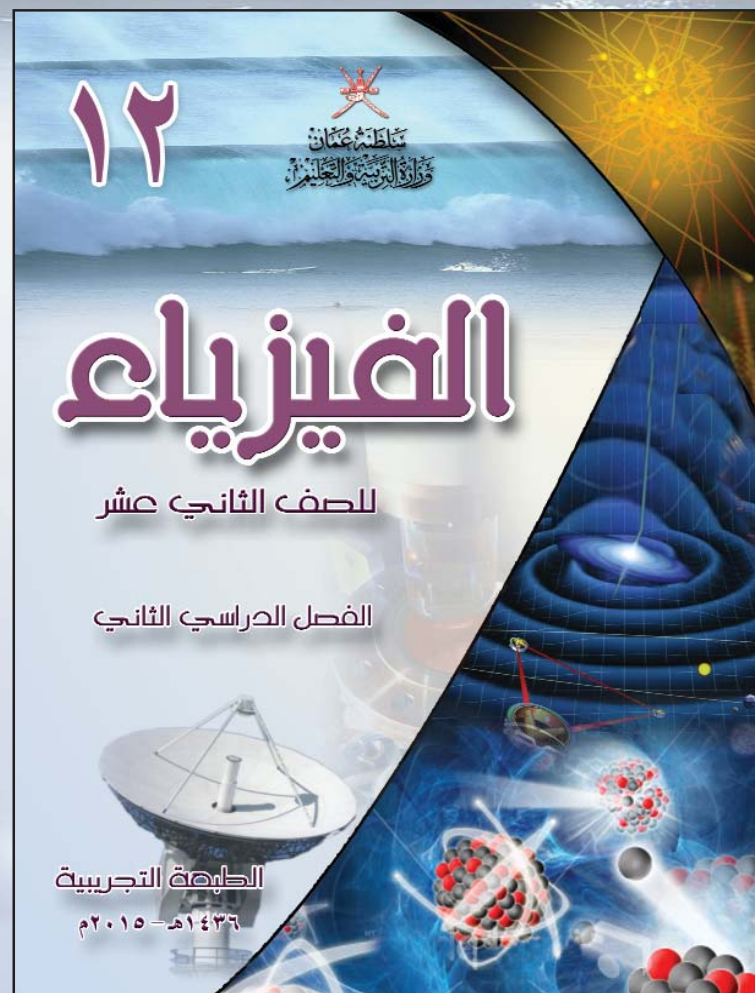
الفصل الدراسي الثاني

الطبيعة التجريبية

٢٠١٥ - ١٤٣٦ م



سُلْطَانَةُ عُمَانُ
وَزَارُونَهُ التَّرْبِيَّةُ وَالْعُلُومُ



الطبعة التجريبية

م٢٠١٥ - ١٤٣٦



حضره صاحب الجلاله السلطان قابوس بن سعيد المعظم

الفيزياء للصف الثاني عشر

جميع حقوق الطبع والنشر والتوزيع فوطة لوزارة التربية والتعليم

لجنتي تأليف ومراجعة كتاب الفيزياء للصف الثاني عشر

أولاً: لجنة التأليف:

- ٢- عفاف بنت علي الواتية
- ٤- مياء بنت سعيد العزري
- ١- سعيد بن سالم الحارثي
- ٣- سعيد بن سعد الخروصي
- ٥- مد بن خلفان العاصمي



ثانياً: لجنة المراجعة:

- ٢- د. معتز بن سعيد البرواني
- ٤- حارث بن مد العزري
- ٦- عاتكة بنت إبراهيم الكندية
- ٨- شمسة بنت جمعة الحميدية
- ١- د. عصام بن صادق بن علي
- ٣- سالم بن سن الشقسي
- ٥- موسى علي العمairyة
- ٧- أمل بنت مد اليقوبية

إدخال البيانات:

خالد بن محمد بن صالح الفارسي

التحقيق اللغوي:

فاطمة بنت سيف الهاشمية

إعداد الصور والأشكال:

حميد بن ناصر الجابري

الإشراف الفني:

مركز إنتاج الكتاب المدرسي والوسائل التعليمية بالمديرية العامة لتطوير المناهج.

الوحدة الثالثة الموجات الكهرومغناطيسية

Electromagnetic Waves

١٤

الفصل الخامس: الطبيعة الموجية للضوء

Wave Nature of Light

- | | | |
|----|---|--|
| ١٦ | <i>How Electromagnetic Waves are formed ?</i> | (١-٥) كيف ت تكون الموجات الكهرومغناطيسية |
| ١٨ | <i>Electromagnetic Spectrum and Light</i> | (٢-٥) الضوء والطيف الكهرومغناطيسي |
| ٢١ | <i>Measuring the Speed of Light</i> | (٣-٥) قياس سرعة الضوء |
| ٢٢ | <i>Reflection and Refraction of light</i> | (٤-٥) انعكاس الضوء وانكساره |
| ٢٧ | | الاستكشاف (١) قانون سنتل |
| ٣٣ | <i>Mirrors and Lenses</i> | (٥-٥) العدسات والمرايا |
| ٣٣ | | الاستكشاف (٢) : الصور المتكونة في المرايا المستوية |
| ٤٧ | | الاستكشاف (٣) : مشاهدة بؤرة العدسة |
| ٥٣ | <i>Interference and Diffraction of Light</i> | (٦-٥) تداخل وحيود الضوء |
| ٦١ | | أسئلة الفصل |

٦٨

الفصل السادس: التأثير الكهروضوئي

Photoelectric Effect

- | | | |
|----|--|---------------------------------------|
| ٧٠ | <i>Quantization of Energy</i> | (١-٦) تحليم الطاقة. |
| ٧٢ | <i>Quantum Theory</i> | (٢-٦) نظرية الكم. |
| ٧٦ | <i>Photoelectric Effect</i> | (٣-٦) التأثير الكهروضوئي. |
| ٨٣ | | الاستكشاف (١) : اطلاق الكرة |
| ٨٧ | <i>Applications for photoelectric effect</i> | (٤-٦) تطبيقات على التأثير الكهروضوئي. |
| ٨٨ | <i>Compton Effect</i> | (٥-٦) تأثير كومبتون. |
| ٩٣ | | أسئلة الفصل |

الوحدة الرابعة الفيزياء الذرية

Atomic Physics

١٠٤

الفصل السابع: تطور النموذج الذري

The Development of Atomic Model

- | | | |
|-----|---|--|
| ١٠٦ | <i>Discovery of the electron and its properties</i> | (١ - ٧) اكتشاف الإلكترون وخصائصه. |
| ١٠٧ | <i>Thomson Experiment</i> | (٢ - ٧) تجربة تومسون. |
| ١١٠ | <i>Early Models Of The Atom</i> | (٣ - ٧) النماذج الأولى للذرة. |
| ١١٢ | | الاستكشاف (١) : استكشاف النموذج الذري. |
| ١١٣ | <i>Atomic Spectra And The New Structure of the Atom</i> | (٤ - ٧) الأطيف الذري، والنموذج الذري الحديث. |
| ١١٤ | <i>Waves Nature of Matter</i> | (٥ - ٧) الطبيعة الموجية للمادة. |
| ١٢٢ | | أسئلة الفصل |
| ١٢٦ | | |

١٣٢

الفصل الثامن: الطاقة النووية

Nuclear Energy

- | | | |
|-----|---|---|
| ١٣٤ | <i>Radioactivity</i> | |
| ١٤٠ | <i>Nuclear Binding Energy</i> | (١-٨) النشاط الإشعاعي |
| ١٤٥ | <i>Nuclear Stability and the Emission of Alpha and Beta Particles</i> | (٢-٨) طاقة الربط النووي |
| ١٤٨ | <i>Radioactivity and the Half life</i> | (٣-٨) استقرار النواة وإشعاع جسيمات ألفا وبيتا |
| ١٤٩ | | (٤-٨) الانحلال الإشعاعي وعمر النصف |
| ١٥٢ | <i>Decay Series</i> | الاستكشاف (١) : تناقص نشاطية المواد المشعة عبر الزمن. |
| ١٥٣ | <i>Nuclear Fission</i> | (٥-٨) سلاسل الانحلال |
| ١٥٦ | <i>Chain Reaction</i> | (٦-٨) الانشطار النووي |
| ١٥٨ | <i>Nuclear Reactor</i> | (٧-٨) التفاعل المتسلسل |
| ١٦١ | <i>Nuclear Fusion</i> | الاستكشاف (٢) : تفاعل سلسلة قطع الدومنة. |
| ١٦٤ | | (٨-٨) المفاعل النووي |
| | | (٩-٨) الاندماج النووي |

أسئلة الفصل



تقديم

الحمد لله نحمده تمام الحمد، ونصلی ونسلام على خير خلقه سیدنا محمد وعلى آله وصحبه
أجمعین... وبعد

تحرص وزارة التربية والتعليم على تجويد العملية التعليمية من خلال إرساء قواعد منظومة تعليمية متكاملة تلبی احتياجات البيئة العمانية وتتناسب مع متطلباتها الحالية.

وبعد مراجعة النظام التعليمي للسلطنة وقياس مستوى أداءه وتحديد أهم التحديات التي تواجهه، قامت وزارة التربية والتعليم بإعادة ترتيب أولوياتها، وتنظيم جهودها لإحداث التطوير بما يتناشى مع توجهات السلطنة ورؤيتها المستقبلية، حيث جرى تطوير الأهداف العامة للتربية، والخطة الدراسية التي أولت اهتماماً أكبر للمواد العلمية وتدريس اللغات، واستحدثت مواد دراسية جديدة لمواكبة المستجدات على صعيدى تكنولوجيا المعلومات واحتياجات سوق العمل من المهارات، هذا فضلاً عن التطوير الذي أدخل على أساليب واستراتيجيات تدريس المناهج الدراسية التي أصبحت تعنى بالمتعلم باعتباره محور العملية التعليمية التعليمية.

إن النقلة النوعية التي نشهدها حالياً في العملية التعليمية أحدثت الكثير من التغييرات الجذرية ، فجاءت الكتب الدراسية متسقة بالحداثة والمرونة، والتوافق في موضوعاتها مع مستويات أبنائنا الطلبة والطالبات، وخصائص نموهم العقلي والنفسي، وثقافتهم الاجتماعية، واهتممت بالجوانب المهارية والفنية والرياضية البدنية تحقيقاً لمبدأً أصيل من مبادئ فلسفة التربية في السلطنة الداعي إلى بناء الشخصية المتكاملة للفرد، وعززت دور المتعلم في عملية التعلم من خلال إكسابه مهارات التعلم الذاتي والتعلم التعاوني، ولم يعد الكتاب المدرسي -بما يحويه من معارف ومهارات وقيم واتجاهات- إلا دليلاً يسترشد به الطالب للوصول إلى ما تخزننه مصادر المعلومات المختلفة كالمراجع المكتبية ومصادر التعلم الإلكترونية الأخرى من معارف، وعلى الطالب القيام بعملية البحث والتقصي للوصول إلى ما هو أعمق وأشمل. فإليكم أبنائي وبناتي الطلبة والطالبات نقدم هذا الكتاب راجين أن يجد عين الاهتمام منكم، ويكون لكم خير معين؛ لتحقيق ما نسعى إليه من تقدم ونماء هذا الوطن المعطاء تحت ظل القيادة الحكيمية لمولانا حضرة صاحب الجلالة السلطان قابوس بن سعيد المعظم حفظه الله ورعاه.

والله ولي التوفيق ،

د. مدیحة بنت احمد الشیبانیة
وزیرة التربية والتعليم

المقدمة

عزيزي الطالب :

يسرنا أن نقدم لك كتاب الفيزياء للصف الثاني عشر ، ليأتي مكملاً لسلسلة العلوم التي درستها في مرحلة التعليم الأساسي والفيزياء للصف الحادي عشر، آملين أن تكون قد وفينا في جعل موضوعاته أكثر سهولة، من خلال عرض المادة العلمية، عن طريق ربطها بالمفاهيم الفيزيائية في تسلسل واضح، متبعين الأسلوب العلمي في التفكير، ثم ربط تلك الموضوعات بالتطبيقات العملية في حياتنا اليومية.

لقد روعي في إعداد الكتاب طبيعة علم الفيزياء بصفته علمًا تجريبياً يبني على الملاحظة الموجةة والقياس الدقيق. لذا فقد اعتمدت في عرض المادة العلمية أساليب متنوعة تستند إلى استراتيجيات التدريس، من خلال الاستكشافات والأسئلة الاستقصائية التي تثير الطالب وتهيء للموضوع قيد الدرس، فضلاً عن الحوار المباشر مع الطالب لجعله محور العملية التعليمية. وقد جاءت لغة الكتاب محفزة للطالب على التفكير ومشجعة له على التفاعل المباشر مع المادة العلمية، وذلك من خلال طرح التساؤلات تحت عنوان "اخبر فهمك" . وللتبسيط والدقابة والإثراء احتوى الكتاب العديد من الرسومات والأشكال التوضيحية، إضافة إلى الأمثلة المتنوعة والتطبيقات العملية التي من شأنها أن تثير موضوع الدرس وتربطه بالحياة والمجتمع والتقانة. كما ضم الكتاب جملة من المعلومات ذات العلاقة وردت تحت عنوان " معلومة تهمك" ، وهي معلومات إثرائية ذات علاقة بموضوع الدرس غير خاضعة للتقويم والاختبارات.

لقد لعبت الفيزياء دوراً حيوياً في جعل العالم يبدو مثل قرية صغيرة، لذلك قمنا بوضع عدد من الواقع العلمية المقترحة الموجودة على الشبكة العالمية للاتصالات الدولية ليستفيد منها الطالب في إثراء معلوماته حول بعض موضوعات الكتاب.

يتكون كتاب الفيزياء من جزأين منفصلين، جزء للفصل الدراسي الأول يتكون من وحدتين هما: الكهرباء والمغناطيسية، والمجوّبات الميكانيكية والصوت ، وجزء للفصل الدراسي الثاني يتكون أيضاً من وحدتين هما: الموجات الكهرومغناطيسية، وفيزياء الذرة، حيث تضمنت كل وحدة من هذه الوحدات فصلين مختلفين، وتتضمن كل فصل عدداً من البنود المتراطة، وانتهت بمحاجمة من الأسئلة التي تعزز استيعاب الطالب لموضوعات الفصل.

الفصل الخامس :

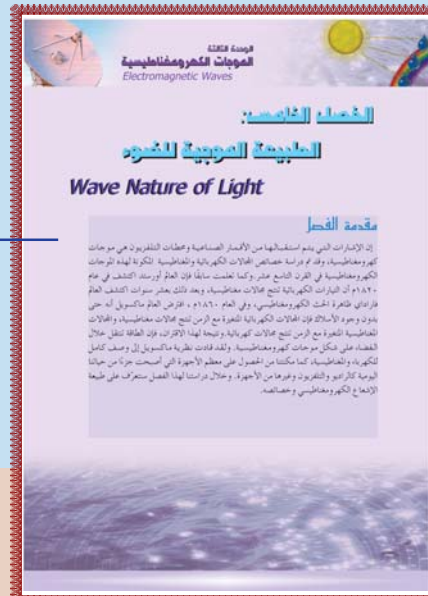
الطبيعة الموجية للضوء

Wave Nature of Light

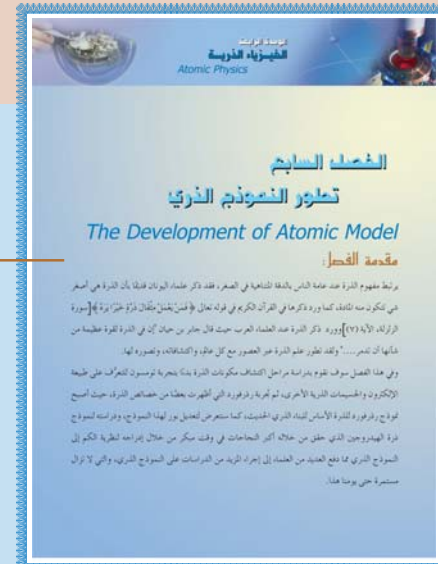


لفصل السابع: تطور النموذج الذري

The Development of Atomic Model



الفصل السادس: التأثير الكهروضوئي *Photoelectric Effect*



الفصل الثامن

ونسأله عز وجل التوفيق والنجاح لنا ولكم لما فيه خير أمتنا وبلدنا الحبيب سلطنة عمان . .
والله ولي التوفيق

المؤلفون

الوحدة الثالثة

الموجات الكهرومغناطيسية Electromagnetic Waves

الفصل الخامس: الطبيعة الموجية للضوء

الفصل السادس: التأثير الكهروضوئي

مقدمة الوحدة:

تساءل الناس لقرون طويلة عن ماهية الضوء، لكنهم لم يجدوا إجابة لهذا التساؤل حتى قدم العالم ماكسويل عام ١٨٦٤ م نظريته حول وجود الموجات الكهرومغناطيسية. وافتراض ماكسويل في هذه النظرية أن المجال الكهربائي المتغير يولد مجالاً مغناطيسيًا متغيرًا وهذا بدوره يؤدي إلى توليد مجال كهربائي متغير وهكذا ، وتنشر هذه الحالات في الفراغ على شكل موجات يطلق عليها "الموجات الكهرومغناطيسية".

وحسب هذه النظرية، فقد افترض ماكسويل أن الضوء المرئي عبارة عن موجات كهرومغناطيسية تسير في الفراغ بسرعة $3 \times 10^8 \text{ m/s}$. ولكن مع بداية القرن العشرين ظهرت ظواهر لم تستطع الفيزياء الكلاسيكية والنظرية الموجية تفسيرها مثل ظاهرة إشعاع الجسم الأسود والظاهرة الكهروضوئية، لذلك فسرها العالم أينشتاين عن طريق الطبيعة الجسيمية للضوء بالاستفادة من نظرية الكم لبلانك.

واستكمالاً لما درسته في الصفوف السابقة عن الضوء ستتعرف من خلال الفصل الأول من هذه الوحدة على كيفية تكون الموجات الكهرومغناطيسية وكيف أن الضوء المرئي يعتبر جزءاً من الطيف الكهرومغناطيسي ، ثم ستتعرف على خصائص الضوء باعتباره موجة كهرومغناطيسية كالانعكاس والانكسار والхиود والتداخل . أما الفصل الثاني فسيتم التعرض فيه إلى الخصائص الجسيمية للضوء والظواهر التي أيدت هذه النظرية كظاهرة التأثير الكهروضوئي وتأثير كومبتون.

الفصل الخامس
الطبيعة الموجية للضوء
Wave Nature of Light



ومن دراستك في هذه الوحدة سوف تكون قادرًا على الإجابة عن التساؤلات التي ربما تبادر إلى ذهنك يومًا ما مثل:

- ١- لماذا تبدو الأجسام المغمورة في الماء أقرب إلى سطح الماء مما هي عليه في الواقع؟
- ٢- لماذا يتكون قوس قزح عند سقوط ضوء الشمس على قطرات المطر ولماذا تحدث ظاهرة السراب؟
- ٣- ما تفسيرك للألوان الجميلة التي تتكون على فقاعات الصابون؟
- ٤- ما الظواهر التي توصل العلماء من خلالها إلى الطبيعة الجسيمية للضوء؟
- ٥- كيف تعمل البوابات الإلكترونية؟

خارطة مفاهيم

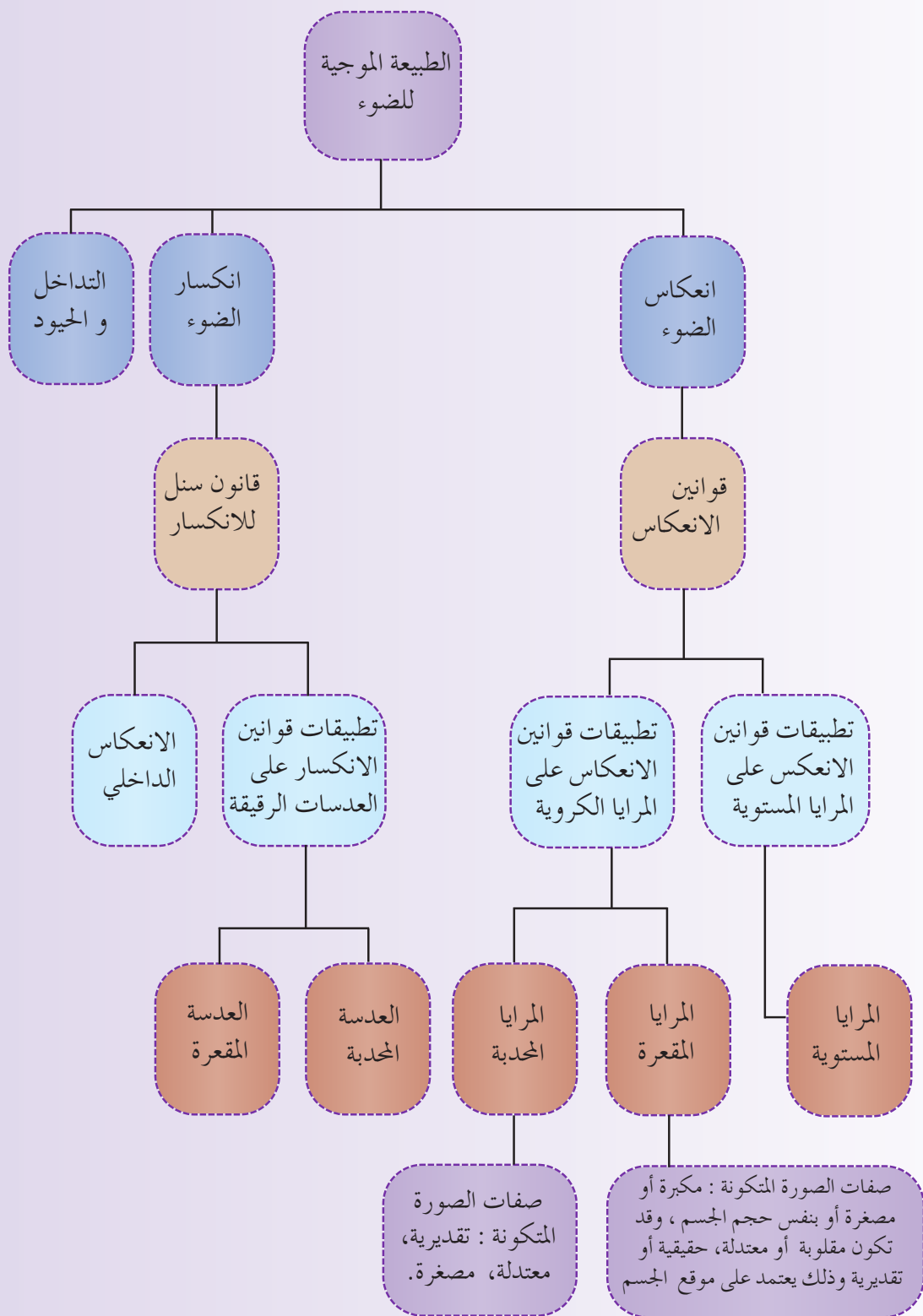
الفصل الخامس



الوحدة الثالثة

الموجات الكهرومغناطيسية

Electromagnetic Waves



الوحدة الثالثة
الموجات الكهرومغناطيسية
Electromagnetic Waves

الفصل الخامس:

الطبيعة الموجية للضوء

Wave Nature of Light

مقدمة الفصل

إن الإشارات التي يتم استقبالها من الأقمار الصناعية ومحطات التلفزيون هي موجات كهرومغناطيسية، وقد تم دراسة خصائص الحالات الكهربائية والمغناطيسية المكونة لهذه الموجات الكهرومغناطيسية في القرن التاسع عشر. وكما تعلمت سابقاً فإن العالم أورستد اكتشف في عام ١٨٢٠ م أن التيارات الكهربائية تنتج مجالات مغناطيسية، وبعد ذلك بعشرين سنة اكتشف العالم فارادي ظاهرة الحث الكهرومغناطيسى، وفي العام ١٨٦٠ م ، افترض العالم ماكسويل أنه حتى بدون وجود الأسلام فإن الحالات الكهربائية المتغيرة مع الزمن تنتج مجالات مغناطيسية، والحالات المغناطيسية المتغيرة مع الزمن تنتج مجالات كهربائية. ونتيجة لهذا الاقتران، فإن الطاقة تنتقل خلال الفضاء على شكل موجات كهرومغناطيسية. ولقد قادت نظرية ماكسويل إلى وصف كامل للكهرباء والمغناطيسية، كما مكتننا من الحصول على معظم الأجهزة التي أصبحت جزءاً من حياتنا اليومية كالراديو والتلفزيون وغيرها من الأجهزة. وخلال دراستنا لهذا الفصل سنتعرف على طبيعة الإشعاع الكهرومغناطيسي وخصائصه.

الموضوعات الرئيسية

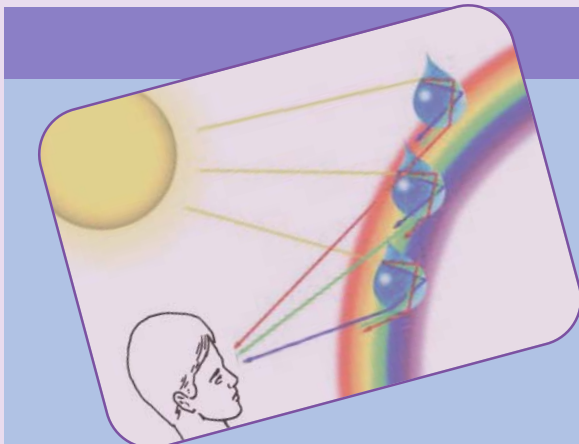
| | |
|---------------------------|---------------------------------------|
| ٤-٥ انعكاس الضوء وانكساره | ١-٥ كيف تتكون الموجات الكهرومغناطيسية |
| ٥-٥ العدسات والمرآيا | ٢-٥ الضوء والطيف الكهرومغناطيسي |
| ٦-٥ تداخل وحيود الضوء | ٣-٥ قياس سرعة الضوء |

الوحدة الثالثة

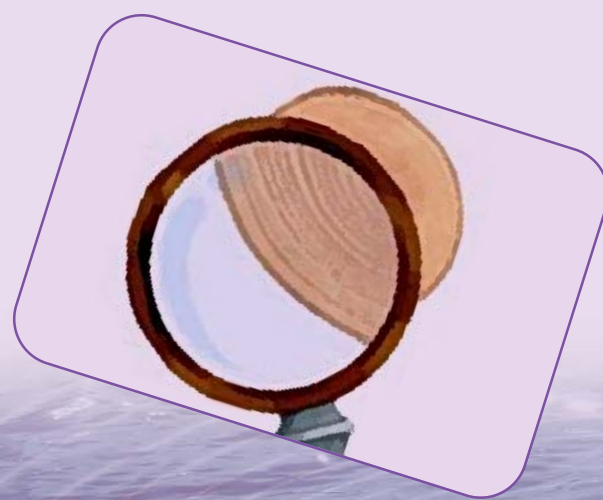
المواد الكهرومغناطيسية

Electromagnetic Waves

المصطلحات العلمية الجديدة



| | |
|------------------------|----------------------------------|
| الإشعاع الكهرومغناطيسي | <i>Electromagnetic Radiation</i> |
| الانعكاس المشتت | <i>Diffuse Reflection</i> |
| الانعكاس المنتظم | <i>Specular Reflection</i> |
| الانعكاس الداخلي الكلي | <i>Total Internal Reflection</i> |
| زاوية الخروجة | <i>Critical Angle</i> |
| مخطوطات الأشعة | <i>Rays Diagrams</i> |
| مركز التكبير | <i>Center of Curvature</i> |
| نصف قطر التكبير | <i>Radius of Curvature</i> |
| البؤرة | <i>Focal Point</i> |
| البعد البؤري | <i>Focal Length</i> |
| العدسة الجموعة | <i>Converging Lens</i> |
| العدسة المشتتة | <i>Diverging Lens</i> |
| المركز البصري | <i>Optical Center</i> |
| أهداب التداخل | <i>Interference Fringes</i> |
| محزوذ الحيود | <i>Diffraction Grating</i> |



عناوين الاستكشافات

* الاستكشاف (١) قانون سبل

* الاستكشاف (٢) : الصور المتكونة في المرايا المستوية

* الاستكشاف (٣) : مشاهدة بؤرة العدسة

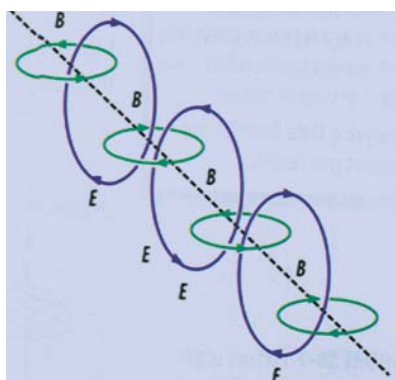
الوحدة الثالثة الموجات الكهرومغناطيسية Electromagnetic Waves

١ - ٥

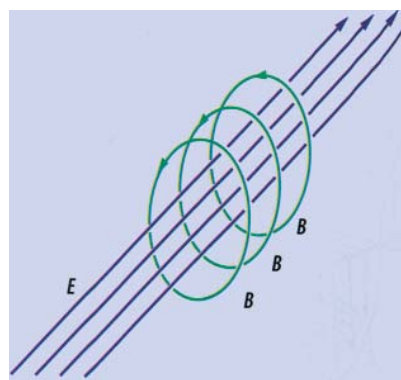
How Electromagnetic Waves are formed ?

وَجَدَ الْعَالَمُ أُورْسْتَدَ أَنَّ التِّيَارَ الْكَهْرَبَائِيَّ الْمَارِ فِي مَوْصِلٍ يَنْتَجُ مَحَالًا مَغَناطِيسِيًّا، وَالتَّغْييرَ فِي التِّيَارِ الْكَهْرَبَائِيِّ يَؤْدِي إِلَى تَغْييرٍ فِي الْمَحَالِ المَغَناطِيسِيِّ، كَمَا اكْتُشِفَ فَارَادِيُّ أَنَّ التَّغْييرَ فِي الْمَحَالِ المَغَناطِيسِيِّ يَؤْدِي إِلَى تَولُّدِ تِيَارٍ فِي السُّلْكِ كَمَا هُوَ مَوْضِعُ فِي الشَّكْلِ (٢-٥)، وَبِالْتَّالِي فَإِنَّ الْمَحَالِيَّ الْمَغَناطِيسِيَّ الْمُتَغَيِّرِ يَوْلُدُ تِيَارًا كَهْرَبَائِيًّا مَتَغَيِّرًا.

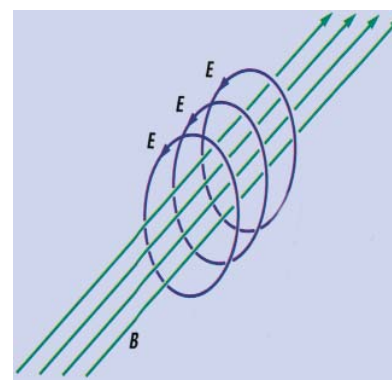
وَفِي عَامِ ١٨٦٠ م افْتَرَضَ الْعَالَمُ مَاكْسُوْيلَ أَنَّهُ يَمْكُنُ حَدُوثُ الْعَكْسِ، أَيَّ أَنَّ الْمَحَالِيَّ الْكَهْرَبَائِيَّ الْمُتَغَيِّرِ يَنْتَجُ مَحَالًا مَغَناطِيسِيًّا مَتَغَيِّرًا كَمَا هُوَ مَوْضِعُ فِي الشَّكْلِ (١-٥ بـ)، حِيثُ افْتَرَضَ أَنَّهُ بِإِمْكَانِ الْمَحَالِيَّ الْكَهْرَبَائِيَّ الْمُتَغَيِّرِ لَوْحَدَهُ تَولِيدُ مَحَالٍ مَغَناطِيسِيٍّ دُونَ وُجُودِ الشَّحْنَاتِ.



الشكل (٢-٥)



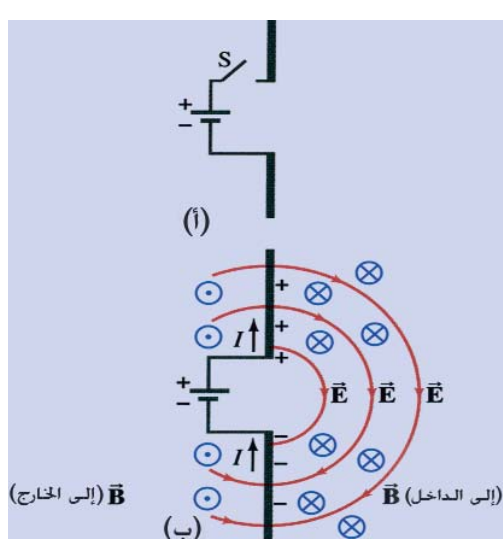
الشكل (١-٥ بـ)



الشكل (١-٥ أـ)

وَهَكَذَا فَإِنَّ الْمَحَالِيَّ الْمَغَناطِيسِيَّ الْمُتَغَيِّرِ يَنْتَجُ مَحَالًا كَهْرَبَائِيًّا مَتَغَيِّرًا، وَالَّذِي بِدُورِهِ يَؤْدِي إِلَى تَولُّدِ مَحَالٍ مَغَناطِيسِيٍّ مَتَغَيِّرًا وَهَكَذَا. وَقَدْ وَجَدَ مَاكْسُوْيلَ أَنَّ نَاتِجَ هَذَا التَّفَاعُلِ الْمُتَبَادِلِ بَيْنَ الْمَحَالِيَّينِ هُوَ مَوْجَةٌ مِنَ الْمَحَالِيَّاتِ الْكَهْرَبَائِيَّةِ وَالْمَغَناطِيسِيَّةِ الَّتِي تَنْتَشِرُ فِي الْفَضَاءِ، كَمَا هُوَ مَوْضِعُ فِي الشَّكْلِ (٢-٥).

وَيَكْتُنَا بِشَكْلٍ مُبَسَّطٍ مِنْ طَرِيقِ اِخْتِبَارِ كَيْفِيَّةِ تَولُّدِ الْمَوْجَاتِ الْكَهْرَبَائِيَّةِ وَالْمَغَناطِيسِيَّةِ. افْتَرَضَ قَضَيْبَيْنِ مَوْصِلِيْنِ يَعْلَمُانِ كَهْرَبَائِيِّيًّا “antenna” كَمَا هُوَ مَوْضِعُ فِي الشَّكْلِ (٣-٥ أـ)، افْتَرَضَ أَنَّ هَذِينِ القَضَيْبَيْنِ مَوْصِلِيْنِ يَعْلَمُانِ كَهْرَبَائِيِّيًّا إِلَى قَطْبِيَّةِ بَطَارِيَّةِ عَلَوِيَّةٍ. عَنْدِ إِغْلَاقِ الْمَفْتَاحِ يَصِيرُ الْقَضَيبُ الْعَلَوِيُّ مَوْجِبٌ

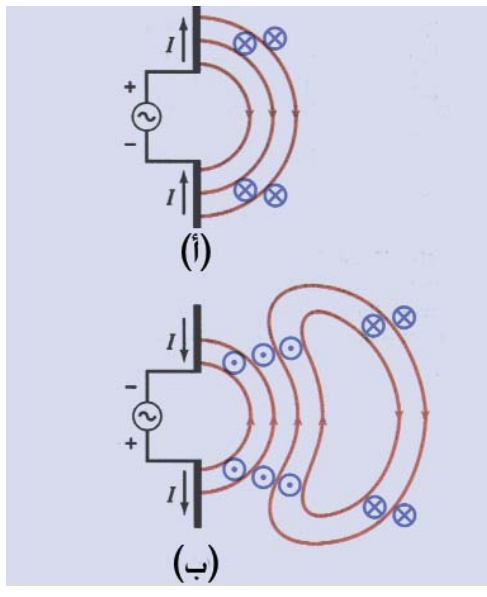


الشكل (٣-٥)

الوحدة الثالثة

الموجات الكهرومغناطيسية

Electromagnetic Waves



الشكل (٤-٥)

الشحنة في وقت قصير والقضيب السفلي سالب الشحنة، وتشكل خطوط المجال الكهربائي كما هو موضح في الشكل (٥-٣ ب). من ناحية أخرى، فإنه عند إغلاق المفتاح تتشكل المجالات بسرعة بجانب الهوائي ولكنها تأخذ وقتاً حتى تصل إلى نقاط بعيدة ناقلة معها الطاقة المختزنة فيها.

لنفترض الآن أن الهوائي موصل بمصدر للتيار المتردد كما في الشكل (٥-٤ أ)، حيث يتضح أن الشحنات والمجالات في بداية تكونها، وتشير الإشارات الموجة (+) والسلبية (-) إلى محصلة الشحنات على القضيب، كما تشير الأسهم السوداء إلى اتجاه التيار وتمثل خطوط المجال الكهربائي بالخطوط الحمراء في مستوى الصفحة، أما المجال المغناطيسي وحسب قاعدة اليد اليمنى فهو يتوجه إما إلى داخل الصفحة أو خارجها وذلك حسب اتجاه التيار.

ويتضح من الشكل (٥-٤ ب) أن اتجاه الجهد ينعكس، وبالتالي ينعكس اتجاه التيار وينعكس معه اتجاه المجال المغناطيسي. ولأن المجالات الجديدة عكست اتجاهها، فإن الخطوط القديمة تتشي إلى الوراء لتتصل مع بعض الخطوط الجديدة المكونة مشكلة حلقات مغلقة، وهي لا تختفي فجأة ولكنها تشق طريقها إلى نقاط بعيدة. ولأن المجال المغناطيسي المتغير يفتح مجالاً كهربائياً متغيراً والمجال الكهربائي المتغير يتغير مجالاً مغناطيسياً متغيراً، فإن هذا الاقتران بين المجالات الكهربائية والمغناطيسية يتعد عن المصدر. مساندة ذاتية دون أن يعتمد على شحنات الهوائي. إن المجالات القروية من الهوائي تصبح معقدة بعض الشيء ولكنها ليست هي محور اهتمامنا، وإنما التركيز هنا على المجالات البعيدة عن الهوائي ويطلق عليها مجال الإشعاع ***radiation field***.

إن خطوط المجال الكهربائي تكون على شكل حلقات مغلقة كما هو موضح في الشكل (٥-٤)، كما أن خطوط المجال المغناطيسي تشكل حلقات مغلقة أيضاً عمودية على الصفحة. وعلى الرغم من أن خطوط المجال موضحة فقط على يمين المصدر، إلا أنها تنتشر في جميع الاتجاهات. وإذا كان مصدر الجهد يتغير جيبياً، فإن شدتي المجالين الكهربائي والمغناطيسي تتغيران أيضاً جيبياً كما هو موضح في الشكل (٥-٥)، كما أن المجالين الكهربائي والمغناطيسي متزايدان على بعضهما البعض وعلى اتجاه انتشار الموجة، وتسمى هذه الموجات بالموجات الكهرومغناطيسية ***electromagnetic waves*** وهي موجات مستعرضة، كما أنها موجات مجالات كهربائية ومغناطيسية (أي لا تحتاج لوسط ناقل) وليس لها مادة (كموجات الحبل أو الماء) ولذلك يمكنها أن تنتشر

الوحدة الثالثة

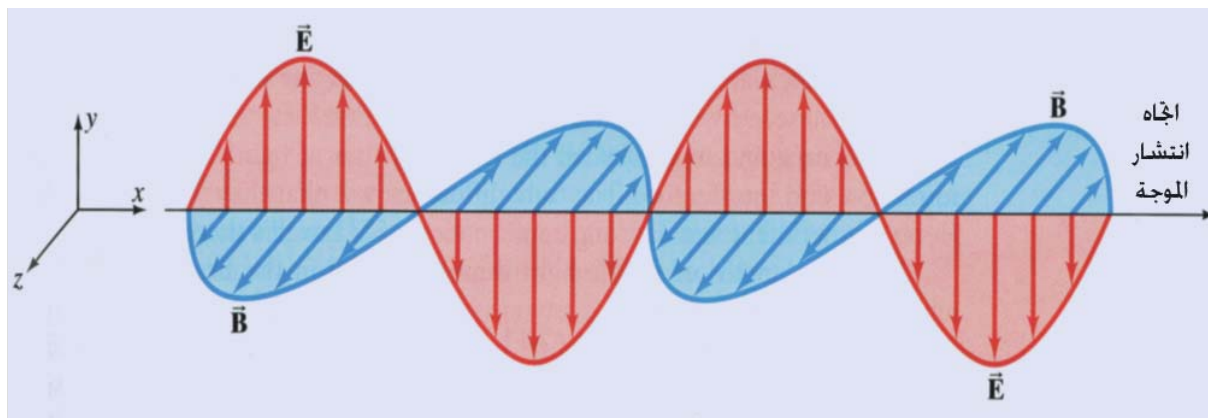
الموجات الكهرومغناطيسية

Electromagnetic Waves

في الفراغ. وحيث إن المجالات الكهربائية والمغناطيسية تنتشر من المصدر في جميع الاتجاهات، لذا يطلق على هذه الموجات أيضًا إشعاع الكهرومغناطيسي **Electromagnetic radiation**. وكما رأينا فإن هذه الموجات تنشأ من الشحنات الكهربائية المتذبذبة، وبالتالي فهي تتعرض لتسارع وبشكل عام يمكن القول أن:

الموجات الكهرومغناطيسية تنشأ من الشحنات الكهربائية المتسارعة

كما قام ماكسويل بحساب السرعة التي تتحرك بها هذه الموجات، فوجد أنها تساوي 3×10^8 وهي سرعة الضوء.



الشكل (٥-٥)

٢-٥ الضوء والطيف الكهرومغناطيسي *Electromagnetic Spectrum and Light*

٢-٥

بناءً على معادلات العالم ماكسويل وحسابه لسرعة الموجات الكهرومغناطيسية، فقد افترض أن الضوء عبارة عن موجات كهرومغناطيسية ، لكن هذه الفكرة لم تلاق قبولاً كاملاً من قبل العلماء في ذلك الوقت؛ لأنها كانت فرضية لم يتم اختبارها. وفي عام ١٨٨٧م قام العالم هنري هيرتز **Heinrich Hertz** (١٨٥٧م - ١٨٩٤م) بالتقاط أول موجات كهرومغناطيسية في المختبر ، حيث استخدم أدوات بحيث تنطلق شحنة كهربائية بسرعة معجلة إلى الأمام والخلف مكونة موجات يبلغ تردداتها ٤٠٠ جوالي ، ثم قام بال التقاط هذه الموجات من على بعد معين

من المصدر باستخدام سلك حلقي تولد فيه قوة دافعة كهربائية عندما يتغير المجال المغناطيسي الذي يخترق هذا

الوحدة الثالثة

الموجات الكهرومغناطيسية

Electromagnetic Waves

تطبيقات حياتية:

تتميز الأشعة السينية بقدرتها على اختراق المواد اللينة، بينما لا تخترق المواد القاسية. ومن أهم تطبيقاتها: جهاز التصوير بالأشعة السينية المستخدم في المستشفيات والمرآت الصحية لتصوير الأعضاء والأجهزة الداخلية لجسم الإنسان، والتعرف على كسور وتشوهات العظام في جسمه. كما تستخدم هذه الأشعة أيضًا في الأنظمة الأمنية (أجهزة مراقبة الحفائب بالأشعة في المطارات والموانئ ونقط العبور وغيرها من الأماكن التي تتطلب تشدداً أمنياً).



ويمكن الحصول على موجات الراديو والميكروويف عملياً باستخدام أجهزة إلكترونية، أما الموجات عالية التردد كأشعة جاما مثلاً فمن الصعب الحصول عليها عملياً في المختبر وهي تبعث تلقائياً من الذرات أو الجزيئات أو الأنوية بواسطة عمليات طبيعية.

وبعد ذلك تم إثبات أن هذه الموجات تنتقل بسرعة الضوء وتسلك خصائص الضوء كالانعكاس والانكسار والحيود، والفرق الوحيد بينها وبين الضوء أنها غير مرئية. وتعد تجربة هرتز إثباتاً قوياً لنظرية ماكسويل. لقد تم قياس الأطوال الموجية للضوء في العقد الأول من القرن التاسع عشر قبل أن يتخيّل أحد أن الضوء عبارة عن موجات كهرومغناطيسية، وقد وجد أن هذه الأطوال تقع بين $(4.0 \times 10^7 \text{ m} - 7.5 \times 10^7 \text{ m})$ ويمكن قياس الترددات للضوء المرئي باستخدام المعادلة:

$$c = \lambda f \quad (1-5)$$

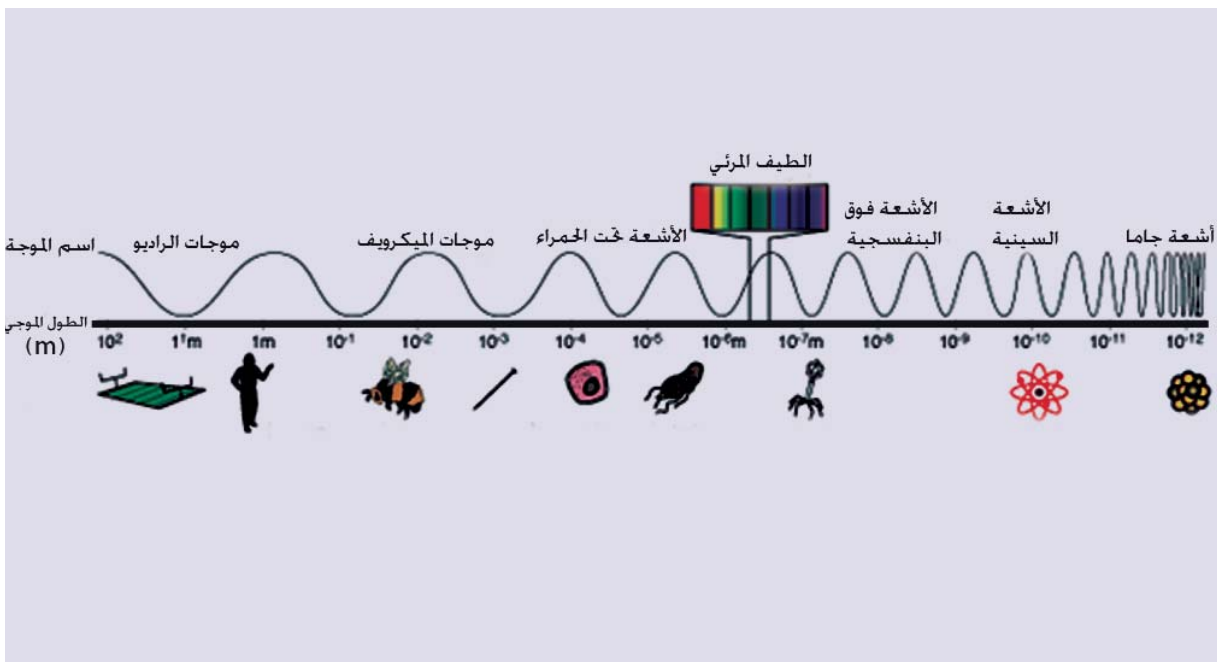
حيث c هي سرعة الضوء وهي ثابتة لجميع الموجات الكهرومغناطيسية في الفراغ وتساوي $3 \times 10^8 \text{ m/s}$. ومن المعادلة (1-5) وجد أن ترددات الضوء المرئي تقع بين $(4.0 \times 10^{14} \text{ Hz} - 7.5 \times 10^{14} \text{ Hz})$ ، ولكن الضوء المرئي هو نوع واحد فقط من الموجات الكهرومغناطيسية. وقد قام العالم هرتز بتوليد موجات كهرومغناطيسية ترددتها أقل بكثير من 10^9 Hz ، ويطلق عليها حالياً موجات الراديو الإشارات الراديوية والتلفزيونية. بالإضافة إلى ذلك فإن الإشعاع الكهرومغناطيسي يتم التقاطه على مدى واسع من الترددات ، وقد تم تصنيفها حسبما موضح في الشكل ٥-٦ فيما يُعرف بالطيف الكهرومغناطيسي

الوحدة الثالثة

الموجات الكهرومغناطيسية

Electromagnetic Waves

كما أن بعض أنواع الموجات الكهرومغناطيسية يمكن إنتاجها بتعجيل الإلكترونات أو الجزيئات المشحونة الأخرى مثل الأشعة السينية التي يمكن الحصول عليها عندما تصطدم الإلكترونات السريعة بهدف معدني، وحتى الضوء المرئي الذي ينبعث من المصباح الكهربائي يكون مصدره الإلكترونات المتسارعة داخل الفتيلة الساخنة. أما الأشعة تحت الحمراء *infrared radiation* فهي المسؤولة عن التأثير الحراري لأشعة الشمس، حيث إن الشمس لا تشع فقط الضوء المرئي وإنما تصدر إشعاعات أخرى كالأشعة تحت الحمراء، والأشعة فوق البنفسجية *ultraviolet radiation*.



الشكل (٦-٥) : الطيف الكهرومغناطيسي

الوحدة الثالثة الموجات الكهرومغناطيسية Electromagnetic Waves

اختبار فهمك (١) :

- ١- ما أوجه الاختلاف بين الموجات الصوتية والموجات الكهرومغناطيسية؟
- ٢- احسب تردد كل من:
 - أ- موجات راديو طولها الموجي 80 m .
 - ب- أشعة سينية طولها الموجي $5.5 \times 10^{-11}\text{ m}$.

٣-٥ قياس سرعة الضوء *Measuring the Speed of Light*

حاول العالم جاليليو (١٥٦٤ - ١٦٤٢ م) قياس سرعة الضوء، وذلك بمحاولة قياس الزمن الذي يستغرقه الضوء لينتقل مسافة محددة بين قمتين، حيث طلب من مساعد له الثبات في قمة إحدى التلتين بينما وقف هو نفسه في قمة التلة الأخرى كما هو موضح في الشكل (٧-٥). وطلب من المساعد رفع غطاء المصباح في اللحظة التي يرى فيها ومضة من مصباح جاليليو، ثم قام جاليليو بحساب الزمن بين ومضة مصباحه وبين الضوء الذي تلقاه من مصباح مساعدته، فوجد أن الزمن قصير جدًا؛ مما جعله يستنتاج أن الزمن الذي قام بحسابه يمثل زمن استجابة الإنسان، وأن سرعة الضوء يجب أن تكون عالية إلى أبعد الحدود.



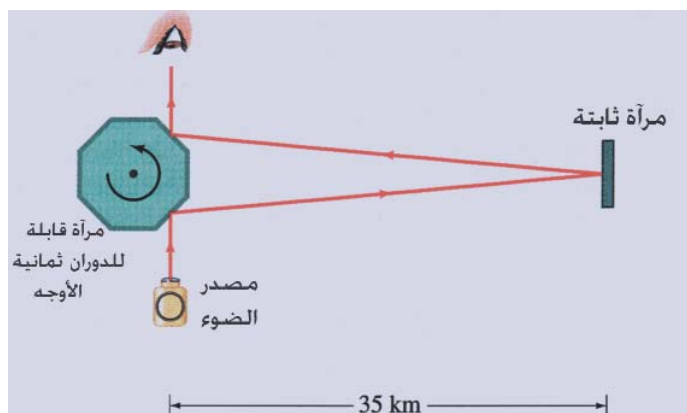
الشكل (٧-٥) : محاولة جاليليو لقياس سرعة الضوء

وأول محاولة ناجحة لتقدير سرعة الضوء كانت في عام ١٦٧٦ م على يد العالم الفلكي رو默 *Roemer* (١٦٤٤ - ١٧١٠ م)، حيث قام بلاحظات دقيقة حول دوران أحد أقمار كوكب المشتري الذي يكمل دورة كاملة حول المشتري كل 42.5 h ، وقد توقع رو默 أنه بمعرفته لمدة دوران القمر فهو قادر على تحديد حركته. ولكنه اكتشف أن هذه القيمة تتغير أحياناً فتصبح أقل أو أكثر بنسبة بسيطة. وقد عزا هذا التغيير إلى الحركة النسبية بين الأرض والمشتري؛ فعندما تتحرك الأرض مقتربة من المشتري، فإن مدة دوران هذا القمر تكون أقل بقليل،

الوحدة الثالثة الموجات الكهرومغناطيسية Electromagnetic Waves

وعندما تتحرك مبتعدة عن المشتري، فإن مدة الدوران تكون أكثر بقليل. وقد عزا هذا التغير إلى التغير في المسافة بين الأرض والمشتري وإلى الزمن الذي يستغرقه الضوء لينتقل خلال هذه المسافة، وبالتالي استنتج رومر أن الضوء رغم أن سرعته كبيرة إلا أن لها قيمة محددة.

بعد ذلك استخدمت تقنيات مختلفة لقياس سرعة الضوء من أهمها تلك التي استخدمها ألبرت مايكلسون



الشكل (٤ - ٨) : تجربة مايكلسون لقياس سرعة الضوء

Albert Michelson حيث استخدم أدوات كالمواضحة في الشكل (٤ - ٨) وهي عبارة عن مرآة قابلة للدوران ثمانية الأوجه، يتم تسلیط ضوء من المصدر على أحد أوجه المرآة المتحركة ، وينطلق الضوء المنعكس عن هذا الوجه باتجاه مرآة ثابتة موضوعة على مسافة محددة من المرآة الدورانية فينعكس عن المرآة الثابتة ويعود مرة أخرى، كما يظهر في الشكل (٤ - ٨).

إذا كانت المرأة تدور بمعدل منتظم فإن الضوء العائد سينعكس من أحد أوجه المرأة إلى تلسكوب صغير يستطيع المراقب أن يلاحظه من خلاله، أما إذا اختلفت سرعة الدوران قليلاً، فإن الشعاع سينحرف إلى جانب واحد ولن يستطيع المراقب مشاهدته. ومن معرفة السرعة المطلوبة لدوران المرأة والمسافة المحددة بين المرأة الثابتة والمرأة المتحركة، فإن سرعة الضوء يمكن حسابها. ومن خلال هذه التجارب، فإن السرعة المعتمدة حالياً للضوء في

$$c = 2.99792458 \times 10^8 \text{ m/s}$$

$$c = 3.0 \times 10^8 \text{ m/s}$$

الفراغ هي: $c = 3.0 \times 10^8 \text{ m/s}$ وتقرب عادة إلى

٤-٥ انعكاس الضوء وانكساره *Reflection and Refraction of light*

يتنقل الضوء في خطوط مستقيمة وبسرعات عالية جداً ، وتحتختلف سرعته حسب الوسط الذي يمر خلاله. وبالتالي فإن الضوء يسلك سلوك أي موجة أخرى عندما تنتقل من وسط إلى وسط آخر.

- انعكاس الضوء *Reflection of Light*

يتتحرك الضوء خلال المواد المختلفة مثل الهواء والماء والفراغ في خطوط مستقيمة، فإذا اصطدم الضوء بمادة أخرى

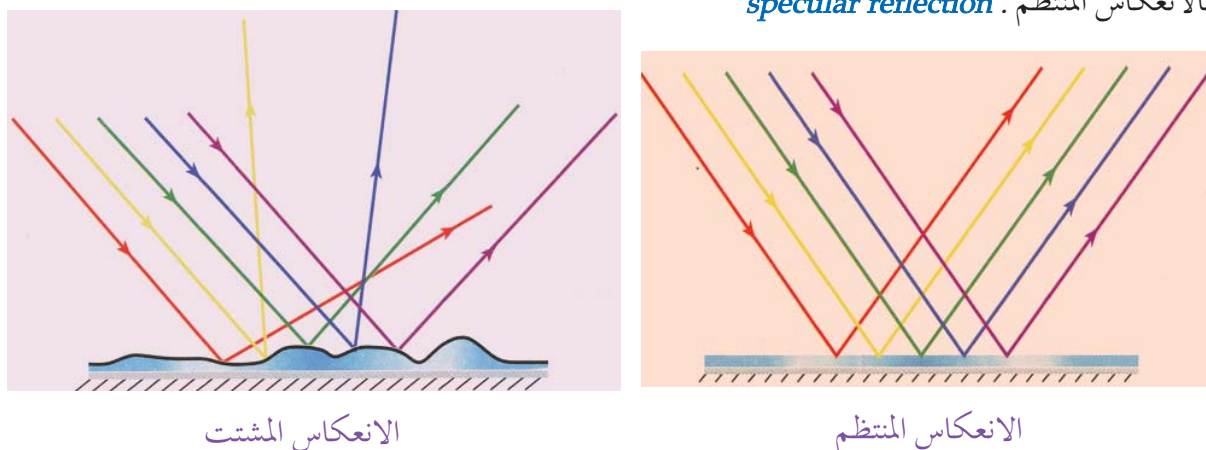
الوحدة الثالثة

الموجات الكهرومغناطيسية

Electromagnetic Waves

فإن جزءاً منه سيمتص من قبل المادة والجزء الآخر سيرتد. وهذا التغير في اتجاه مسار الضوء يعرف بالانعكاس . **reflection**

ويعتمد نمط انعكاس الضوء عن سطح المادة على طبيعة السطح، فإذا كان السطح خشنًا كاللورق والملاس والخشب غير المصقول فإن الضوء سينعكّس في اتجاهات مختلفة كما هو موضح في الشكل (٩-٥)، ويسمى هذا النوع من الانعكاس بالإنعكاس المُشتَّت (غير المنتظم) . **diffuse reflection** أما إذا كان السطح أملسًا كالمراة أو الماء، فإن الضوء سينعكّس في اتجاه واحد ويطلق على هذا النوع من الانعكاس بالانعكاس المنتظم . **specular reflection**



الشكل (٩-٥) : الانعكاس المنتظم والانعكاس المُشتَّت



الشكل (١٠-٥)

وعند وضع مرآة مستوية على طاولة أمام منقلة، كما هو موضح في الشكل (١٠-٥) وتسلیط ضوء من الليزر على المرأة فإن الشعاع الساقط سينعكّس عن المرأة ، فإذا تم رسم خط عمودي على المرأة فإنه يمكننا تعريف زاويتين: الأولى هي زاوية السقوط وهي الزاوية التي يصنعها الشعاع الساقط مع العمودي على المرأة ويرمز لها بالرمز θ_i ، والثانية هي زاوية الانعكاس **angle of reflection** وهي

الزاوية التي يصنعها الشعاع المنعكّس مع العمودي ويرمز لها بالرمز θ_r .

وتلاحظ من الرسم أن كلاً من هاتين الزاويتين تصنّع زاوية مقدارها 60° مع الخط العمودي على المرأة ، أي أن هاتين الزاويتين متساوietين ، وهذا هو قانون الانعكاس .

$$\text{زاوية السقوط } (\theta_i) = \text{زاوية الانعكاس } (\theta_r)$$

الوحدة الثالثة

الموجات الكهرومغناطيسية

Electromagnetic Waves

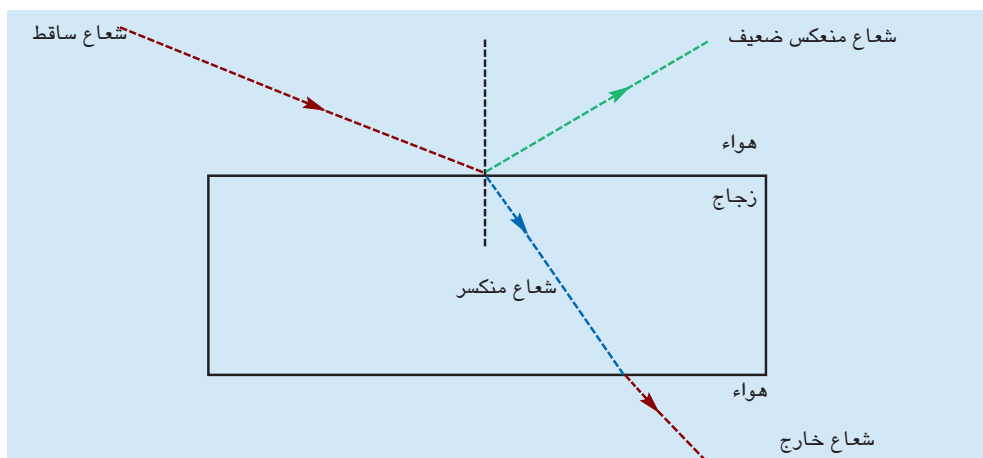
- انكسار الضوء *Refraction of Light*

ينتقل الضوء في المواد الشفافة كالزجاج والماء والبلاستيك، ولهذا السبب يمكننا رؤية الأجسام خلال الأبواب والنوافذ الزجاجية.

يوضح الشكل (١١-٥) شعاعاً ضوئياً ينتقل من الهواء إلى الزجاج ثم إلى الهواء مرة أخرى. عند الحد الفاصل بين الهواء والزجاج يمكننا أن نلاحظ أن الشعاع الضوئي ينحرف عن مساره عندما يدخل الزجاج ويحدث الشيء نفسه عندما يعبر الضوء من الزجاج إلى الهواء، ويطلق على هذا الانحراف عن المسار عند عبور الضوء من وسط شفاف إلى آخر مختلف بالانكسار *refraction*.

وكما في حالة الانعكاس فإن الرواية التي يتخذها الشعاع الساقط والشعاع المنكسر تقاد بالنسبة للعمودي على السطح الفاصل بين الوسطين، ولدراسة الانكسار فإن الخط العمودي المقام من نقطة السقوط يتم تمديده إلى الوسط الثاني كما في الشكل (١١-٥). تسمى الزاوية بين الشعاع المنكسر والعمودي على السطح الفاصل بزاوية الانكسار *angle of refraction* ، ويرمز لها بالرمز θ_r ، ولكن لماذا تحدث هذه الظاهرة؟

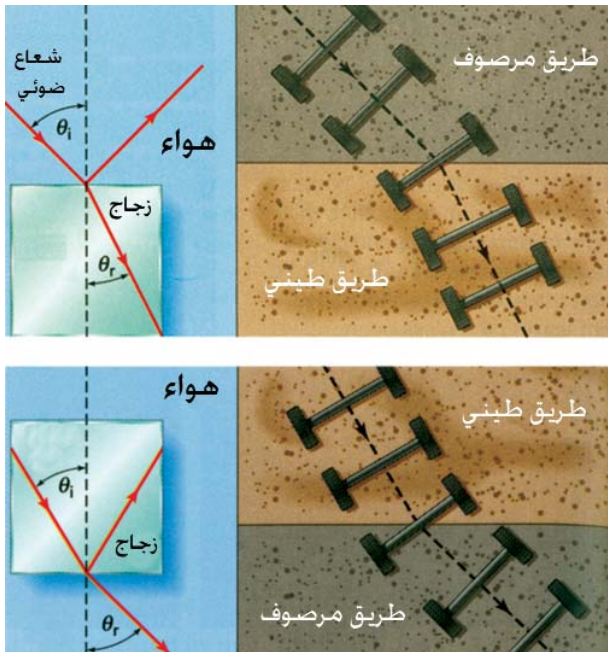
ينتقل الضوء عبر الأوساط البصرية بسرعات مختلفة، فعلى سبيل المثال تبلغ سرعة الضوء في الهواء $3.0 \times 10^8 \text{ m/s}$ بينما سرعته في الزجاج $2.0 \times 10^8 \text{ m/s}$ ، ولذلك فإنه عند الحد الفاصل بين هذين الوسطين سيحدث تغير مفاجئ لسرعة الضوء؛ مما يؤدي إلى انحراف مسار الضوء مسبباً الانكسار.



الشكل (١١-٥) : انكسار الضوء

الوحدة الثالثة الموجات الكهرومغناطيسية

Electromagnetic Waves



الشكل (١٢-٥)

كما تلاحظ من الشكل (١٢-٥) أنه عند انتقال الضوء من الهواء (الذي تكون فيه السرعة أكبر) إلى الزجاج (الذي تكون السرعة فيه أقل) فإن الشعاع الضوئي ينحرف مقترباً من العمودي على السطح الفاصل بين الوسطين، ويمكن مقارنة ذلك بانحراف زوج من العجلات عند عبورها الحد الفاصل بين طريق مرصوف وطريق طيني؛ فالعجلة الأولى التي تدخل الطين ستقلى سرعتها مما يجعل العجلات تنحرف عن اتجاهها مقتربة من العمودي على الحد الفاصل بين الطريقين، أما عند انتقال الضوء من الزجاج إلى الهواء فإن الشعاع سينحرف متبعاً عن العمودي . (ولكن ماذا سيحدث لو كان الشعاع الضوئي الساقط موازياً للعمودي؟).

قانون سنل Snell's law

بما أن الانكسار يحدث بسبب التغير في سرعة الضوء، فإن العلاقة بين زاوية السقوط وزاوية الانكسار يجب أن تكون مرتبطة بهذا التغير في السرعة ، وأول من أثبتت هذه العلاقة هو العالم الدنماركي ويلبرورد سنل **Willebrord Snell** (١٥٨٠ م - ١٦٢٦ م) في عام ١٦٢١ م. وينص قانون سنل على أن النسبة بين جيب زاوية السقوط وجيب زاوية الانكسار هي مقدار ثابت. ولشعاع ضوئي قادم من الفراغ إلى وسط آخر، فإن هذا الثابت يطلق عليه معامل الانكسار **Index of refraction** ويكتب قانون سنل كالتالي:

$$\frac{\sin \theta_i}{\sin \theta_r} = n \quad (2-5)$$

حيث **n** : هو معامل الانكسار ، θ_i هي زاوية السقوط ، θ_r هي زاوية الانكسار. ويعرف معامل الانكسار **n** على أنه النسبة بين سرعة الضوء في الفراغ وسرعته في الوسط الذي ينتقل فيه وبالتالي:

$$n = \frac{c}{v} \quad (3-5)$$

الوحدة الثالثة

الموجات الكهرومغناطيسية

Electromagnetic Waves

حيث c هي سرعة الضوء في الفراغ أو الهواء و v هي سرعة الضوء في الوسط، ويوضح الجدول (١-٥) قائمة عوامل الانكسار لعدد من المواد.

| سرعه الضوء 10^8 ms^{-1} | معامل الانكسار n | الوسط |
|---|--------------------|----------|
| 1.25 | 4.2 | ال MAS |
| 2 حوالى | *1.5 حوالى | الزجاج |
| 2 | 1.5 | البرسبكس |
| 2.25 | 1.33 | الماء |
| 2.3 | 1.3 | الثلج |
| 2.999 | 1.000293 | الهواء |
| بالنسبة للزجاج، يتراوح معامل الانكسار بين 1.48 و 1.96 | | |
| معتمداً على تركيب الزجاج | | |

الجدول (١-٥)

ماذا يحدث عندما ينتقل الضوء من وسط لآخر؟

بما أن سرعة الضوء تتغير بتغيير الوسط، فإن لكل وسط معامل انكساره الخاص. فإذا كان n_i هو معامل الانكسار للوسط الأول و n_r هو معامل الانكسار للوسط الثاني، فإن المعادلة (٢-٥) تكتب بشكل عام كالتالي:

$$n_i \sin \theta_i = n_r \sin \theta_r \quad (4-5)$$

حيث: θ_i هي زاوية السقوط، θ_r هي زاوية الانكسار

مثال (١):

شعاع ضوئي طوله الموجي 589 nm يتحرك في الهواء، اصطدم بشريحة من الزجاج الأملس المسطح بزاوية مقدارها 30° مع العمودي على السطح، أوجد زاوية الانكسار.

الحل:

نلاحظ من الجدول أن :

ما أن $\theta_i = 30^\circ$

باستخدام قانون سنل:

$$\sin \theta_r = \frac{n_i \sin \theta_i}{n_r} = \frac{\sin 30}{1.52} = 0.329$$

$$\therefore \theta_r = 19.2^\circ$$

ملاحظة: عند انتقال الضوء من وسط معين إلى وسط آخر معامل انكساره أكبر من الوسط الأول ، فإن زاوية

الوحدة الثالثة الموجات الكهرومغناطيسية Electromagnetic Waves

الانكسار ستكون أقل من زاوية السقوط أي أن الشعاع الضوئي ينحرف مقترباً من العمودي على السطح الفاصل بين الوسطين، أما إذا انتقل إلى وسط آخر معامل انكساره أقل من الوسط الأول ، فإن زاوية الانكسار ستكون أكبر من زاوية السقوط أي أن الشعاع الضوئي ينحرف متبعداً عن العمودي على السطح الفاصل بين الوسطين.

اختبار فهمك (٢) :

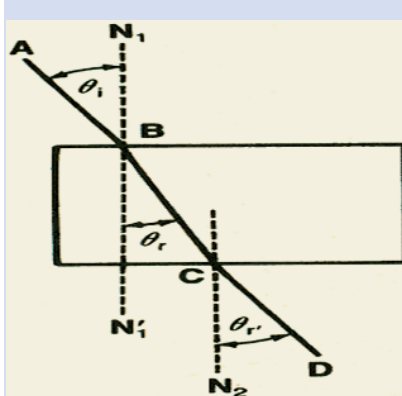
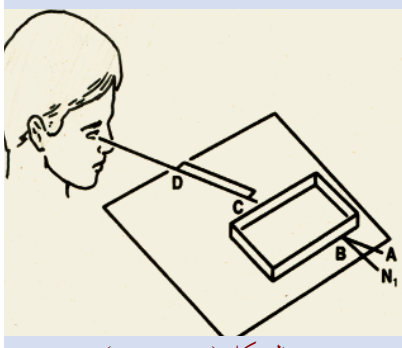
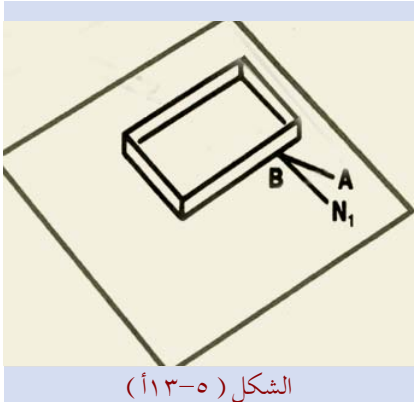
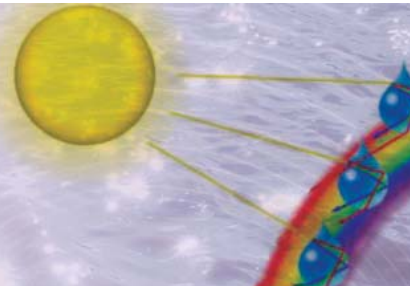
- ١- في المعادلة (٣-٥) لماذا تكون n دائماً أكبر من ١ ؟
- ٢- موجة كهرومغناطيسية قادمة من الفراغ بطول موجي 589 nm ، أكمل الفراغات في الجدول الآتي مستعيناً بالجدول (١-٥) :

| θ_r | θ_i | الوسط الثاني | الوسط الأول |
|--------------|--------------|--------------|-------------|
| 9.80° | 14.5° | ؟ | الهواء |
| ؟ | 31.6° | الألماس | الهواء |

الاستكشاف (١) قانون سنل

سؤال علمي: كيف يمكن حساب معامل انكسار الزجاج؟
المواد والأدوات: طبق زجاجي مستطيل الشكل - ورقة - مسطرة - منقلة - قلم رصاص

الوحدة الثالثة الموجات الكهرومغناطيسية Electromagnetic Waves



الإجراءات:

- ١- ضع الطبق الزجاجي في مركز الورقة ثم تبع محيط الطبق بالقلم وارسمه على الورقة.
 - ٢- أبعد الطبق عن الورقة، ثم قم برسم خط عمودي (N_1B) على أعلى الطرف الأيسر لمحيط الطبق، كما هو موضح في الشكل (١٣-٥ أ).
 - ٣- استخدم المسطرة والمنقلة لرسم خط مستقيم (AB) يصنع زاوية مقدارها 30° مع العمودي (N_1B) ، حيث تمثل الزاوية (ABN_1) زاوية السقوط θ_i .
 - ٤- أعد الطبق إلى موضعه على الورقة، ثم قم بالنظر على طول حد الطبق من الجهة المقابلة للخط (AB) حتى تستطيع رؤية الخط (AB) من خلال الزجاج، ثم ضع المسطرة بحيث يظهر حدتها وكأنه مكمل للخط (AB) . ارسم الخط (CD) كما هو موضح في الشكل (١٣-٥ ب).
 - ٥- أبعد الطبق وارسم خط آخر (BC) يربط بين الخطين (CD) و (AB) عن الورقة، ثم قم بعد الخط (N_1B) خلال المستطيل لتشكل خطًا جديداً ، كما هو موضح في الشكل (١٣-٥ ج) .
 - ٦- استخدم المنقلة لقياس الزاوية (CBN_1) ، وهي زاوية الانكسار θ_r . وسجّل النتيجة في الجدول (٢-٥)، ثم احسب معامل الانكسار وسجله في الجدول.
 - ٧- ارسم العمودي (N_2B) على النقطة C ، ثم احسب الزاوية (N_2B) $\theta_{r'}$.
- | θ_i | θ_r | $\sin\theta_i$ | $\sin\theta_r$ | $\theta_{r'}$ | n |
|------------|------------|----------------|----------------|---------------|-----|
| 30° | | | | | |
| 45° | | | | | |
- الجدول (٢-٥)

الفصل الخامس

الطبيعة الموجية للضوء

Wave Nature of Light

الوحدة الثالثة الموجات الكهرومغناطيسية

Electromagnetic Waves



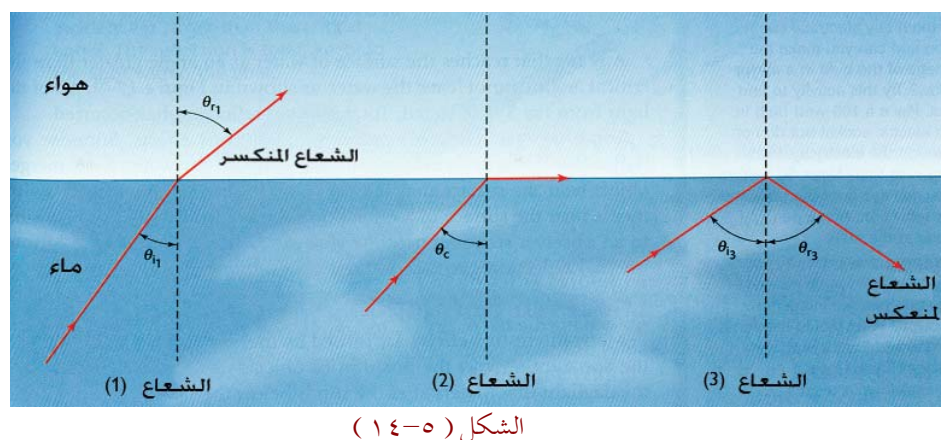
٨- اقلب الورقة وأعد الخطوات السابقة مستخدماً زاوية سقوط مقدارها 45° وسجل النتائج في الجدول (٢-٥).

التحليل والتفسير:

- ١- هل تتفق النتائج التي حصلت عليها لمعامل الانكسار مع بعضها البعض؟
- ٢- حسب الخطط الذي رسمته، هل ينكسر الضوء مقترباً من العمودي على نقطة السقوط أم مبتعداً عنه خلال مروره بزاوية سقوط معينة من الهواء إلى الزجاج؟ فسر إجابتك.
- ٣- حسب الخطط الذي رسمته، هل ينكسر الضوء مقترباً من العمودي على نقطة السقوط أم مبتعداً عنه خلال مروره بزاوية سقوط معينة من الزجاج إلى الهواء؟ فسر إجابتك.
- ٤- قارن بين الزاويتين i و r .

- الانعكاس الداخلي الكلي Total Internal Reflection

لقد علمت الآن أن الضوء عندما يعبر وسطاً تكون سرعته فيه صغيرة إلى وسط آخر سرعته فيه أكبر، فإن زاوية الانكسار ستكون أكبر من زاوية السقوط، وهذا يؤدي إلى ظاهرة يطلق عليها الانعكاس الداخلي الكلي. وتحدث هذه الظاهرة عندما يعبر الضوء وسطاً سرعته فيه أقل إلى وسط آخر سرعته فيه أكبر وبزاوية سقوط مناسبة بحيث لا يحدث أي انكسار للضوء كما يظهر في الشكل (١٤-٥)، حيث إن الشعاع (١) يسقط على سطح الماء بزاوية i_{11} ويعادره بزاوية انكسار r_{11} ، والشعاع (٢) يسقط بزاوية i_{22} بحيث إن الشعاع ينكسر موازياً لسطح الماء وتكون زاوية الانكسار 90.0° ، فكم ستكون قيمة i_{22} في هذه الحالة؟



الشكل (١٤-٥)

الوحدة الثالثة الموجات الكهرومغناطيسية Electromagnetic Waves

تطبيقات حياتية:

من أهم التطبيقات على ظاهرة الانعكاس الداخلي الكلي الألياف البصرية ، حيث تصنع هذه الألياف من قلب زجاجي أو بلاستيكى له معامل انكسار عالي ثم تخطى برجاج له معامل انكسار أقل . عندما يدخل الضوء عبر ال riflection البصرية سيعانى انعكاساً داخلياً على الأسطح . وتستخدم الألياف البصرية حالياً بشكل واسع في الاتصالات الهاتفية حيث يمكنها حمل معلومات أكثر من الأسانك النحاسية ، بالإضافة إلى أنها خفيفة الوزن وأسهل في التصنيع من النحاس .

تطبيق قانون سنك :

$$n_{\text{water}} \sin \theta_i = n_{\text{air}} \sin \theta_r$$

$$(1.33) \sin \theta_i = (1.00) \sin 90^\circ$$

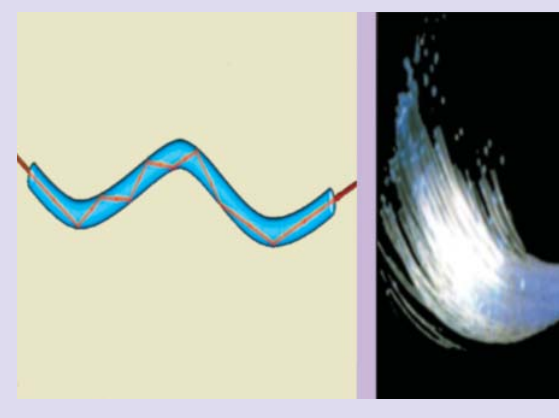
$$\sin \theta_i = 0.752$$

$$\therefore \theta_i = 48.8^\circ$$

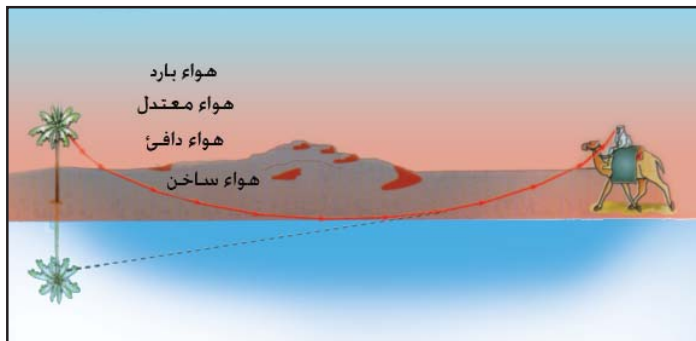
وهذا يعني أن الشعاع الضوئي الذي يعبر الماء إلى الهواء بزاوية سقوط 48.8° ستكون زاوية انكساره 90.0° .

وزاوية السقوط التي يجعل الشعاع المنكسر يقع موازياً للسطح الفاصل بين الوسطين تعرف بزاوية الحرجة θ_c وهي مرمز لها بالرمز θ_c وهي تعتمد على نوع مادة الوسط ، ويمكن حسابها باستخدام قانون سنل . وبالتالي فإن أي شعاع يصل إلى سطح الماء بزاوية أكبر من الزاوية الحرجة لا يمكن أن يغادر الماء وهذا ما حدث للشعاع (3) في الشكل (٤-٥) حيث حدث له انعكاس داخلي كلي .

إن ظاهرة الانعكاس الداخلي الكلي يمكن ملاحظتها في العديد من الظواهر الحياتية كظاهرة السراب . والسراب هو عبارة عن ظاهرة طبيعية تحدث بسبب الاختلاف في كثافة طبقات الهواء القرية من سطح الأرض ، وحدوث الانعكاس الداخلي الكلي في إحداها عندما تزيد زاوية سقوط الأشعة فيها عن الزاوية الحرجة . وتفسيراً لما يشاهده المسافر في الصحراء وفي المناطق القطبية أثناء النهار من صور مقلوبة للأشياء كالأشجار والحيوانات ، فإن ذلك يعود إلى ظاهرة السراب . فعندما تكون الشمس ساطعة ترتفع درجة حرارة سطح الأرض فتسخن طبقة الهواء التي فوقها فت تكون درجة حرارة الهواء في الطبقة التي تليها أقل سخونة ، وهكذا تنتقل الأشعة الصادرة عن الأجسام على سطح الأرض من منطقة هواء بارد نسبياً (وهي مثل وسطاً ذا كثافة بصيرية أعلى) إلى أخرى أسرع (مثل وسطاً ذا كثافة بصيرية أقل) فتنكسر الأشعة عند



الوحدة الثالثة الموجات الكهرومغناطيسية Electromagnetic Waves

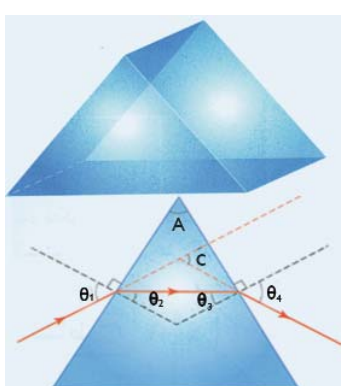


الشكل (١٥-٥) : السراب الصحراوي

السطح الفاصل بينهما مبتعدة عن العمود المقام على السطح الفاصل من نقطة السقوط، وتستمر كذلك إلى أن تصل زاوية السقوط إلى زاوية أكبر من الزاوية الحرجة فتنعكس انعكاس داخلي كلي . ونتيجة لذلك يسير الضوء إلى عين الناظر عبر المسار المبين في الشكل (١٥-٥) على أنه خيال مقلوب . وقد ورد ذكر هذه الظاهرة في القرآن الكريم في قوله تعالى

وَالَّذِينَ كَفَرُوا أَعْمَلُهُمْ كُسْرَبٌ بِقِيَمَةٍ يَحْسَبُهُ الظَّمَآنَ مَاءً حَتَّىٰ إِذَا جَاءَهُمْ لَمْ يَجِدُهُ شَيْئًا وَوَجَدَ اللَّهَ عِنْدَهُ فَوْفَنَهُ حَسَابٌ وَاللَّهُ سَرِيعُ الْحِسَابِ (٣٩) الآية من سورة النور.

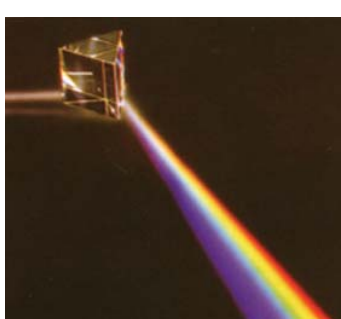
- انكسار الضوء في المنشور:



الشكل (١٦-٥) : المنشور الثلاثي

المنشور عبارة عن قطعة من الزجاج أو البلاستيك تحدده أسطح مستوية وله قاعدتان وأسطح جانبية كل منها على شكل مستطيل . والمنشور الثلاثي تكون كل من قاعديه على شكل مثلث . وتلاحظ في الشكل (١٦-٥) منشوراً ثلاثةًزاوية رأسه (A) ، عندما يسقط شعاع ضوئي على أحد أوجهه ينكسر أولاً عند انتقاله من الهواء إلى داخل المنشور ، ثم ينكسر ثانية عند مغادرته المنشور إلى الهواء . وتلاحظ في الشكل (١٦-٥) أن الشعاع الضوئي سقط على أحد أوجه المنشور ثم نفذ منحرفاً نحو قاعدة المنشور ، وهذا الانحراف في مسار الشعاع الضوئي يعبر عنه بالزاوية (c) التي تسمى زاوية الانحراف الكلية ، وهي الزاوية المحسورة بين امتداد الشعاع الساقط على المنشور وامتداد الشعاع الخارج من المنشور .

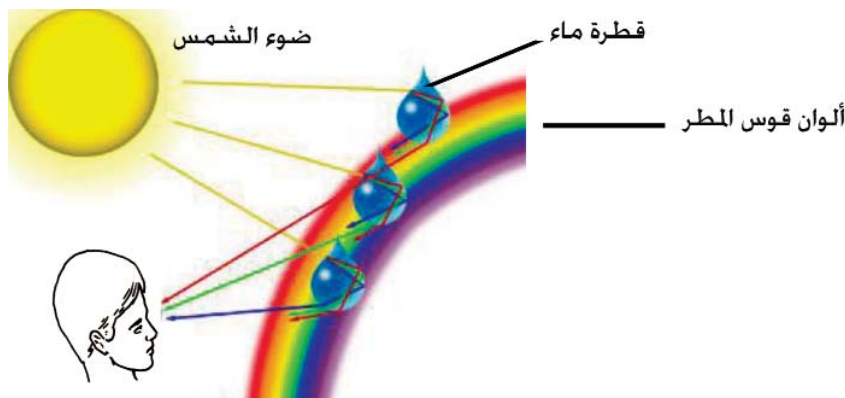
يتكون ضوء الشمس من مجموعة من الألوان تسمى ألوان الطيف ولكل منها معامل انكسار خاص به ، فتكون زاوية انكسار كل منها مختلفة عن زاوية انكسار الألوان الأخرى ، ويمكن استخدام المنشور للحصول على ألوان الطيف



الشكل (١٧-٥)

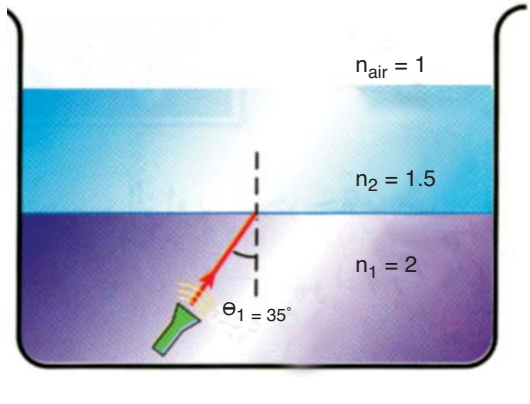
الوحدة الثالثة الموجات الكهرومغناطيسية Electromagnetic Waves

بشكل واضح كما هو موضح في الشكل (١٧-٥).
وما يحدث للضوء في المنشور يحدث مثيل له عند سقوط ضوء الشمس على قطرات المطر كما هو مبين في الشكل (١٨-٥)، وينتج عن تحلل ضوء الشمس في قطرات الماء ظاهرة قوس المطر (قوس قزح) **rainbow**



الشكل (١٨-٥) : قوس المطر

اختبار فهمك (٣) :



الشكل (١٩-٥)

سقط شعاع ضوئي من مصباح موجود في قعر وعاء يحتوي طبقتين شفافتين من مادتين مختلفتين في معامل انكسارهما، حيث $n_2 = 1.5$, $n_1 = 35^\circ$ كما هو مبين في الشكل (١٩ - ٥). فإذا سقط شعاع ضوئي من قاع الإناء بزاوية مقدارها 35° ، تتبع مسار الشعاع مبيناً هل يمكن أن يخرج إلى الهواء؟ اعتبر معامل انكسار الهواء (١).

الوحدة الثالثة الموجات الكهرومغناطيسية Electromagnetic Waves



العدسات والمرآيا ٥-٥ Mirrors and Lenses

إن الأشعة الضوئية يمكن أن تسلك مسارات معقدة عند عبورها الأشكال المختلفة من المرآيا والعدسات، وجميع الأجهزة البصرية التي نستخدمها في حياتنا اليومية كالنظارات والعدسات المكبرة والكاميرات تطبق قوانين الانعكاس والانكسار.

– المرآيا

تعتبر المرآيا من أقدم الأجهزة البصرية التي استخدمها الإنسان وسنعالج طرق تشكيل الصورة في نوعين من المرآيا هما : المرأيا المستوية، والمرأيا الكروية.

أولاً: المرآيا المستوية

لتتعرف على خصائص الصور المتكونة في المرآيا المستوية قم بإجراء الاستكشاف الآتي :

الاستكشاف (٢) : الصور المتكونة في المرآيا المستوية

سؤال علمي: ما خصائص الصور المتكونة في المرأة المستوية؟

الأدوات والم materias: مرآة مستوية— ثلاثة دبابيس— ورقة رسم بياني حامل خشبي.

الإجراءات:

١- رتب الأدوات كما هو مبين في الشكل (٥ - ٢٠).

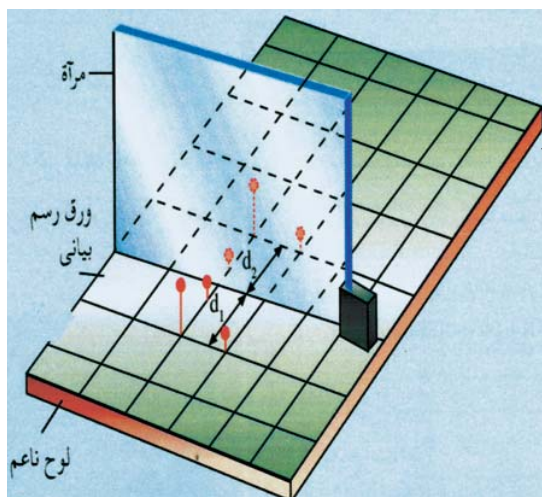
٢- لاحظ الصورة المتكونة.

٣- قم بعد المربعات بين الدبابيس والمرأة، وأيضاً بين الصورة والمرأة لإيجاد المسافات d_o و d_i على التوالي. قارن بين هاتين المسافتين.

التحليل والتفسير:

١- ما خصائص الصورة المتكونة في المرأة؟

٢- ماذا تمثل المسافتين d_o و d_i اللتين قمت بقياسهما؟ وما العلاقة بينهما؟



الشكل (٢٠-٥)

الوحدة الثالثة الموجات الكهرومغناطيسية Electromagnetic Waves



الشكل (٢١-٥)

يمكن تلخيص خصائص الصورة التي كونتها المرأة المستوية كما يلي:

- ١- لها نفس حجم الجسم الأصلي.
- ٢- منعكسة جانبياً (انعكاس اليسار إلى اليمين ، فإذا نظرت إلى نفسك في مرآة مستوية وأنت ترفع يدك اليمنى مثلاً، ستظهر صورتك على المرأة وكأنك ترفع يدك اليسرى كما هو موضح في الشكل (٢١-٥)).
- ٣- معتدلة رأسياً.
- ٤- تقديرية (لا يمكن استقبال الصورة على شاشة؛ لأن الأشعة الضوئية لا تلتقي فعلياً في موضع الصورة كما ستظهر الصورة وكأنها قادمة من الجانب الآخر من المرأة).
- ٥- المسافة التي يبعدها الجسم عن المرأة d_o تساوي بعد الصورة عن المرأة d_i .

كيف يمكن تحديد موقع الصورة في المرآة؟

يمكن تحديد موقع الصورة في المرأة باستخدام مخططات الأشعة *ray diagrams*. والقانون الذي يحدد كيفية تشكيل صورة الجسم بالمرآة هو قانون الانعكاس. فكل شعاع ضوئي صادر من أية نقطة في الجسم يسقط بزاوية معينة مع العمودي على المرأة، ومن ثم ينعكس بزاوية مساوية لزاوية السقوط. وبما أن هذا القانون ينطبق على أي شعاع قادم من أي نقطة في الجسم، فإننا نستطيع تبسيط رسم الصورة المكونة في المرأة، وذلك باعتبار النقاط الطرفية للجسم (أعلى وأدنى نقطة في الجسم)، فهذه النقاط تفي بالغرض. ولرسم الصورة اتبع الطريقة الآتية:

- ١- ارسم من أعلى الجسم وأسفله شعاعين ضوئيين ساقطين على المرأة.
- ٢- عند نقطة السقوط ارسم عموداً على سطح المرأة وحدد بالمنقلة زاوية السقوط.

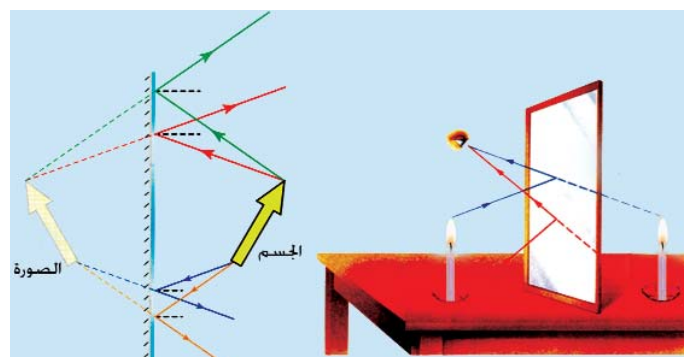
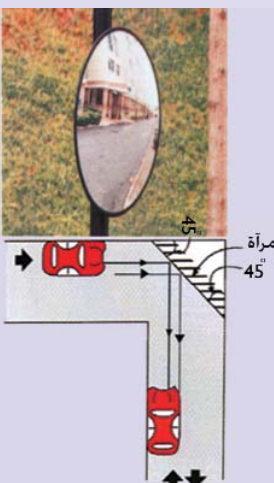
الوحدة الثالثة الموجات الكهرومغناطيسية

Electromagnetic Waves



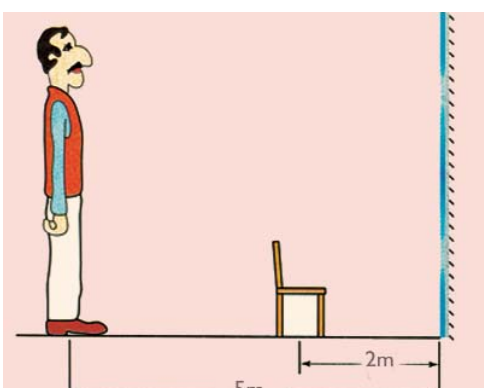
تطبيقات حياتية:

- ٣- ارسم الأشعة المنعكسة عن المرأة، بحيث تكون زاوية السقوط تساوي زاوية الانعكاس.
- ٤- لاحظ أن الأشعة المنعكسة عن المرأة المستوية لا تلتقي، ولكن امتداداتها تلتقي خلف المرأة لتكون صورة تقديرية (وهنية)، حيث تبدو الأشعة وكأنها قادمة من الصورة.
- ٥- قارن الشكل الذي حصلت عليه بالشكل (٢٢-٥).



الشكل (٢٢-٥)

اختبار فهمك (٤):



الشكل (٢٣-٥)

- ١- علل: تكتب الكلمة إسعاف معكوسة جانبياً على مقدمة سيارة الإسعاف !
- ٢- في الشكل (٢٣-٥) يقف شخص أمام مرآة مستوية على بعد **5 m** منها وأمامه كرسي يبعد عن المرأة **2 m** ، فما مقدار المسافة بين الشخص وصورة الكرسي؟



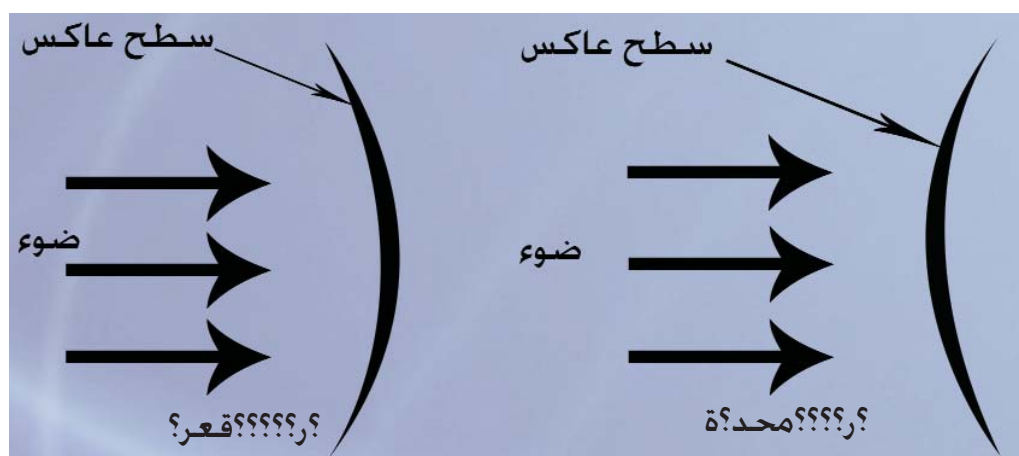
الوحدة الثالثة

الموجات الكهرومغناطيسية

Electromagnetic Waves

Spherical Mirrors ثانياً: المرايا الكروية

ليس شرطًا أن تكون السطوح العاكسة مستوية ، ومن المرايا المنحنية الشائعة المرايا الكروية والتي تعني أنها تمثل مقطعاً من كرة. والمرايا الكروية إما أن تكون محدبة **convex** إذا كان الانعكاس يحدث من السطح الخارجي للمرأة بحيث أن مركز سطح المرأة يبرز باتجاه الناظر، وإما أن تكون مقعرة **concave** إذا كان السطح العاكس في السطح الداخلي للمرأة بحيث أن مركز سطح المرأة يغوص مبتعداً عن الناظر كما هو موضح في الشكل (٥-٤). وتستخدم المرايا المقعرة عادة في الحلقة والتجميل، بينما تستخدم المرايا المحدبة في السيارات والشاحنات وفي الحالات التجارية للمراقبة.



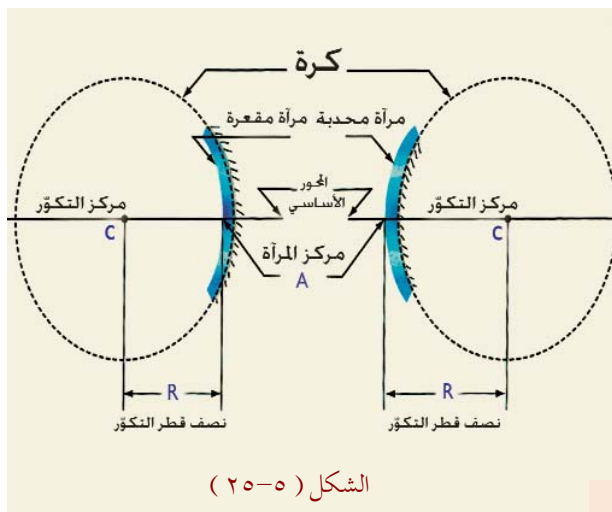
(٥-٢٤) الشكا

ولكل نوع من المرايا الكروية ما يلي كما هو موضح في الشكل (٢٥-٥):

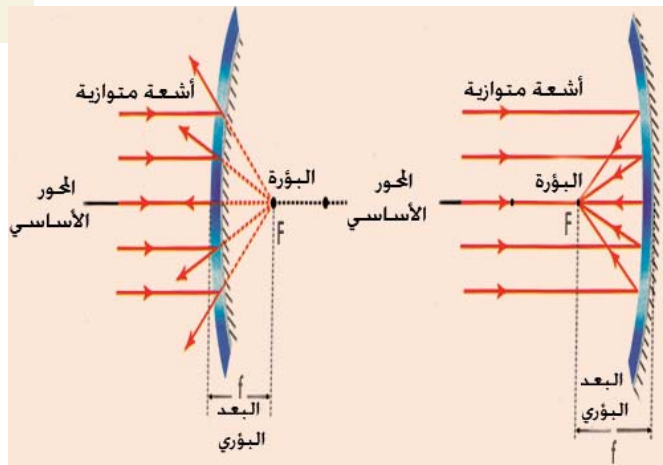
- مركز التككور (C) : وهو مركز الكرة الذي أخذت منه المرأة.
 - نصف قطر التككور (R) : وهو نصف قطر الكرة.
 - مركز المرأة (A) .
 - المحور الأساسي *principal axis* : هو الخط العمودي على محور المرأة في مركزها.
 - البؤرة (F) : وهي متتصف المسافة بين مركز المرأة ومركز التككور.
 - البعد البؤري *focal length (f)* : وهو المسافة من مركز المرأة إلى البؤرة.

الوحدة الثالثة الموجات الكهرومغناطيسية

Electromagnetic Waves



عندما تسقط أشعة ضوئية على سطح المرآة موازية للمحور الأساسي، فإن كل شعاع سينعكس بزاوية مساوية لزاوية سقوطه ويقطع المحور الأساسي في نقطة محددة وهي البؤرة كما هو موضح في الشكل (٢٦-٥). وبما أن الشمس على مسافة بعيدة جدًا من الأرض فإن أي أشعة قادمة من الشمس ستتسقط على المرآة موازية للمحور الأساسي، وبالتالي ستنعكس وتمر بالبؤرة.



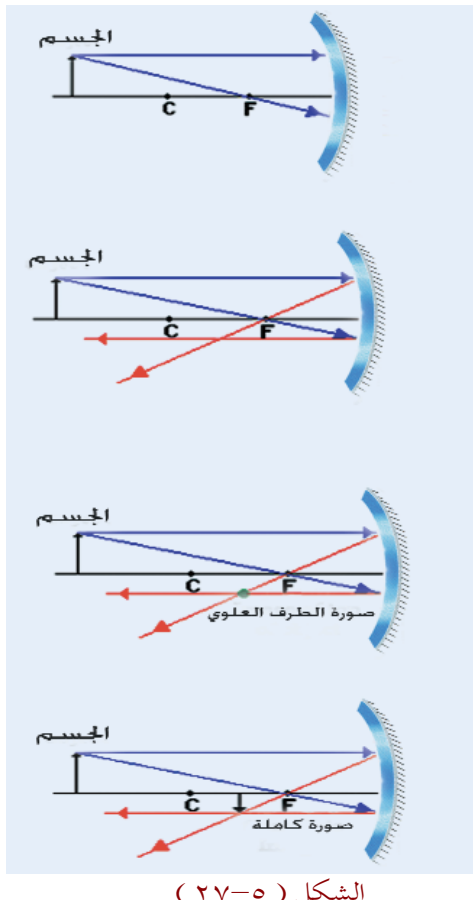
- الصور المتكونة في المرايا المقعرة:

إن الصور المتكونة في المرايا المقعرة قد تكون كبيرة أو مصغرة أو بنفس حجم الجسم، وقد تكون مقلوبة أو معتملة وذلك يعتمد على موقع الجسم.

ولمعرفة طرق رسم مخطوطات الأشعة لأجسام موضوعة في مواضع مختلفة أمام مرآة مقعرة، ستتبع خطوة بخطوة طرق رسم الأشعة لجسم موضوع أبعد من مركز التكبير، وهذه الطريقة يمكن أن تطبق لأي موضع آخر للجسم.

- ١- اختر أعلى نقطة في الجسم وارسم شعاعين ساقطين منها باتجاه المرآة المقعرة، بحيث أن أحدهما يمر خلال البؤرة باتجاه المرآة والأخر يمر موازياً للمحور الأساسي.

الوحدة الثالثة الموجات الكهرومغناطيسية Electromagnetic Waves



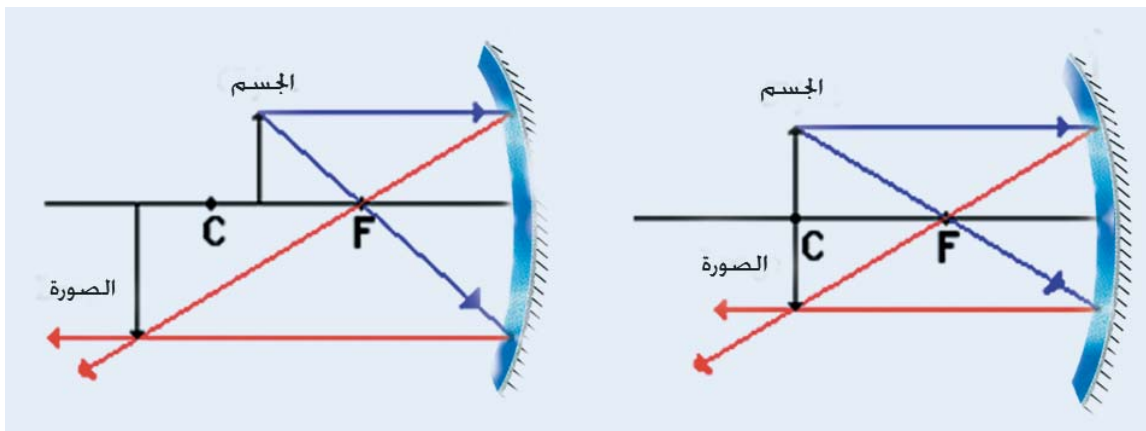
الشكل (٢٧-٥)

- ٢- ارسم الشعاعين المنعكدين عن هذين الشعاعين، بحيث أن الشعاع الساقط المار بالبؤرة سينعكس موازياً للمحور الأساسي، والشعاع الساقط الموازي للمحور الأساسي سينعكس ماراً بالبؤرة.
- ٣- ضع علامة على نقطة التقائه الأشعة المنعكسة لتمثيل موقع صورة رأس الجسم.
- ٤- كرر الخطوات السابقة للطرف السفلي للجسم، ولأن الطرف السفلي يقع على المحور الأساسي فإن الأشعة الساقطة على المرأة ستكون أيضاً على المحور الأساسي وستنعكس على نفس ذلك المحور وعلى نفس المسافة التي تشكلت فيها صورة الطرف العلوي. وبالتالي يمكن تحديد صورة الجسم، كما هو موضح في الشكل (٢٧-٥).

إن الشكل (٢٧-٥) يزودنا بمعلومات حول طبيعة الصورة المتكونة حيث نلاحظ أنها تقع بين البؤرة ومركز التكبير، كما أنها مصغرة ومقلوبة وحقيقية (أمام المرأة)، إذ إن الشعاعين يتقاطعان. ويمكن تطبيق الخطوات السابقة لتحديد طبيعة الصور المتكونة في موقع مختلفة للجسم. والشكلان (٢٨-٥أ) و (٢٨-٥ب) يوضحان على التوالي كيفية تحديد موقع الصورة واتجاهها وحجمها في حالة وضع الجسم في مركز التكبير وفي حالة وضعه بين مركز التكبير والبؤرة.

الوحدة الثالثة الموجات الكهرومغناطيسية

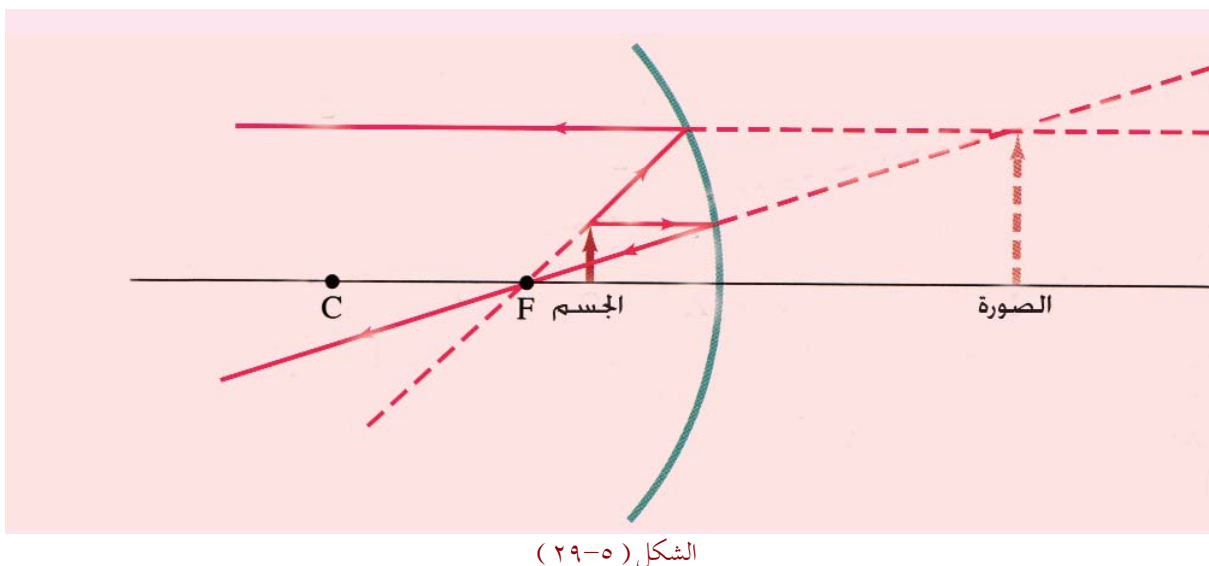
Electromagnetic Waves



الشكل (٢٨-٥ ب)

الشكل (٢٨-٥ أ)

وفي الثالث حالات السابقة لوضع الجسم، نلاحظ أن الأشعة المنعكسة تجتمع في نقطة واحدة وفي هذه الحالة تتشكل صورة حقيقية للجسم ، مما يعني أن المرايا المقعرة تشكل صوراً حقيقية إذا وضع الجسم على مسافة أكبر أو مساوية للبعد البؤري. كما يمكن أن تتشكل صورة تقديرية للجسم (خلف المرأة) في المرايا المقعرة، وذلك في حالة وضع الجسم على مسافة أقل من البعد البؤري للمرأة، كما هو موضح في الشكل (٢٩-٥).



الشكل (٢٩-٥)

الوحدة الثالثة الموجات الكهرومغناطيسية Electromagnetic Waves

تطبيقات حياتية:

تعمل المرأة المقعرة على تجميع الأشعة الضوئية، لذا يمكن الاستفادة منها في تجميع الطاقة الشمسية، ففي فرنسا استطاع المهتمون بأبحاث الطاقة الشمسية تجميع قدر كافٍ منها بوساطة المرايا لصهر الفولاذ، كما تستخدم المرايا المقعرة في تجميع الأشعة الضوئية في التلسكوب الفلكي العاكس مثل تلسكوب جبل بالومار في كاليفورنيا الذي تستخدم فيه مرايا قطرها 5 m .

اخبر فهمك (٥):

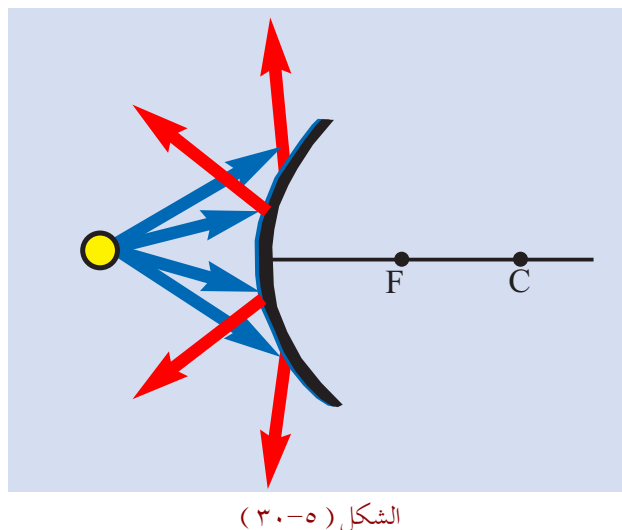
- ١- ما نوع الصورة المكونة في مرآة مقعرة لجسم موضوع على مسافة مقدارها بعد بؤري واحد من المرآة؟
وضح إجابتكم بالرسم.

- الصور المكونة في المرايا المحدبة:

إن التحليل الذي استخدمناه لدراسة الصور التي تشكلها المرايا المقعرة يمكن تطبيقها على المرايا المحدبة. ويوضح الشكل (٣٠ - ٥) أشعة ضوئية ساقطة على مرآة محدبة. لاحظ أنه في هذه الحالة تكون البؤرة ومركز التككور في الجانب الآخر من المرأة (خلف المرأة)، ولهذا فإن المرأة المحدبة بعدها البؤري سالب. كما تلاحظ أن الأشعة المنعكسة تتشتت بعد سقوطها على سطح المرأة وبالتالي لن تتقاطع هذه الأشعة في نقطة معينة على الجانب الذي يوجد فيه الجسم، ولهذا السبب تنتج المرايا المحدبة صورًا تضليلية تكون في مكان ما خلف المرأة. وحتى يتم تحديد موقع الصورة يتم تمديد الخطوط المنعكسة إلى الخلف حتى تلتقي في نقطة معينة هي موقع صورة الجسم كما هو موضح في الشكل (٣٠ - ٥).

الوحدة الثالثة الموجات الكهرومغناطيسية

Electromagnetic Waves

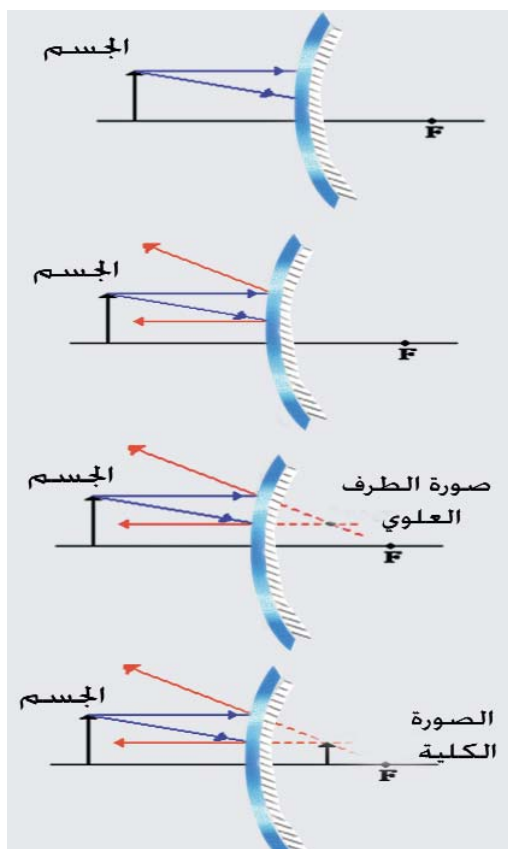


ويكفي أن يكون لدينا شعاعين لتحديد موقع الصورة باستخدام مخطط الأشعة، وستعدل قواعد الانعكاس التي استخدمناها في المرايا المقعرة كالتالي:

- ١- أي شعاع يسقط على المراة موازياً للمحور الأساسي سينعكس بحيث يمر امتداده خلال البؤرة.
- ٢- أي شعاع يسقط بحيث يكون امتداده مارّاً بالبؤرة فإنه سينعكس موازياً للمحور الأساسي.

وستستخدم القاعدتين السابقتين لرسم مسارات الأشعة للمرايا المحدبة، وذلك لتزويدنا بمعلومات تقديرية حول موقع الصورة من المراة وحجمها واتجاهها كالتالي:

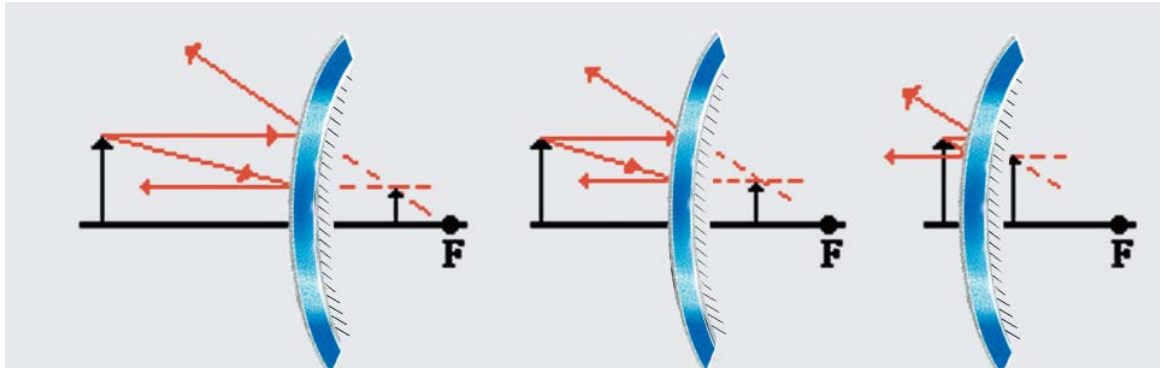
- ١- اختر نقطة على الطرف العلوي من الجسم وارسم منه شعاعين ساقطين على المراة:
 - أحد الشعاعين يسقط باتجاه البؤرة على الطرف الآخر من المراة، وهذا الشعاع سيسقط على المراة قبل أن يصل إلى البؤرة، وبالتالي قِف عند نقطة سقوط هذا الشعاع على المراة.
 - ارسم الشعاع الآخر بحيث يكون موازياً للمحور الأساسي.
- ٢- عند سقوط الشعاعين على المراة، سينعكسان حسب قاعدة الانعكاس للمرايا المحدبة كالتالي:
 - الشعاع الساقط على المراة بحيث يكون امتداده مارّاً بالبؤرة سينعكس موازياً للمحور الأساسي.
 - الشعاع الساقط الموازي للمحور الأساسي سينعكس بحيث يمر امتداد الشعاع المنعكّس بالبؤرة (لاحظ أن الشعاعين سيتشتّtan بعد الانعكاس).



الوحدة الثالثة الموجات الكهرومغناطيسية Electromagnetic Waves

- ٣- حدد موضع صورة الطرف العلوي للجسم.
 لأن الشعاعين المنعكسيين يتفرقان، قم برسم امتداداتهما مستخدما خطًّا متقطعاً حتى يتقاطعان. إن نقطة تقاطع الشعاعين هي نقطة موضع صورة الطرف العلوي للجسم. إذا قمت برسم شعاع ثالث ساقط باتجاه المرأة فإن الشعاع المنعكس سيمر امتداده بهذه النقطة.
- ٤- كرر الخطوات السابقة للطرف السفلي للجسم كما تم توضيحه في المرأة المقرعة.

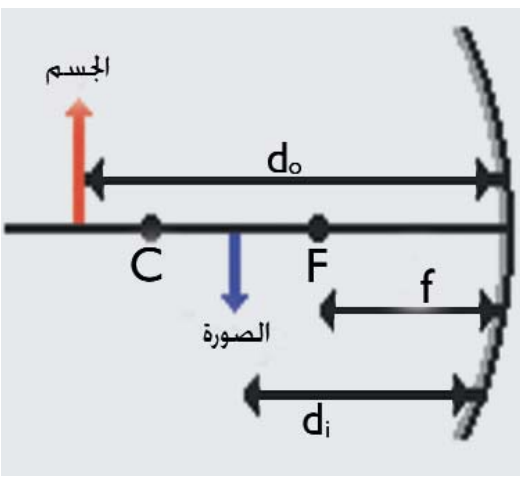
نلاحظ من الشكل (٣١-٥) أن الصورة المتكونة بواسطة المرأة المحدبة هي صورة تقديرية (تقع خلف المرأة) كما أنها معتدلة وأصغر من الجسم. ولكن هل هذه دائمًا خصائص الصور التي تشكلها المرآيا المحدبة، أم أنه يمكن للمرأيا المحدبة أن تشكل صورًا حقيقة أو مقلوبة أو مكبرة؟ وللإجابة عن هذا السؤال تمعن في الأشكال الثلاثة الآتية (٣٢-٥، أ، ب، ج) التي توضح مسارات الأشعة لأجسام مختلفة في موقع مختلفة على طول المحور الأساسي لمرآة محدبة.



الشكل (٣٢-٥)

ويوضح الشكل السابق أنه في كل حالة تكون خصائص الصورة المتكونة في المرأة المحدبة كالتالي:
 - تقديرية (خلف المرأة) - معتدلة - مصغرة
 في خلاف المرأة المقرعة، فإن الصور التي تشكلها المرأة المحدبة تشتراك في هذه الصفات، حيث أن موضع الجسم لا يؤثر على خصائص الصورة المتكونة، وبالتالي فإن خصائص الصور التي تشكلها المرآيا المحدبة من السهل التنبؤ بها.

الوحدة الثالثة الموجات الكهرومغناطيسية Electromagnetic Waves



إن مخططات الأشعة تزودنا ببعض المعلومات تقديرية حول موقع الصورة وحجمها ولكنها لا تزودنا ببعض المعلومات كمية عدديّة حول الموضع والحجم، وحتى نحصل على مثل هذه المعلومات فإننا نستخدم معادلة المرآيا **Mirror Equation** ومعادلة التكبير الكمية بين موقع الجسم d_o وموقع الصورة d_i ، والبعد البؤري f وتنص على:

$$\frac{1}{f} = \frac{1}{d_o} + \frac{1}{d_i} \quad (5-5)$$

أما معادلة التكبير فهي تربط بين نسبة موقع الصورة إلى موقع الجسم وبين نسبة ارتفاع الصورة h_i ، إلى ارتفاع الجسم h_o وتكتب المعادلة كالتالي:

$$M = -\frac{h_i}{h_o} = -\frac{d_i}{d_o} \quad (6-5)$$

الوحدة الثالثة الموجات الكهرومغناطيسية Electromagnetic Waves

مع مراعاة الإشارات في الحالات التالية:

| سالبة | موجبة | |
|---------------------------------|----------------------------------|----------------------|
| الجسم خلف المرأة (الجسم خيالي*) | الجسم أمام المرأة (الجسم حقيقي*) | بعد الجسم (d_o) |
| الصورة خلف المرأة (تقديرية) | الصورة أمام المرأة (حقيقية) | بعد الصورة (d_i) |
| المرأة دبة (مشتتة) | المرأة مقعرة (مجمعة) | البعد البؤري (f) |
| الصورة خلف المرأة ومتعدلة | الصورة أمام المرأة ومقلوبة | التكبير (M) |

* الجسم الحقيقي هو الذي تتفرق منه الأشعة، أما الجسم الخيلي فهو الذي تجتمع فيه الأشعة.

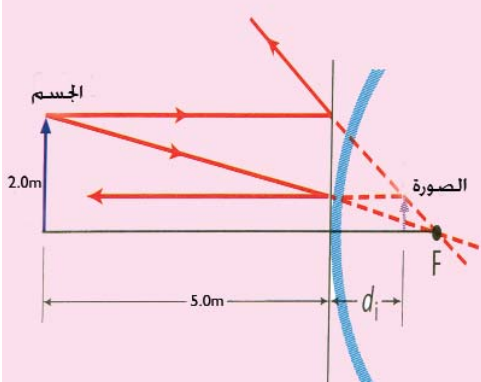
مثال (٢):

مرآة محدبة تستخدم للمراقبة في مستودع للبضائع والسلع، مركز تكورها يساوي 1.0 m . تقع رافعة طولها 2.0 m على بعد 5.0 m من المرأة. ما موضع وحجم الصورة المكونة؟

الحل:

نرسم هذه الحالة وذلك بتحديد موضع الجسم من المرأة ، ثم رسم الشعاعين الأساسيين كما هو موضح في الشكل (٣٣-٥).
ما أن العدسة محدبة فالبعد البؤري لها سالب ويساوي:

الشكل (٣٣-٥)



$$f = -\frac{R}{2} = -\frac{1.0}{2} = -0.5 \text{ m}$$

الوحدة الثالثة الموجات الكهرومغناطيسية

Electromagnetic Waves



تطبيقات حياتية:

بها أن المرأة المحدبة تكون دائئراً صوراً تقديرية معتدلة ومصغرة فهي مفيدة في توسيع مجال الرؤيا، ولهذا الغرض يستخدمها طبيب الأسنان وطبيب العيون، كما تستخدم في المتاجر الكبيرة للمراقبة وكamera جانبية في السيارة.



نستخدم معادلة المرايا لإيجاد موضع الصورة

$$\frac{1}{f} = \frac{1}{d_o} + \frac{1}{d_i}$$

$$\frac{1}{d_i} = \frac{1}{f} - \frac{1}{d_o}$$

$$\frac{1}{d_i} = \frac{1}{-0.5} - \frac{1}{0.5}$$

$$\therefore d_i = -0.45 \text{ m}$$

أي أن الصورة تقديرية

$$M = -\frac{h_i}{h_o} = -\frac{d_i}{d_o}$$

$$h_i = \frac{-d_i h_o}{d_o} = -\frac{-0.45 \times 2.0}{5.0} = 0.18 \text{ m}$$

أي أن الصورة معتدلة ومصغرة.

اخبر فهمك (٦):

- ١- وضع قلم رصاص أمام مرآة محدبة بعدها البؤري **8.00 cm** ف تكونت صورة معتدلة للقلم طولها **2.50cm** على مسافة **4.44 cm** خلف المرأة. أوجد:
أ- بعد الجسم من المرأة ب- التكبير ج- طول القلم
- ٢- وضع مصباح ضوئي طوله **4.00 cm** على مسافة مقدارها **45.7 cm** من مرآة م-curved بعدها البؤري **15.2 cm** ، حدد موضع صورة المصباح وحجمها.

قم بإجراء الدرس العملي (٤) للتعرف على خصائص الصور المتكوتة في المرايا المحدبة والم-curved

الوحدة الثالثة الموجات الكهرومغناطيسية

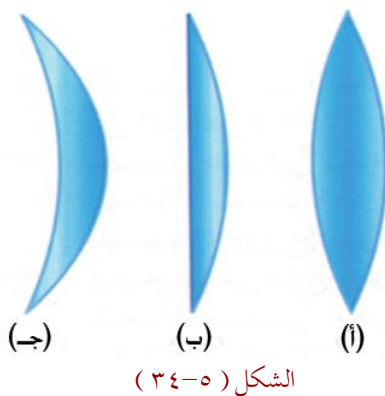
Electromagnetic Waves

العدسات الرقيقة Thin Lenses

ت تكون العدسة من جسم شفاف يحده سطحان كرويان، وقد تكون من الزجاج أو البلاستيك، وهي تستخدم بشكل واسع في النظارات والكاميرات وأجهزة العرض وغيرها من الأجهزة البصرية. ويمكن تعريف العدسة الرقيقة على أنها عدسة سماكتها صغير مقارنة ببعدها البؤري. عندما يسقط الضوء على الأجزاء المختلفة من سطح العدسة ستكون له زوايا سقوط مختلفة، وبالتالي زوايا انكسار مختلفة. وتصنف العدسات إلى مجموعتين رئيسيتين:

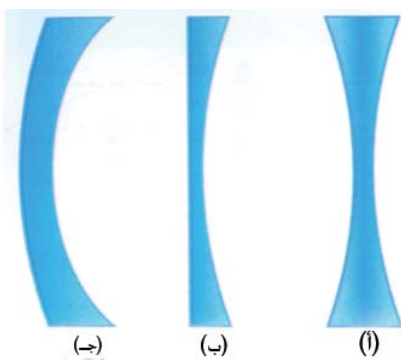
١- العدسات المحدبة Convex Lenses

ويكون وسطها أسمك من أطرافها وتصنع بأشكال مختلفة، كما هو موضح في الشكل (٣٤-٥).



٢- العدسات المقعرة Concave Lenses

وتكون أطرافها أسمك من وسطها وتصنع بأشكال مختلفة، كما هو موضح في الشكل (٣٥-٥).



يبين الشكل (٣٦) العمل الأساسي للعدسات الرقيقة. فالعدسة المحدبة تقوم بتجميل الأشعة الضوئية لذا تسمى بالعدسة المجمعة **converging lens** ، بينما تقوم العدسة المقعرة بتشتيت الأشعة لذا تسمى بالعدسة المشتتة **diverging lens** .

كما يظهر في الشكل (٣٦-٥) بعض المصطلحات التي تقييدك أثناء دراستك للعدسات وهي:

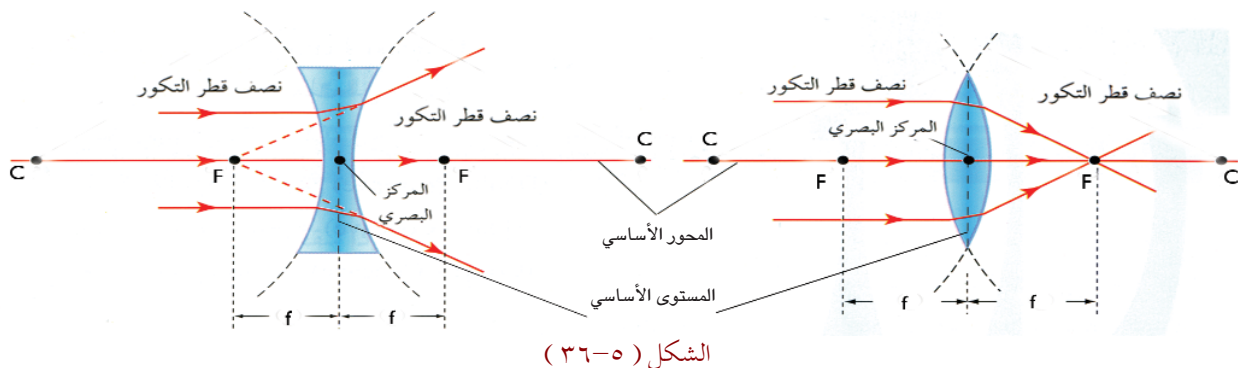
١- المركز البصري **optical center** : وهو منتصف المسافة بين سطحي العدسة في محورها الأساسي، والأشعة المارة بالمركز البصري لا تنكسر.

٢- المحور الأساسي **principal axis** : الخط الأفقي المار خلال المركز البصري للعدسة.

٣- البؤرة (**F**) **focal point** : النقطة التي تلتقي عندها جميع الأشعة الموازية للمحور الأساسي بعد انكسارها بواسطة العدسة.

٤- البعد البؤري (**focal length (f)**) : المسافة بين المركز البصري والبؤرة.

الوحدة الثالثة الموجات الكهرومغناطيسية Electromagnetic Waves



وإذا أمعنت النظر في الشكل السابق ستلاحظ أن الأشعة الضوئية تنكسر على سطح العدسات الرقيقة مرتين: واحدة أثناء دخول العدسة، وأخرى أثناء خروجها (فسر ذلك بالاعتماد على قانون سنل). وبما أن الحديث هنا عن العدسات الرقيقة، فإننا نعتبر أن الانكسار يحدث في العدسة عند المستوى الأساسي الموضح في الشكل (٣٦-٥).

الاستكشاف (٣): مشاهدة بؤرة العدسة

سؤال علمي: هل يمكن مشاهدة بؤرة العدسة المحدبة أو المقعرة؟

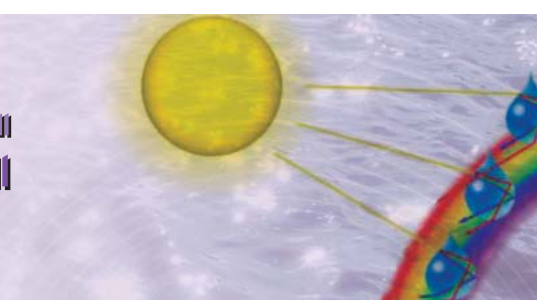
المواد والأدوات: عدسة محدبة – عدسة مقعرة – مسحوق طباشير – حامل عدسات – مصدر ضوئي قطعة كرتونية – مسطرة

الإجراءات:

- ١- ضع العدسة المحدبة على الحامل.
- ٢- أضيء المصباح وسلط ضوءه على العدسة.
- ٣- اثمر غبار الطباشير على الجهة المقابلة للمصدر الضوئي، ولاحظ مسار الأشعة.
- ٤- قم بتغيير موقع المصدر الضوئي واثمر غبار الطباشير، هل يتغير موقع تجمع الأشعة الضوئية؟
- ٥- حرك القطعة الكرتونية حتى تحصل على أصغر بقعة مضيئة (نقطة تجمع الأشعة)، ماذا نسمى هذه النقطة؟
- ٦- اطلب من زميلك قياس المسافة ما بين العدسة والقطعة الكرتونية، ماذا تسمى المسافة التي قمت بقياسها؟
- ٧- قم بقلب العدسة بحيث يسقط الضوء على الوجه الآخر، وأعد الخطوات السابقة. ماذا تلاحظ؟
- ٨- ضع عدسة مقعرة بدلاً من المحدبة، ثم أعد الخطوات (١-٧) وسجل ملاحظاتك.

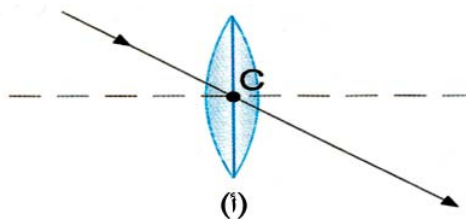
الوحدة الثالثة الموجات الكهرومغناطيسية

Electromagnetic Waves



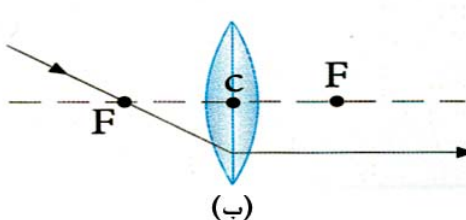
التحليل والتفسير:

- ١- ماذا نسمّى النقطة التي تجتمع عندها الأشعة الضوئية؟
- ٢- ماذا يحدث عند قلب العدسة؟
- ٣- في هذا النشاط، ما الفرق بين نتائج العدسة المحدبة ونتائج العدسة المقعرة؟



- الصور المكونة بواسطة العدسات المحدبة :

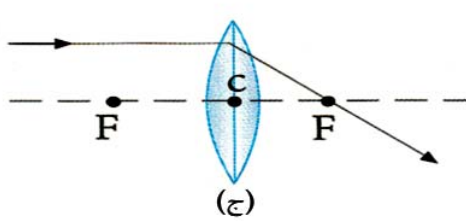
لرسم الصور المكونة في العدسات المحدبة هندسياً تستخدم المسارات الآتية للأشعة:



١- الشعاع المار بالمركز البصري لا ينكسر، لاحظ الشكل (٣٧-٥ أ).

٢- الشعاع المار بالبؤرة ينكسر موازياً للمحور الأساسي، لاحظ الشكل (٣٧-٥ ب).

٣- الشعاع الموازي للمحور الأساسي ينكسر ماراً في البؤرة. لاحظ الشكل (٣٧-٥ ج).

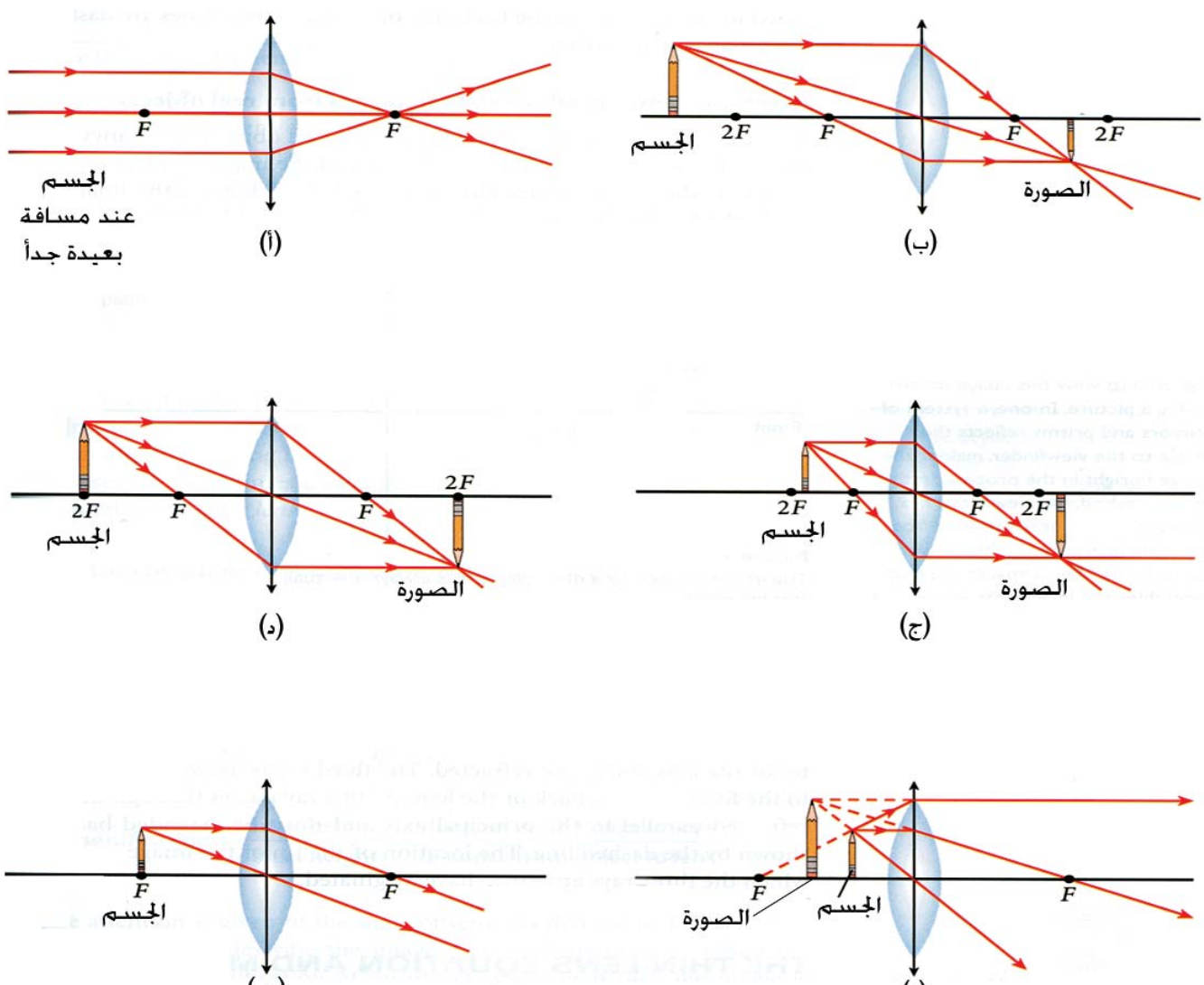


ومن الجدير بالذكر أنه يمكن رسم الصور المكونة سواء في العدسة المحدبة أم المقعرة مستخدمين شعاعين فقط من هذه الأشعة الثلاثة.

الشكل (٣٧-٥)

ويلخص الشكل (٣٨-٥) العلاقات المحتملة بين موقع الجسم وموقع الصورة للعدسات المحدبة.

الوحدة الثالثة الموجات الكهرومغناطيسية Electromagnetic Waves



الشكل (٣٨-٥)

الوحدة الثالثة الموجات الكهرومغناطيسية Electromagnetic Waves

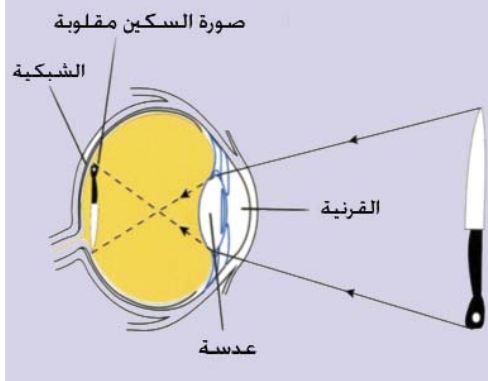
معلومة تهمك:

هل تعلم أنك ولدت بزوج من العدسات المجمعة في عينيك؟
تعمل العين بنظام بسيط ، حيث تسقط الأشعة الضوئية وتتجمع عند مرورها خلال القرنية . والعدسة خلف القرنية تساعد على تجميع وتركيز الأشعة لتشكيل صورة حادة ومقلوبة في الشبكية، وترسل الصورة المتشكلة إلى عقلك الذي يقوم بتعديل الصورة لظهور معتملة .

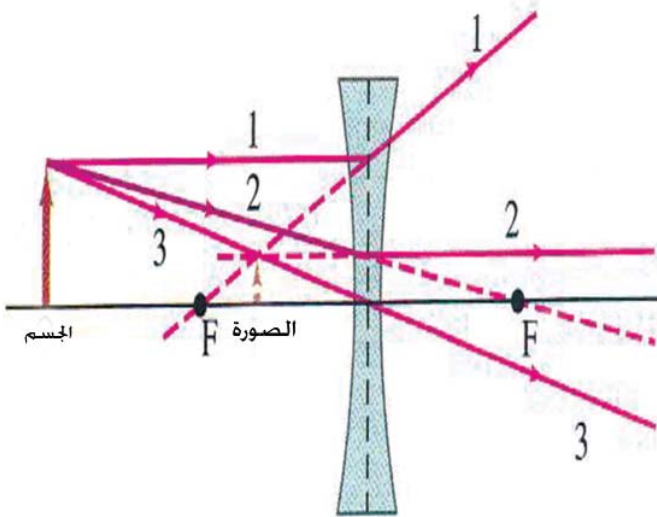
ويلاحظ من خلال الشكل (٣٨ - ٥) أن العدسات المحدبة يمكن أن تشكل صوراً حقيقية أو تقديرية (خيالية) للجسم؛ حيث أن الجسم الذي يقع على مسافة بعيدة جدًا من العدسة (الشمس مثلاً) تكون له صورة نقطية عند البؤرة وهذه الصورة حقيقية (يمكن استقبالها على حائط أو شاشة). وعندما يقترب الجسم من البؤرة، تصبح الصورة أكبر وأبعد كما يظهر في الأشكال (٣٨ - ب، ج، د). عندما يصبح الجسم بين العدسة والبؤرة ، فإن الأشعة القادمة من الجسم تتفرق عند مرورها خلال العدسة كما هو موضح في الشكل (٣٨ - و)، وهذه الصورة تظهر للناظر من خلف العدسة وكأنها في نفس الجانب من العدسة الذي يقع فيه الجسم.

- الصور المتكونة بواسطة العدسات المقعرة :

تشكل العدسات المقعرة صوراً تقديرية (خيالية) للأجسام الحقيقة الموضوعة في أي مكان بالنسبة للعدسة، والتكبير دائماً أقل من 1، مما يعني أن صورة الجسم تكون مصغرة، بالإضافة إلى ذلك تظهر الصورة بين البؤرة والمركز البصري لأي موضع للجسم الحقيقي.



الوحدة الثالثة الموجات الكهرومغناطيسية Electromagnetic Waves



الشكل (٣٩-٥)

وترسم مسارات الأشعة للعدسات المشتتة باستخدام القواعد التي درستها للعدسات المحدبة كما هو موضح في الشكل (٣٩-٥). حيث أن الشعاع الأول الموازي للمحور يظهر وكأنه قادم من البؤرة على جانب العدسة الذي يوجد فيه الجسم، وهذا الشعاع يشار إليه بالخط المتقطع. أما الشعاع الثاني فيرسم كأنه متوجه إلى البؤرة خلف العدسة، عندما يمر هذا الشعاع خلال العدسة سينكسر موازياً للمحور الأساسي وبالتالي يجب مده إلى الخلف كما هو موضع بالخط المتقطع ، أما الشعاع الثالث المار بمركز العدسة فهو لا ينكسر، ويكون موضع الصورة هو النقطة التي تظهر أن الأشعة تولدت عنها.

ومن الجدير بالذكر أنه يمكن رسم الصور المتكونة في العدسة المقعرة باستخدام شعاعين من هذه الأشعة الثلاثة.

- معادلة العدسات

تعطي خطوط الأشعة تقديرًا جيداً حول حجم الصورة وموقعها ولكن من الممكن حساب هذه القيم رياضياً باستخدام معادلة المرايا (٥-٥)، ويطلق عليها في حالة العدسات معادلة العدسة الرقيقة لأنها مشتقة على افتراض أن العدسة رقيقة جدًا، وبعبارة أخرى تطبق هذه المعادلة عندما يكون سمك العدسة أصغر بكثير من بعد البؤري. وتنص هذه المعادلة على أن:

$$\frac{1}{f} = \frac{1}{d_o} + \frac{1}{d_i}$$

حيث : d_o موقع الجسم و d_i ، موقع الصورة و f بعد البؤري
ويمكن تطبيق هذه المعادلة على كل من العدسات المحدبة والمقعرة، مع مراعاة إشارة كل متغير وذلك كالتالي:

الوحدة الثالثة

الموجات الكهرومغناطيسية

Electromagnetic Waves

| موجبة | سالبة | |
|-----------------------------|--------------------------------|----------------------|
| الجسم أمام العدسة (حقيقي) | الجسم خلف العدسة (خيالي) | بعد الجسم (d_o) |
| الصورة خلف العدسة (حقيقة) | الصورة أمام العدسة (تقديرية) | بعد الصورة (d_i) |
| العدسة محدبة (مجمعة) | العدسة مقعرة (مشتتة) | البعد البؤري (f) |

اختبار فهمك (٧) :



املاً الفراغات في الجدول الآتي بالإجابات المناسبة:

| M | f | d_i | d_o | نوع العدسة |
|--------------------------|-------------------------------------|-------------------------------------|------------------------------------|------------|
| ? | 6.0 cm | -3.0 cm | ? | دببة |
| ? | 2.9 cm | 7.0 cm | ? | |
| ? | -6.0 cm | ? | 4.0 cm | مقعرة |
| 0.50 | ? | ? | 5.0 cm | |

قم بإجراء الدرس العملي (٥) للتعرف على خصائص الصور المكونة في العدسات المحدبة والمقعرة.

الوحدة الثالثة الموجات الكهرومغناطيسية Electromagnetic Waves



٦-٥ تداخل وحيود الضوء Interference and Diffraction of Light

درسنا حتى الآن سلوك الضوء في العدسات والمرآيا ، وسرى الآن أن الطبيعة الموجية للضوء تؤدي إلى ظواهر أخرى كالتدخل والحيود التي تشبه كثيراً ما قابلناه عند دراسة الموجات الميكانيكية كالصوت وال WAVES . المكونة في جبل مشدود وال WAVES المائة.

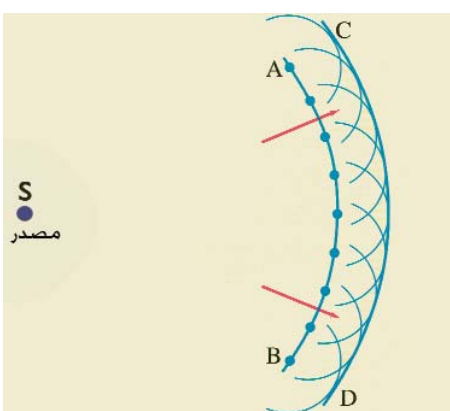
- مبدأ هيجنز وقانون الانكسار *Huygens principle and the law of refraction*

إن إنكسار الضوء عند انتقاله بين وسطين مختلفين يمكن تفسيره باستخدام مبدأ هيجنز *Huygens principle* الذي وضعه العالم هيجنز (Huygens) (١٦٢٩ - ١٦٩٥ م).

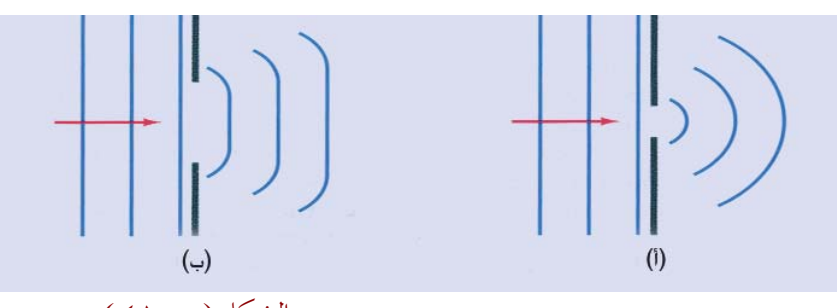
وبحسب هذا المبدأ فإن جميع النقاط في جبهة موجة الضوء يمكن اعتبارها مصادر جديدة ل WAVES أصغر ، وهذه الموجات تنتشر في جميع الاتجاهات ، ومصدر الضوء يتكون من عدد لا متناهي من المصادر النقطية التي تولد جبهات ل WAVES مستوية.

على سبيل المثال ، افترض جبهة موجة *AB* كما في الشكل (٤٠-٥) مبتعدة عن مصدر الموجات *S* ، سنعتبر أن الوسط متجانس أي أن سرعة الموجات *v* ثابتة في جميع الاتجاهات . لايجاد جبهة الموجة بعد زمن قصير مقداره *t* بعد أن كان عند الموضع *AB* ، يتم رسم دوائر صغيرة جدًا بنصف قطر مقداره *r = vt* . إن مراكز هذه الدوائر ممثلة بال نقاط الزرقاء في جبهة الموجة الأصلية *AB* . وتمثل الدوائر

موجات هيجنز والماس لجميع هذه الموجات (الممثل بالخط *CD*) هو الموضع الجديد لجبهة الموجة . ويعتبر مبدأ هيجنز مفيداً في تحليل ماذا يحدث للموجات عند اصطدامها بحائل أو مرورها عبر فتحة ضيقة ، حيث تنبأ هيجنز أن الموجات ستتحدى خلف الحائل ، كما يظهر في الشكل (٤١-٥) وكما يحدث ل WAVES الماء (التي درستها في الفصل الثالث) وهو ما يعرف بظاهرة الحيود .

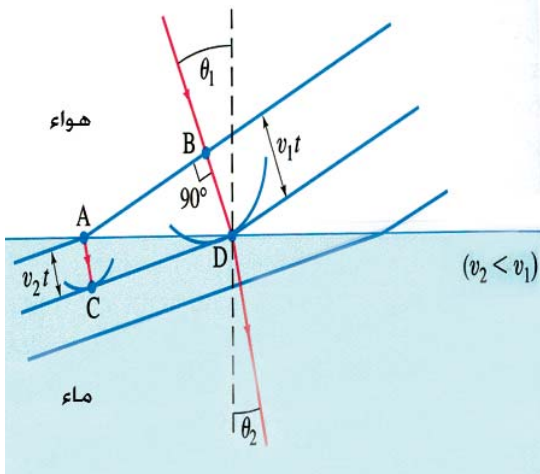


الشكل (٤٠-٥)



الشكل (٤١-٥)

الوحدة الثالثة الموجات الكهرومغناطيسية Electromagnetic Waves



الشكل (٤٢-٥)

إذا افترضنا شعاعاً ضوئياً انتقل بين وسطين بحيث انحرف باتجاه العمود المقام على السطح الفاصل بين الوسطين (مثلاً بين الهواء والماء) كما هو موضح في الشكل (٤٢-٥)، بحيث أن سرعة الضوء في الوسط الثاني أقل من سرعته في الوسط الأول ($v_2 < v_1$) ، وفي زمن مقداره t فإن النقطة **B** في جبهة الموجة AB تنتقل مسافة $v_1 t$ حتى تصل النقطة **D**، والنقطة **A** تنتقل مسافة مقدارها $v_2 t$ حتى تصل إلى النقطة **C** ($v_2 t < v_1 t$) .
ويطبق مبدأ هيجنز عند النقطة **A** و**B** للحصول على الموجات الموضحة في **C** و **D**. وجبهة الموجة هي الماس لهذه الموجات وبالتالي فإن جبهة الموجة الجديدة يمثلها الخط **CD**، وبالتالي ستنحرف الأشعة باتجاه العمودي في حالة أن ($v_2 < v_1$) .

ويمكن اشتقاد قانون سنل للانكسار مباشرةً من مبدأ هيجنز، حيث أن الزاوية **ADC** هي θ_2 والزاوية **BAD** هي θ_1 ، وبالتالي فلل مثلث المشتركين في الصانع **AD**، نجد أن:

$$\sin \theta_1 = \frac{v_1 t}{AD} , \quad \sin \theta_2 = \frac{v_2 t}{AD}$$

وبقسمة المعادلتين نحصل على:

$$\frac{\sin \theta_1}{\sin \theta_2} = \frac{v_1}{v_2}$$

نجد أن: $v_1 = \frac{c}{n_1}$ ، $v_2 = \frac{c}{n_2}$ وعما أن

$$n_1 \sin \theta_1 = n_2 \sin \theta_2$$

وهو قانون سنل للانكسار، وعندما ينتقل الضوء من وسط إلى آخر ، فإن ترددده لا يتغير ، وإنما يتغير طوله الموجي كما يظهر في الشكل (٤٢-٥)، حيث يمثل كل خط أزرق جبهة موجة لقمة (وبالتالي فإن vt تمثل المسافة بين قمتين متتاليتين أي طول موجي واحد λ) وبالتالي:

الوحدة الثالثة الموجات الكهرومغناطيسية Electromagnetic Waves

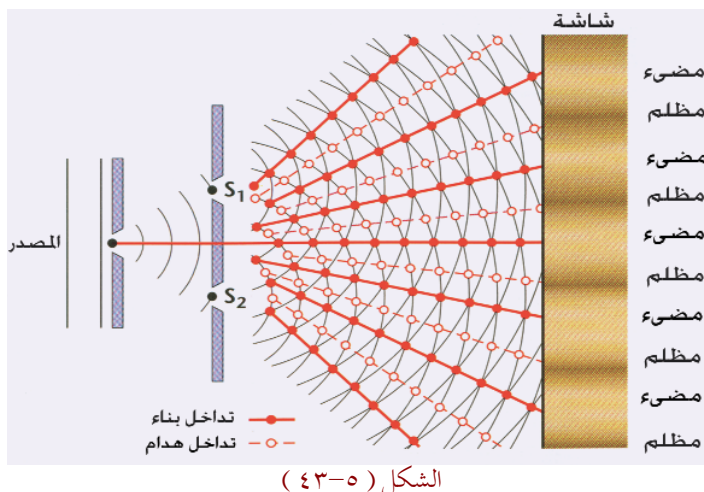


$$\frac{\lambda_2}{\lambda_1} = \frac{v_2 t}{v_1 t} = \frac{v_2}{v_1} = \frac{n_1}{n_2}$$

أو:

$$\frac{\sin \theta_1}{\sin \theta_2} = \frac{v_2}{v_1} = \frac{\lambda_2}{\lambda_1} = \frac{n_1}{n_2} \quad (7-5)$$

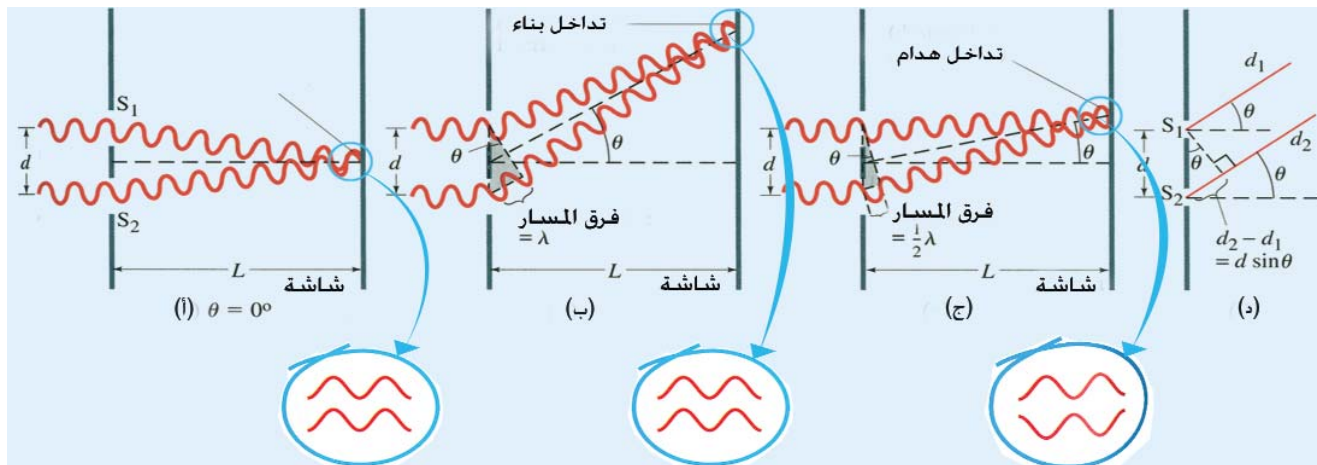
- التداخل - تجربة شقي يونج Interference- Young's two slit experiment



في عام ١٨٠١ قام العالم الإنجليزي توماس يونج Thomas Young بتجربة مُكنته من القيام بقياسات دقيقة للطول الموجي للضوء باستخدام ظاهرة الحيود، كما زودته بإثبات إضافي حول الطبيعة الموجية للضوء. قام العالم يونج بتسلیط شعاع ضوئي أحادي اللون (طول موجي واحد) على شقين متقاربين في حاجز (S_1, S_2) كما هو موضح في الشكل (٤٣-٥)، وقد تعرض هذا الشعاع للحيود أثناء عبوره الشقين، ثم تدخلت الأشعة القادمة من الشقين وسقطت على شاشة وضعت في الجهة المقابلة للحاجز، وقد ظهرت سلسلة من الخطوط المضيئة والمظلمة أسمها يونج أهداب التداخل interference fringes، وقد فسر تكون الأهداب بالتدخل الهدام والبناء للموجات القادمة من الشقين. ولتفسير نمط التداخل في تجربة يونج سنستخدم الشكل (٤-٥)، حيث يوضح موجات طولها الموجي λ تسقط على حاجز به شقين (S_1, S_2) المسافة بينهما d ، حيث تنتشر الموجات في جميع الاتجاهات بعد عبورها الشقين، ويوضح الشكل ثلاث زوايا فقط للانبعاث. في الشكل (٤-٥) تصل الموجات مركز الشاشة بزاوية ($\theta = 0$)، أي أن الموجات من الشقين تتحرّك نفس المسافة وبالتالي فهما متطاورتان (قمة إحدى الموجتين تصل في نفس الوقت الذي تصل فيه قمة الموجة الأخرى)، وبالتالي تُجمع سعة الموجتين لتشكيل موجة ذات سعة أكبر وهذا هو التداخل البناء، لذا تتشكل منطقة مضيئة على الشاشة. كما يحدث التداخل البناء أيضاً عندما يكون الفرق بين مسار الشعاعين القادمين من

الصورة بـ d ، حيث تنتهي الموجات في جميع الاتجاهات بعد عبورها الشقين، ويوضح الشكل ثلاث زوايا فقط للانبعاث. في الشكل (٤-٥) تصل الموجات مركز الشاشة بزاوية ($\theta = 0$)، أي أن الموجات من الشقين تتحرّك نفس المسافة وبالتالي فهما متطاورتان (قمة إحدى الموجتين تصل في نفس الوقت الذي تصل فيه قمة الموجة الأخرى)، وبالتالي تُجمع سعة الموجتين لتشكيل موجة ذات سعة أكبر وهذا هو التداخل البناء، لذا تتشكل منطقة مضيئة على الشاشة. كما يحدث التداخل البناء أيضاً عندما يكون الفرق بين مسار الشعاعين القادمين من

الوحدة الثالثة الموجات الكهرومغناطيسية Electromagnetic Waves



الشكل (٤٤-٥)

الشقين طول موجي واحد أو أي عدد صحيح من الأطوال الموجية كما هو موضح في الشكل (٤٤-٥ ب)، أما إذا تحرك أحد الشعاعين مسافة إضافية مقدارها نصف طول موجي ($\frac{3}{2}\lambda$) أو ($\frac{5}{2}\lambda$..) ، فإن الموجتين تكونان غير متطاورتين (قمة إحدى الموجتين تصل في نفس الوقت الذي يصل فيه قاع الموجة الأخرى)، وبالتالي يحدث تداخل هدام وت تكون منطقة مظلمة على الشاشة كما في الشكل (٤٤ ج). لذلك ستكون هناك سلسلة من المناطق المضيئة والمظلمة على الشاشة، ولتحديد مواضع المناطق المضيئة لاحظ الشكل (٤٤ د)، إن الزاوية (θ) هي الزاوية التي تصنعها الأشعة مع الأفقي، كما أن المسافة (d) تعتبر صغيرة جدًا مقارنة بالمسافة (L) التي تمثل بعد الشاشة عن الحاجز. ومن مساحة المثلث المضللة في الأشكال (٤٤ ب وج) يمكننا استنتاج أن المسافة الإضافية التي يقطعها الشعاع السفلي هي $d \sin \theta$ ويطلق عليها فرق المسار. وبالتالي يحدث التداخل البناء عندما يكون فرق المسار مساوياً لعدد صحيح من الأطوال الموجية، أي أن:

$$d \sin \theta = m\lambda \quad m = 0, 1, 2, 3 \quad (٨-٥)$$

وتعرف m بأنها رتبة التداخل ، على سبيل المثال $m=0$ تمثل الهدب المركزي و $m=1$ هي الهدب المضيء الأول على جانبي الهدب المركزي.

أما التداخل الهدام فيحدث عندما يكون فرق المسار يساوي:

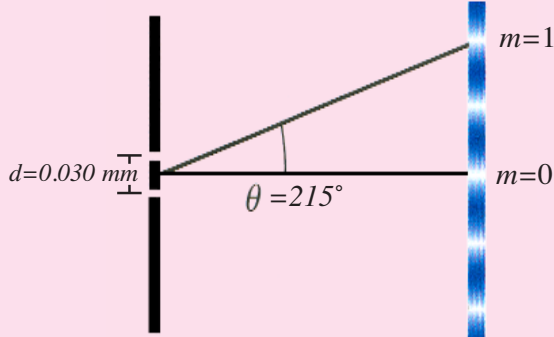
$$d \sin \theta = (m + \frac{1}{2})\lambda \quad m = 0, 1, 2, 3 \quad (٩-٥)$$

قم بإجراء الدرس العملي رقم (٦) لتجربة شقي يونج

الوحدة الثالثة الموجات الكهرومغناطيسية Electromagnetic Waves



مثال (٣) :



إذا كانت المسافة بين الشقين في تجربة يونج تساوي 0.030 mm ، والهدب المضيء الثاني تكون على زاوية مقدارها 2.15° من الهدب المركزي، احسب الطول الموجي للضوء.

الحل:

$$d \sin \theta = m\lambda$$

$$\lambda = \frac{ds \sin \theta}{m}$$

$$\lambda = \frac{(3.0 \times 10^{-5}) (\sin 2.15^\circ)}{2}$$

$$\lambda = 5.6 \times 10^{-7} \text{ m} = 5.6 \times 10^2 \text{ nm}$$

- الحيود بواسطة شق مفرد *Diffraction from a single-slit*

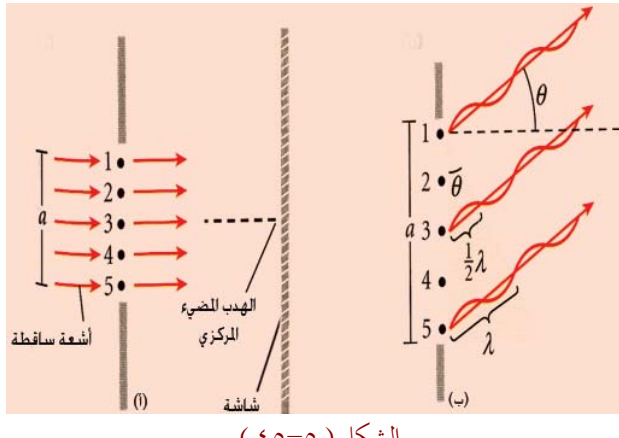
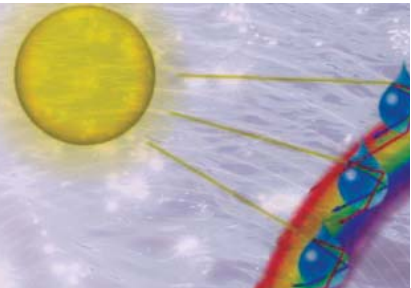
وضعت تجربة شقي يونج أساس راسخة للنظرية الموجية للضوء، إلا أن التقبيل الكامل لهذه النظرية جاء بعد دراسة الحيود، فعندما يمر الضوء خلال فتحة ضيقة يحدث له حيود وتشكل سلسلة من المناطق المضيئة والمظلمة لنمط مشابه لنمط التداخل في تجربة شقي يونج.

إن نمط الحيود المتكون يشبه نمط التداخل لأنهما ينشأان من التداخل البناء والهدم ، ولكن في حالة التداخل نفترض أن الشقين يعملان كمصادر نقطية للضوء، أما في الحيود فإن عرض الشق المفرد هو الذي يؤخذ في الاعتبار. وحسب مبدأ هيجنز فإن كل جزء من الشق يعمل كمصدر للموجات وبالتالي فإن الضوء القادم من أي جزء من الشق يمكن أن يتداخل مع الضوء القادم من الجزء الآخر، ومحصلة الشدة للضوء على الشاشة تعتمد على الزاوية θ التي حدث عندها حيود للضوء.

الوحدة الثالثة

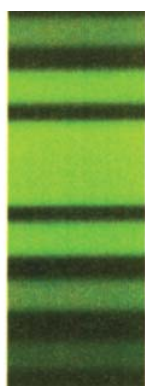
الموجات الكهرومغناطيسية

Electromagnetic Waves



ولفهم نمط الحيود عن شق مفرد تخيل الشكل (٤٥-٥) الذي يوضح موجات مستوية تعبر خلال شق عرضه **a** ، حيث أن كل نقطة في الشق هي مصدر ل WAVES هيجنز، ويعتبر الشكل (٤٥-٥) مبسطاً لأنّه يعرض ٥ نقاط من العدد اللامتناهي من هذه النقاط. وكما في حالة الشق المزدوج فإن الشاشة تكون على مسافة كبيرة جداً بالنسبة لعرض الشق. في منتصف الشاشة فإن كل الأشعة القادمة من الشق تتحرك نفس المسافة وبالتالي يتشكل هدب مضيء

(الهدب المركزي)، كما يمكن أن تداخل الموجات القادمة من المصادر الخمسة تداخلاً هداماً عند وصولها إلى الشاشة كما هو موضح في الشكل (٤٥-٥ ب) وذلك عندما تكون المسافة الإضافية التي تتحرك بها الموجة المتولدة



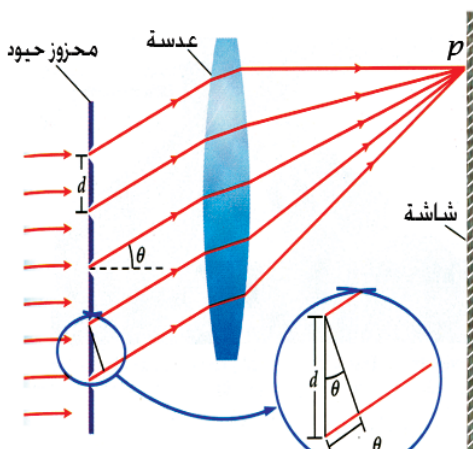
الشكل (٤٦-٥) : نمط حيود الضوء

من النقطة ٣ أطول بعدها نصف طول موجي من الموجة المتولدة من النقطة ١، حيث تداخل هاتان الموجتان تداخلاً هداماً على الشاشة. وفي نفس الوقت، فإن الموجة الصادرة من النقطة ٥ تتحرك مسافة أكبر بعدها نصف طول موجي من الموجة القادمة من النقطة ٣ وبالتالي تداخل الموجتان تداخلاً هداماً، وبالتالي تكون مناطق سوداء على الشاشة. هذا بالنسبة للزوايا التي يحدث عندها تداخل هدام، ولكن هناك زوايا أخرى لا تلغى فيها جميع موجات الضوء ، وعند هذه الزوايا يظهر الضوء كجزء من المناطق المضيئة على الشاشة . وظهور أقصى إضاءة عند مركز نمط الحيود على الشاشة ، كما هو موضح في الشكل (٤٦-٥) .

- محزوز الحيود *Diffraction Grating*

محزوز الحيود هو العدد الكبير من الشقوقيات المتوازية التي تقع على أبعاد متساوية ، وهو يصمم لنقل الضوء أو انعكاسه باستخدام ظاهرة التداخل والحيود لتفريق الضوء إلى مكوناته من الألوان بما يشبه تأثير المنشور الزجاجي. ويوضح الشكل (٤٧-٥) مقطعاً لمحزوز الحيود حيث تسقط أشعة ضوئية مستوية أحادية اللون عمودية على سطح المحرزوز ، وال WAVES التي تخرج متوازية تقربياً من المحرزوز تجتمع عند النقطة **p** على الشاشة بواسطة العدسة. إن شدة النمط المتكون على الشاشة يعتمد على تأثير التداخل والحيود، حيث إن كل شق يحدث

الوحدة الثالثة الموجات الكهرومغناطيسية Electromagnetic Waves



الشكل (٤٧-٥)

عند حيود الضوء، ثم تتدخل الأشعة مع بعضها البعض لتكوين النمط على الشاشة. إن الموجات يجب أن تتحرك مسارات أطوالها مختلفة قبل أن تصلك النقطة p على الشاشة، فإذا كان فرق المسار $dsin \theta$ بين الموجات من أي شقين يساوي طول موجي واحد أو عدد صحيح من الأطوال الموجية، أي أن

$$dsin \theta = \pm m\lambda \quad m = 0, 1, 2, 3, \dots \quad (10-5)$$

فإن الموجات الصادرة عن الشقين ستكون متظورة عند النقطة p ، وستكون منطقة مضيئة في هذه الحالة. وهذه المعادلة يمكن استخدامها لحساب الطول الموجي للضوء بمعرفة المسافة الفاصلة بين الشقوق وزاوية الانحراف. أما m فهي رتبة الهدب المضي. وإذا كان الضوء الساقط يحتوي على العديد من الأطوال الموجية فإن كل لون سينحرف بزاوية معينة يمكن استنتاجها من المعادلة (10-5).

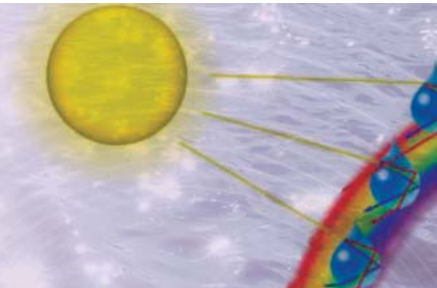
ويوضح الشكل (٤٨-٥) النمط الناتج عن محزوز الحيو و هو مشابه لنمط التداخل الناتج عن الشق المزدوج، ولكن المناطق المضيئة هنا تكون أكثر حدةً ووضوحاً، والمناطق المظلمة أوسع من التي تنتج عن الشق المزدوج، وبالتالي يمكن تمييز الألوان بسهولة كما أن الأطوال الموجية يمكن قياسها بدقة أكبر.



الشكل (٤٨-٥)

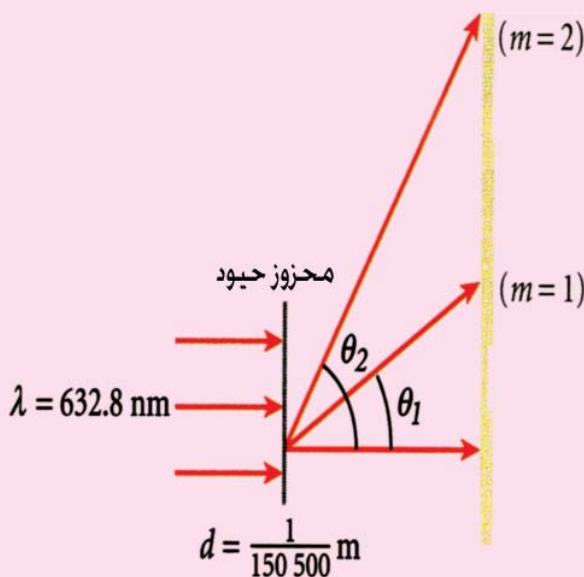
$$(m=-2) \quad (m=-1) \quad (m=0) \quad (m=1) \quad (m=2)$$

الوحدة الثالثة الموجات الكهرومغناطيسية Electromagnetic Waves



مثال (٤) :

سقط ضوء أحمر اللون طوله الموجي 632.8 nm عمودياً على سطح مخزوز حيود يحتوي على 150500 line/m ، أوجد الزوايا التي يمكن من خلالها ملاحظة الهدب المضيء الأول والهدب المضيء الثاني.



$$ds \sin \theta = \pm m\lambda$$

$$\theta_1 = \sin^{-1} \frac{m\lambda}{d}$$

- $m = 1$

$$\theta_1 = \sin^{-1} \frac{\lambda}{d} = \sin^{-1} \frac{6.328 \times 10^{-7}}{1} \\ \theta_1 = 5.465^\circ$$

- $m = 2$

$$\theta_2 = \sin^{-1} \frac{2\lambda}{d} \\ \theta_2 = \sin^{-1} \frac{2(6.328 \times 10^{-7})}{1} \\ \theta_2 = 10.98^\circ$$

الحل:

$$\theta_2 = 10.98^\circ$$

اختبار فهمك (٨) :

- ١- سقط شعاع ضوئي على شقين المسافة $2.02 \times 10^{-6} \text{ m}$ ، فتكون الهدب المضيء الأول على زاوية مقدارها 16.5° بالنسبة للهدب المركزي، أجد الطول الموجي للضوء المستخدم.
- ٢- مر شعاع ضوئي خلال مخزوز حيود يحتوي على 3550 lines/cm فتشكل الهدب المضيء الأول على زاوية مقدارها 12.07° .
 - أ- ما الطول الموجي للضوء؟
 - ب- ما الزاوية التي سيظهر عندها الهدب المضيء الثاني؟

الوحدة الثالثة
الموجات الكهرومغناطيسية
Electromagnetic Waves

أسئلة الفصل

السؤال الأول: اختر الإجابة الصحيحة من بين البدائل المطروحة

١- أي من العبارات التالية صحيحة حول سرعة أشعة جاما و موجات الراديو في الفراغ:

- أ- أشعة جاما أسرع من موجات الراديو.
- ب- موجات الراديو أسرع من أشعة جاما.
- ج- يتحرّكان بنفس السرعة في الفراغ.
- د- سرعتهما تعتمد على تردداتهما في الفراغ.

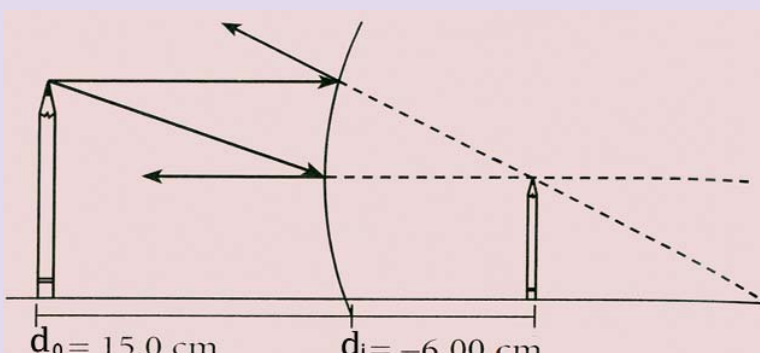
٢- يتأثر الضوء بزيادة معامل الانكسار كالتالي:

- د- تقل سرعته.
- ب- يزداد ترددده.
- ج- تزداد سرعته.

استخدم طط الأشعة في الشكل (٤٩-٥) للإجابة عن الأسئلة ٣-٥:

٣- ما نوع المرأة الموضحة في الشكل:

- أ- مستوية
- ب- محدبة
- ج- مقعرة
- د- لا توجد معلومات كافية لتحديد نوع المرأة.



٤- الصور المتشكّلة على المرأة تكون:

- أ- تقديرية و معتدلة و مصغرة.
- ب- حقيقة و مقلوبة و مصغرة.
- ج- تقديرية و معتدلة و مكبرة.
- د- حقيقة و مقلوبة و مكبرة.

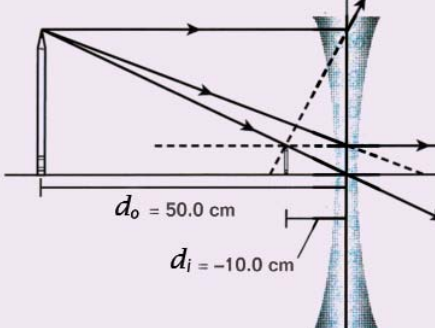
٥- البعد البؤري للمرآة يساوي:

- د- 10.0 cm
- ج- 4.30 cm
- ب- -4.30 cm
- أ- -10.0 cm

الوحدة الثالثة

الموجات الكهرومغناطيسية

Electromagnetic Waves



الشكل (٥٠-٥)

استخدم مخطط الأشعة في الشكل (٥٠-٥) للإجابة عن الأسئلة ٦-٧:

٦- البعد البوئي للعدسة يساوي:

أ- -8.33 cm ب- -12.5 cm

ج- 8.33 cm د- 12.5 cm

٧ الصورة المتشكّلة بواسطّة العدسة تكون:

أ- حقيقية ومقلوّبة ومكبّرة. ب- حقيقية ومقلوّبة ومصغّرة.

ج- تقديرية ومتعدّلة ومكبّرة. د- تقديرية ومتعدّلة ومصغّرة.

٨- إذا تم مراقبة جسم ما في الهواء من أسفل سطح الماء، فإن الجسم يظهر:

أ- فوق موقعه الحقيقي ب- في موقعه الحقيقي

ج- أسفل موقعه الحقيقي د- لا يمكن مشاهدة الجسم من أسفل سطح الماء.

٩- يمكن ملاحظة حيود الصوت بصورة أسهل من حيود الضوء المرئي بسبب:

أ- ملاحظة الصوت أسهل من ملاحظة الضوء المرئي.

ب- الأطوال الموجية للصوت أكبر من الضوء المرئي، وبالتالي تنحرف بصورة أكبر حول المواجر.

ج- الموجات الصوتية موجات طولية، وبالتالي تحيد بشكل أكبر من الموجات المستعرضة.

د- سعة الموجات الصوتية أكبر من الضوء المرئي.

١٠- أشعة تحت حمراء طولها الموجي 750 nm تمر خلال شقين ضيقين، فإذا كانت المسافة بين

الشقين $25 \mu\text{m}$ ، فإن الزاوية التي يظهر عندها الهدب المضيء الرابع على الشاشة تساوي:

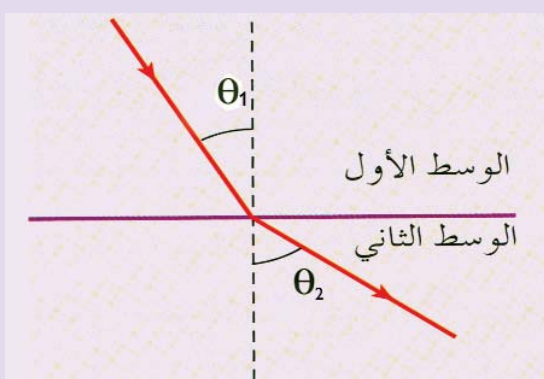
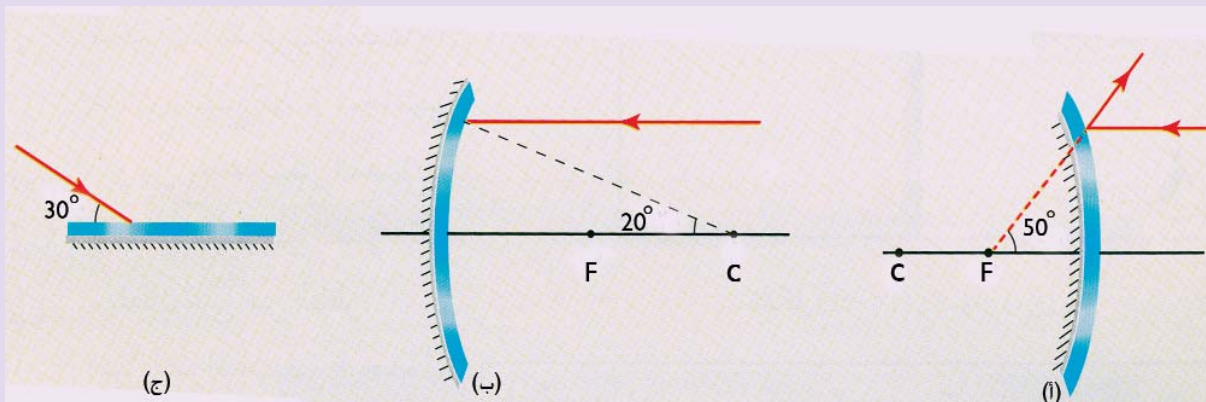
أ- 4.3° ب- 6.0°

ج- 6.9° د- 7.8°

الوحدة الثالثة الموجات الكهرومغناطيسية Electromagnetic Waves

السؤال الثاني: أجب عن الأسئلة التالية:
١- في الأشكال الآتية، بين كلًا من:

- أ- الشعاع المنعكس ب- العمود المقام ج- زاوية السقوط د- زاوية الانعكاس ومقدار كل منها:



الشكل (٥١-٥)

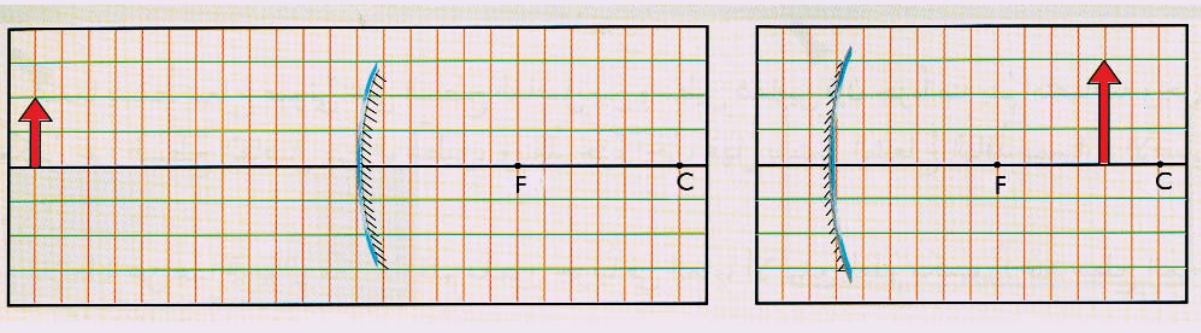
٢- علل: عند سقوط المطر أثناء قيادة السيارة ليلاً يعني بعض السائقين من التوهج الناتج من مصابيح السيارات!

٣- سقط شعاع ضوئي من الوسط الأول إلى الوسط الثاني كما في الشكل (٥١-٥):

- أ- أي الوسطين ذا معامل انكسار أكبر؟
 ب- في أي الوسطين سرعة الضوء أكبر؟
 ج- هل يمكن أن يحدث انعكاس داخلي كلي لشعاع ضوئي ساقط من الوسط الأول على السطح الفاصل بين الوسطين. لماذا؟

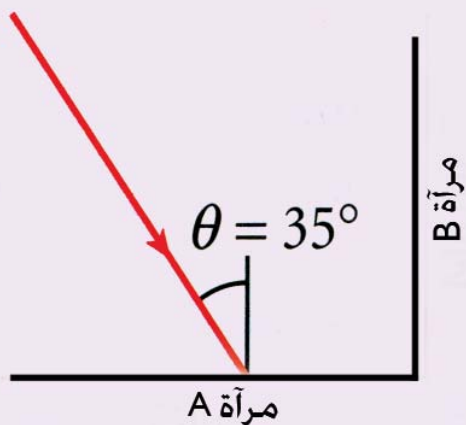
الوحدة الثالثة الموجات الكهرومغناطيسية Electromagnetic Waves

٤- في الشكل (٥٢-٥) بين بالرسم بعد الصورة المتكونة وطولها في كل حالة، بعد ذلك استخدم قانون المرايا وقانون التكبير لحساب بعد الصورة وطولها، قارن إجاباتك باستخدام الطريقتين.



الشكل (٥٢-٥)

٥- مرآتان مستويتان تصنعن زاوية 90° مع بعضهما كما هو موضح في الشكل (٥٣-٥)، شعاع ساقط يصنع زاوية 35° مع العمودي على المرأة A . حدد زاوية الانعكاس من المرأة B .



الشكل (٥٣-٥)

- ١- مرآة جانبية في السيارة نصف قطر تكورها 11.3 cm ، وتشكل المرأة صورة تقديرية لثلث حجم الجسم، كم يبلغ بعد الجسم عن السيارة؟
- ٢- مرآة حلقة م-curved نصف قطر تكورها 25.0 cm ، احسب مقدار التكبير وخصائص الصورة المتكونة في المرأة لقلم رصاص معتدل في كلٌ من الحالات التالية:
 أ- موضوع على مسافة مقدارها 45.0 cm من المرأة.
 ب- موضوع على مسافة مقدارها 25.0 cm من المرأة.
 ج- موضوع على مسافة مقدارها 5.0 cm من المرأة.

السؤال الثالث:

- الفصل الخامس
الطبيعة الموجية للضوء
Wave Nature of Light

الوحدة الثالثة الموجات الكهرومغناطيسية

Electromagnetic Waves

٣- أراد أحد هواة جمع العملات المعدنية ملاحظة تفاصيل العملة فوضعها على مسافة **5.0 cm** أمام عدسة محدبة، ف تكونت صورة لها على مسافة **7.5 cm** أمام العدسة كما هو موضح في الشكل (٥٤-٥).

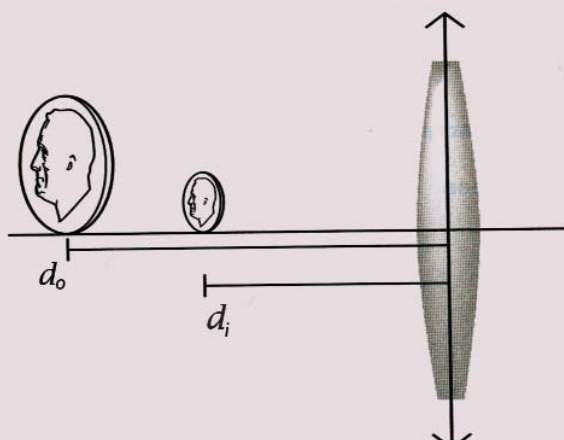
أ- ما بعد البؤري للعدسة؟

ب- كم مقدار تكبير صورة العملة؟

ج- إذا كان قطر العملة المعدنية **2.8 cm** ،

فكم يكون قطر الصورة؟

د- هل الصورة حقيقية أم تقديرية؟ معتدلة أم مقلوبة؟



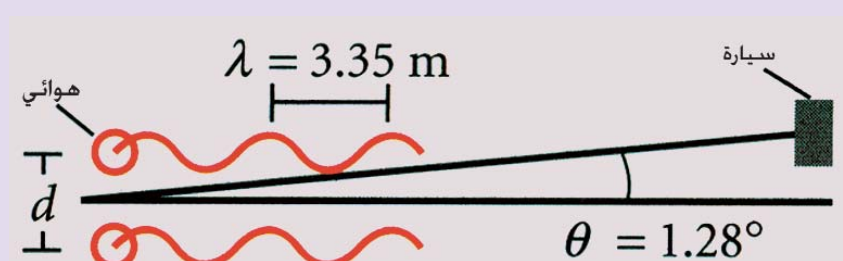
الشكل (٥٤-٥)

٤- هوائي راديو يصدران في نفس الوقت إشارات طولها الموجي **3.35 m** كما هو موضح في الشكل (٥-٥)، ويستقبل راديو سيارة تقع على بعد عدة أميال من

الهوائيين وتسير موازية للخط المستقيم بينهما هذه

الإشارات، فإذا كان الهدب الثاني يتكون على زاوية مقدارها **1.28°** أعلى الهدب المركزي للإشارات المتداخلة،

فما المسافة **d** بين الهوائيين؟



الشكل (٥٥-٥)

٥- احسب زاوية الهدب المضيء الثاني لضوء أحادي اللون طوله الموجي **550 nm** إذا تم تسلیطه على:

أ- شقين المسافة بينهما **$2.0 \times 10^6 m$** .

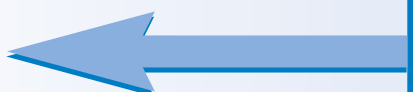
ب- مخزوز حيود يحتوي على **10500** شق لكل **1.0 m**.



الوحدة الرابعة
الفيزياء الذرية
Atomic Physics

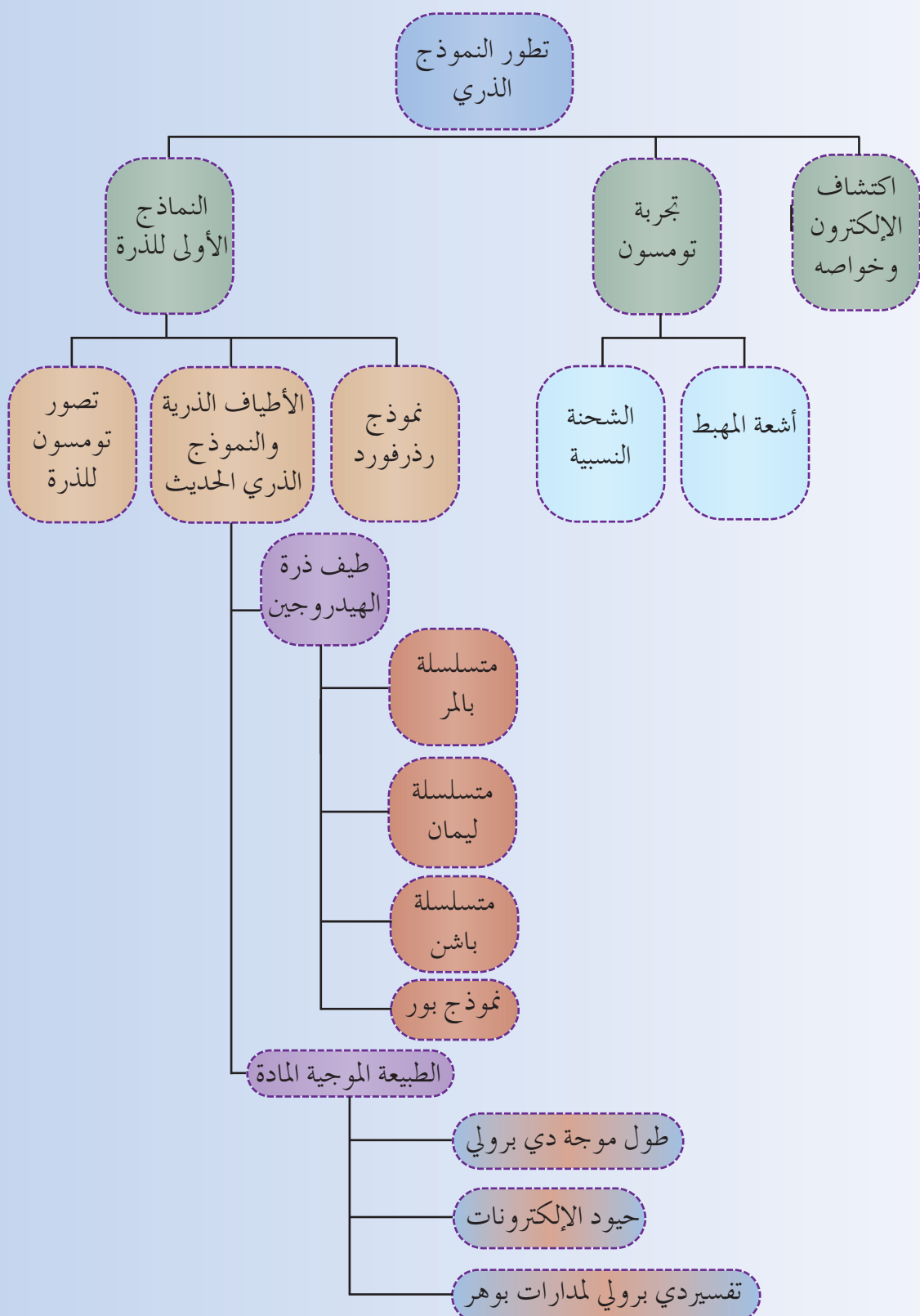
خارطة مفاهيم

الفصل السابع



الوحدة الرابعة الفيزياء الذرية

Atomic Physics





الوحدة الرابعة

الفيزياء الذرية

Atomic Physics

تطور النموذج الذري *The Development of Atomic Model*

الفصل السابع:

الطاقة النووية *Nuclear Energy*

الفصل الثامن:

مقدمة الوحدة:

كثيراً ما يرتبط مصطلح الفيزياء الذرية بالطاقة النووية، ويرجع ذلك إلى استخدام الناس مصطلح النووي كمرادف للذرية في اللغة، إلا أن علماء الفيزياء يميزون بين الفيزياء الذرية كعلم يعني بدراسة الذرة كنظام معزول مكون من الإلكترونات والنواء. وهي تعنى في المقام الأول بترتيب الإلكترونات حول النواة والعمليات التي تؤثر على هذا النظام، في حين أن الفيزياء النووية تعنى بدراسة النواة وخصائصها ومكوناتها الأولية وتفاعلها فيما بينها.

تنقسم هذه الوحدة إلى فصلين هما: الفصل السابع وهو تطور النموذج الذري بدءاً باكتشاف الذرة ومراحل تطورها وما صاحب ذلك من نماذج وأطياف خطية، والفصل الثامن الذي من خلاله تدرس خصائص النواة الذرية، وما يرتبط بالنواة من تفاعلات مثل النشاط الإشعاعي والانشطار النووي والاندماج النووي.

ومن دراستك في هذه الوحدة سوف تكون قادرًا على الإجابة عن التساؤلات التي ربما تتبادر إلى ذهنك يومًا ما مثل:

١. لماذا يطلق على نموذج رذرفورد للذرة بالنموذج الكواكب؟
٢. كيف يمكن لجسم ما أن يسلك سلوكًا موجيًّا خلافًا لطبيعته المادية؟
٣. ما النتائج القريرية والبعيدة المدى التي ترتبت على إلقاء القنبلة النووية على مدineti هiroshima وناجازاكي في اليابان عام ١٩٤٥م؟
٤. كيف يمكن استغلال الطاقة النووية في معالجة مشكلة الطلب العالمي المتزايد للطاقة؟

الفصل السابع

تطور النموذج الذري

The Development of Atomic Model

مقدمة الفصل:

يرتبط مفهوم الذرة عند عامة الناس بالدقة المتناهية في الصغر، فقد ذكر علماء اليونان قديماً بأن الذرة هي أصغر شيء تتكون منه المادة، كما ورد ذكرها في القرآن الكريم في قوله تعالى ﴿ فَمَنْ يَعْمَلْ مِثْقَالَ ذَرَّةٍ خَيْرًا يَرَهُ ﴾ سورة الزلزلة، الآية (٧) وورد ذكر الذرة عند العلماء العرب حيث قال جابر بن حيان "إن في الذرة لقوة عظيمة من شأنها أن تدمر...." ولقد تطور علم الذرة عبر العصور مع كل عالم، واكتشافاته، وتصوره لها.

وفي هذا الفصل سوف نقوم بدراسة مراحل اكتشاف مكونات الذرة بدءاً بتجربة تومسون للتعرف على طبيعة الإلكترون والجسيمات الذرية الأخرى، ثم تجربة رذرфорد التي أظهرت بعضًا من خصائص الذرة، حيث أصبح نموذج رذرفورد للذرة الأساس للبناء الذري الحديث، كما سنتعرض لتعديل بور لهذا النموذج، ودراساته لنموذج ذرة الهيدروجين الذي حقق من خلاله أكبر النجاحات في وقت مبكر من خلال إدراج نظرية الكم إلى النموذج الذري مما دفع العديد من العلماء إلى إجراء المزيد من الدراسات على النموذج الذري، والتي لا تزال مستمرة حتى يومنا هذا.

الوحدة الرابعة
الفيزياء الذرية
Atomic Physics



الموضوعات الرئيسية



١ - اكتشاف الإلكترون وخصائصه.

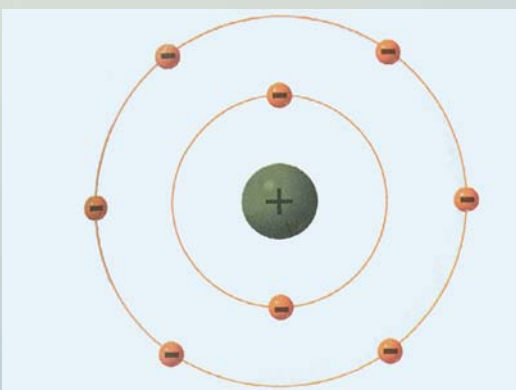
٢ - تجربة تومسون.

٣ - النماذج الأولى للذرة.

٤ - الأطیاف الذرية، والنموذج الذري الحديث.

٥ - الطبيعة الموجية للمادة.

المصطلحات العلمية الجديدة

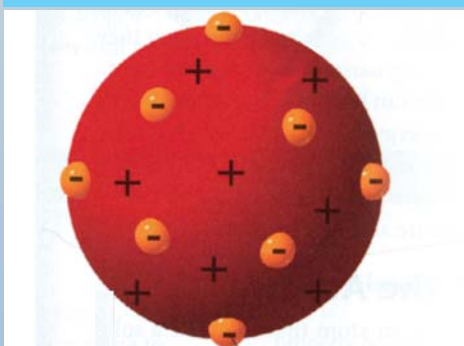


أشعة المهبط.....*Cathode Ray*

الشحنة النسبية.....*Specific Charge*

الأطیاف الذرية.....*Atomic Spectra*

عناوين الاستكشافات:



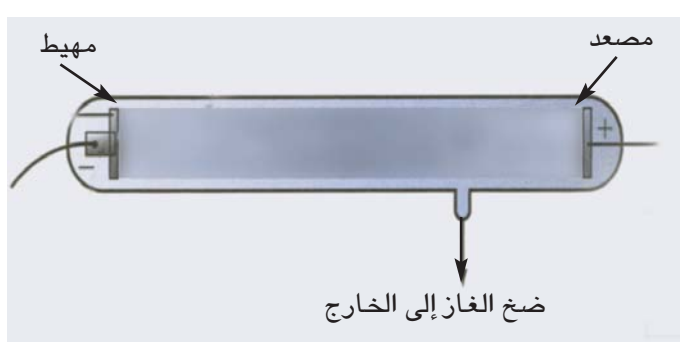
الاستكشاف (١) : استكشاف النموذج الذري.

الوحدة الرابعة الفيزياء الذرية *Atomic Physics*

١ - ٧

Discovery of the electron and its properties

درست سابقاً أن المادة تتكون من ذرات وأن الذرة هي أصغر جزء من المادة، وقد أكتشف أن هناك مكونات أصغر من الذرة وهي الإلكترونات والبروتونات والنيوترونات، وتلعب الإلكترونات الدور الأساسي في فهمنا للكهرباء والمغناطيسية. إلا إن اكتشافها لم يكن حيز الذكر حتى عام ١٨٩٠ م.



الشكل (١ - ٧) : أنبوبة تفريغ غازي

وفي أواخر القرن التاسع عشر ، بدأت الدراسات حول قدرة التيار الكهربائي على المرور خلال أنابيب التفريغ الغازي كما في الشكل (١ - ٧) ، حيث تم توصيل الأنبوة الزجاجية بقطبين كهربائيين وآفرغت من الهواء – إلا من كمية قليلة من غاز خامل بقي في الداخل – عند وجود فرق جهد عالي جداً بين الأقطاب الكهربائية لوحظ مرور شعاع غامق

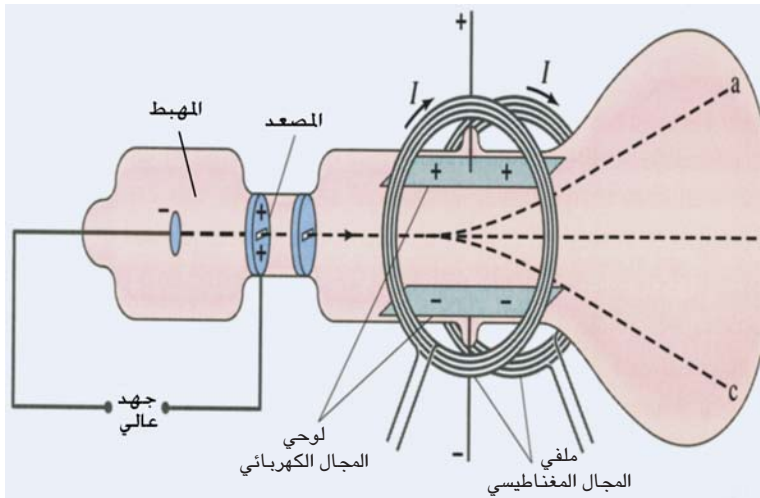
يمتد من المهدب باتجاه نهاية الأنبوب مما يؤدي إلى توهجه. وعند وضع شاشة صغيرة عند نهاية الأنبوبة فإن الورج يظهر على شكل بقعة صغيرة تبدو كأنها امتداد لأشعة ساقطة من المهدب ؛ ولذا سميت هذه الأشعة بـ "أشعة المهدب". كان هناك الكثير من النقاش في ذلك الوقت حول ماهية هذه الأشعة، فقد اعتقد بعض العلماء أنها فوتونات شبيهة بفوتونات الضوء، ولكن لوحظ أن البقع المضيئة التي تظهر في نهاية الأنبوبة يمكن أن تتحرف عن مسارها عند تعرضها ل المجال المغناطيسي؛ مما يعني أنها جسيمات مشحونة؛ ومن خلال اتجاه انحرافها اكتشف أن هذه الجسيمات سالبة الشحنة.

الوحدة الرابعة الفيزياء الذرية

Atomic Physics

٢ - ٧

Thomson Experiment



الشكل (٢ - ٧) : أشعة المهبط تتحرف تحت تأثير المجال الكهربائي والمجال المغناطيسي.

في عام ١٨٩٧ تم تقدير قيمة الشحنة النسبية **specific charge** لجسيمات أشعة المهبط وهي تعني شحنة هذه الجسيمات نسبة إلى كتلتها (e/m)، وفي العام نفسه استطاع العالم تومسون (١٨٥٦ - ١٩٤٠م) قياس هذه الكمية مباشرة حيث استخدم جهازاً كالموضحة في الشكل (٢ - ٧)، ويكون هذا الجهاز من لوحين متوازيين داخل أنبوب يتجانس مجالاً كهربائياً، وزوج من الملفات تنتج المجال المغناطيسي في نفس منطقة المجال الكهربائي وعمودياً عليه، قام تومسون بتعجيل أشعة المهبط داخل الأنابيب باستخدام جهد عالي بين اللوحين المتوازيين. وعند استخدام المجال الكهربائي فقط، حيث اللوح العلوي موصل بالطرف الموجب لمصدر الجهد لاحظ أن أشعة المهبط تتحرف إلى أعلى، وعند استخدامه للمجال المغناطيسي فقط، بحيث كان اتجاهه إلى الداخل فقد لاحظ أن أشعة المهبط تتحرف إلى الأسفل.

وحيث أن القوة المغناطيسية هي :

$$F_m = evB$$

حيث: **B** هو شدة المجال المغناطيسي.
e هي شحنة أشعة المهبط، **v** هي سرعة أشعة المهبط.

$$F=ma$$

و من المعادلة

الوحدة الرابعة الفيزياء الذرية

Atomic Physics

وحيث أن أشعة المهبط تتخذ مساراً دائرياً، فإن التسارع a هو التسارع المركزي $(\frac{v^2}{r})$ وبالتالي فإن:

$$\mathbf{F}_m = \frac{mv^2}{r}$$

$$\therefore evB = -\frac{mv^2}{r}$$

$$\frac{e}{m} = \frac{v}{Br} \quad (1-7)$$

حيث: r هو نصف قطر المسار الدائري للأشعة.

وإذا تم تطبيق المجال الكهربائي مع وجود المجال المغناطيسي، وحتى تسير أشعة المهبط في خط مستقيم دون انحراف لابد أن تكون القوة المغناطيسية \mathbf{F}_m مساوية للقوة الكهربائية \mathbf{F}_E ، أي أن

$$\mathbf{F}_m = \mathbf{F}_E$$

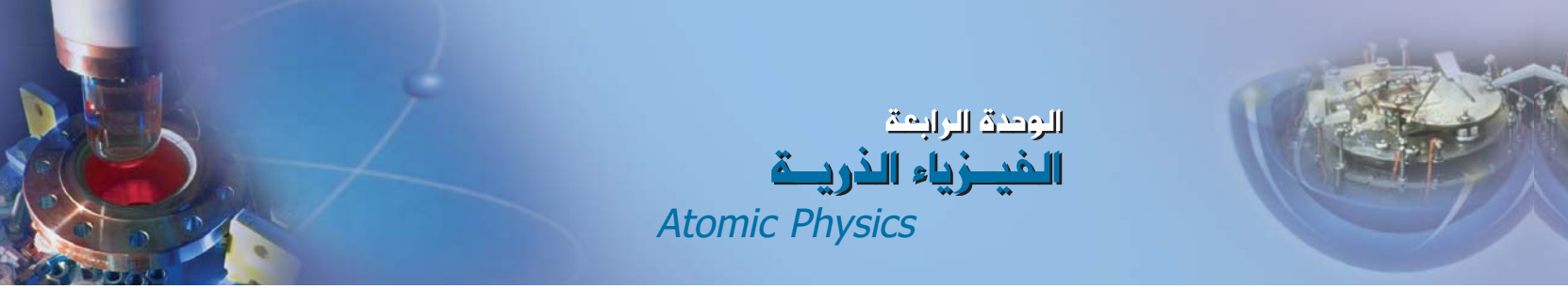
$$evB = eE$$

$$v = \frac{E}{B} \quad \text{ومنه نجد أن}$$

حيث v في هذه الحالة هي سرعة أشعة المهبط عند الاتزان.

وبالتعويض عن قيمة السرعة v في المعادلة (1-7) نجد:

$$\frac{e}{m} = \frac{E}{B^2 r} \quad (2-7)$$



الوحدة الرابعة الفيزياء الذرية

Atomic Physics

ومن التجارب العملية، فإن القيمة المتعارف عليها للشحنة النسبية هي:

$$\frac{e}{m} = 1.76 \times 10^{11} \text{ C/kg}$$

وتعرف أشعة المهبط اليوم بالإلكترونات.

وقد تمكّن العالم مليكان **Millikan** (١٨٦٨ م - ١٩٥٣ م) من قياس شحنة الإلكترون ووجدها تساوي $1.6 \times 10^{-19} \text{ C}$.

ومن ثم استطاع العلماء حساب كتلة الإلكترون، حيث وجد أنها تساوي $9.11 \times 10^{-31} \text{ kg}$.

قم بإجراء الدرس العملي (٤) لقياس الشحنة النسبية للإلكترون.

معلومات تهمك:

إن اكتشاف الإلكترون ، شأنه شأن العديد من الاكتشافات في مجال العلوم ، من الصعب نسبته إلى شخص بعينه، إلا أن الفضل يعود لتومسون عموما، ليس لأنه كان أول من رأى التوهج في الأنبوة فحسب، بل هو أول من اعتقد أن التوهج في أنبوبة الحيدود يرجع إلى الجسيمات السالبة الشحنة وفيماه بالقياسات الدقيقة لشحنتها النسبية وأيضاً كان أول من قال بأن هذه الجسيمات هي العناصر المكونة للذرات وليس الذرات أو الأيونات نفسها كما ظن الكثيرون.

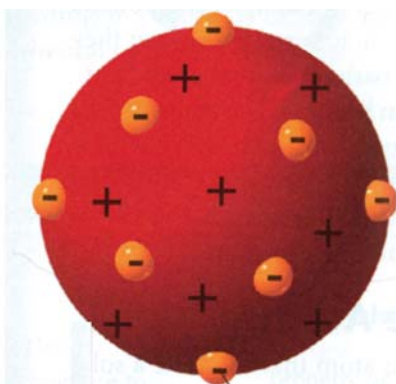
الوحدة الرابعة الفيزياء الذرية

Atomic Physics

اختبار فهمك (١) :

١. ما تفسير كل من:
 - انطلاق أشعة المهبط في تجربة تومسون؟
 - تأثير أشعة المهبط بال المجالين الكهربائي والمغناطيسي؟
٢. احسب نصف قطر المدار الذي يتحركه إلكترون تم تسريعه من السكون في أنبوبة تومسون تحت فرق جهد كهربائي مقداره 10 kV ، إذا كان المجال المغناطيسي المولد بين الملفين يساوي 0.4 T .

٣ - ٧ النماذج الأولى للذرة



الشكل (٧ - ٣) : تصوّر تومسون للذرة

مع اكتشاف الإلكترون، بدأ العلماء يفكرون في شكل الذرة على اعتبار أن لها هيكل، وأن الإلكترونات جزء من هذا الهيكل.

لقد وضع التصور الأول للنموذج الذري في عام ١٨٩٨م، وهذا النموذج هو "نموذج تومسون" حيث وُصفت الذرة بأنها كرة موجبة الشحنة تتوزع داخلها الإلكترونات السالبة وهو الوصف الذي شبّه الذرة بالبرتقالة تتوزع بداخلها البذور كما في الشكل (٧ - ٣).

في عام ١٩١١م حصل رutherford (1871-1937م) وزملاؤه على نتائج تجرب تناقض مع

معلومات تهمك

أول من قال أن المادة تتكون من جسيمات صغيرة جداً تسمى الذرات هو الفيلسوف اليوناني Democritus ، ديموكريطيس وذلك قبل الميلاد.

تصوّر تومسون للذرة، حيث قام بقذف صفيحة رقيقة من الذهب بجسيمات ألفا (نواة ذرة الهيليوم ${}^4_2 \text{He}$) ويرمز لها بالرمز α ، وهي موجبة الشحنة)، شكل (٧ - ٤). وحصل على النتائج التالية:

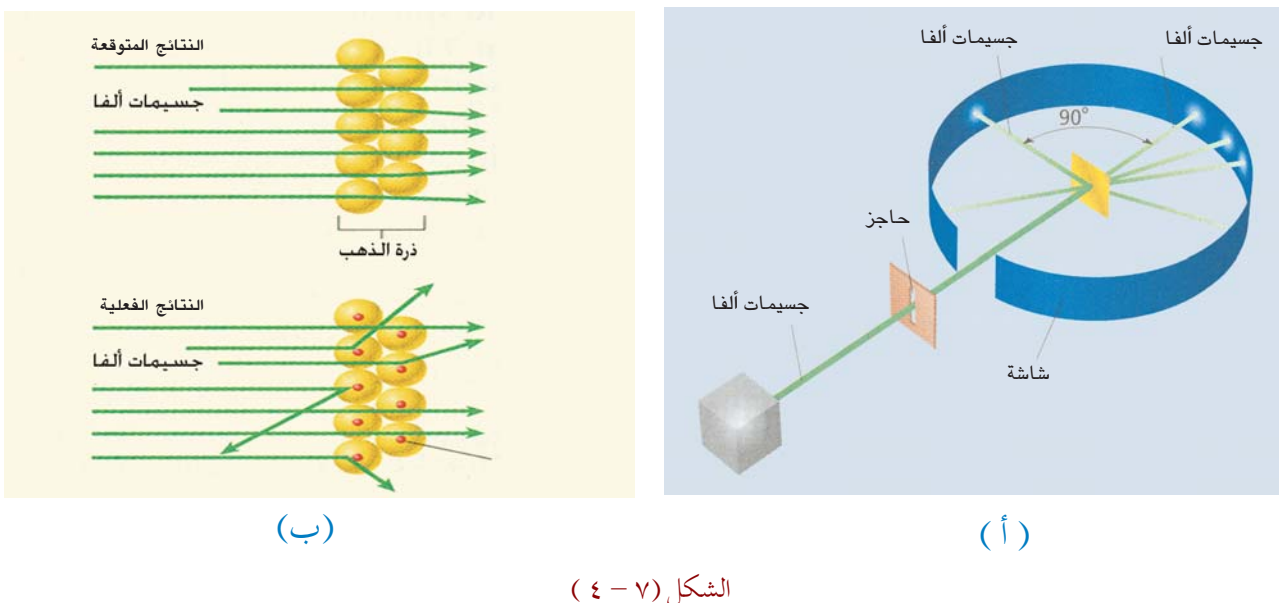
- بعض جسيمات (α) انحرفت عن مسارها وكأنها تناقضت مع جسم ثقيل مشابه لها في الشحنة، وكان من المتوقع حسب تصور تومسون أن جسيمات (α) لن تنحرف حيث أن الإلكترونات كتلتها أقل بكثير من كتلة جسيمات ألفا وبالتالي لن تتأثر.

- الجزء الأكبر من جسيمات ألفا مررت دون أن تعاني أي انحراف ، كما لو كانت الذرة في معظمها فراغ.

الوحدة الرابعة الفيزياء الذرية

Atomic Physics

– القليل من جسيمات **(α)** ارتدت إلى الخلف وهذا لا يحدث إلا إذا صادفت جسيمات ألفا كتلة هائلة موجبة الشحنة تتركز في منطقة صغيرة جدًا من الفراغ، انظر الشكل (٤-٧) .



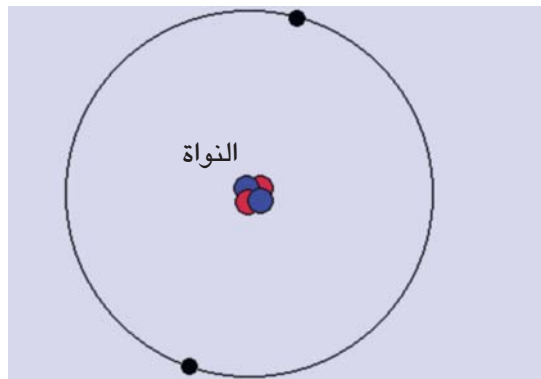
(أ) الرسم التخطيطي لتجربة رذرфорد : جسيمات **α** المبعثة من الراديوم تصطدم بالصفيحة المعدنية، ويلاحظ أن بعضًا منها ينفذ والبعض ارتد إلى الوراء.

(ب) ارتداد بعض من جسيمات **α** يفسر وجود تنافر مع النواة الثقيلة موجبة الكتلة.

في ضوء هذه الملاحظات، وضع رذرфорد نموذجًا جديداً للنردة افترض فيه أن النردة معظمها فراغ وتركز كتلتها في حيز صغير جدًا يسمى النواة وتحمل شحنة موجبة (**99.9% من كتلة النردة**)، وتحيط الإلكترونات بالنواة على مسافة بعيدة عنها نسبيًا ولا يمكن أن تكون هذه الإلكترونات ثابتة وإلا سقطت داخل النواة بسبب قوة الجذب الكهربائية ولكنها تتحرك في مدارات حول النواة – يشبه إلى حد كبير تحرك الكواكب حول الشمس –

الوحدة الرابعة الفيزياء الذرية

Atomic Physics



الشكل (٧ - ٥) : نموذج رذرфорد للذررة

انظر الشكل (٧ - ٥)، كما أشار رذرфорد من خلال تجاربه أن قطر النواة يجب أن يكون في حدود m^{-15} إلى m^{-14} .

إن تشبيه رذرفورد الذرة بالجموعة الشمسية، كان خطوة كبيرة للوصول إلى النموذج الذري الحديث، ومع ذلك لم يكن نموذج رذرفورد كاملاً حيث تعرض لعدة انتقادات منها:

(١) إن الإلكترونات بدورانها حول النواة سوف تتسارع ، وال الإلكترونات المتتسارعة سوف تشع طاقة وفق النظرية الكهرومغناطيسية؛ مما يؤدي إلى فقدانها لطاقة وضعها تدريجياً

وسقوطها في النواة، وهذا غير صحيح فالذرات بشكل عام في حالة استقرار، حيث أن المادة من حولنا مستقرة.

(٢) بإشعاع الذرات للطاقة فإن ضوءاً مستمراً ذا مجموعة من الترددات سوف ينبعث ، في حين أن نتائج التجارب العملية تبيّن أن ذرات العناصر عند إشعاعها للطاقة تعطي خطوط الطيف الخطي.

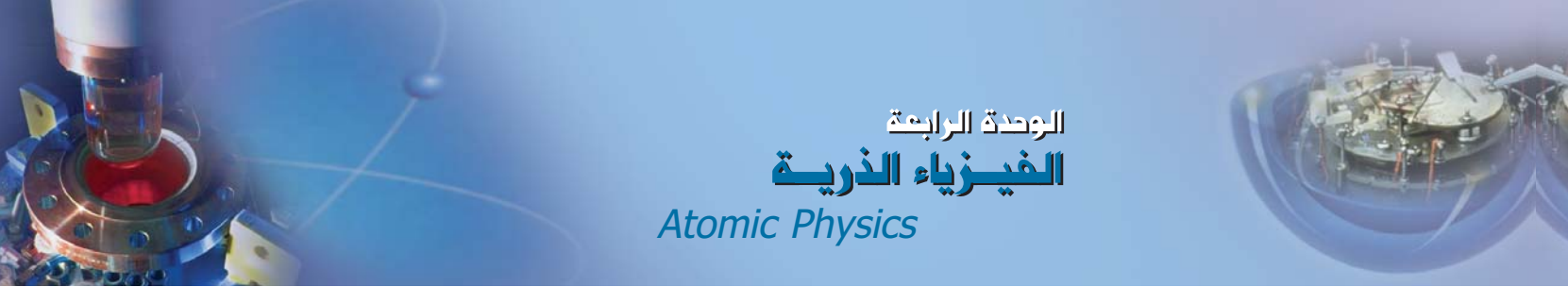
الاستكشاف (١) : استكشاف النموذج الذري

سؤال علمي: كيف يمكن تحديد حجم وشكل النواة؟

المواد والأدوات : مجموعة من الكرات الزجاجية (المحلول)، أربعة قوالب صلبة، ورق مقوى مستطيل الشكل، قلم رصاص.

الإجراءات

- ١ . ضع الورق المقوى فوق أربعة من الكتب (أو القوالب)، بحيث يكون كل قالب أسفل أحد زوايا الورقة.
- ٢ . اطلب إلى أحد زملائك أن يضع جسمًا ما تحت الورقة دون أن تراه.
- ٣ . دحرج بلطف كرة زجاجية أسفل الورقة في خط مستقيم، حاول تخيل مسار الكرة الزجاجية ثم ارسم خطًا على الوجه العلوي من الورقة يمثل ذلك المسار.
- ٤ . أعد الخطوة ٣ وذلك بدرجات المزيد من الكرات من اتجاهات متعددة ورسم اتجاه الكرة في كل مرة، حاول تحديد شكل الجسم الموجود أسفل الورقة.



التحليل والتفسير :

١. اكتب وصفاً مختصرًا حول شكل وحجم وموقع الجسم الموضوع أسفل الورقة.
 ٢. أي النماذج يمثل هذا الاستكشاف؟

اختر فهمك (٢):



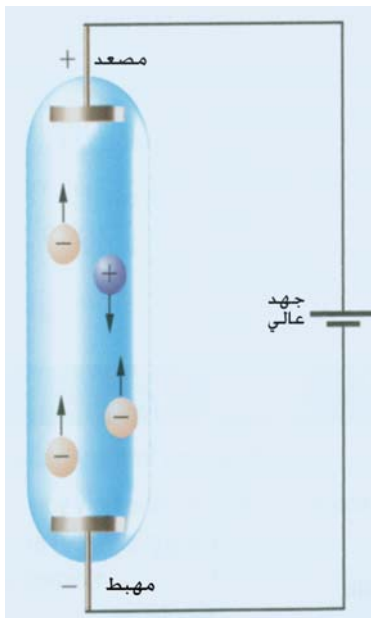
١. كيف استطاع رذرфорد إثبات خطأ نموذج تومسون للذرة؟
 ٢. ما الذي يحفظ الإلكترونات في مداراتها حول النواة حسب نموذج رذرфорد؟
 ٣. في تجربة رذرфорد، على ماذا يدل تشتت جسيمات α حول نواة الذرة؟

الأطناf الذرية و النموذج الذري الحديث

8 - V

Atomic Spectra And The New Structure of the Atom

درست في الوحدة الثالثة كيف أن الأجسام الساخنة تشع موجات مستمرة ذات أطوال موجية مختلفة. إن هذا الإشعاع يحدث بسبب تذبذب الذرات والجزيئات، حيث تتفاعل كل ذرة أو جزيء مع الذرات والجزيئات المجاورة لها نتيجة القوى الكهربائية. لقد لوحظ في أوائل القرن التاسع عشر إن إثارة الغازات في أنبوبة التفريغ كما في الشكل (٦ - ٧) تحت ضغط منخفض وفرق جهد عال يؤدي إلى ابعاث أطيافاً منفصلة ذات أطوال موجية معينة،

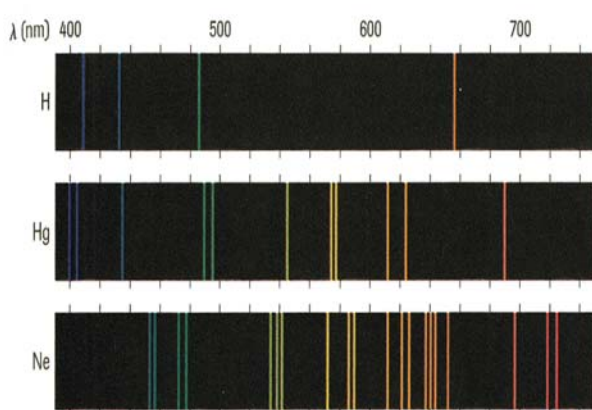


الشكل (٧-٦) : أنبوبة التفريغ الغازي

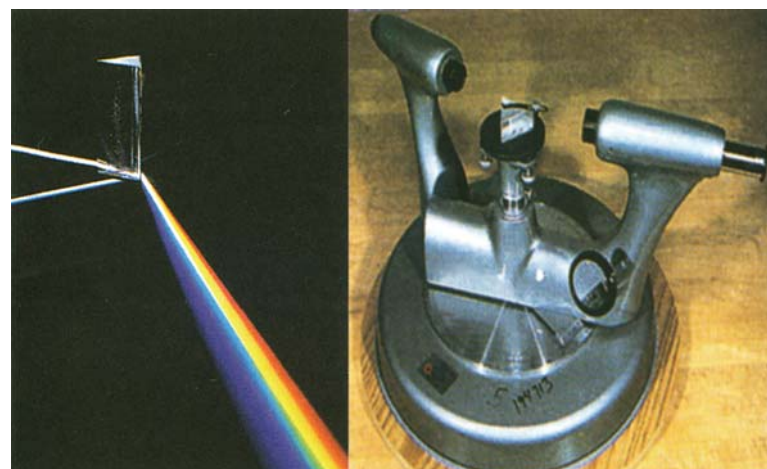
الوحدة الرابعة الفيزياء الذرية

Atomic Physics

و قد شوهدت هذه الأطیاف بوضوح على شکل خطوط عندما تم تحلیل هذه الإشعاعات بواسطه کشاف الطیف **spectrometer** أو مقیاس الطیف **spectroscope**، ويیین الشکل (٧-٧) کشاف الطیف ذا المنشور الذي يمكنه تحلیل الإشعاعات المنبعثة من الغاز المثارة ، كما يیین الشکل (٧-٧ب) خطوط الطیف المنبعثة من قبل عدد من العناصر المختلفة.



الشكل (٧-٧) : خطوط الطیف لبعض العناصر المختلفة



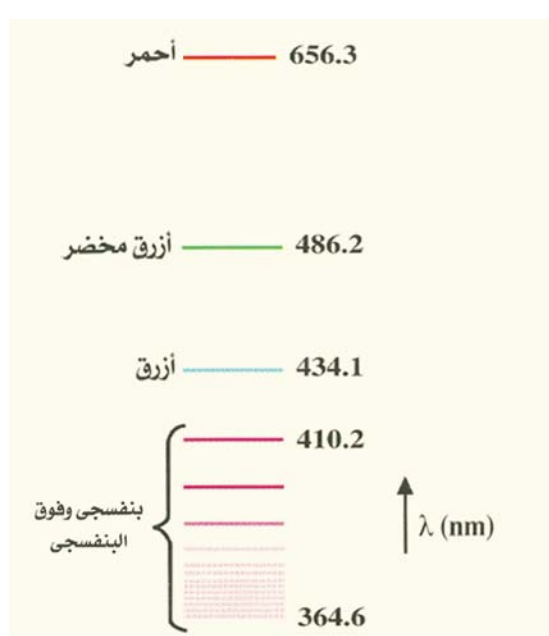
الشكل (٧-٧أ) : الطیاف ذا المنشور. إذا كان الضوء يحتوي على أكثر من طول موجي واحد، فإن عدداً من خطوط الطیف ستظهر على اللوح الفوتوغرافي للمطياف.

الوحدة الرابعة الفيزياء الذرية

Atomic Physics

طيف ذرة الهيدروجين

تعد ذرة الهيدروجين أبسط الذرات – إذ تحتوي على إلكترون واحد فقط في المدار، كما أن لديها أبسط طيف ذري. فانتظام ألوان الطيف لمعظم الذرات يظهر ضعيفاً، إلا أن التباعد بين خطوط طيف ذرة الهيدروجين يقل بانتظام، الشكل (٧-٨). وفي عام ١٨٨٥ م توصل العالم جي بالمر *J.J.Balmer* (١٨٢٥م-١٨٩٨م) إلى الصيغة الرياضية لحساب الأطوال الموجية لخطوط الطيف لذرة الهيدروجين، وتعرف هذه الصيغة بـ "متسلسلة بالمر" *Balmer Series* وهي:



الشكل (٧-٨) : متسلسلة بالمر لخطوط ذرة الهيدروجين.

حيث R هو ثابت ريدبيرج *Rydberg Constant* و قيمته $1.097 \times 10^7 \text{ m}^{-1}$ وتقع هذه المتسلسلة في منطقة الطيف المرئي، كما هو مبين في الشكل (٧-٨). ويمكن تطبيق معادلة بالمر مع أعداد صحيحة غير متناهية من n ، ويلاحظ أن الخطوط بالقرب من الطول الموجي 364.6 nm أصبحت متقاربة من بعضها حيث يمكن اعتبار $n = \infty$.

في وقت لاحق أظهرت التجارب على ذرة الهيدروجين أن هناك متسلسلات أخرى لخطوط طيف ذرة الهيدروجين في منطقة الأشعة فوق البنفسجية ومنطقة الأشعة تحت الحمراء ذات نمط شبيه بمتسلسلة بالمر، وأشهر هذه المتسلسلات هي:

– متسلسلة ليمان *Lyman series* وتقع في منطقة الأشعة فوق البنفسجية، والصيغة الرياضية لها هي:

$$\frac{1}{\lambda} = R \left(\frac{1}{1^2} - \frac{1}{n^2} \right) \quad n = 2, 3, \dots$$

– متسلسلة باشن *Paschen Series* وتقع في منطقة الأشعة تحت الحمراء، والصيغة الرياضية لها هي:

$$\frac{1}{\lambda} = R \left(\frac{1}{3^2} - \frac{1}{n^2} \right) \quad n = 4, 5, \dots$$

الوحدة الرابعة الفيزياء الذرية Atomic Physics

ولأن نموذج رذرфорد لم يكن كافياً لفهم السلوك الذري وأطياف الذرات، فقد قدم العالم نيلز بور عام ١٩١٣ م نموذجاً جديداً استطاع بواسطته تفسير أطياف الذرات.

نموذج بور The Bohr Model

درس بور (Bohr ١٨٨٥ - ١٩٦٢ م) نموذج رذرфорد للذرة وكان على اقتناع بصحة ذلك النموذج، ولكن لكي يكون عملياً فقد افترض مبدئياً أن الإلكترونات في الذرة لا يمكن أن تفقد الطاقة بصورة مستمرة ولكن ذلك يحدث على شكل رزم سماها كمات.

وبعد ذلك بسنوات طوّر بور نظريته و افترض عدداً من الفروض للتغلب على المشاكل التي واجهت نموذج رذرفورد، وهذه الفرض هي :

١. إن الإلكترونات تتحرك حول النواة في مدارات ثابتة دون إشعاع أي كمية من الطاقة.
٢. كمية التحرك الراوية للإلكترونات كمية مكتملة تساوي مضاعفات صحيحة للمقدار $\frac{h}{2\pi}$ ، حيث h هو ثابت بلانك.
٣. يحدث إشعاع للطاقة عندما يقفز الإلكترون من مداره إلى مدار آخر مختلف في الطاقة، ويكون مقدار الطاقة المشعة مساوياً لفرق طاقة الإلكترون في المدارين. وهذا الإشعاع يكون على هيئة كمات.

كان من نفذ تجربة قذف صفيحة الذهب بأنوية الهيليوم فعلى تحت إشراف رذرфорد همَا العالمات: أرنست مارسدن وهانس جايجر وكانت يعلمات مساعديه باحث في مختبر رذرفورد، وإن العالم بور الذي طور هذا النموذج عمل أيضاً في مختبر رذرفورد كباحث علمي لمدة ستة شهور وذلك عام ١٩١٦ م.

وبالرغم من أن الفرض الأول لبور يتعارض مع قوانين الإشعاع الكهرومغناطيسي، فالإلكترون حسب هذا الفرض يتسارع حول النواة ولكنه لا يشع أي طاقة، إلا أن تطابق حساب الأطول الموجية لذرة الهيدروجين بناءً على هذه الفرض مع النتائج المعاقة تجريرياً لطيف الهيدروجين دعم نظرية بور لبناء الذرة.

لمزيد من المعلومات عن الأطياف الذرية، قم بزيارة الموقع التالي على شبكة المعلومات العالمية للاتصالات الدولية . (Inter Net)

<http://zebu.uoregon.edu/~soper/Light/atomspectra.html>

الوحدة الرابعة الفيزياء الذرية

Atomic Physics



نصف قطر مدار الإلكترون حول النواة:

من الفرض الثاني لبور نلاحظ أن كمية التحرك الزاوية للإلكترونات تساوي مضاعفات صحيحة للمقدار $(\frac{h}{2\pi})$.

وحيث أن الجسم يتحرك حركة دائرية، فإن كمية التحرك الزاوية تساوي mr^2w حيث w هي السرعة الزاوية

وتتساوي $w = \frac{v}{r}$ ، وبالتالي فإن كمية التحرك للأجسام التي تحرك حركة دائرية هي (mvr) ، أي أن:

$$mvr_n = \frac{nh}{2\pi} \quad (3-7)$$

حيث r_n هو نصف قطر المدار الذي يتحرك فيه الإلكترون.

إن هذا الافتراض أتاح لنا معرفة كيفية حساب طاقة الإلكترون في المدار، فكيف تم ذلك؟

نحن نعلم أن قوة الجذب الكهربائي بين الإلكترونات السالبة والنواة الموجبة وفقاً لقانون كولومب كما في

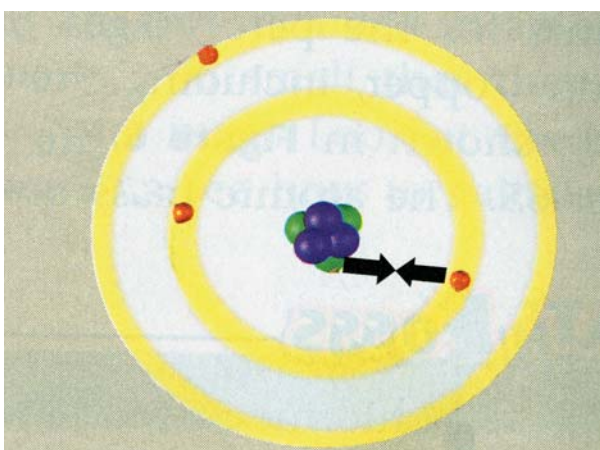
الشكل (٩ - ٧)، هي:

$$F = k \frac{(Ze)(e)}{r_n^2}$$

حيث: e هي شحنة الإلكترون.

Ze هي شحنة النواة؛ و Z هو عدد الشحنات الموجبة (أو البروتونات). وفي حالة ذرة الهيدروجين فإن $Z = +1$ وبما أن الإلكترون يتحرك حركة دائرية، فإن هذه القوة لابد أن تساوي القوة المركزية، أي أن :

$$k \frac{(Ze)(e)}{r_n^2} = \frac{mv^2}{r_n}$$



الشكل (٩ - ٧) : القوة الكهربائية تحافظ على الإلكترون في مداره حول النواة موجبة الشحنة حسب قانون كولومب.

$$r_n = \frac{kZe^2}{mv^2} \quad (4-7)$$

الوحدة الرابعة الفيزياء الذرية

Atomic Physics

من المعادلة (٧ - ٣) نجد أن قيمة v هي $v = \frac{nh}{2\pi mr_n}$ وبالتالي يمكن إيجاد قيمة r من المعادلة (٧ - ٤) كالتالي:

$$r_n = \frac{kZe^2 4\pi^2 m r_n^2}{n^2 h^2} \quad (5 - 7)$$

$$r_n = \frac{n^2 h^2}{4\pi^2 m k Z e^2}$$

هذه المعادلة تعطي أنساف أقطار مدارات الإلكترون حول النواة، ويلاحظ أن المقدار $\frac{h^2}{4\pi^2 m k Z e^2}$ هو مقدار ثابت ويساوي $0.529 \times 10^{-10} \text{ m}$ ، يسمى هذا المقدار نصف قطر بور وهو يمثل نصف قطر المدار الأول للإلكترون، وبالتالي يمكن كتابة المعادلة (٧ - ٢) كالتالي:

$$r_n = r_1 n^2$$

ويلاحظ أن أنساف الأقطار تزداد بازدياد رقم المدار:

$$r_2 = 4r_1 = 2.11 \times 10^{-10} \text{ m}$$

$$r_3 = 9r_1 = 4.74 \times 10^{-10} \text{ m}$$

الوحدة الرابعة الفيزياء الذرية

Atomic Physics

الطاقة الكلية للإلكترون في مداره:

إن كل إلكترون يتحرك في مداره تكون له طاقة محددة، تساوي مجموع طاقة الوضع وطاقة الحركة، حيث:

$$V = k \frac{Q}{r} = k \frac{Ze}{r}$$

حيث : شحنة الإلكترون $q = -e$ و طاقة الوضع هي :

$$PE = qV$$

$$\therefore PE = -eV = -k \frac{Ze^2}{r}$$

$$KE = \frac{1}{2} mv^2$$

– طاقة الحركة هي

وبالتالي فإن الطاقة الكلية للمدار (E_n) تساوي :

$$E_n = \frac{1}{2} mv^2 + -k \frac{Ze^2}{r}$$

بالتعميض عن قيمة v من المعادلة (٧ - ١) ، وقيم r من المعادلة (٧ - ٢) نجد أن:

$$E_n = -\frac{2\pi^2 Z^2 e^4 m k^2}{n^2 h^2} \quad n = 1, 2, 3, 4, \dots$$

ويلاحظ أن المقدار $\frac{2\pi^2 Z^2 e^4 m k^2}{h^2}$ هو مقدار ثابت ويساوي 13.6 eV ، وبالتالي يمكن حساب طاقة أي مدار من العلاقة:

$$E_n = -\frac{13.6}{n^2} \text{ eV} \quad (7-6)$$

الوحدة الرابعة الفيزياء الذرية *Atomic Physics*

وفي حالة ذرة الهيدروجين عندما يكون إلكترونها في المدار الأول ($n = 1$) وحيث ($Z = 1$) فإن:

$$E_1 = -13.6 \text{ eV}$$

أما في المدار الثاني فإن: $E_2 = -\frac{13.6}{2^2} = -3.40 \text{ eV}$

وفي المدار الثالث فإن: $E_3 = -\frac{13.6}{3^2} = -1.51 \text{ eV}$

وبالتالي يمكن كتابة المعادلة (٧ - ٦) على الصورة :

$$E_n = \frac{E_1}{n^2} \quad (7-7)$$

وبناءً على فرض بور الثالث، فإن الطاقة التي يشعها الإلكترون (ΔE) تساوي التغير في الطاقة، وتعطى بالعلاقة:

$$\Delta E = E_m - E_n$$

حيث: E_m طاقة المدار الأعلى ، E_n طاقة المدار الأدنى.

وحيث أن الطاقة المشعة تكون على شكل كمات، فإن طاقة الكمة (hf) تساوي:

$$hf = E_m - E_n$$

$$\frac{hc}{\lambda} = E_1 \left[\frac{1}{m^2} - \frac{1}{n^2} \right]$$

$$\frac{1}{\lambda} = -\frac{E_1}{hc} \left[\frac{1}{n^2} - \frac{1}{m^2} \right] \quad (8-7)$$

ويمكن من المعادلة (٨ - ٧) حساب الطول الموجي للأطيف المنبعثة من ذرة الهيدروجين .

الوحدة الرابعة الفيزياء الذرية

Atomic Physics

ويمقارنة نتائج بور في المعادلة (٧ - ٨) بمتسلسلات ليمان وبالمير وباشن يمكن أن نتصور النجاح الذي حققه بور من خلال فرضه الثلاثة في تفسير النتائج العملية لقياس الأطوال الموجية لذرة الهيدروجين، ثابت ريدبيرج (R) في معادلات ليمان وبالمير وباشن هو المقدار $\frac{E_1}{hc}$ في معادلة بور (٧ - ٨)، والقيمة $(\frac{1}{1^2} - \frac{1}{n^2})$ في متسلسلة ليمان تمثل في معادلة بور انتقال الإلكترون من المدارات ($m = 2, 3, \dots$) إلى المدار الأول ($n=1$)

والقيمة $(\frac{1}{2^2} - \frac{1}{n^2})$ في متسلسلة بالمير تمثل في معادلة بور انتقال الإلكترون من

المدارات ($m = 3, 4, \dots$) إلى المدار الثاني ($n=2$) وهكذا. بالإضافة إلى ذلك فقد

قام بور بحساب المقدار $\frac{E_1}{hc}$ فوجده يساوي $1.097 \times 10^{-7} m^{-1}$ أي ثابت ريدبيرج،

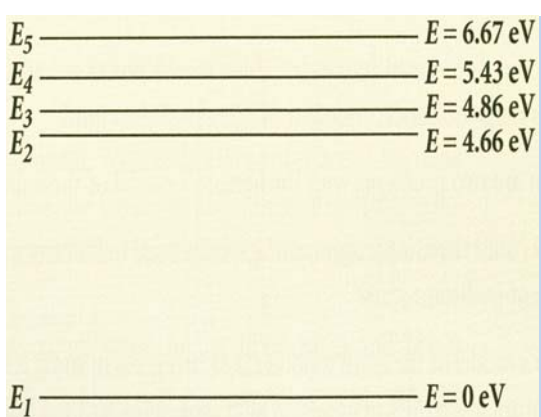
فأكمل بما لا يدع مجالاً للشك نجاح نظريته في تفسير الطيف الخطي للهيدروجين.

ونظراً لأن طاقة الإلكترون في مداره هي التي تحدد الطول الموجي للفوتون المنبعث فقد تم استخدام "مستويات الطاقة في الذرة" بدلاً من استخدام المدارات كأسكار

هندسية، ويمكن تمثيل مستويات الطاقة على شكل رسم بياني يوضح انتقال الإلكترون بين هذه المستويات و ما تصدره الذرة من أطياف، وكذلك الطاقة

الكلية للإلكترونات إذا ماشغلت هذه المستويات، ويوضح الشكل (٧ - ١٠) الرسم البياني لطيف ذرة الهيدروجين.

للحاس اختبر فهمك (٣):



١. احسب نصف قطر المدار الرابع للإلكترون في ذرة الهيدروجين، بناءً على نموذج بور، علمًا بأن $r_1 = 5.29 \times 10^{-11} \text{ m}$ ، ثم احسب كلاً من سرعة الإلكترون وطاقته في هذا المدار.

٢. بيّن الشكل (١١ - ٧) خمسة مستويات للطاقة في ذرة بخار الصوديوم، ما تردد الفوتون المنبعث من ذرة الصوديوم عند انتقال الإلكترون من المستوى E_1 إلى E_5 ؟

الوحدة الرابعة الفيزياء الذرية

Atomic Physics

electron microscope

٥ - الطبيعة الموجية للمادة Waves Nature of Matter

٧

تطبيقات حياتية

فرضية الطبيعة الموجية للإلكترون أدت إلى تطوير المجهر الضوئي إلى مجهر إلكتروني *electron microscope* الذي تظهر فيه الصورة بحجم كبير جدًا وبدقة أكبر مقارنة بالمجهر الضوئي، نظرًا لأن الطول الموجي للإلكترون أصغر بكثير من الطول الموجي للضوء العادي. هناك نوعين من المجاهر الإلكترونية: مجهر إلكتروني نافذ *transmission electron microscope* الذي يُظهر الصورة في بُعدين، ومجهر إلكتروني *scanning electron microscope* ماسح الذي يظهر الصورة في ثلاثة أبعاد. في كلا النوعين يستخدم المجال المغناطيسي للتأثير على الإلكترونات بقوة، بحيث يتم توجيهها للحصول على رؤية واضحة.

في عام ١٩٢٣م افترض العالم الفرنسي لويس دي برولي (*de Broglie* ١٨٩٢م - ١٩٨٧م) فكرة الطبيعة الثانية للجسيم (المادية - الموجية)، فإذا كان الضوء يسلك سلوكًا موجياً أحياناً وجسيميًا أحياناً أخرى، فقد يكون للجسيمات الذرية - مثل الإلكترونات وغيرها من الأجسام المادية - خصائص موجية أيضًا. افترض دي برولي أن الطول الموجي للجسيمات المادية يرتبط بكمية تحركها بالمعادلة $P = \frac{h}{\lambda}$ ، كما هو في حالة الفوتون، فإذا كان جسيم ما كتلته m يتحرك بسرعة v ، فإن طوله الموجي λ يعطى بالعلاقة:

$$\lambda = \frac{h}{mv} \quad (9-7)$$

حيث h هو ثابت بلانك ويساوي $6.63 \times 10^{-34} \text{ J.s}$ و يعرف الطول الموجي في المعادلة (٩ - ٧) بطول موجة دي برولي للجسيمات.

الوحدة الرابعة الفيزياء الذرية

Atomic Physics



مثال (١) :

احسب طول موجة دي برولي لكرة كتلتها 0.20 kg تتحرك بسرعة 15 m/s .

$$\lambda = \frac{h}{mv}$$

$$\lambda = \frac{6.63 \times 10^{-34}}{(0.20)(15)}$$

$$= 2.2 \times 10^{-34} \text{ m}$$

الحل :

ومن هذا المثال، نلاحظ مدى صغر الطول الموجي المصاحب للكرة.

وفي الواقع فإن الطول الموجي للأجسام المادية تكون من الصغر بحيث لا يمكن قياسها أو ملاحظتها، وبالتالي فإن سلوكها الموجي، مثل التداخل و الحيوانات، لا يمكن ملاحظته لأن كتلتها كبيرة جدًا وبالتالي يكون طولها الموجي صغير جدًا؛ مما جعل الخصائص الموجية للأجسام الكبيرة مهملاً، ولكن يمكن دراسة الخصائص الموجية للجسيمات الذرية، مثل الإلكترونات. إذ إن كتلتها الصغيرة جدًا تكسبها طولاً موجياً كبيراً.

مثال (٢) :

حدد الطول الموجي لإلكترون تم تسريعه تحت فرق جهد 100 V .

الحل :

من قانون حفظ الطاقة، فإن الفقد في طاقة الوضع PE يساوي الكسب في طاقة الحركة KE والعكس، وبالتالي:

$$\frac{1}{2} mv^2 = eV$$

من هذه المعادلة:

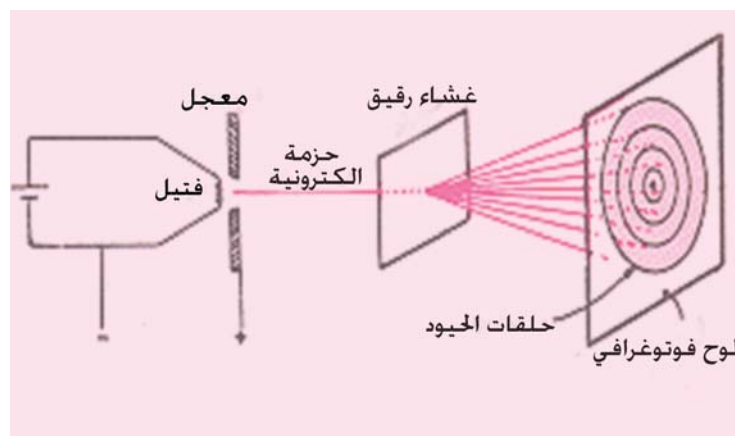
$$v = \sqrt{\frac{2eV}{m}} = \sqrt{\frac{(2)(1.6 \times 10^{-19})(100)}{9.1 \times 10^{-31}}} = 5.9 \times 10^6 \text{ m/s}$$

$$\therefore \lambda = \frac{h}{mv} = \frac{(6.63 \times 10^{-34})}{(9.1 \times 10^{-31})(5.9 \times 10^6)} = 1.3 \times 10^{-6} \text{ m}$$

$$= 0.13 \text{ nm}$$

الوحدة الرابعة الفيزياء الذرية *Atomic Physics*

ومثل هذه القيمة للطول الموجي يمكن ملاحظتها وقياسها، ولذا قام العديد من العلماء بمحاولات اكتشاف ذلك عملياً، إذ أجرى العالمان دافييسون *Davisson* (١٨٨١م - ١٩٥٨م) وجيرمر *Germer* (١٩٧١م - ١٩٩٦م) تجربة حاسمة؛ عندما قاما بانتزاع الإلكترونات من سطح معدن في أوائل ١٩٢٧م ، ولاحظا أن الإلكترونات تتحرك على شكل نبضات؛ ففسّرت هذه النبضات على أنها نمط من السلوك الموجي، وقاما بحساب الطول الموجي للنبضات المتولدة باستخدام معادلة دي برولي. كما قام العالم تومسون بتجربة اكتشف من خلالها السلوك الموجي للإلكترونات، انظر الشكل (٧-١٢). وأظهرت التجارب في وقت لاحق أن البروتونات والنيوترونات تمتلك الخصائص الموجية أيضاً.



الشكل (٧-١٢) : نمط من حيود الإلكترونات المنتزعة من لفافة ألومنيوم ، كما تظہر مصورة على فيلم حساس.

وهكذا فإن الطبيعة المزدوجة تنطبق على الأجسام المادية كما هي الحال بالنسبة للضوء، إلا أن السلوك الموجي للأجسام الكبيرة غير مرئي.

قم بإجراء الدرس العملي (٨) لدراسة السلوك الموجي للجسيمات الذرية ظاهرة الحيود مثلاً.

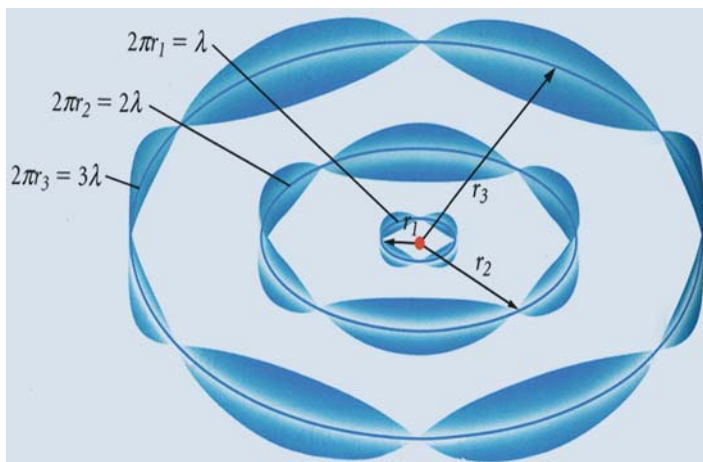
الوحدة الرابعة الفيزياء الذرية

Atomic Physics

تفسير دينوري لمدارات بور:

في البداية لم يستطع أحد أن يفسر لماذا تكون مدارات الذرة مستقرة. ومن ثم استطاع دينوري برولي إيجاد صلة بين فرض نظريته عن الطبيعة الموجية للمادة والمدارات المستقرة في نموذج بور. افترض دينوري أن مدار الإلكترون لا يكون مستقراً إلا إذا احتوى على عدد صحيح من الأطوال الموجية المصاحبة للإلكترون، كما هو مبين في الشكل (١٣ - ٧).

فالمدار الأول عبارة عن طول موجي واحد، والمدار الثاني عبارة عن اثنين من الأطوال الموجية، وهكذا. افتراسات دينوري هذه تم مقارنتها بال WAVES الموقوفة المتكونة في حبل مشدود، كما سبق مناقشته في الفصل الثالث، إذ لا يمكن أن نحصل على نمط مستقر إلا إذا كانت حركة الموجات عبارة عن نمطٍ متكاملٍ من الموجات الموقوفة وقياساً على ذلك فإن مدار الإلكترون افتراساً هو محيط دائرة يحتوي على عدد صحيح من الأطوال الموجية، أي أن:



الشكل (١٣ - ٧) : تفسير دينوري لمدارات بور

اختبار فهمك (٤):

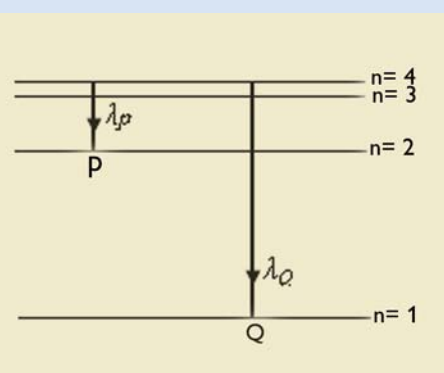
١. هل تدعم ظاهرة حيوانات الخاصية الجسيمية أم الخاصية الموجية للإلكترون؟ فسر ذلك.
٢. إذا اكتسب كل من الإلكترون والبروتون تسارعاً من السكون عند نفس فرق الجهد، أيهما يملك طول موجي أكبر؟ فسر إجابتك.
٣. في جهاز التلفزيون يتم تسريع الإلكترونات من السكون داخل أنبوب التفريغ الغازى تحت تأثير فرق الجهد بين المهبط والمصعد، فإذا كان طول موجة دينوري المصاحبة للإلكترون يساوي $m \times 10^{-11}$ ، احسب فرق الجهد المستخدم.

الوحدة الرابعة
الفيزياء الذرية
Atomic Physics

أسئلة الفصل

السؤال الأول : اختر الإجابة الصحيحة من بين البدائل المطروحة :

١. في تجربة قذف شريحة الذهب بجسيمات ألفا، لاحظ رذرфорد ارتداد بعض من جسيمات ألفا وهذا يدل على أن:
 أ. النواة تحمل شحنة موجبة.
 ب. النواة تحمل شحنة سالبة.
 ج. النواة لا تحمل شحنة.
 د. معظم الذرة فراغ.
٢. بروتون و إلكترون لهما نفس طول موجة دي برولي. إذا كانت طاقة حركة البروتون هي KE_p ، وطاقة حركة الإلكترون هي KE_e ، فأي العلاقات الآتية صحيحة بين KE_p و KE_e ؟
 ب. $KE_p < KE_e$
 ج. $KE_p = 1/KE_e$
 د. $KE_p > KE_e$
 أ. $KE_p = KE_e$
٣. تنتج سلسلة باشن من انتقال الإلكترون من المستويات الأعلى في الذرة إلى المستوى:
 أ. الأول ب. الثاني ج. الثالث د. الرابع
٤. تكون طاقة الفوتون المنبعث من ذرة الهيدروجين أكبر ما يمكن عندما يتنتقل الإلكترون من المستوى
 أ. $n=5$ إلى $n=4$
 ب. $n=4$ إلى $n=3$
 ج. $n=3$ إلى $n=2$
 د. $n=2$ إلى $n=1$
٥. يوضح الشكل (١٤-٧) مستويات الطاقة الأربع الأولى لذرة الهيدروجين، فإذا كان السهمان P و Q يمثلان الانتقال المحتمل للإلكترون بين المستويات بحيث يشع فوتونات ذات أطوال موجية مقدارها λ_Q و λ_p على التوالي، فإن النسبة $\lambda_Q : \lambda_p$ تساوي:
 د. ١٢٨:٢٧ ج. ٨:٣ ب. ٣:٢ أ. ٣:١



الشكل (١٤-٧)

الوحدة الرابعة
الفيزياء الذرية
Atomic Physics

٦. تحتوي كل من ذرة الهيدروجين H وأيون الهيليوم He^+ على إلكترون واحد مفرد يدور حول نواتاهما، فإذا كان مقدار الشحنة الموجبة في نواة ذرة الهيدروجين يساوي $+e$ ، ومقدار الشحنة الموجبة لنواة أيون He^+ يساوي $+2e$ ، وكان مقدار الطاقة في المستوى الأول لذرة الهيدروجين يساوي $-E$ ، فإن مقدار الطاقة في المستوى الأول لذرة الهيليوم يساوي:

- أ. $-\frac{1}{4} E$ ب. $-\frac{1}{2} E$ ج. $-4E$ د. $-2E$

٧. النسبة بين طاقات مستويات ذرة الهيدروجين الثلاثة الأولى مقدارها:

- أ. $1:2:3$ ب. $1:4:9$ ج. $\frac{1}{2}:\frac{1}{3}$ د. $\frac{1}{4}:\frac{1}{9}$

٨. إذا كان طول موجة دي برولي لجسيم كتلته m هو λ ، فإن طاقة حركة الجسيم (KE) تساوي:

- أ. $\frac{h^2}{2m\lambda^2}$ ب. $\frac{\lambda^2}{2mh^2}$ ج. $\frac{h}{2m\lambda}$ د. $\frac{2mh^2}{\lambda^2}$

٩. إذا كان طول موجة دي برولي لإلكترون يتحرك بسرعة مقدارها v يساوي λ ، ما مقدار الطول الموجي إذا انخفضت سرعته إلى $\frac{1}{2}v$ ؟

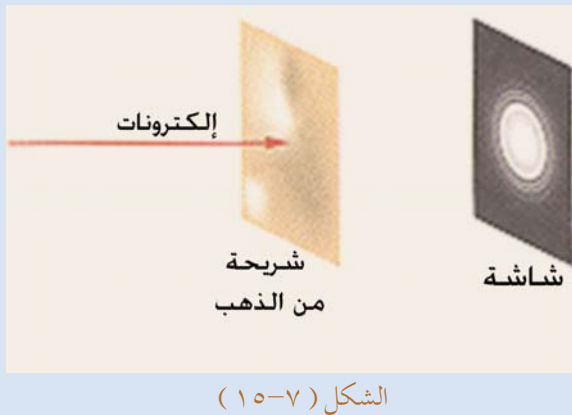
- أ. 4λ ب. 2λ ج. $\frac{1}{2}\lambda$ د. $\frac{1}{4}\lambda$

١٠. إذا كان نصف قطر مدار الإلكترون في ذرة الهيدروجين في المستوى الأول يساوي r ، فإن طول موجة دي برولي:

- أ. $2\pi r$ ب. πr ج. $2r$ د. r

الوحدة الرابعة الفيزياء الذرية

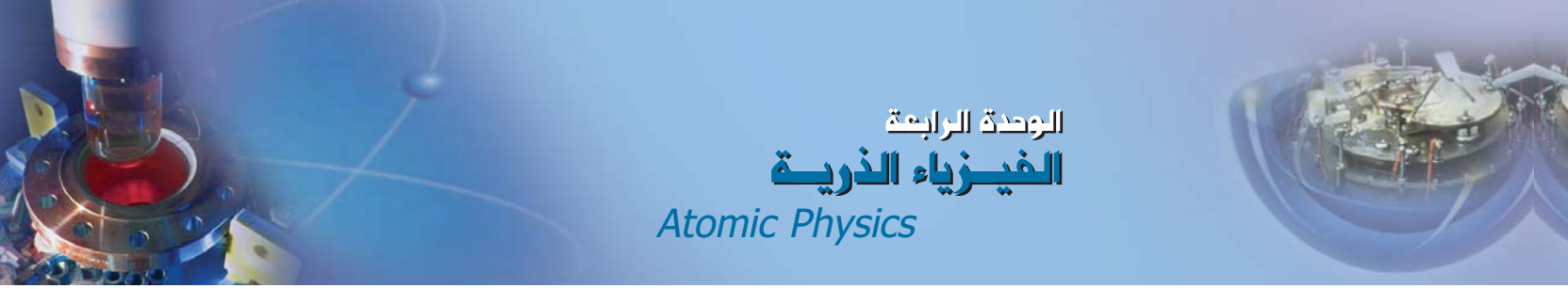
Atomic Physics



١١. يوضح الشكل (١٥-٧) تجربة عملية لدراسة الطبيعة الموجية للإلكترون، حيث تم تسليط شعاع من الإلكترونات بزاوية 90° على طبقة رقيقة من الذهب و ظهرت حلقات الحيود على شاشة فسفورية. إذا زادت طاقة الإلكترونات الساقطة على رقيقة الذهب، ماذا تتوقع أن يحدث حلقات الحيود؟
- أ. لا تغير
 - ب. تصبح أقل إضاءة
 - د. يقل اتساعها
 - ج. يزداد عرضها

السؤال الثاني : أجب عن الأسئلة الآتية:

١. لماذا يعتقد العلماء أن معظم كتلة الذرة تتركز في النواة؟
 ٢. في تجربة تومسون كيف نحدد ما إذا كان انحراف الإلكترون ناتج بسبب المجال الكهربائي أم المجال المغناطيسي؟
 ٣. اشرح الاختلافات بين تصور رذرфорد وبور للذرة.
 ٤. كيف يمكن لطيف ذرة الهيدروجين أن يحوي العديد من خطوط الطيف بالرغم من أن الذرة تحتوي على إلكترون واحد فقط؟
 ٥. لماذا يمكن حسب متسلسلة بالمر ملاحظة دراسة خطوط طيف ذرة الهيدروجين بشكل أفضل مما هو في متسلسلة ليمان ومتسلسلة باشن؟
 ٦. أثبت أن سرعة الإلكترون في المدار n في ذرة الهيدروجين تعطى بالعلاقة:
- $$v_n = \frac{2\pi k e^2}{nh}$$



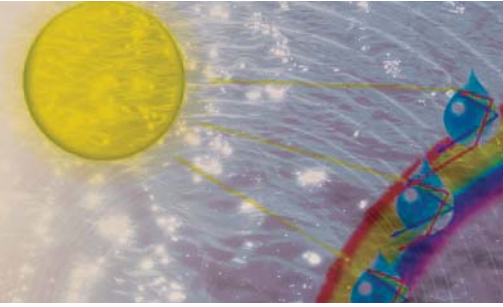
الوحدة الرابعة الفيزياء الذرية

Atomic Physics

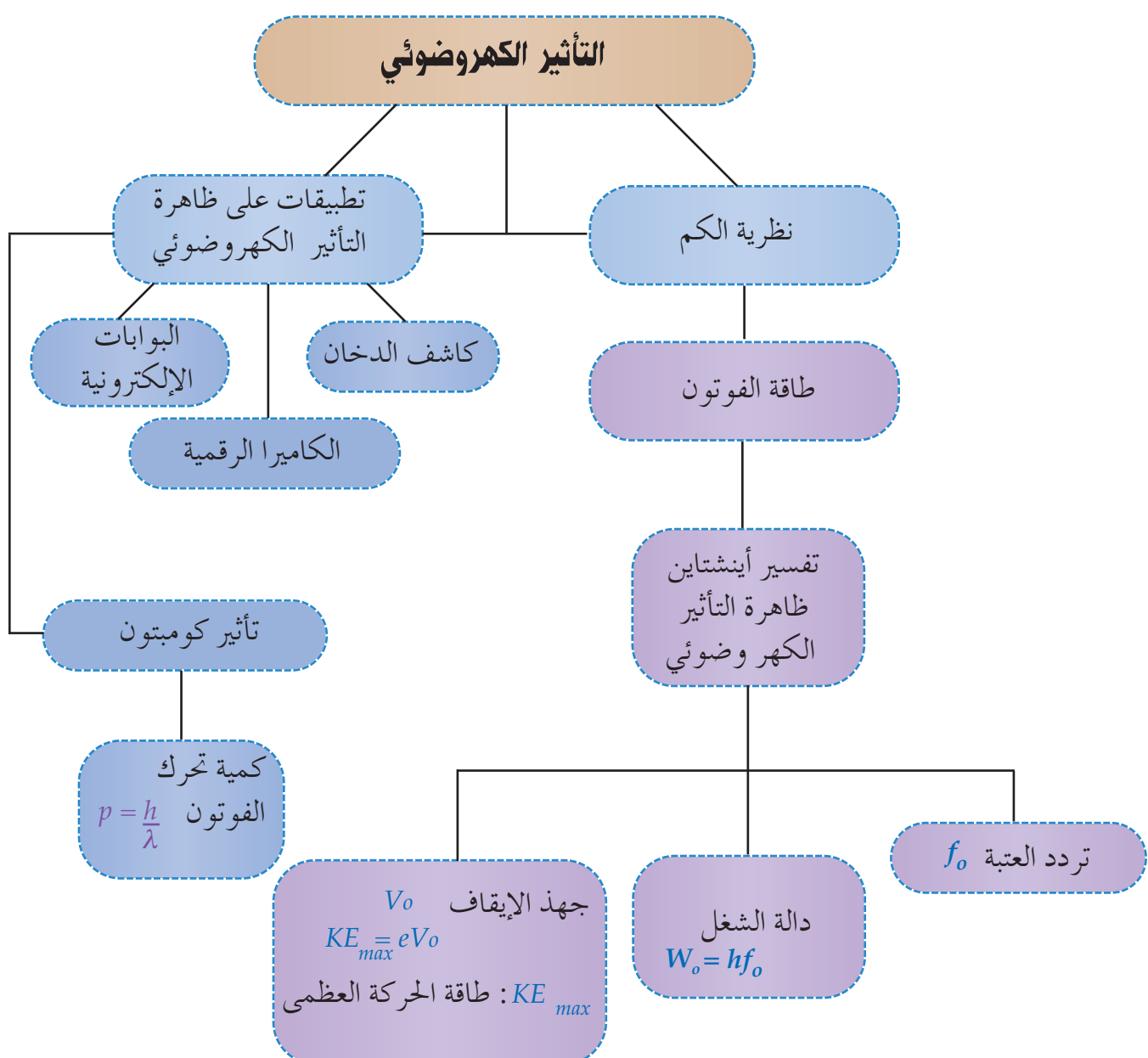
السؤال الثالث : أجب عن الأسئلة الآتية:

١. احسب الطول الموجي لخطوط الطيف الأربع في متسلسلة بالمر.
٢. قذفت إلكترونات طاقتها 10.9 eV نحو غاز من ذرات الهيدروجين. ماهو الطول الموجي للإشعاع الذي ينبعث من الغاز؟
٣. احسب طول موجة دي برولي المصاحبة لكلٌّ من:
 - (أ) كرة كتلتها 2 kg أقيمت بسرعة 15 m/s .
 - (ب) بروتون تم تحريكه بسرعة $1.3 \times 10^5 \text{ m/s}$.
 - (ج) إلكترون يتحرك بسرعة $5 \times 10^4 \text{ m/s}$.
٤. جسيم مجهر يتحرك بسرعة $1.2 \times 10^5 \text{ m/s}$ ، فإذا علمت أن طول موجة دي برولي المصاحبة لهذا الجسيم يساوي $8.4 \times 10^{-14} \text{ m}$ احسب كتلته.

الوحدة الثالثة
الموجات الكهرومغناطيسية
Electromagnetic Waves



خارطة مفاهيم
الفصل السادس



الفصل السادس

التأثير الكهروضوئي

Photoelectric Effect

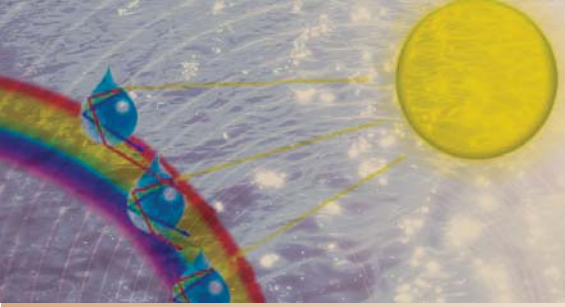
مقدمة:

أهم اكتشافين في عالم الفيزياء في أوائل القرن العشرين كانا النظرية النسبية ونظرية الكم، حيث أدى كلاهما إلى تغيرات هامة في عالم الفيزياء. تم اكتشاف النظرية النسبية عام ١٩٠٥ م من قبل عالم واحد وهو آينشتاين، أما نظرية الكم فقد تطورت على مدى ثلثين عاماً من قبل عدة علماء، بداية من عام ١٨٩٠ م مع تفسير إشعاع الجسم الأسود للعالم بلانك وبلغت ذروتها عام ١٩٢٠ م عندما استخدم بعض العلماء مثل شرودينجر (Heisenberg ١٩٠١ م - ١٩٧٦ م) والعالم هيزنبرغ (Shrodinger ١٨٨٧ م - ١٩٦١ م) نظرية الكم لشرح سلوك الإلكترون في الذرة.

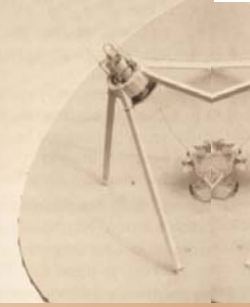
لقد درست في الفصل السابق أن الضوء عبارة عن موجات كهرومغناطيسية تحمل خصائص الموجات من تداخل وحيود وانكسار، وفي هذا الفصل ستدرس أن الضوء بالإضافة إلى كونه يحمل طبيعة موجية، فهو يملك طبيعة جسمية أيضاً وله كمية تحرك من خلال التعرض لبعض الظواهر الدالة على ذلك كظاهرة التأثير الكهروضوئي وتأثير كومبتون، بالإضافة إلى دراسة بعض التطبيقات العملية على التأثير الكهروضوئي.

الموضوعات الرئيسية

- ١-٦ تكميم الطاقة.
- ٢-٦ نظرية الكم.
- ٣-٦ التأثير الكهروضوئي.
- ٤-٦ تطبيقات على التأثير الكهروضوئي.
- ٥-٦ تأثير كومبتون.



الوحدة الثالثة الموجات الكهرومغناطيسية *Electromagnetic Waves*



المصطلحات العلمية الجديدة

| | |
|----------------------------|---------------------|
| <i>Quantum number</i> | * عدد كمي |
| <i>Quanta</i> | * الكمة |
| <i>Plank's Constant</i> | * ثابت بلانك |
| <i>Photon</i> | * الفوتون |
| <i>Photoelectrons</i> | * إلكترونات ضوئية |
| <i>Stopping Voltage</i> | * جهد الإيقاف |
| <i>Work Function</i> | * دالة الشغل |
| <i>Threshold Frequency</i> | * تردد العتبة |
| <i>Photodiode</i> | * وصلة ثنائية ضوئية |

عناوين الاستكشافات

الاستكشاف (١) : انطلاق الكرة

الوحدة الثالثة
الموجات الكهرومغناطيسية
Electromagnetic Waves

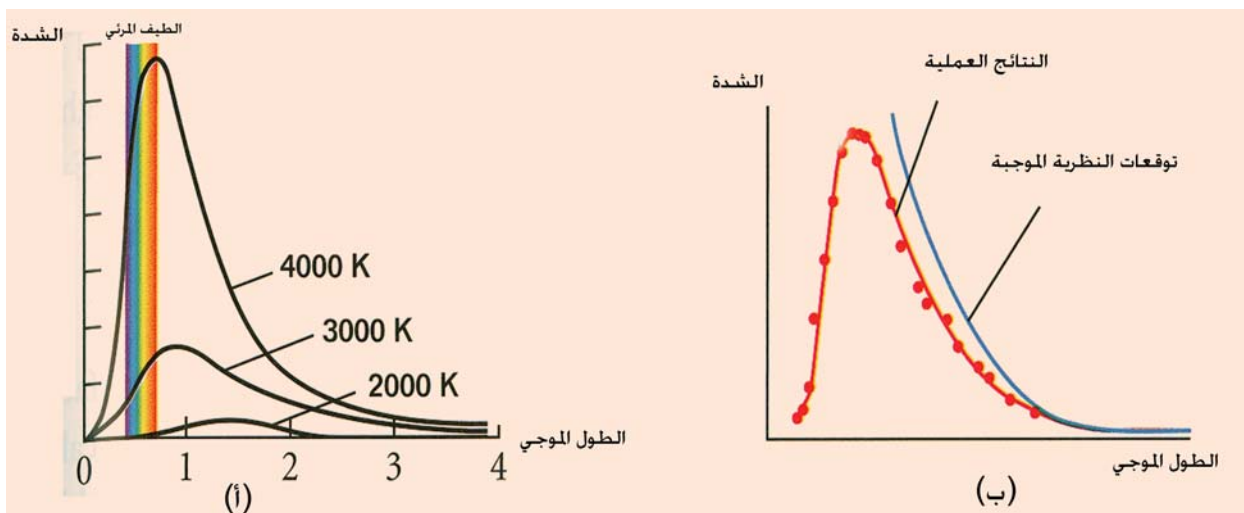
١-٦

تمثيل الطاقة Quantization of Energy

درست في الفصل السابق أن الضوء عبارة عن موجات كهرومغناطيسية وأن جميع الأجسام المتذبذبة تشع موجات كهرومغناطيسية ، إلا أنه في القرن التاسع عشر ظهرت مشكلة طيف الموجات الكهرومغناطيسية الصادرة عن الجسم الساخن أو المتوجه و التي لم تستطع النظرية الموجية أن تفسرها .

إشعاع الجسم الأسود Black Body Radiation

إذا شاهدت من خلال منشور الضوء القادم من مصباح متوجه، فإنك سترى جميع الألوان في قوس ألوان الطيف، كما أن المصباح المتوجه يشع أشعة تحت الحمراء أيضاً إلا إنك لا تستطيع أن تراها. جميع الأجسام الساخنة تشع موجات كهرومغناطيسية تختلف شدتها باختلاف الطول الموجي و الذي يعتمد على درجة حرارة الجسم الساخن، فعند درجات الحرارة العالية (أعلى من **2000 K**) يشع الجسم الساخن موجات كهرومغناطيسية في منطقة الضوء المرئي و منطقة الأشعة تحت الحمراء، وإذا تم تسخين الجسم بدرجة كافية فإنه يشع موجات في منطقة الأشعة فوق البنفسجية. يُسمى الجسم الساخن الذي يتمتص جميع الأشعة الساقطة عليه ولا يعكس منها شيئاً بالجسم الأسود، وتُسمى الإشعاعات الصادرة عنه بإشعاع الجسم الأسود.



الشكل (١-٦)

(ا) منحنى الإشعاع للجسم الأسود.

(ب) مقارنة بين النتائج العملية و توقعات النظرية الموجية لمنحنى الإشعاع للجسم الأسود.

الوحدة الثالثة

الموجات الكهرومغناطيسية

Electromagnetic Waves

يوضح الشكل (٦-١أ) النتائج العملية للإشعاع الصادر عن جسم ساخن عند ثلات درجات حرارة مختلفة، حيث يمثل المحور الصادي الشدة (متوسط معدل الطاقة المشعة لوحدة المساحات)، بينما يمثل المحور السيني الطول الموجي للإشعاع الصادر من الجسم الساخن. نلاحظ من الرسم البياني ما يلي :

- تمثل المنحنيات الطاقة المنبعثة لوحدة المساحات للجسم الأسود عند أطوال موجية مختلفة.
- عند كل درجة حرارة هناك قيمة معينة للطول الموجي (قيمة عظمى) تكون عندها الطاقة المنبعثة لوحدة المساحات أكبر ما يمكن.

معلومة تهمك

إذا قبّت بزيادة الجهد الكهربائي تدريجياً للمصباح المتصل بجهاز للتحكم في شدة التيار الكهربائي، فإنك في هذه الحالة تزيد من درجة حرارة الفتيل المتوجه. يتغير اللون من الأحمر الداكن مروراً بالبرتقالي إلى الأصفر حتى يصل إلى اللون الأبيض، وأن زيادة درجة الحرارة يؤدي إلى انتشار إشعاعات ذات ترددات عالية فإن معظم الإشعاعات الصادرة تتكون في نهاية اللون البنفسجي فيظهر لون المصباح آخر بياضاً، ويعتمد مدى رؤيتك للألوان على نسبة الانبعاث عند الترددات المختلفة وعلى مدى حساسية عينك للألوان.

- كلما زادت درجة حرارة الجسم فإن قمة المنحنى تنزاح تدريجياً باتجاه الطول الموجي الأقل (تردد أكبر)، و بالتالي يتنقل الإشعاع تدريجياً إلى منطقة الطيف المرئي.

- بزيادة درجة الحرارة تزداد المساحة تحت المنحنى، أي تزداد الطاقة الإجمالية لوحدة المساحات المنبعثة من الجسم الأسود.

من خلال الشكل (٦-١ب) يمكن المقارنة بين النتائج العملية للإشعاع الجسم الأسود و النتائج النظرية المتوقعة حسب النظرية الموجية لماكسويل، فحسب نظرية ماكسويل فإن الموجات الكهرومغناطيسية تبعت من الأجسام الساخنة نتيجة تذبذب ذرات المادة، و كلما زادت درجة حرارة الجسم الساخن يزداد تردد الذرات و بالتالي يزداد تردد الإشعاع الكهرومغناطيسي المنبعث .

إلا أن حسب توقعات النظرية الموجية ، كلما اقترب الطول الموجي من الصفر فإن الطاقة المنبعثة تصل إلى ما لا نهاية، ولكن ما تم ملاحظته من النتائج العملية أنه كلما اقترب الطول الموجي من الصفر فإن الطاقة المنبعثة تقترب أيضاً من الصفر، و بالتالي فإن النظرية الموجية لم تستطع إعطاء تفسير مقبول لسبب ظهور منحنى إشعاع الجسم الأسود بهذا الشكل (شكل ٦-١أ)، ولم يستطع العلماء آنذاك تفسير ذلك حتى ظهرت بداية نظرية الكم مع العالم ماكس بلانك *Max Planck* عام ١٩٠٠ م.

لمزيد من المعلومات عن إشعاع الجسم الأسود، قم بزيارة الموقع الآتي على الشبكة العالمية للاتصالات الدولية :

<http://www.egglestone.org.uk/physics/astronomy/blackbody/bbody.html>

الوحدة الثالثة
الموجات الكهرومغناطيسية
Electromagnetic Waves

٢-٦

نظرية الكم *Quantum Theory*

تمكّن العالم الألماني ماكس بلانك (Max Planck) من تفسير منحنى إشعاع الجسم الأسود عن طريق وضع افتراض معين، فقد افترض بلانك أن الذرات أو الجزيئات المتذبذبة في الجسم الساخن تتذبذب عند قيم معينة للطاقة، وأن هذه الطاقة لا تبعت بشكل مستمر وإنما تكون على شكل رزم منفصلة وتأخذ قيمًا محددة ، وسمى بلانك هذه الرزم بالكلمات *quanta*، كما أنه أشار إلى أن طاقة الكمة الواحدة تُحسب من المعادلة:

$$E = hf \quad (1-6)$$

حيث E : طاقة الكمة.

f : تردد الجسم المتذبذب.

h : ثابت بلانك *Plank's constant* و يساوي $6.63 \times 10^{-34} \text{ Js}$ ، وقد توصل إلى قيمة الثابت من خلال التجارب العملية.

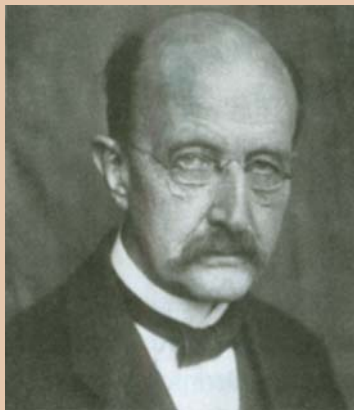
كما افترض بلانك أن طاقة الكمة تأخذ مضاعفات صحيحة من أقل طاقة للكمة أي أن:

$$E = nhf \quad n=1,2,3.....$$

ويُطلق على n بالعدد الكمي *Quantum number*.
ولكن كيف استطاعت فرضية بلانك تفسير إشعاع الجسم الأسود؟
بما أن الطاقة عبارة عن رزم منفصلة وكل رزمة لها طاقة محددة حسب تردد الجسم المتذبذب، إذاً فرمزة منطقة الضوء الأحمر تملك طاقة أقل من رزمة منطقة الضوء فوق البنفسجي؛ لأن تردد الضوء الأحمر أقل من تردد الضوء فوق البنفسجي.
باستخدام هذا النموذج الكمي وبعض العمليات الإحصائية استطاع بلانك تفسير الشكل الناتج لمنحنى (شدة

الوحدة الثالثة الموجات الكهرومغناطيسية *Electromagnetic Waves*

معلومة تهمك



عمل العالم ماكس بلانك في جامعة برلين وبدأ البحث في إشعاع الجسم الأسود عام ١٨٩٠ - ١٩١١، وفي عام ١٩١١ نال جائزة نوبل، بسبب اكتشافه لتكامل الطاقة الصادرة من الموجات الكهرومغناطيسية، وتحفيزاً عمل بلانك، أصبح آينشتاين أول المؤيدين لنظرية الكم.

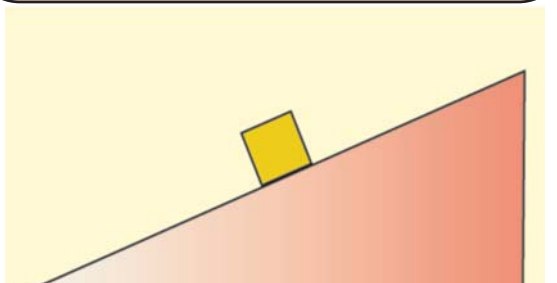
الموجات الكهرومغناطيسية - الطول الموجي) للجسم الأسود لكل مساحات طيف إشعاع الجسم الأسود عند أي قيمة لدرجة الحرارة.

يمكن توضيح فكرة تكميم الطاقة عن طريق المقارنة بين التغير في طاقة الوضع الشاقلية لجسم يتحرك على طريق منحدر، كما هو موضح في الشكل (٢-٦ أ) وبين التغير في طاقة الوضع الشاقلية لنفس الجسم ويتحرك إلى نفس الارتفاع ولكن على سلم، كما هو موضح في الشكل (٢-٦ ب).

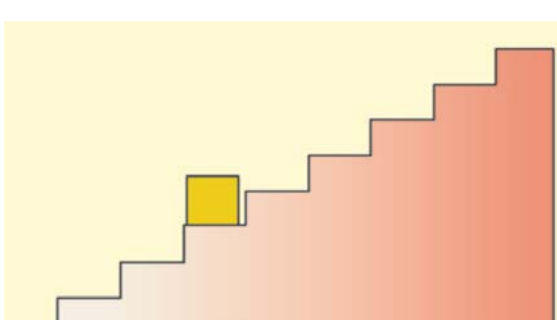
بناءً على النظرية الموجية فإن الجسم في الحالة (أ) يأخذ مدى مستمراً من طاقة الوضع الشاقلية في أثناء انتقاله من أسفل الطريق المنحدر إلى أعلى ارتفاع، أما في الحالة (ب) وحسب نظرية الكم فإن الجسم يأخذ قيماً محددة من طاقة الوضع الشاقلية عند كل ارتفاع على السلم. وهذا ينطبق على الأجسام المتذبذبة الساخنة، فهي لا تشع طاقة بشكل مستمر، وإنما تشع كميات محددة للطاقة تعتمد على تردد الإشعاع الصادر من الجسم.

غالباً ما تُستخدم وحدة إلكترون فولت (eV) لحساب طاقة الكمة، والعلاقة التي تربط بين وحدة الإلكترون فولت (eV) ووحدة الجول (J) كالتالي:

$$1 \text{ eV} = 1.60 \times 10^{-19} \text{ J}$$



أ



ب

الشكل (٢-٦)

الوحدة الثالثة

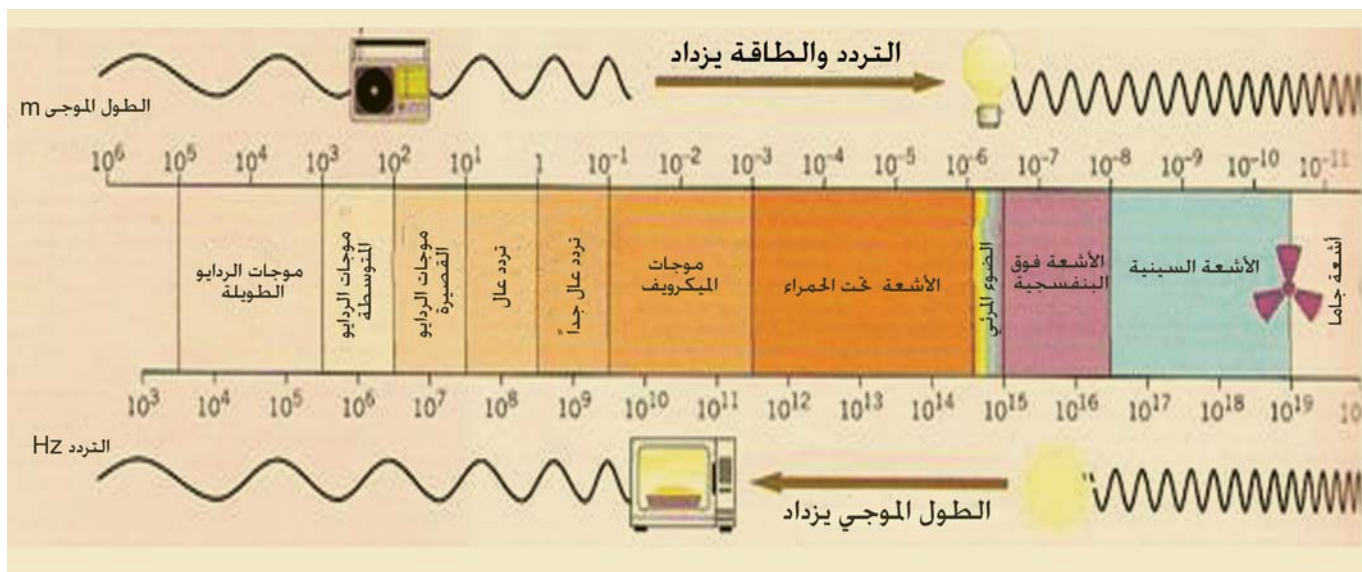
الموجات الكهرومغناطيسية

Electromagnetic Waves

آينشتاين و تكميم الضوء Einstein and the quantization of light

توقف بلانك عند خطوة تكميم الطاقة، إلا أن ألبرت آينشتاين (Albert Einstein) (م ١٨٧٩ - م ١٩٥٥) وسع فكرة التكميم لتشمل الموجات الكهرومغناطيسية أيضاً و كان نقاشه يدور حول النقاط الآتية:

- يمكن للجسم المتذبذب أن يكتسب أو يفقد طاقة بمقادير قليلة، أي أن $\Delta E = h\Delta f$ حيث Δf هو التغير في التردد و ΔE هي الطاقة المكتسبة أو المفقودة.
- الطاقة التي يكتسبها الجسم المتذبذب أو يفقدها تكون على شكل موجات كهرومغناطيسية، لذا فإن الإشعاع الكهرومغناطيسي لابد أن يكون على شكل كمات، و كل كمة تمتلك طاقة مقدارها ΔE .
- تُسمى هذه الكمات في وقتنا الحالي بالفوتونات photons حيث إن كل فوتون له تردد الخاص و تُحسب طاقته من المعادلة $E = hf$ ، وهذا يعني أن الإشعاعات الصادرة من الجسم الأسود ليست إشعاعات مستمرة وإنما



الشكل (٣-٦) : طيف الموجات الكهرومغناطيسية

هي عبارة عن مجموعة من الفوتونات (كمات منفصلة) و كل فوتون يملك طاقة خاصة به، و بالتالي يمكن تصنيف مناطق الطيف الكهرومغناطيسي حسب طاقة الفوتون كما هو موضح في الشكل (٣-٦).

و يمكن حساب طاقة الفوتون لكل طيف. معرفة تردد الموجات الكهرومغناطيسية في تلك المنطقة. استخدم آينشتاين فكرته هذه في تفسير ظاهرة أخرى حيرت الفيزيائيين و هي التأثير الكهروضوئي.

الوحدة الثالثة الموجات الكهرومغناطيسية *Electromagnetic Waves*

مثال (١):

احسب الطاقة بوحدة الجول و الإلكترون فولت لكل من:

أ) فوتون للضوء الأزرق بتردد مقداره $6.67 \times 10^{14} \text{ Hz}$

ب) فوتون للضوء الأحمر بطول موجي مقداره 635 nm

ج) فوتون لأنشعة سينية طولها الموجي 1 A^o

الحل:

نطبق نظرية بلانك لحساب طاقة الفوتون.

$$\begin{aligned}
 E &= hf \\
 &= (6.63 \times 10^{-34}) (6.67 \times 10^{14}) \\
 &= 4.42 \times 10^{-19} \text{ J} \\
 1 \text{ eV} &= 1.6 \times 10^{-19} \text{ J}
 \end{aligned} \tag{أ}$$

$$\therefore E = \frac{4.42 \times 10^{-19}}{1.6 \times 10^{-19}} = 2.76 \text{ eV}$$

$$C = \lambda f \tag{ب}$$

بالتعويض عن قيمة f من المعادلة السابقة و تعويضها في المعادلة (٦-١) نحصل على:

$$\therefore E = \frac{hc}{\lambda} = \frac{(6.63 \times 10^{-34})(3 \times 10^8)}{6.35 \times 10^{-7}}$$

$$E = 3.13 \times 10^{-19} \text{ J}$$

$$\therefore E = \frac{3.13 \times 10^{-19}}{1.6 \times 10^{-19}} = 1.96 \text{ eV}$$

الوحدة الثالثة
الموجات الكهرومغناطيسية
Electromagnetic Waves

(ج)

$$E = \frac{hc}{\lambda} = \frac{(6.63 \times 10^{-34})(3 \times 10^8)}{1 \times 10^{-10}} = 1.989 \times 10^{-15} J$$

$$\therefore E = \frac{1.989 \times 10^{-15}}{1.6 \times 10^{-19}} = 1.2 \times 10^4 eV$$

وهي طاقة هائلة جدًا.

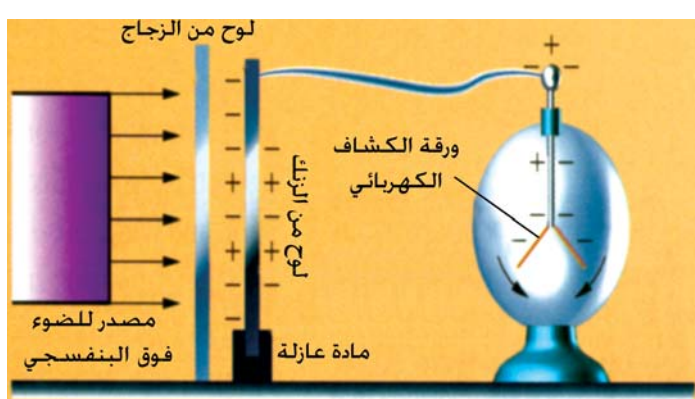
اختبار فهمك (١):

١- فوتون لضوء مرئي معين يحمل طاقة مقدارها $J \times 10^{-19}$. ما هو تردد هذا الضوء؟

٣-٦ التأثير الكهروضوئي Photoelectric Effect

اكتشف العالم هيرتز Heinrich Hertz

(١٨٥٧م-١٨٩٤م) وفي أثناء إجرائه لبعض التجارب للتحقق من نظرية ماكسويل للموجات الكهرومغناطيسية عام ١٨٨٧م، أنه عند تسلیط ضوء فوق البنفسجي على سطح معدن معین، فإنه يفقد إلكتروناته، حيث قام بتوصيل لوح مصقول من معدن الزنك بقرص الكشاف الكهربائي كما هو موضح في الشكل (٤-٦)، ثم سلط ضوء فوق البنفسجي على اللوح مما أدى إلى تحرير إلكترونات من سطح المعدن، وقد استدل هيرتز على ذلك عن طريق انفراج ورقتي الكشاف الكهربائي نتيجة تراكم الشحنات الموجة



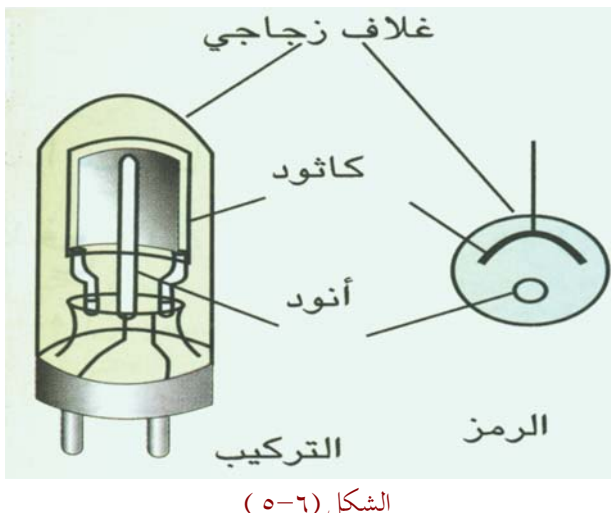
الشكل (٤-٦) : تجربة هيرتز

الوحدة الثالثة

الموجات الكهرومغناطيسية

Electromagnetic Waves

عليه. أطلق على هذه الظاهرة بالتأثير الكهروضوئي، وتُعرف بأنها: "انبعاث الإلكترونات من سطح الفلزات عند تعرضها لموجات كهرومغناطيسية مناسبة" وسميت الإلكترونات المتحررة بالإلكترونات الضوئية *photoelectrons*. وفي وقتنا الحالي يمكن توضيح التأثير الكهروضوئي باستخدام الضوء المرئي وخليعة كهروضوئية *photoelectric cell*.

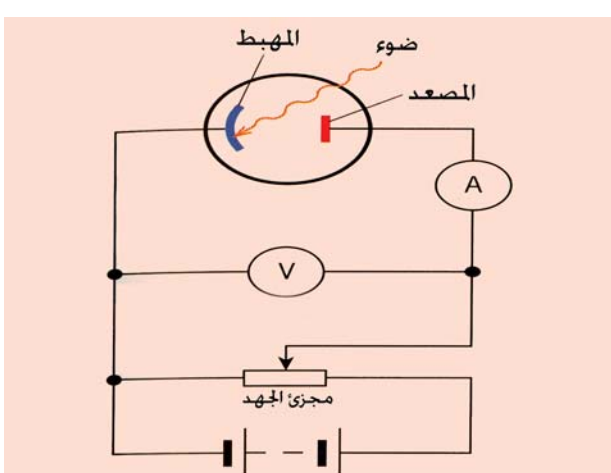


تكون الخلية الكهروضوئية، كما هو موضح في الشكل (٥-٦) من أنبوبة من الزجاج أو الكوارتز مفرغة من الهواء يوجد بداخلها صفيحة معدنية على شكل نصف أسطوانة مغطاة بطبقة من السبيزيوم (أو أحد العناصر الأخرى). توصل هذه الصفيحة في الدائرة الكهربائية بالطرف السالب للبطارية ويسمى بالمهبط *cathode*، و يتمركز في محور الأسطوانة سلك معدني أو شبكة أسطوانية معدنية توصل بالطرف الموجب للبطارية ويسمى بالمصعد *anode*، وكل المكونات مثبتة على قاعدة عازلة. ويوضح الشكل (٦-٦) الدائرة الكهربائية المستخدمة لدراسة ظاهرة التأثير الكهروضوئي، حيث يتم في المرحلة الأولى من التجربة تسلیط ضوء بتردد مناسب وبشدة معينة على سطح المهبط المعدني، مما يؤدي إلى انبعاث إلكترونات ضوئية من سطح المهبط.

تجه هذه الإلكترونات الضوئية في الأنبوبة المفرغة من الهواء إلى المصعد نتيجة وجود فرق في الجهد الكهربائي بين المصعد والمهبط، الأمر الذي يؤدي إلى مرور تيار كهربائي يمكن قياسه باستخدام جهاز الميكروأمبير، كما هو موضح في الشكل (٦-٦).

الشكل (٦-٦) : الدائرة الكهربائية لتجربة التأثير الكهروضوئي

في المرحلة الثانية من التجربة، يتم تقليل الجهد الكهربائي للمصعد باستخدام مجزئ الجهد حتى يصبح سالباً بالنسبة للهجاء، أو عن طريق عكس قطبي البطارية، عندما تتنافر الإلكترونات الضوئية البطيئة مع المصعد ولا تصل إليه إلا الإلكترونات الضوئية السريعة، وبالتالي يمر تيار كهربائي في الدائرة ولكن أقل.

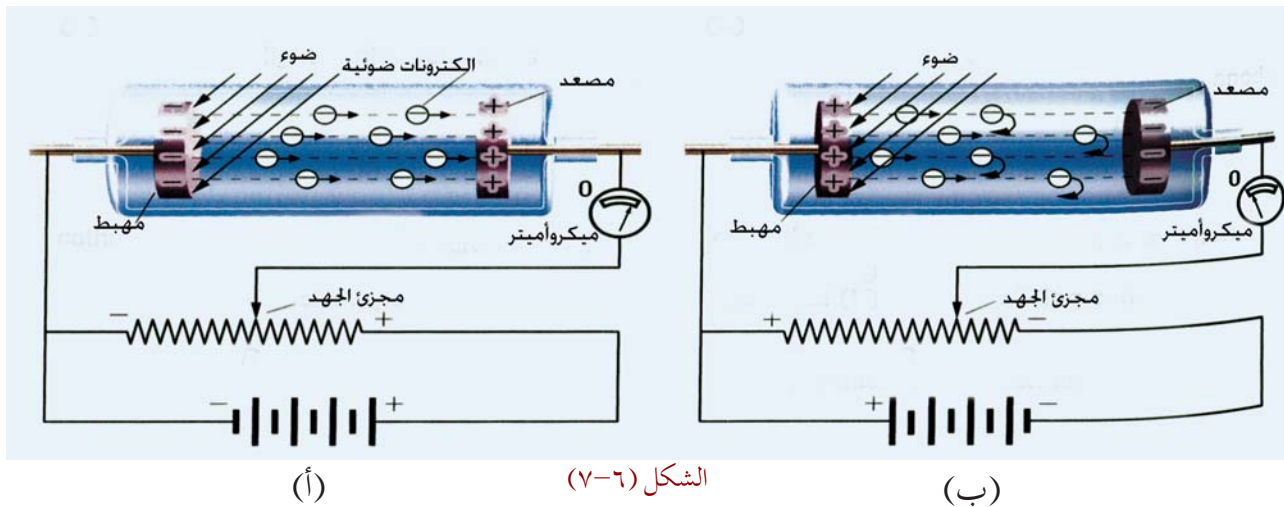


الوحدة الثالثة

الموجات الكهرومغناطيسية

Electromagnetic Waves

إذا زاد الجهد الكهربائي العكسي تدريجياً للمصعد، فإن الإلكترونات الضوئية السريعة تتنافر مع المصعد ولا تستطيع أن تصل إليه، و بالتالي يصبح التيار الكهربائي مساوياً للصفر (الشكل (٧-٦ ب)).



يُسمى الجهد الكهربائي الذي يمنع وصول الإلكترونات الضوئية السريعة إلى المصعد بجهد الإيقاف *stopping voltage*

الربط بعلم الفلك

يمكن للأقمار الصناعية والمركبات الفضائية أن تتأثر بالظاهرة الكهرومغربية، حيث يسبب كل من الفراغ الموجود في الفضاء الخارجي والأشعة فوق البنفسجية إلى شحن المركبات الفضائية بالشحنة الموجبة و يتم تفريغ هذه الشحنة الموجبة عندما تهبط المركبة الفضائية.

يُعرف على أنه " أقل جهد يلزم لإيقاف الإلكترونات ذات أقصى طاقة حركة من الوصول إلى المصعد" ويمكن عن طريقه حساب طاقة الحركة العظمى للإلكترونات الضوئية، وذلك بتطبيق قانون حفظ الطاقة(الفقد في طاقة الحركة = الزيادة في طاقة الوضع الكهربائية) أي أن:

$$KE_{max} = e V_o \quad (٢-٦)$$

حيث : KE_{max} طاقة الحركة العظمى للإلكترونات الضوئية

e : شحنة الإلكترون

والآن دعنا نقارن بين النظرية الموجية ونظرية الفوتون لآينشتاين في تفسير التأثير الكهرومغبي.



الوحدة الثالثة الموجات الكهرومغناطيسية Electromagnetic Waves

أولاً: النظرية الموجية:
توقع هذه النظرية ما يلي:

- ١- إذا زادت شدة الضوء الساقط، فإن عدد الإلكترونات الضوئية المبعثة من سطح المعدن وطاقة الحركة العظمى لها لابد أن تزداد، وهذه الزيادة في شدة الضوء يؤدي إلى زيادة في شدة المجال الكهربائي، وبالتالي زيادة في سرعة الإلكترونات المبعثة.
- ٢- لا يؤثر تردد الضوء الساقط على طاقة الحركة للإلكترون الضوئي، وإنما شدة الضوء هو العامل الوحيد الذي يؤثر على طاقة الحركة للإلكترونات الضوئية المبعثة، إلا أن ما تم ملاحظته من خلال التجربة العملية أن شدة الضوء يؤثر فقط على عدد الإلكترونات الضوئية المبعثة، ويُستدل على ذلك من خلال الزيادة في شدة التيار الكهربائي المار في الدائرة.
- ٣- توزع طاقة الضوء بانتظام على سطح المعدن، وإذا كانت شدة الضوء الساقط ضعيفة فسيكون هناك تأخير في انبعاث الإلكترونات الضوئية؛ نظراً لأنها ستحتاج إلى بعض الوقت لتكتسب طاقة كافية حتى تتحرر من سطح المعدن، ولكن لوحظ من خلال التجربة أنه بمجرد سقوط ضوء مناسب على سطح الفلز يحدث انبعاث كهروضوئي مباشر.

ثانياً: نظرية الفوتون لآينشتاين:
حسب هذه النظرية فإن:

- ١- في الضوء الأحادي اللون (أحادي الطول الموجي) جميع الفوتونات تمتلك نفس الطاقة (hf)، وبالتالي فإن الريادة في شدة الضوء تؤدي إلى زيادة في عدد الفوتونات إلا أن طاقة الفوتونات لا تتغير طالما أن التردد ثابت، وبناءً على نظرية آينشتاين فإن كل فوتون يصطدم بإلكترون واحد ويعطيه طاقته، معنى آخر كل طاقة الفوتون تتنقل إلى الإلكترون، ونظراً لأن الإلكترون مرتبط مع النواة بقوة تجاذب فهو يحتاج إلى طاقة تمكنه من التحرر من سطح المعدن، تُسمى هذه الطاقة بدالة الشغل (W_0) وهي تختلف من مادة لأخرى كما هو

الوحدة الثالثة
الموجات الكهرومغناطيسية
Electromagnetic Waves

موضح في الجدول (٦-١)، و تُعرف على أنها: "أقل طاقة لفوتون تسمح بانبعاث إلكترون ضوئي من سطح فلز ما".

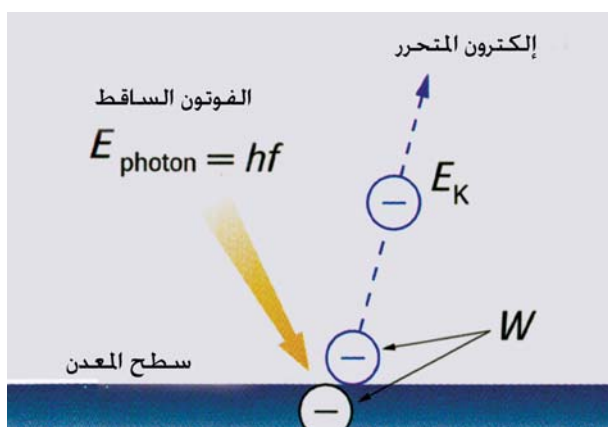
| نوع المادة | دالة التشغيل W_o/eV |
|------------|--------------------------|
| الصوديوم | 2.28 |
| الألومنيوم | 4.08 |
| النحاس | 4.7 |
| الزنك | 4.31 |
| الفضة | 4.73 |
| بلاطينيوم | 6.35 |
| الرصاص | 4.14 |
| الحديد | 4.5 |
| البوتاسيوم | 1.81 |

الجدول (٦-١) : دالة التشغيل لمعادن مختلفة

٢- إذا كان تردد الضوء الساقط قليل بحيث $W_o < hf$ فإن طاقة الفوتون ($E = hf$) لن تكون كافية لتحرير الإلكترون من سطح المعدن، أما إذا كان $W_o > hf$ فإن جزءاً من طاقة الفوتون يُستنفذ لتحرير الإلكترون

الضوئي من سطح الفلز (W_o) و الجزء الباقي يظهر على شكل طاقة حركة عظمى يكتسبها الإلكترون الضوئي عند خروجه من سطح المعدن (KE_{max}) ، كما هو موضح في الشكل (٦-٨).
أي أن :

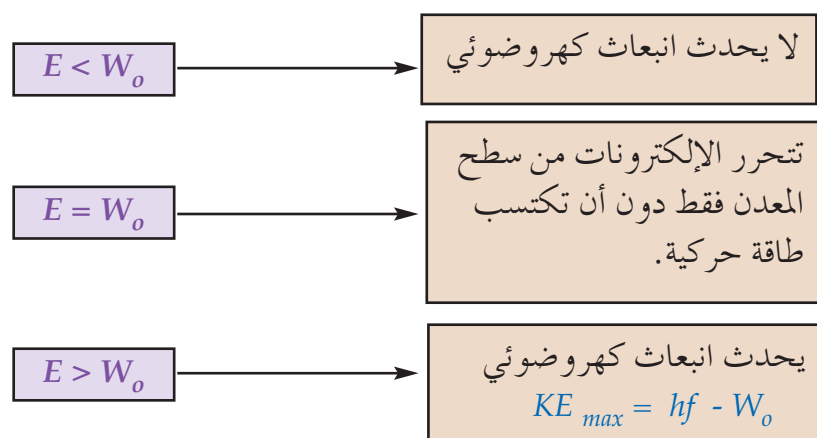
$$hf = KE_{max} + W_o \quad (٣-٦)$$



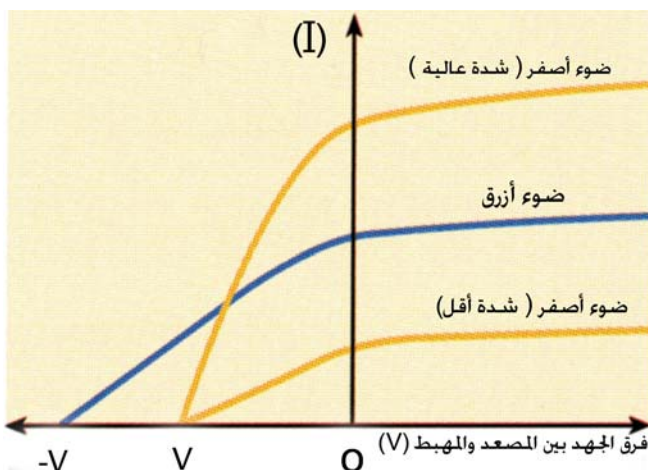
الشكل (٦-٨)

الوحدة الثالثة الموجات الكهرومغناطيسية *Electromagnetic Waves*

يوضح الشكل (٩-٦) العلاقة بين طاقة الفوتون و دالة الشغل.



الشكل (٩-٦)



الشكل (١٠-٦) : العلاقة بين شدة التيار و فرق الجهد بين المصعد والمهبط في الخلية الكهروضوئية

يتضح من الشكل (١٠-٦) أن شدة التيار المار في الدائرة تقل كلما قلت شدة الإضاءة لنفس الضوء، إلا أن جهد الإيقاف (V_o) يبقى ثابتاً لنفس معدن المهبط طالما أن التردد لم يتغير، حيث يعتمد جهد الإيقاف على تردد الضوء الساقط على سطح الفلز كما هو واضح من المعادلتين (٢-٦) و (٦-٣)، فكلما زاد تردد الضوء الساقط زاد جهد الإيقاف.

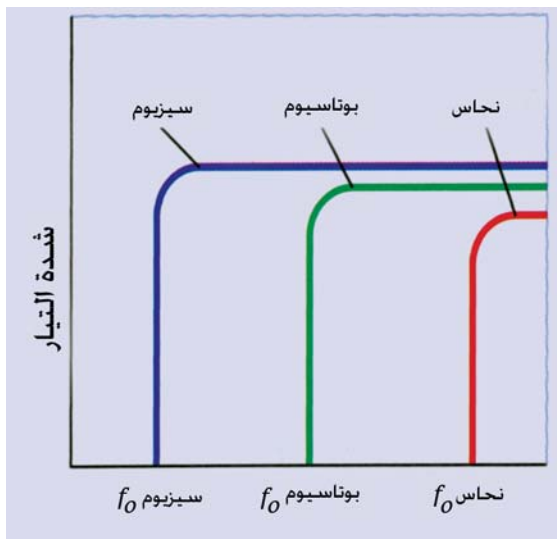
و يمكن تفسير ظاهرة التأثير الكهروضوئي حسب نظرية آينشتاين في النقاط التالية:

- بزيادة شدة الضوء الساقط تزداد عدد الفوتونات، وبالتالي تزداد عدد الإلكترونات الضوئية المبعثة، وبما أن طاقة الفوتون ثابتة ، إذاً طاقة الحركة العظمى للإلكترونات الضوئية المبعثة لا تتأثر بزيادة شدة الضوء.

الوحدة الثالثة

الموجات الكهرومغناطيسية

Electromagnetic Waves

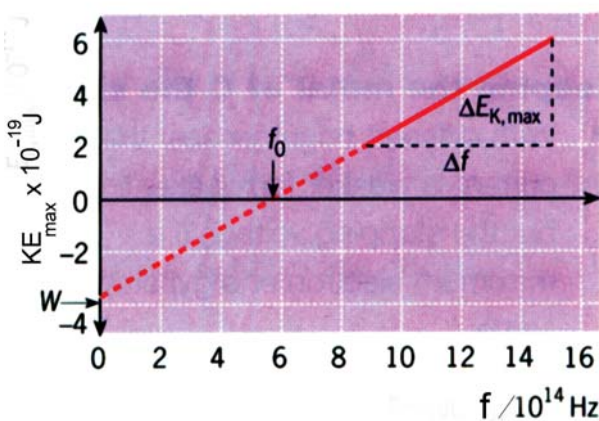


الشكل (١١-٦) : العلاقة بين شدة التيار و التردد في تجربة التأثير الكهروضوئي

٢- إذا كان تردد الضوء الساقط أقل من تردد معين يطلق عليه تردد العتبة (f_0) *threshold frequency* حيث $W_0 = hf_0$ لن يكون هناك انبعاث كهروضوئي مهما زادت شدة الضوء ويختلف تردد العتبة من معدن لآخر كما هو موضح في الشكل (١١-٦).

٣- إذا زاد تردد الضوء الساقط، تزداد طاقة الحركة العظمى للإلكترونات الضوئية المنبعثة نظرًا للتناسب الطردي بينهما، و الذي يتضح من المعادلة (٣-٦) و من الشكل (١٢-٦). وتمثل نقطة التقاطع مع محور السينات الموجب تردد العتبة f_0 ، بحيث إذا كان تردد الضوء الساقط يساوي تردد العتبة فإن الإلكترونات الضوئية لن تكتسب طاقة حركية و بالتالي ستكون متساوية للصفر.

٤- إذا تم تسليط ضوء بتردد مناسب على معدن ما، فإنه سيحدث انبعاث كهروضوئي مباشر دون تأخير و هذا ما أثبتته التجارب أيضًا.



الشكل (١٢-٦) : العلاقة بين طاقة الحركة العظمى للإلكترونات الضوئية و التردد

تحتفل هذه التفسيرات عن النظرية الموجية للضوء في تفسيرها لظاهرة التأثير الكهروضوئي، و في العامين ١٩١٣ و ١٩١٤ تم إجراء تجرب عمليّة دقيقة من قبل العالم ميليكان *Millikan* ، وكانت النتائج مطابقة لنظرية الفوتون لآينشتاين.

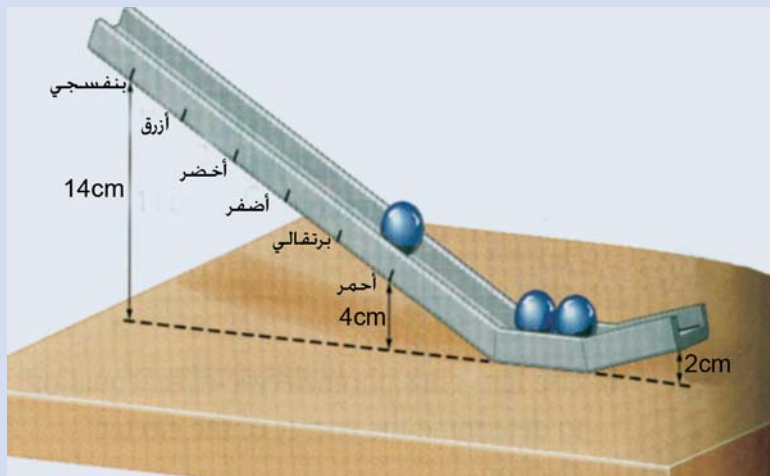
الوحدة الثالثة الموجات الكهرومغناطيسية *Electromagnetic Waves*

الاستكشاف (١) : انطلاق الكرة

سؤال علمي: ما سبب انبعاث إلكترونات من سطح معدن عند سقوط ضوء عليه؟

المواد والأدوات: مسار مقوس كما هو موضح في الشكل (١٣-٦)، كرات حديدية عدد (٣) أو كرات زجاجية، ورق لاصق بالألوان التالية: الأحمر، البرتقالي، الأصفر، الأخضر، الأزرق، البنفسجي.

الإجراءات:



الشكل (١٣-٦)

١- ضع المسار المقوس على سطح طاولة، كما هو موضح في الشكل (١٣-٦)، وفي حالة إذا كان المسار غير مقسم ، استخدم الورق اللاصق ذي اللون الأحمر وضع إشارة عند نقطة على المسار ترتفع مسافة 4 cm من على قاعدة المسار.

٣- استخدم ورقاً لاصقاً ذا اللون البنفسجي و وضع إشارة عند نقطة على المسار ترتفع مسافة 14 cm من على قاعدة المسار ، ثم ضع

إشارات للألوان المختلفة على المسار ما بين اللونين الأحمر والبنفسجي بشكل منتظم بحيث يفصل بينهما مسافة 2cm من قاعدة المسار ، كما هو موضح في الشكل (١٣-٦).

٤- ضع كرتين من الحديد أو من الزجاج على الجزء السفلي من المسار، كما هو موضح في الشكل (١٣-٦)، بحيث تمثل هذه الكرات إلكترونات المدار الأخير للذرة .

٤- امسك بكرة أخرى حديدية أو زجاجية عند الموضع المشار إليه باللون الأحمر على المسار. تمثل هذه الكرة فوتون الضوء الأحمر الذي يملك أقل طاقة مقارنة بالألوان المشار إليها على المسار.

٥- اترك الكرة تسقط ولا حظ ماذا يحدث للكرتين في أسفل المسار.

٦- كرر الخطوات (٤-٦) لكل لون مشار إليه على المسار.

الوحدة الثالثة
الموجات الكهرومغناطيسية
Electromagnetic Waves

- التحليل و التفسير:**
- ١- عند أي لون استطاعت الكرة المنزقة من إخراج الكرات من أسفل المسار؟
 - ٢- هل هناك ارتفاع معين استطاعت عنده الكرة المنزقة من إخراج الكرتين معاً من المسار؟
 - ٣- فسر ما لاحظته في ضوء نظرية الفوتون لآنิشتاين .

مثال (٢):

سقوط ضوء بتردد $1 \times 10^{15} \text{ Hz}$ على سطح معدن الصوديوم، فوجد أن الإلكترونات الضوئية المبعثة تمتلك طاقة حركة عظمى مقدارها 1.78 eV . احسب تردد العتبة لهذا المعدن.

الحل:

لابد من حساب طاقة الحركة العظمى للإلكترونات الضوئية المبعثة من المعادلة

$$KE_{max} = e V_o$$

$$KE_{max} = (1.78) (1.6 \times 10^{-19}) = 2.85 \times 10^{-19} \text{ J}$$

ترتبط طاقة الحركة العظمى بتردد العتبة من خلال المعادلة:

$$KE_{max} = hf - hf_o$$

$$\therefore f_o = \frac{hf - KE_{max}}{h}$$

$$= \frac{(6.63 \times 10^{-34})(1 \times 10^{15}) - (2.85 \times 10^{-19})}{6.63 \times 10^{-34}}$$

$$f_o = 5.7 \times 10^{14} \text{ Hz}$$

الوحدة الثالثة الموجات الكهرومغناطيسية *Electromagnetic Waves*

مثال (٣):

سقط ضوء بطول موجي يساوي 410 nm ، ثم سقط ضوء آخر بطول موجي 550 nm .

احسب:

أ) طاقة الحركة العظمى و السرعة القصوى للإلكترونات الضوئية المنبعثة.

ب) جهد الإيقاف V_0 .

علمًا بأن دالة الشغل للمعدن تساوي 2.28 eV .

الحل:

أ) عندما تكون $\lambda = 410 \text{ nm}$

بحسب طاقة الفوتون من المعادلة:

$$hf = \frac{hc}{\lambda} = \frac{(6.63 \times 10^{-34})(3 \times 10^8)}{410 \times 10^{-9}} = 4.85 \times 10^{-19} \text{ J} = 3.03 \text{ eV}$$

ترتبط طاقة الفوتون بطاقة الحركة العظمى للإلكترونات الضوئية من المعادلة:

$$\begin{aligned} KE_{max} &= hf - W_0 \\ &= 3.03 - 2.28 = 0.75 \text{ eV} \end{aligned}$$

$$KE_{max} = (0.75) \times (1.6 \times 10^{-19}) = 1.2 \times 10^{-19} \text{ J}$$

$$KE_{max} = \frac{1}{2} mv^2$$

$$\therefore v_{max} = \sqrt{\frac{2KE_{max}}{m}} = \sqrt{\frac{2(1.2 \times 10^{-19})}{9.1 \times 10^{-31}}} = 5.1 \times 10^5 \text{ m/s}$$

عندما تكون $\lambda = 550 \text{ nm}$

$$hf = \frac{hc}{\lambda} = \frac{(6.63 \times 10^{-34})(3 \times 10^8)}{550 \times 10^{-9}} = 3.61 \times 10^{-19} \text{ J} = 2.26 \text{ eV}$$

الوحدة الثالثة
الموجات الكهرومغناطيسية
Electromagnetic Waves

بما أن طاقة الفوتون الساقط أقل من دالة الشغل، إذاً لا يحدث انبعاث كهروضوئي.

$$KE_{max} = eV_o \quad (b)$$

$$\therefore V_o = \frac{KE_{max}}{e} = \frac{1.2 \times 10^{-19}}{1.6 \times 10^{-19}} = 0.75 \text{ V}$$

اختبار فهمك (٢):

- ١- باستخدام الشكل (١١-٦) و الجدول (١-٦):
 أ) حدد نوع المعدن المستخدم في التجربة.
 ب) احسب ثابت بلانك.
- ٢- مستعيناً بالمعادلتين (٦-٤) و (٦-٢) أثبت أن $V_o = \left(\frac{h}{e}\right)f - \frac{W_o}{e}$
- ٣- كلما زادت درجة حرارة الجسم المتوهج يتغير اللون الصادر منه من الأحمر إلى البرتقالي إلى الأصفر وأخيراً إلى اللون الأبيض. فسر ذلك في ضوء نظرية الكم.



الوحدة الثالثة الموجات الكهرومغناطيسية Electromagnetic Waves

٤-٦

تطبيقات عملية لظاهرة التأثير الكهروضوئي Applications for photoelectric effect

كثير من الأجهزة العملية في حياتنا اليومية تعتمد على التأثير الكهروضوئي، و تعتبر الوصلة الثنائية الضوئية **photodiode** إحدى مكونات هذه الأجهزة التي تتأثر بالظاهرة الكهروضوئية، حيث إن امتصاص الفوتونات يؤدي إلى انبعاث الكترونات، وبالتالي تغير قدرة الوصلة الثنائية الضوئية على التوصيل. من هذه الأجهزة منبه لإذار السرقة و بوابات المراقبة و البوابات الإلكترونية . عندما يتم اعتراض الضوء المسلط على الوصلة الثنائية الضوئية، فإن النقص المفاجئ في قيمة التيار يؤدي إلى حد المفتاح الكهربائي لكي يعمل؛ مما ينتج عنه إطلاق صوت الإنذار في منبه لإذار السرقة و يؤدي إلى فتح البوابات الإلكترونية. وتستخدم أحياناً الأشعة تحت الحمراء، وذلك لأنها غير مرئية للعين المجردة، كذلك فإن بعض أجهزة التحكم عن بعد لجهازي التلفاز والفيديو تعمل بنفس الطريقة.

بالإضافة إلى الأجهزة السابقة، فإن جهاز كاشف الدخان يعتمد أيضاً على الظاهرة الكهروضوئية، حيث تعمل دقائق الدخان على اعتراض الضوء وبالتالي تقل شدة التيار الكهربائي و ينتج عنه إطلاق صوت الإنذار. و تعمل الخلايا الضوئية في الكاميرا على قياس مستوى الضوء و وبالتالي التحكم في اتساع فتحة الكاميرا. كما تُستخدم الخلايا الضوئية في مصابيح الإنارة في الطرق.

لمزيد من المعلومات عن التأثير الكهروضوئي، قم بزيارة المواقع الآتية على الشبكة العالمية للاتصالات الدولية:

http://www.hazemsakeek.com/physics_leacture/modernphysics/modernphysics_leacture_3.htm

http://en.wikipedia.org/wiki/photoelectric_effect.

الوحدة الثالثة

الموجات الكهرومغناطيسية

Electromagnetic Waves

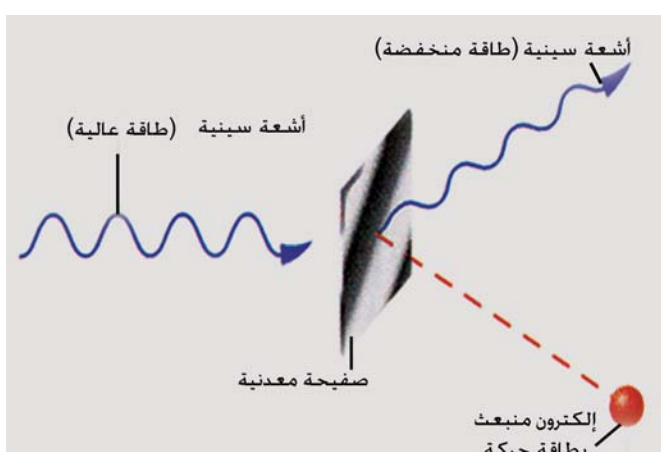
٥-٦

تأثير كومبتون Compton Effect

في عام ١٩٢٣ م قام العالم الأمريكي كومبتون A.H Compton (١٨٩٢ م - ١٩٦٢ م) بتسليط فوتونات للأشعة السينية ذات طاقة عالية على صفيحة من المعدن، و كما هو متوقع حسب التأثير الكهروضوئي فقد لاحظ كومبتون انبعاث إلكترونات من سطح المعدن، إلا أنه اكتشف أيضاً انبعاث فوتونات للأشعة السينية ذات طاقة أقل وبالتالي ذات تردد أقل من فوتونات الأشعة السينية الساقطة على صفيحة المعدن في البداية. بالإضافة إلى ذلك، فقد لاحظ كومبتون أن الإلكترونات انبعثت بزاوية مع فوتونات الأشعة السينية ذات الطاقة الأقل.

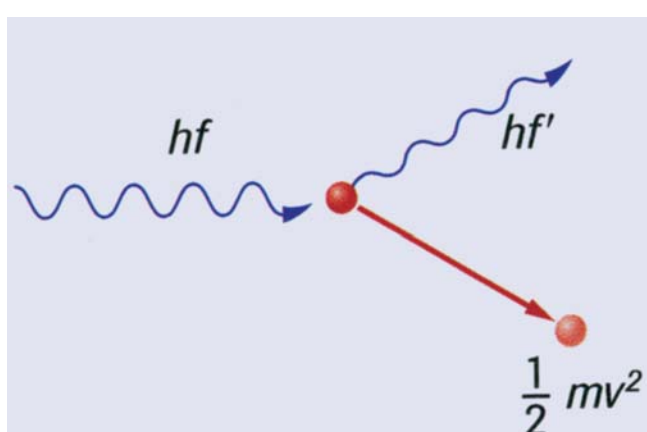
سميت ظاهرة انبعاث فوتونات للأشعة السينية ذات طاقة أقل عن طريق قذف صفيحة من المعدن بفوتوны الأشعة السينية ذات طاقة عالية بـ "تأثير كومبتون" ، كما هو موضح في الشكل (١٤-٦).

لم يستطع كومبتون تفسير ما لاحظه باستخدام النظرية الموجية التي تفترض أن الطول الموجي للموجات المنبعثة أو المبعثرة بزاوية ما يساوي الطول الموجي للموجات الساقطة، وبالتالي لا يمكن للموجات



الشكل (١٤-٦) : تأثير كومبتون

الساقطة أن تفقد مقداراً من الطاقة باعتبار أنه ليس لها كتلة. لذا افترض كومبتون أن الفوتونات يمكن أن تسلك سلوك الجسيمات وتدخل في تصادمات مرنّة مع الإلكترونات، حيث إن الفوتونات الساقطة على معدن معين تصطدم مع الإلكترونات التي تكون في حالة سكون قبل التصادم، وينتقل جزء من طاقة الفوتون الساقط وكمية تحركه إلى الإلكترون الذي ينبعث بزاوية، أما الجزء المتبقى من طاقة الفوتون الساقط فينتقل إلى الفوتون المنبعث الذي سيمتلك وبالتالي طاقة أقل من الفوتون الساقط.



الشكل (١٥-٦)

الوحدة الثالثة الموجات الكهرومغناطيسية *Electromagnetic Waves*

وبناءً على هذا الافتراض يمكن تطبيق قانون حفظ الطاقة على التصادم المرن كالتالي كما يوضحه الشكل (١٥-٦) :

$$E_{x-ray_i} = E_{x-ray_f} + E_{electron}$$

$$hf_i = hf_f + \frac{1}{2} mv^2$$

حيث:

الطاقة الابتدائية لفوتون الأشعة السينية الساقط (E_{x-ray_i}) قبل التصادم).

الطاقة النهاية لفوتون الأشعة السينية المنبعث (E_{x-ray_f}) بعد التصادم).

تردد الفوتون الساقط للأشعة السينية.

تردد الفوتون المنبعث للأشعة السينية بعد التصادم.

طاقة حركة الإلكترون المنبعث بعد التصادم.

بالإضافة إلى الطاقة فإن كمية التحرك \vec{p} أيضاً محفوظة في التصادم المرن، أي أن:

$$\vec{P}_{x-ray_i} = \vec{P}_{x-ray_f} + \vec{P}_{electron}$$

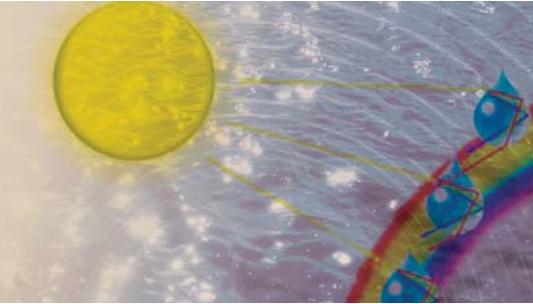
ولكن حتى يتحقق قانون حفظ كمية التحرك لابد أن يكون للفوتون كتلة، فكيف يمكن للفوتون الذي يحمل طاقة أن تكون له كتلة؟ استخدم كومبتون نظرية آينشتاين لتكافؤ الكتلة و الطاقة (ستدرس هذه النظرية في الوحدة الرابعة)، وطبق معادلة آينشتاين و هي :

$$E = mc^2 \\ \therefore m = \frac{E}{c^2} \quad (1)$$

الوحدة الثالثة

الموجات الكهرومغناطيسية

Electromagnetic Waves



معلومة تهمك

في تأثير كومبتون طاقة فوتونات الأشعة السينية الساقطة عالية جدًا وتبليغ $10^4 \text{ eV} \times 5$ مقارنة بدالة الشغل للمعدن المستخدم التي هي أقل من 10 eV ، لذا فإن دالة الشغل لا تؤخذ بعين الاعتبار عند تطبيق قانون حفظ الطاقة في التصادم المركب بين الفوتونات الساقطة والإلكترونات.

حيث C^2 هي سرعة الضوء.

كمية التحرك تُعطى بالعلاقة

$$\vec{P} = \vec{mv} \quad (2)$$

بالت遇ويض عن قيمة m من المعادلة (1) في المعادلة (2)

$$\vec{P} = \left(\frac{E}{c^2} \right) \vec{v}$$

بالت遇ويض عن قيمة الطاقة من نظرية بلانك نحصل على

$$\vec{P} = \left(\frac{hf}{c^2} \right) \vec{v}$$

$$\vec{P} = \left(\frac{hc}{\lambda c^2} \right) \vec{v} \quad (3)$$

يمكن التعويض عن v بسرعة الضوء (c) ؛ لأن الفوتونات عبارة عن أمواج كهرومغناطيسية تتحرك بسرعة الضوء. إذاً قيمة كمية التحرك للفوتون من المعادلة (3) تساوي :

$$\vec{P} = \frac{h}{\lambda} \quad (4-6)$$

حيث: h ثابت بلانك .

λ الطول الموجي المرافق للفوتون .

أثبتت تجارب كومبتون صحة نظرية آينشتاين في تفسير التأثير الكهروضوئي، بالإضافة أنه وضح أن الفوتون يدخل في تصادمات مع الجسيمات و يتبدل الطاقة مع تلك الجسيمات بناءً على قانون حفظ الطاقة، وبهذا فهو دعم فكرة أن للضوء طبيعة موجية و جسيمية، فهو يتملك طاقة بالإضافة إلى أنه يتملك كمية تحرّك، وقد حصل كومبتون على جائزة نوبل لاكتشافه عام ١٩٢٧ م.

الوحدة الثالثة الموجات الكهرومغناطيسية *Electromagnetic Waves*

مثال (٤):

فوتون للأشعة السينية طاقته تساوي $eV = 25$ اصطدم مع إلكترون على سطح معدن ما.
احسب قيمة كمية التحرك للفوتون الساقط.

الحل:

قيمة كمية التحرك للفوتون تساوي

$$P = \frac{h}{\lambda}$$

$$\lambda = \frac{hc}{E} \quad \text{بالت遇وض عن قيمة } \lambda \text{ من معادلة بلانك:}$$

$$\therefore p = \frac{hE}{hc} = \frac{E}{c}$$

$$p = \frac{(25) \times (1.6 \times 10^{-19})}{3 \times 10^8}$$

$$p = 1.3 \times 10^{-26} \text{ N.s}$$

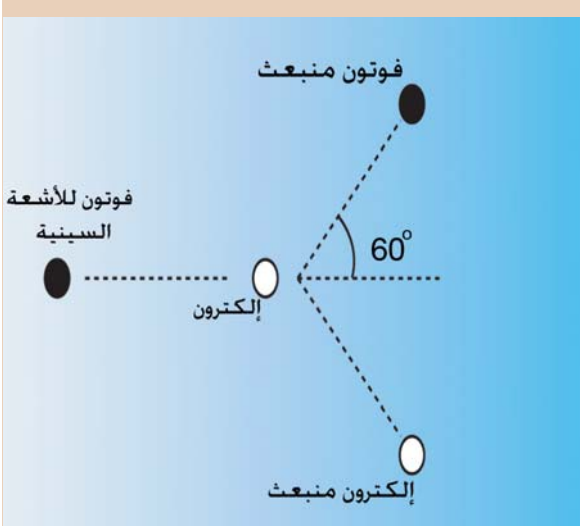
Treatments of Photons with Matter

من دراستنا للتأثير الكهروضوئي و لتأثير كومبتون، نلاحظ أنه عند سقوط الفوتونات على سطح معدن من الممكن حدوث أحد الاحتمالات التالية:

- ١- يمكن للفوتون أن يحرر إلكترون ويكتسبه طاقة حركة كما في التأثير الكهروضوئي، حيث يتم امتصاص الفوتون في هذه الحالة.
- ٢- يحرر الفوتون إلكتروناً من سطح المعدن كما في تأثير كومبتون، إلا أن الفوتون يستمر في الحركة بعد التصادم بسرعة الضوء ولكن بطاقة أقل و بكمية تحرك أقل و بالتالي يكون تردد أقل.
- ٣- يمكن للفوتون أن يتفاعل مع كل ذرة من ذرات المادة على حدة ، بحيث يمكن أن يختفي الفوتون تماماً، وستدرس هذا النوع من التفاعل في الفصل السابع.

الوحدة الثالثة
الموجات الكهرومغناطيسية
Electromagnetic Waves

اختبار فهمك (٣):



١- أي الكميات الآتية تردد للفوتونات المنبعثة بعد عملية التصادم مع الإلكترونات؟ :

- أ) التردد ب) الطول الموجي ج) الطاقة

٢- فوتون للأشعة السينية يحمل طاقة مقدارها 85 eV اصطدم مع إلكترون على سطح معدن ما. فانبعثت فوتونات بزاوية 60° مع خط التصادم بطول موجي مقداره 214 nm . احسب:

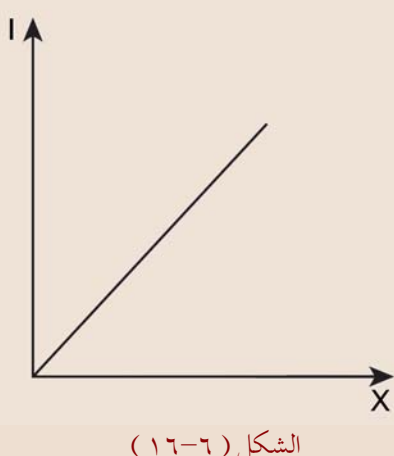
- أ) كمية التحرك للفوتون الساقط.
ب) كمية التحرك للفوتون المنبعث بعد التصادم.
ج) طاقة حركة الإلكترون.
د) سرعة الإلكترون.

الوحدة الثالثة
الموجات الكهرومغناطيسية
Electromagnetic Waves

أسئلة الفصل

السؤال الأول: اختر الإجابة الصحيحة من بين البدائل المطروحة:

- ١- أي من الملاحظات العملية الآتية لظاهرة التأثير الكهروضوئي تؤدي إلى فكرة تكميم الطاقة؟
- أ) كلما زادت شدة الإضاءة تزداد عدد الإلكترونات الضوئية المنبعثة.
 - ب) تبعثر الإلكترونات من سطح الفلز عندما يسلط عليه ضوء مناسب.
 - ج) عندما تحدث ظاهرة التأثير الكهروضوئي، فإن الفلز يصبح موجب الشحنة.
 - د) تعتمد طاقة حركة الإلكترونات الضوئية على تردد الضوء الساقط وليس على شدته.
- ٢- يوضح الشكل (١٦-٦) العلاقة بين شدة التيار و أحد المتغيرات ولتكن (x) في خلية كهروضوئية.
- المتغير (x) هو:



- أ) شدة الإضاءة
- ب) فرق الجهد (V)
- ج) تردد (f)
- د) دالة الشغل (W_o)

- ٣) يمكن زيادة طاقة الحركة العظمى للإلكترونات الضوئية المنبعثة من سطح فلز في ظاهرة التأثير الكهروضوئي عن طريق استخدام:
- أ) ضوء بشدة قليلة.
 - ب) معدن ذي دالة شغل أقل.
 - ج) ضوء بشدة أكبر.
 - د) معدن ذي دالة شغل أكبر.

الوحدة الثالثة
الموجات الكهرومغناطيسية
Electromagnetic Waves

٤- إذا كانت دالة الشغل لمعدن ما تساوي 2.4 eV ، فإن هذا يعني أن:

- أ) طاقة الحركة العظمى للإلكترونات الضوئية المتحررة من سطح المعدن تساوى 2.4 eV .
- ب) أقل طاقة تحتاجها الإلكترونات الضوئية لكي تتحرر من سطح المعدن تساوى 2.4 eV .
- ج) أقل فرق في الجهد الكهربائي لمنع الإلكترونات الضوئية من التحرر من سطح المعدن يساوى 2.4 eV .
- د) أقل فرق في الجهد الكهربائي تحتاجها الإلكترونات الضوئية لكي تكتسب طاقة حركة يساوى 2.4 eV .

٥- أي العبارات الآتية صحيحة عن ظاهرة التأثير الكهروضوئي؟

- أ) لا يحدث انبعاث كهروضوئي إذا كانت شدة الإضاءة ضعيفة.
- ب) عدد الإلكترونات الضوئية المبعثة لا تعتمد على شدة إضاءة الضوء الساقط.
- ج) تقل طاقة الحركة العظمى للإلكترونات الضوئية المبعثة بزيادة تردد الضوء الساقط.
- د) كلما كان الطول الموجي للضوء الساقط أقل زادت السرعة القصوى للإلكترونات الضوئية المبعثة.

٦- في تأثير كومبتون، تردد الفوتونات المبعثة بعد التصادم مقارنة بتردد الفوتونات الساقطة يكون:

- أ) أقل
- ب) أكبر
- ج) مساواً
- د) الفوتونات المبعثة ليس لها تردد.

٧- كلما زاد الطول الموجي للفوتون فإن كمية تحركه:

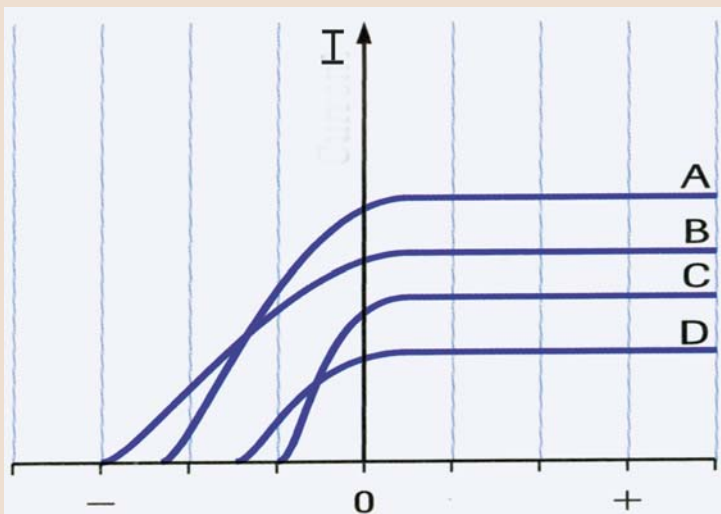
- أ) تبقى ثابتة
- ب) تزداد
- ج) تقل
- د) تعتمد على شدة الإضاءة.

٨- طبقاً للنظرية الموجية، فإن إحدى الخصائص الآتية للفوتون تحدد الفترة الزمنية الازمة لانبعاث الإلكترونات الضوئية من سطح المعدن في ظاهرة التأثير الكهروضوئي:

- أ) التردد
- ب) الطاقة
- ج) شدة الإضاءة
- د) الطول الموجي.

الوحدة الثالثة الموجات الكهرومغناطيسية *Electromagnetic Waves*

استخدم الشكل (١٧-٦) للإجابة عن الأسئلة (١١-٩).
 يوضح الشكل (١٧-٦) نتائج تجربة التأثير الكهروضوئي، حيث يبيّن المحنى العلاقة بين شدة التيار الكهربائي وفرق الجهد بين المصعد والمبهظ في خلية كهروضوئية عندما تسقط أربعة أنواع من الأشعة الضوئية بأطوال موجية مختلفة على سطح الفلز في الخلية.



الشكل (١٧-٦)

٩- أي من الإشعاعات الضوئية لها أكبر تردد؟

- A (أ) B (ب) C (ج) D (د)

١٠- أي من الإشعاعات الضوئية تملك أطول طول موجي؟

- A (أ) B (ب) C (ج) D (د)

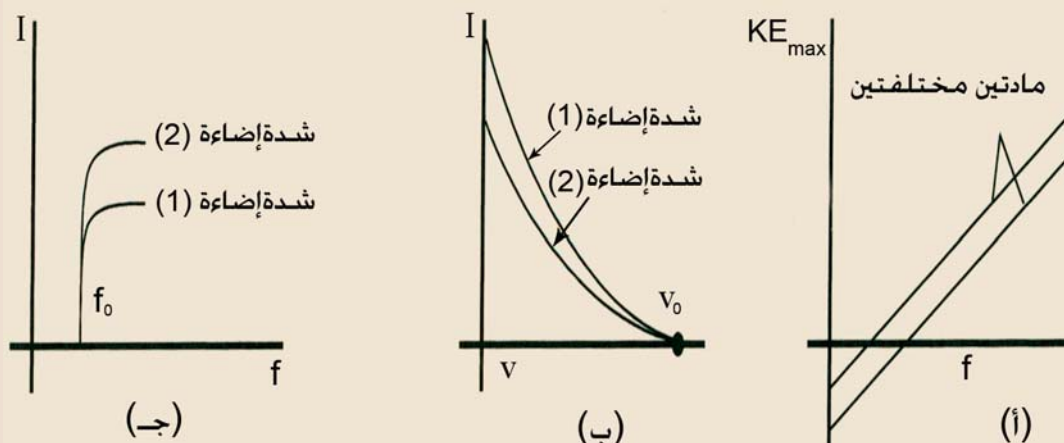
١١- الإشعاع الذي له أكبر كمية تحرك هو:

- A (أ) B (ب) C (ج) D (د)

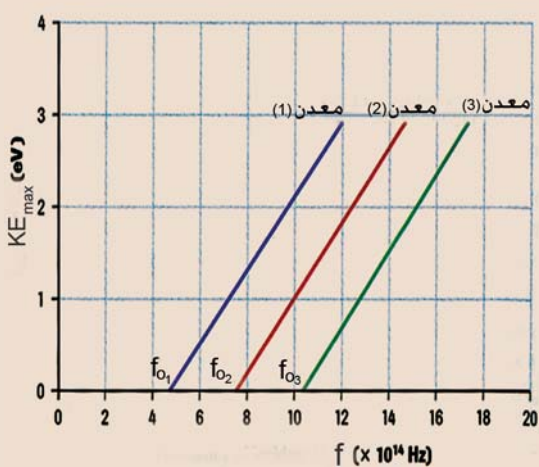
الوحدة الثالثة
الموجات الكهرومغناطيسية
Electromagnetic Waves

السؤال الثاني: أجب عن الأسئلة الآتية:

- ١- إذا تم ملاحظة ظاهرة التأثير الكهروضوئي على أحد المعادن باستخدام ضوء بطول موجي معين، هل يمكن الاستنتاج أنه يمكن ملاحظة نفس التأثير على معدن آخر باستخدام نفس الضوء؟ فسر اجابتك.
- ٢- هل تتوقع أن يكون هناك أي تأثير لدرجة الحرارة على ظاهرة التأثير الكهروضوئي؟
- ٣- أثبت أن وحدة قياس $\frac{h}{\lambda}$ هي وحدة قياس كمية التحرك (N.s).
- ٤- فسر المنحنيات الآتية:



الشكل (١٨-٦)



الشكل (١٩-٦)

- ٥- علل لما يأتي:
 - أ) بالرغم من أن تردد العتبة يختلف من معدن لآخر، إلا أن جميع العلاقات البيانية في الشكل (١٩-٦) ميلها متساو.
 - ب) لم تستطع النظرية الموجية تفسير سبب حدوث انبعاث كهروضوئي مباشر. مجرد سقوط ضوء مناسب على سطح الفلز.

الوحدة الثالثة الموجات الكهرومغناطيسية *Electromagnetic Waves*

ج) بالرغم من أن الضوء يؤثر على أفلام الكاميرا الحساسة، إلا أن المصور يستخدم الضوء الأحمر في غرفة تحميض الأفلام.

٦- بالرجوع إلى الجدول (٦-١)، أيهما يحتاج إلى طاقة أكبر لتحرير الإلكترونات الضوئية: الصوديوم أم النحاس؟

السؤال الثالث: أجب عن الأسئلة الآتية:

١- سقط فوتون بطول موجي مقداره 632 nm على معدن دالة الشغل له يساوي 2.3 eV .
أ) هل ستحدث ظاهرة التأثير الكهروضوئي للمعدن؟ أعط تبريراً لإجابتكم.

ب) إذا كانت الإجابة (لا) في (أ)، فكم مقدار الطول الموجي اللازم لكي تحدث ظاهرة التأثير الكهروضوئي؟

٢- يوضح الجدول (٦-٢) قيمتي التردد وجهد الإيقاف.

| جهد الإيقاف (V/V_o) | التردد ($\text{Hz}/(f)$) |
|-------------------------|----------------------------|
| 0.7 | 7.2×10^{14} |
| 0.95 | 7.7×10^{14} |
| 1.1 | 8.05×10^{14} |
| 2.0 | 10.4×10^{14} |
| 2.85 | 12.5×10^{14} |

(الجدول (٦-٢))

أ) ارسم العلاقة للبيانات الموضحة في الجدول على ورقة رسم بياني.

ب) استخدم المعادلة $V_o = \frac{h}{e}f - \left(\frac{W_o}{e}\right)$ لإيجاد قيمة ثابت بلانك (h) و دالة الشغل (W_o) من الرسم البياني.

الوحدة الثالثة
الموجات الكهرومغناطيسية
Electromagnetic Waves

ج) إذا زادت قيمة دالة الشغل بمقدار 1.5 مرة عن القيمة التي قمت بإيجادها في (أ)، هل سيؤثر ذلك على ميل المنحنى؟

د) باستخدام المعادلة الموضحة في (ب)، احسب طاقة الحركة العظمى للإلكترونات الضوئية المنبعثة إذا سقط فوتون على معدن ما بطول موجي مقداره 230 nm .

٣- احسب أقل تردد للضوء الساقط على معدن دالة الشغل له تساوي $J = 10^{19} \times 7.2$ حتى تحدث ظاهرة التأثير الكهروضوئي.

٤- ما مقدار كمية التحرك لفوتون طاقته تساوي $10^2 eV \times 1.5$ ؟

٥- انبعثت اشعاعات من جسم إنسان بطول موجي مقداره $940 \mu m$.

أ) كم يساوي تردد هذا الإشعاع؟

ب) ما نوع الموجات الكهرومغناطيسية المنبعثة؟

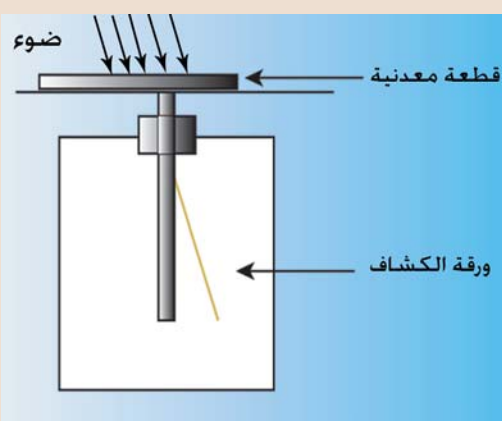
ج) ما مقدار الطاقة التي تحملها كمة واحدة من هذا الإشعاع بوحدة eV ؟

٦- في خلية كهروضوئية عندما أصبحت قيمة جهد المصعد 2.5 V - بالنسبة للمهبط، أصبح التيار المار فيها مساوياً للصفر. إذا كانت طاقة كل فوتون يصطدم بالمهبط يساوي 3.75 eV .

أ) ما قيمة دالة الشغل لمعدن المهبط؟

ب) هل يمكن لفوتون تردد $10^{14} Hz \times 5$ أن يحرر إلكترونات من سطح المهبط؟ و لماذا؟

٧- تم تسلیط شعاعين ضوئيين أحدهما أحمر اللون والآخر بنفسجي على قطعة من المعدن موضوعة فوق قرص كشاف كهربائي، كما هو موضح في الشكل (٢٠-٦)، ولوحظ تأثير هذين الشعاعين على ورقتي الكشاف عند شحنه بشحنة موجبة ثم شحنه بشحنة سالبة، ويوضح الجدول أدناه نتائج التجربة.

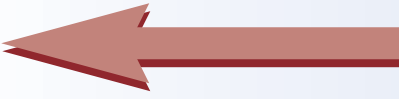


الشكل (٢٠-٦)

الوحدة الثالثة
الموجات الكهرومغناطيسية
Electromagnetic Waves

| نوع الشعاع الضوئي | شحنة الكشاف الكهربائي | التأثير على ورقي الكشاف |
|-------------------|-----------------------|-------------------------|
| الأحمر | موجبة | لا يوجد تأثير |
| الأحمر | سالبة | لا يوجد تأثير |
| البنفسجي | موجبة | يزداد انفراج الورقتين |
| البنفسجي | سالبة | يقل انفراج الورقتين |

- أ) اشرح النتائج الموضحة في الجدول.
- ب) إذا كان الطول الموجي للضوء البنفسجي يساوي 400 nm ، احسب دالة الشغل لهذا المعدن.
- ج) إذا زادت شدة إضاءة اللون الأحمر، هل سيؤثر ذلك على النتائج في الجدول أعلاه؟ فسر إجابتك.
- د) إذا زادت شدة إضاءة اللون البنفسجي، اشرح التغير الذي يمكن ملاحظته على النتائج في الجدول أعلاه.



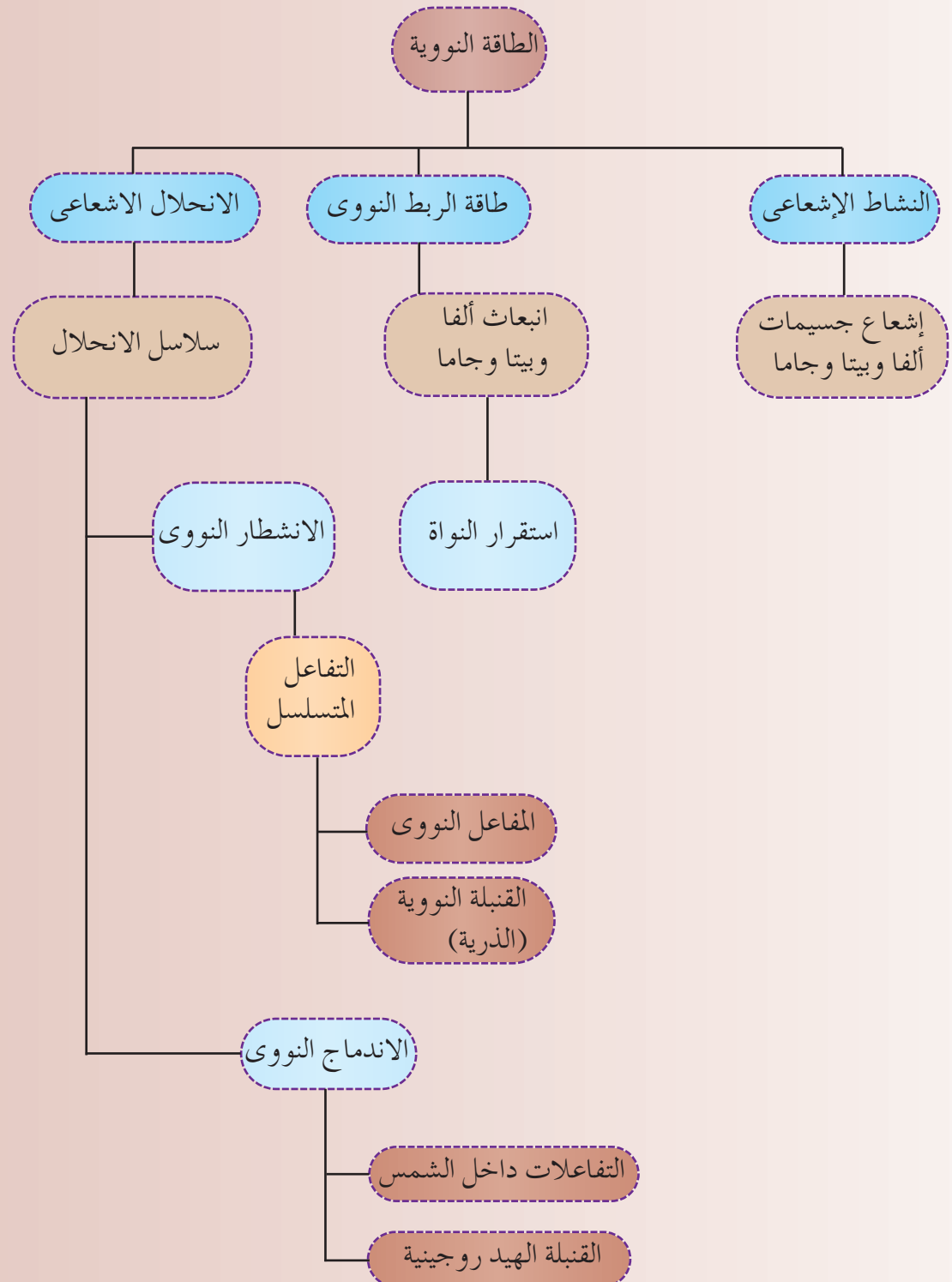
خارطة مفاهيم

الفصل الثامن



الوحدة الرابعة الفيزياء الذرية

Atomic Physics



الفصل الثامن الطاقة النووية

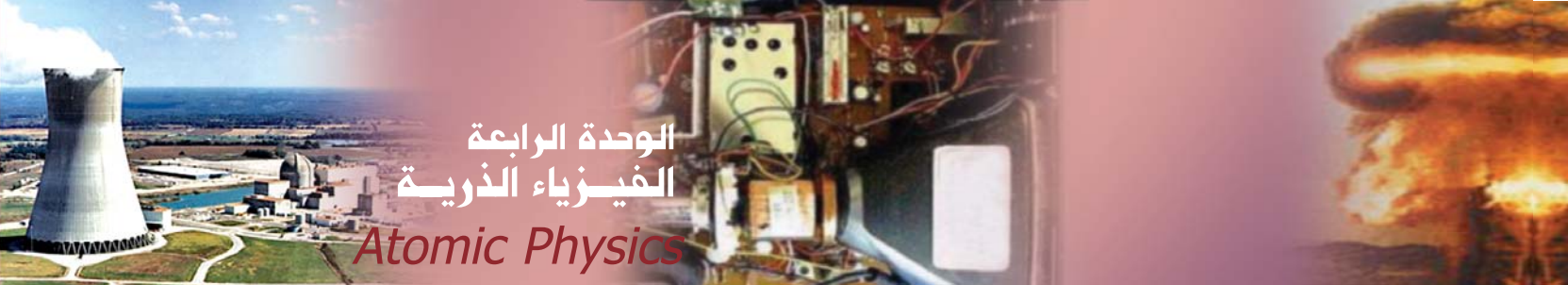
Nuclear Energy

مقدمة

تهتم الفيزياء النووية بدراسة نواة الذرة من حيث سبر الجسيمات الأولية في قلب النواة وتفاعلها فيما بينها، بالإضافة إلى تفسير خصائص النواة. ويعتبر عام ١٨٩٦ م فاصلاً تاريخياً في حياة البشرية حيث تم اكتشاف النشاط الإشعاعي من قبل العالم الفرنسي هنري بيكرييل *Henri Becquerel* (١٨٥٢ م - ١٩٠٨ م)، ثم توالت بعد ذلك الأبحاث والنظريات التي ركزت على خصائص النواة والطاقة الناتجة عنها.

وفي دراستنا للطاقة النووية سوف نتعرض في هذا الفصل إلى طاقة الربط النووي بين مكونات النواة، كذلك ستُعرف على الطاقة المتحررة نتيجة الانشطار والاندماج النوويين ، كما سنستعرض التفاعل المتسلسل وكيفية الاستفادة منه واستخدامه في إنتاج طاقة المفاعلات النووية ، ونتعرف على الانشطار والاندماج النوويين. في نهاية الفصل سيخرج بمعرفة تامة عن الطاقة النووية.





الوحدة الرابعة الفيزياء الذرية *Atomic Physics*

الموضوعات الرئيسية

- | | |
|----------------------|---|
| ٦-٨ الانشطار النووي | ١-٨ النشاط الإشعاعي |
| ٧-٨ التفاعل المتسلسل | ٢-٨ طاقة الربط النووي |
| ٨-٨ المفاعل النووي | ٣-٨ استقرار النواة وإشعاع جسيمات ألفا وبيتا |
| ٩-٨ الاندماج النووي | ٤-٨ الانحلال الإشعاعي وعمر النصف |
| | ٥-٨ سلاسل الانحلال |

المصطلحات العلمية الجديدة



عناوين الاستكشافات

الاستكشاف (١) : تناقص نشاطية المواد المشعة عبر الزمن.

الاستكشاف (٢) : تفاعل سلسلة قطع الدومنة.

- | | |
|---------------------------------|-----------------------------|
| <i>Nuclear Force</i> | – القوى النووية |
| <i>Half life</i> | – عمر النصف |
| <i>Radioactivity</i> | – النشاط الإشعاعي |
| <i>Isotopes</i> | – النظائر |
| <i>Natural Radioactivity</i> | – النشاط الإشعاعي الطبيعي |
| <i>Artificial Radioactivity</i> | – النشاط الإشعاعي الاصطناعي |
| <i>Nuclear Binding Energy</i> | – طاقة الربط النووي |
| <i>Atomic Mass Unit</i> | – وحدة الكتل الذرية |
| <i>Radioactive decay</i> | – الانحلال الإشعاعي |
| <i>Decay Constant</i> | – ثابت الانحلال |
| <i>Nuclear Fission</i> | – الانشطار النووي |
| <i>Chain Reaction</i> | – التفاعل المتسلسل |
| <i>Nuclear Fusion</i> | – الاندماج النووي |

النشاط الإشعاعي *Radioactivity*

كانت بداية الفيزياء النووية عام ١٨٩٦ م. ففي تلك السنة وجد العالم هنري بكريل بالصدفة أن بعض المعادن (التي تحتوي على اليورانيوم) من شأنها أن تؤثر على لوح التصوير الفوتوغرافي حتى عندما تكون مغلفة بغاز عازل للضوء. واستنتج من ذلك أن بعض المعادن تبعث ذاتياً نوعاً جديداً من الإشعاع وأطلق على هذه الظاهرة النشاط الإشعاعي

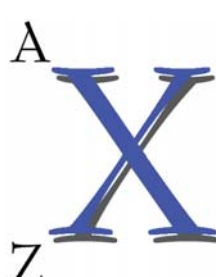
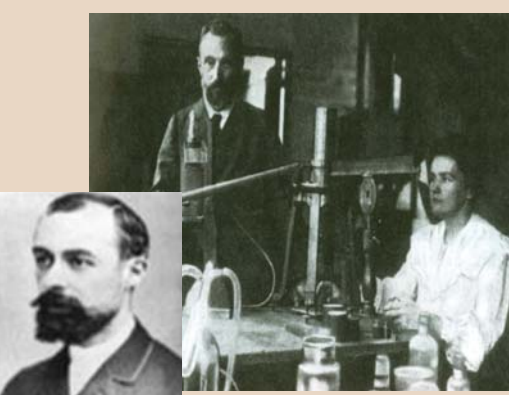
. radioactivity

معلومات تهمك

تقاسم كلّاً من بيكريل وبير وماري كوري جائزة نوبل للفيزياء عام ١٩٣٣ م لعزلهم عنصر الراديوم. وقد ماتت كوري متأثرة بداء سرطان الدم وربما يرجع ذلك ل تعرضها المفرط للإشعاع.

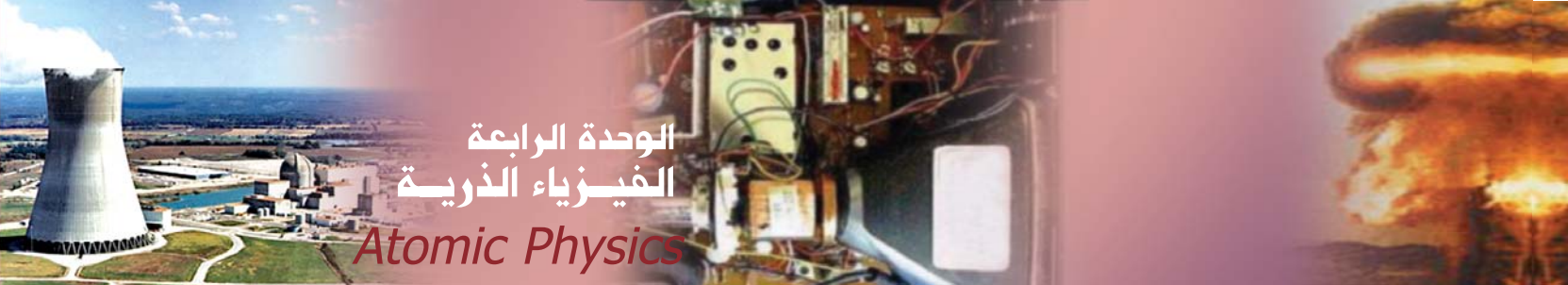
وبعد فترة وجيزة من اكتشاف بكريل، تمكنت ماري كوري (١٨٦٧ م - ١٩٣٤ م) وزوجها بير كوري (١٨٥٩ م - ١٩٠٦ م)، من عزل اثنين من العناصر التي لم تكن معروفة سابقاً وكانا ذوي نشاط إشعاعي عالٍ جداً، هما البولونيوم والراديوم. وسرعان ما اكتشفت كذلك العناصر المشعة الأخرى. وسرعان ما أصبح من الواضح أن مصدر الإشعاع يجب أن يكون متأصلاً داخل الذرة، وأنه يجب أن ينبع من النواة.

ولفهم طبيعة هذه الإشعاعات الصادرة من العناصر المشعة ستطرق إلى مكونات الذرة، حيث تحتوي نواة الذرة على نوعين من الجسيمات هما: البروتونات والنيوترونات. تحمل البروتونات الشحنة الموجبة للذرة، بينما لا تحمل النيوترونات أي نوع من الشحنات، وبالتالي فهي متعادلة. أما الجسيم الثالث في الذرة فهي الإلكترونات التي تدور حول النواة وتحمل الشحنة السالبة.



الشكل (١-٨)

ويطلق على عدد البروتونات داخل النواة بالعدد الذري *atomic number* والذي يرمز له بالرمز **Z**، بينما يطلق على عدد البروتونات والنيوترونات العدد الكتلي *mass number* ويرمز له بالرمز **A**، ويوضح الشكل (١-٨) كيفية كتابة الصيغة الكيميائية للذرة. تحتوي جميع ذرات العنصر الواحد على عدد متساوٍ من البروتونات؛ ولكن عدد النيوترونات قد يختلف في العنصر الواحد وتسمى جميع ذرات ذلك العنصر بالنظائر *isotopes*، فنواة نظير الكربون **C₁₂** تحتوي على 6 بروتونات و 6 نيوترونات، بينما يحتوي نظير



الوحدة الرابعة الفيزياء الذرية *Atomic Physics*

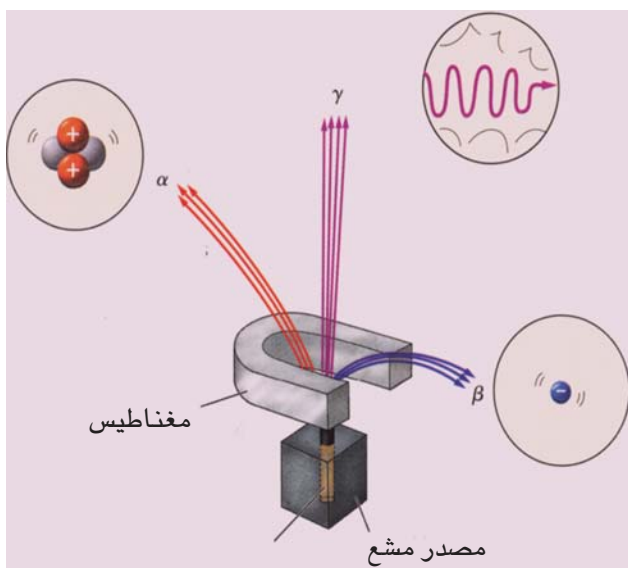
الكربون ^{14}C على 6 بروتونات و 8 نيوترونات.

توجد كثير من النظائر غير المستقرة في الطبيعة، والنشاط الإشعاعي الناجم عنها يدعى النشاط الإشعاعي الطبيعي ، كما أن هناك نظائر غير مستقرة يمكن إنتاجها في المختبرات النووية و يسمى النشاط الإشعاعي في هذه الحالة النشاط الإشعاعي الاصطناعي *artificial radioactivity*.

بدأ رذرфорد ورفاقه بدراسة طبيعة الأشعة المنبعثة من النظائر المشعة في عام ١٨٩٨ م. ووجدوا أن الأشعة يمكن تصنيفها إلى ثلاثة أنواع وفقاً لقدرتها على اختراق الأجسام هي ألفا (α) ، وبيتا (β) ، وجاما (γ) على التوالي.

وعند تعریض هذه الإشعاعات إلى المجالات الكهربائية والمغناطيسية وجد أن كل نوع من هذه الإشعاعات يحمل شحنة مختلفة، انظر الشكل (٢-٨)؛ حيث تحمل أشعة α شحنة موجبة، بينما تحمل β أشعة سالبة الشحنة، أما

فهي متعادلة الشحنة (غير مشحونة). وسرعان ما تبين إن هذه الأنواع الثلاثة هي إشعاعات معروفة لدى العلماء. فأشعة جاما ماهي إلا فوتونات ذات طاقة عالية جدًا. وبيتا هي الإلكترونات مثل تلك التي تدور حول النواة (لكنها تنشأ داخل النواة نفسها في هذه الحالة)، وجسيمات ألفا هي ببساطة ذرات الهيليوم $^{4}\text{He}_2$.



الشكل (٢-٨) : تحرف جسيمات ألفا وبيتا في اتجاهين متعاكسين داخل المجال المغناطيسي ، في حين أن أشعة جاما لا تتأثر بال المجال المغناطيسي على الإطلاق.

الوحدة الرابعة الفيزياء الذرية

Atomic Physics

ويلخص الجدول (١-٨) خصائص هذه الأنواع الثلاثة من الإشعاعات:

| جاما | بيتا | ألفا | الخصائص |
|---|--|--|--|
| موجات كهرومغناطيسية ذات طول موجي قصير جدًا. | سالبة الشحنة عبارة عن إلكترون | موجة الشحنة عبارة عن نواة ذرة الهليوم | طبيعته |
| لا تتأثر | تتأثر | تتأثر | التأثير بال مجالات الكهربائية والمغناطيسية |
| يمكن إيقافها بواسطة لوح سميك من الرصاص | يمكن إيقافها بواسطة شريحة من الألومنيوم بسمك 3 mm | يمكن إيقافها بواسطة ورقة أو طبقة الجلد | القدرة على الاختراق |
| ضعيفة جدًا | ضعيفة | كبيرة | القدرة على تأمين الوسط |
| مساوية لسرعة الضوء | ٥٠٪ من سرعة الضوء | ١٠٪ من سرعة الضوء | السرعة |

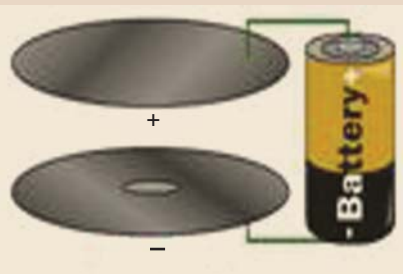
الجدول (١-٨) : خصائص إشعاعات النواة



الوحدة الرابعة الفيزياء الذرية *Atomic Physics*

تطبيقات حياتية

يوجد داخل تاشف الدخان مقداراً ضئيلاً من عنصر الأمريكيوم $^{241}_{95}\text{Am}$ لا تتعدي كتلته $1/5000$ من الجرام، وهو عنصر مشع عبر النصف له 432 yr لذا فهو مصدر جيد للإشعاعات خصوصاً جسيمات ألفا. حيث يحتوي تاشف الدخان على 0.9 mCi من الأمريكيوم تهلك جسيمات ألفا المترسبة عن الأمريكيوم $^{241}_{95}\text{Am}$ خاصية القدرة على تأمين ذرات الأكسجين والنيتروجين في الهواء، حيث تنطلق جسيمات ألفا من الفتحة في الصفيحة السفلية فتأمن جزيئات الهواء بين الصفيحتين حيث تنجذب الإلكترونات المتخرجة في اتجاه الصفيحة المتصلة بالقطب الموجب للبطارية، بينما تتجه أيونات ذرات الأكسجين والنيتروجين الموجبة إلى الصفيحة المتصلة بالقطب السالب للبطارية، وبهذا يمكن اعتبار أن تياراً كهربائياً يمر باستمرار خلال الدائرة الكهربائية بقيمة ثابتة. ولكن عندما يصبح هناك دخان في الموار فإن جزيئات الدخان سوف تعمل على التصادم مع أيونات الذرات الموجبة والتي تعمل على تشتتها مما يقلل التيار الكهربائي عن القيمة الثابتة. هذا الانخفاض في التيار الكهربائي يعمل على تنبيه التاشف بوجود دخان في الغرفة فيعمل على إطلاق صفارة الإنذار.



إشعاع ألفا *Alpha Radiation*

عندما تبعث جسيمات ألفا α من نواة عنصر ما، ستتغير مكونات النواة الأم و يتكون عنصر جديد يقل عدده الذري بمقدار 2 ويقل عدده الكتلي بمقدار 4 ، فعلى سبيل المثال، فإن الراديوم $^{226}_{88}\text{Ra}$ عندما يشع جسيم α ينتج عنصر جديد هو الرادون $^{222}_{86}\text{Rn}$ كما هو موضح في المعادلة الآتية:



إشعاع بيتا *Beta Radiation*

يحدث إشعاع بيتا نتيجة إنبعاث إلكترون واحد من نواة العنصر، فعلى سبيل المثال عند إشعاع ذرة الثوريوم $^{234}_{90}\text{Th}$ جسيم بيتا فإنها تحول إلى عنصر عدد ذرته يزيد بمقدار 1 فيصبح 91 وهو عنصر البروتاكتينيوم على النحو التالي :



حيث يشير الرمز e^- إلى إلكترون (جسيم بيتا). لا يحدث فقد في مكونات النواة عند انبعاث إلكترون إذ إن إجمالي عدد النيوترونات أو البروتونات هو نفسه في النواة الوليدة كما في النواة الأم.

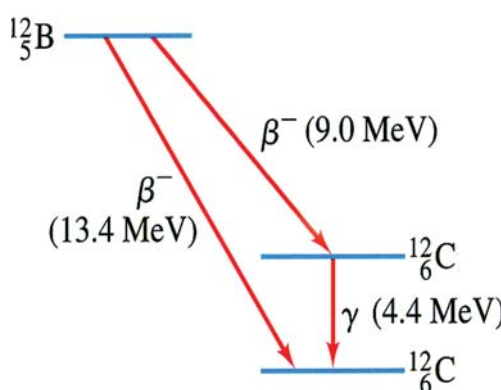
الوحدة الرابعة الفيزياء الذرية

Atomic Physics

ولا بد من الإشارة إلى أن جسيمات بيتا المبعثة ليست من الإلكترونات الموجودة في مدارات الذرة، وإنما تنشأ الإلكترونات المبعثة من داخل النواة نفسها، وذلك عندما يتحول أحد النيوترونات إلى بروتون، وفي عملية (لحظ الشحنة) يتولد جسيم بيتا الذي يحمل نفس شحنة وخصائص الإلكترون.

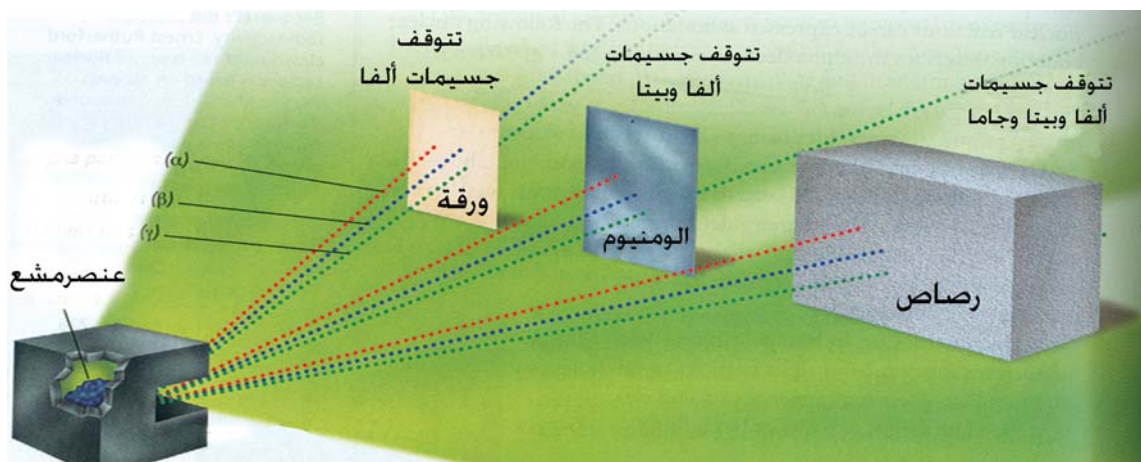
إن العمليات التي تحدث داخل النواة معقدة جدًا حيث أن النواة لا تحتوي على إلكترونات، ولكنكي يتم الإشعاع يجب أن يتحول نيوترون إلى بروتون وإلكترون وتحفظ النواة بالبروتون بينما ينبعث الإلكترون خارج النواة.

إشعاع جاما Gamma Emission

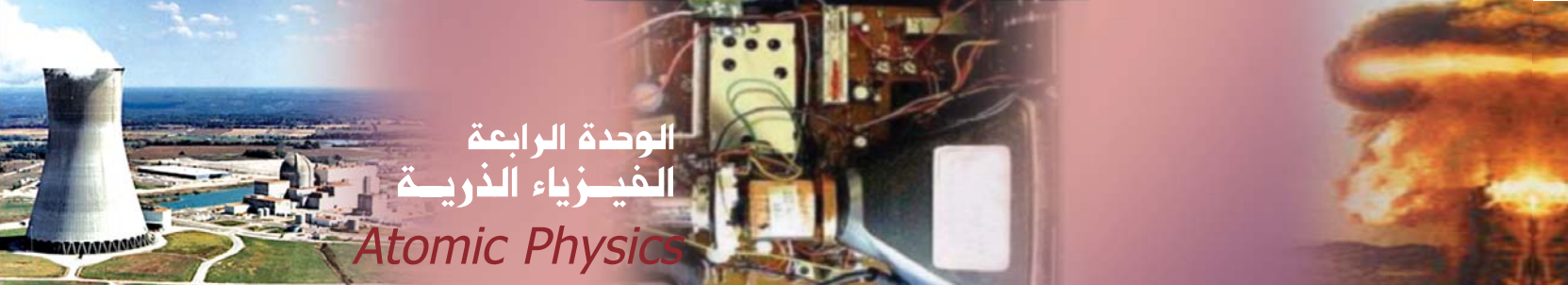


الشكل (٣-٨) : النواة المشار إليها تشع حتى تصل إلى الاستقرار

أشعة جاما هي فوتونات ذات طاقة عالية جدًا، وعندما تبعت من نواة عنصر ما فإنها تكون عبارة عن موجات كهرومغناطيسية شبيهه إلى حد كبير بتلك المبعثة نتيجة إثارة الذرات (انتقال الإلكترون من مستوى ذي طاقة أعلى إلى مستوى ذي طاقة أقل)، وتتراوح طاقة الفوتونات المبعثة من بضعة KeV إلى عدة MeV . إن إشعاع جاما لا يحمل أي شحنة كهربائية، ولذا لا يطرأ أي تغير في العنصر نتيجة إشعاع جاما. وتبعثر أشعة جاما من أنوية العناصر عندما تكون في حالة عدم استقرار (طاقة زائدة عما في حالة الاستقرار) وبالتالي تتخلص هذه النواة من الطاقة الزائدة بإشعاع جاما. ويبيّن الشكل (٤-٨) قدرة إشعاعات النواة على اختراق الأجسام.



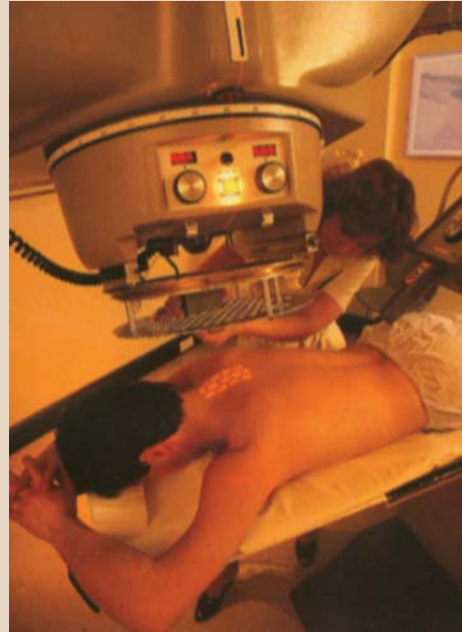
الشكل (٤-٨)



الوحدة الرابعة الفيزياء الذرية *Atomic Physics*

تطبيقات حياتية

يعالج المرضى المصابون بالسرطان بالإشعاع، وفي هذه الآلة تركز أشعة جاما المنبعثة من أحد النظائر المشعة على المنطقة المصابة لقتل خلاياها ومنع السرطان من الانتشار إلى مناطق أخرى من الجسم. كما تستخدم أشعة جاما في تعقيم المعدات الطبية.



*تأثير البيولوجي للإشعاع *The Biological Effect of Radiation*

يمثل الإشعاع وبصورة دائمة خطرًا على الأنظمة البيولوجية، وأن هذا الخطر يتناسب طرديًّا مع مقدار جهل العامل في حقول الإشعاع لطبيعة هذه الإشعاعات وكيفية تداولها واتقاء المخاطر الناجمة عنها. إذ يمكن اختزال الخطر إلى حدوده الدنيا المقبولة بالالتزام التحفظات المناسبة، ومراعاة قواعد الأمن والسلامة في التعامل معها. ولما أصبح الكشف عن النشاط الإشعاعي - مهما صغراً - ميسوراً، فإن الخطر المتوقع لم يعد بالمشكلة المستعصية في الوقت الراهن وخاصة بالنسبة للمختبرات التي تعامل مع مواد كيميائية مشعة والتي تم تصميمها بشكل ملائم وروعيت فيها مقاييس السلامة والأمان.

لقد وجد أن طاقة الإشعاع اللازمة لإحداث تغيرات بيولوجية في جسم الإنسان هي كميات قليلة. فعلى سبيل المثال إن كمية الإشعاع الكافية لقتل الثدييات لا تسبب إلا ارتفاعاً طفيفاً في درجة حرارة أجسامها لا يتجاوز $0.01C$ (واحد في المائة فقط من الدرجة المئوية). وإن هذا الارتفاع في درجة الحرارة ناتج عن تحول طاقة الإشعاع إلى طاقة حرارية. إن طاقة الإشعاع هذه تنتشر خلال مرورها بالأعضاء الحية، وأنثناء ذلك تقوم بتأين وإثارة ذرات أو جزيئات المادة المارة بها. وتتسبب عملية التأين هذه في تخريب مباشر لجسم الكائن الحي جراء تكسر

الوحدة الرابعة الفيزياء الذرية

Atomic Physics



الروابط الكيميائية التي تربط ذرات الجزيئات بعضها داخل نسيج الخلية الحية. إن مقدار الضرر البيولوجي يعتمد على عوامل عدة منها نوع الإشعاع (أشعة ألفا أو بيتا، و الإشعاعات الكهرومغناطيسية كالأشعة السينية وأشعة جاما) ومقدار طاقة هذا الإشعاع، وسرعة دخوله الجسم الحي ونوع العضو المعرض لهذا الإشعاع (عين أو كبد أو عظم أو رئة)، وأخيراً عمر الجسم المعرض للإشعاع وحالته الصحية إن كان بشرا.

هناك نوعان للتعرض للإشعاع أحدهما خارجي أي أن يكون الجسم المشع خارج الجسم، والآخر داخلي. معنى دخول مصدر الإشعاع داخل الجسم. وفي النوع الأول من التعرض للإشعاع تعتبر الأشعة السينية من أكثر الأشعة خطراً على الإنسان بسبب قدرتها الفائقة على الاختراق والتفوذ. أما جسيمات ألفا فلا خطر منها إذا أتت من مصدر خارجي، إذ إنها لا تستطيع النفاذ إلا إلى طبقات الجلد السطحية غير الحساسة. لكنها تعتبر الأشعة الأشد خطراً فيما لو أصبحت مصدراً داخلياً للإشعاع، أي إذا دخلت جسم الإنسان واستقرت في أحد أعضائه بشكل عنصر مشع أو مركب فيه عنصر مشع لهذه الدقائق.

اختبار فهمك (١):

أكمل المعادلة التالية مع ذكر اسم الدقيقة المتبعة

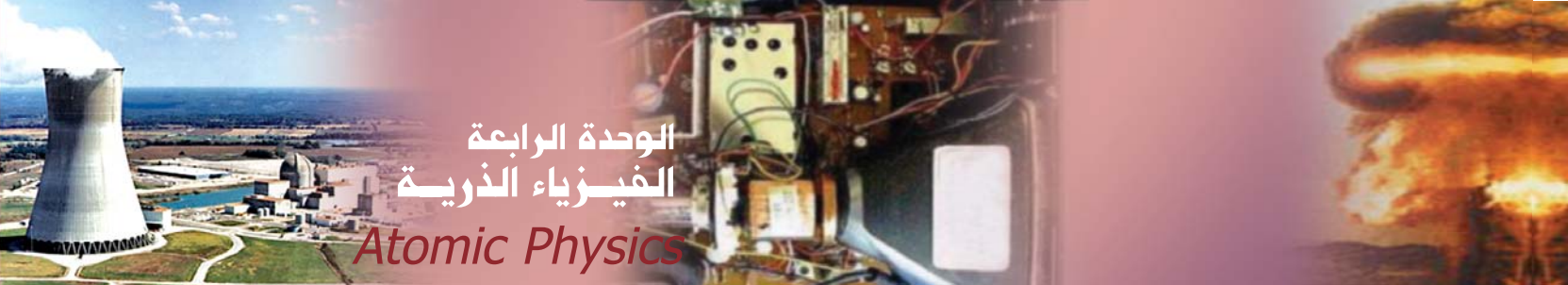


٢-٨ طاقة الربط النووي Nuclear Binding Energy

*خصائص القوى النووية

بما أن البروتونات ذات شحنة موجبة و توجد قوة تنافر كهربائية فيما بينها تحاول إبعادها عن بعضها البعض ، إلا أن النواة تبقى مستقرة تماماً. إن ذلك يشير إلى وجود نوع من القوى تعمل على جذب مكونات النواة وبالتالي استقرارها ، وتعرف هذه القوى بالقوى النووية *nuclear force* وهي التي تجعل مكونات النواة ترابط فيما بينها. ومن أهم خصائص هذه القوى:

- ١- أنها قوى تجاذب كبيرة جدًا، لذلك تهمل بالنسبة لها باقي القوى داخل النواة مثل القوة الكهربائية.
- ٢- لا تعتمد على كون النيوكليون (بروتون أو نيوترون) يحمل شحنة كهربائية أو متعادلة، معنى آخر أنها متساوية بين (البروتون والنيوترون)، أو بين (النيوترون والنيوترون)، أو بين (البروتون والبروتون).



الوحدة الرابعة الفيزياء الذرية *Atomic Physics*

٣- ذات مدى قصير جدًا ، يعنى أن نيو كليونين يؤثران على بعضهما بقوى مسافة قصيرة تصل إلى أقل من $5 \times 10^{-15} \text{ m}$ ، و يتجادبان بشدة كلما قلت هذه المسافة إلى إن تصل إلى $0.5 \times 10^{-15} \text{ m}$ حيث تحول بعدها هذه القوى إلى قوى تنافر.

٤- على الرغم من شدة هذه القوى إلا أنها تكون عاجزة عن ربط عدد كبير من البروتونات معًا، فعلى عكس قوة التنافر التي هي بعيدة المدى حيث يؤثر كل بروتون على بروتون آخر داخل النواة، فإن قوى التجاذب قصيرة المدى ولا يشعر بها سوى الجسيمات القريبة من بعضها داخل النواة.

٥- تعمل هذه القوى داخل حدود النواة فقط، بينما تعمل القوى الكهربائية خارج النواة.
وبالرجوع إلى معادلات إشعاع ألفا وبينما لاحظ العلماء وجود نقص في كتلة النواة الأتم، بحيث إنها تقل عن كتلة مكوناتها. فمثلاً كتلة الكربون $^{12}_{6} \text{C}$ أقل من كتل 6 بروتونات و 6 نيوترونات.

ولتفسير هذا النقص استخدم العلمن الإنجليزيان جون كوك كروفت *John Cockcroft* (١٨٩٧-١٩٦٧م) وأرنست والتون *Ernest T.S. Walton* (١٩٣٢-١٩٩٥م) في عام ١٩٣٢ قانون آينشتاين الذي يربط بين الكتلة والطاقة.

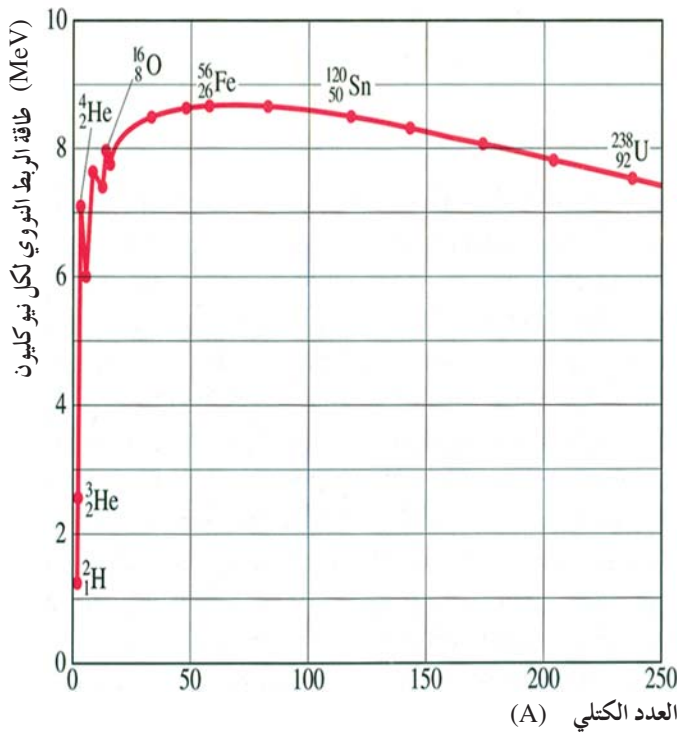
$$E = \Delta m \times c^2 \quad (1-8)$$

حيث تشير Δm إلى النقص في الكتلة و c إلى سرعة الضوء ، حيث افترض آينشتاين أن الفقد في الكتلة يتحول إلى طاقة والعكس صحيح . فقد قاما بقصف نواة الليثيوم ببروتون ذي سرعة عالية فانبعثت دقائق ألفا وتحررت كمية كبيرة من الطاقة، وقد لاحظا أن التفاعل النووي السابق صاحبه نقص في الكتلة مقداره 0.0186 u حيث u هي وحدة الكتل الذرية *atomic mass unit* وتساوي 931.494 MeVc^2 .

وقد وجد كوك كروفت والتون أن مقدار الطاقة المنبعثة من التفاعل تماثل مقدار الطاقة التي يمكن حسابها من معادلة آينشتاين ، وبذلك تم إثبات صحة قانون آينشتاين وإمكانية تحويل الكتلة إلى طاقة.
وعرفت هذه الطاقة بطاقة الربط النووي *Nuclear Building Energy* وهي "الشغل اللازم لتفكيك الذرة إلى مكوناتها الأساسية، أو هي الطاقة التي تحرر عند تجميع مكونات الذرة" . وإن هذه الطاقة هي التي تربط بين النيو كليونات داخل النواة. ويبين الشكل (٣-٨) طاقة الربط النووي لكل نيو كليون .

الوحدة الرابعة الفيزياء الذرية

Atomic Physics



الشكل (٥-٨) : منحنى طاقة الربط النووي لـ كل نيوكليون لأنوية بعض العناصر تتوقع فالنيوكليون يحتاج إلى طاقة ربط كبيرة لكي يرتبط مع عدد أكبر من النيوكليونات ، وبالتالي كلما زاد العدد الكتلي لابد من زيادة متوسط طاقة الربط النووي . ومعنى ذلك أن النيوكلون يرتبط فقط فقط مع النيوكليونات القريبة منه فقط وليس مع كل النيوكليونات ، وهذا ما يعرف بـ **درجة التشبع للعنصر**.

إن أكثر العناصر استقراراً هي التي تقع في منتصف المجدول الدوري والتي تراوح أعدادها الكتبية بين (20 - 160) ويزيد متوسط طاقة الربط النووي لـ كل نيوكليون لديها عن 8 MeV ، ويمكننا حساب طاقة الربط النووي E_b لـ نواة عنصر ما كالتالي:

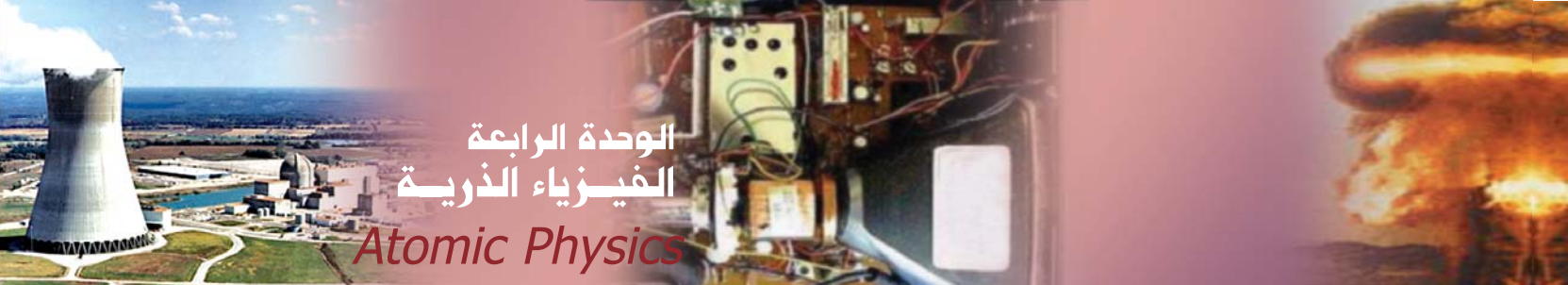
إذا اعتبرنا أن كتلة البروتونات في النواة = Zm_p حيث Z هو العدد الذري و m_p هي كتلة البروتون و كتلة نيوترونات = $(A-Z)m_n$ حيث A هو العدد الكتلي و m_n هي كتلة النيوترون ، فإن مجموع كتل مكونات النواة يساوي

$$(A-Z)m_n + Zm_p$$

وباعتبار أن كتلة النواة الأهم هي M_N

فإن طاقة الربط النووي = الفرق في الكتلة (Δm)

$$\Delta m = [(A - Z)m_n + Zm_p] - M_N \ u$$



الوحدة الرابعة الفيزياء الذرية *Atomic Physics*

ومن علاقة آينشتاين لتحويل الكتلة إلى طاقة :

$$E_b = \Delta m \times c^2$$

$$E_b = [(A - Z)m_n + Zm_p] - (M_N) u \times c^2 \quad (2-8)$$

$$\therefore 1 u = \frac{931.494 \text{ MeV}}{c^2}$$

$$\therefore c^2 = \frac{931.494 \text{ MeV}}{1 u} \quad (1)$$

بالتعويض عن قيمة c^2 من المعادلة (1) في المعادلة (2-8) نحصل على :

$$E_b = [(A - Z)m_n + Zm_p] - (M_N) \times 931.494 \text{ MeV} \quad (3-8)$$

ويمكن حساب طاقة الربط النووي لكل نيوكليون E_n من العلاقة:

$$E_n = \frac{E_b}{A} \quad (4-8)$$

الوحدة الرابعة الفيزياء الذرية

Atomic Physics

مثال (١):

أُوجِد طاقة الربط النووي لكل نيوكليلون للأنيوية التالية :

أ- اليورانيوم $^{238}_{92}\text{U}$ ب- الحديد $^{56}_{26}\text{Fe}$ إذا علمت أن:

الحل:

$$m_p = 1.0078 \text{ u}, m_n = 1.0086 \text{ u}$$

$$m_{^{238}_{92}\text{U}} = 238.0507 \text{ u}, m_{^{56}_{26}\text{Fe}} = 55.9349 \text{ u}$$

-

$$^{238}_{92}\text{U} \rightarrow E_b = [(146 \times 1.0086) + (92 \times 1.0078) - (238.0507)] \times 931.494$$

$$E_b = 1867.9249 \text{ MeV}$$

$$E_n = \frac{E_b}{A} = \frac{1867.9249}{238} = 7.8484 \text{ MeV}$$

$$^{56}_{26}\text{Fe} \rightarrow E_b = [(30 \times 1.0086) + (26 \times 1.0078) - (55.9349)] \times 931.494$$

$$E_b = 491.5493 \text{ MeV}$$

$$E_n = \frac{E_b}{A} = \frac{491.5493}{56} = 8.7776 \text{ MeV}$$

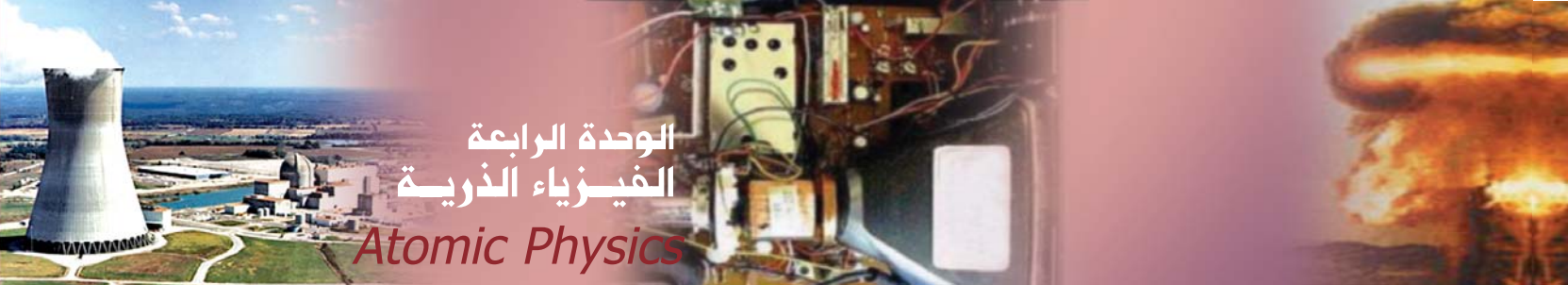
اختبار فهمك (٢):

١- احسب طاقة الربط النووي لنوءة ذرة الهليوم ^4_2He علماً أن كتل الأنيوية هي كالتالي:
 $^1_1\text{H} = 1.008 \text{ u}$ و $^4_2\text{He} = 4.0026 \text{ u}$

٢- من المعادلة التالية أحسب الطاقة المتحررة:



علماً أن كتل كلّاً من: $^4_2\text{He} = 4.0026 \text{ u}$ و $^{222}_{86}\text{Rn} = 222.00 \text{ u}$ و $^{226}_{88}\text{Ra} = 226.0254 \text{ u}$

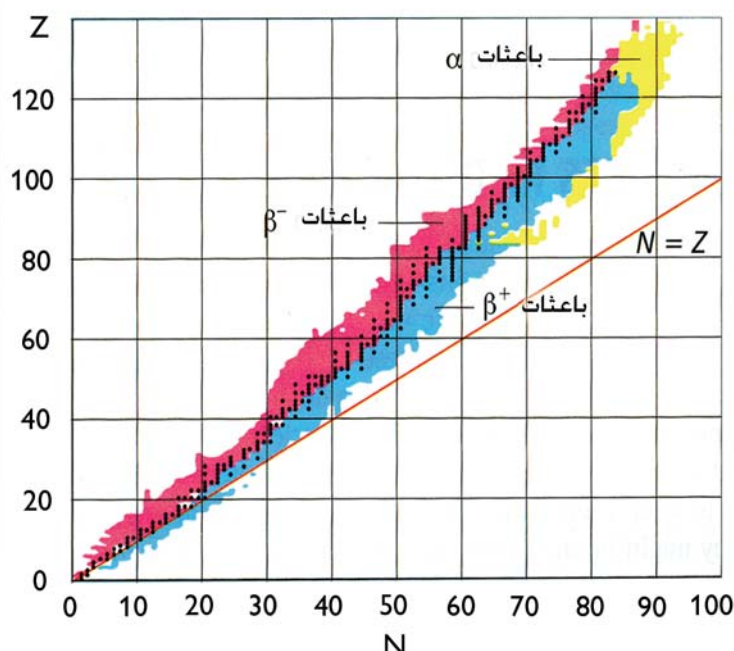


الوحدة الرابعة الفيزياء الذرية *Atomic Physics*

٣-٨

استقرار النواة وإشعاع جسيمات ألفا وبيتا

Nuclear Stability and the Emission of Alpha and Beta Particles



الشكل (٦-٨) : منحنى الاستقرار

يوضح الشكل (٤-٨) العلاقة بين عدد البروتونات والنيوترونات وقوى النوية داخل النواة. ومن خلال المنحنى يوضح الخط المتصل موقع الأنوية التي تحتوي على عدد متساوٍ من البروتونات والنيوترونات ($N=Z$)، لاحظ أن الأنوية الخفيفة فقط تقع على هذا الخط بينما العناصر الثقيلة فإنها تقع أعلى هذا الخط.

وهذا يعني أن الأنوية الثقيلة أو المتوسطة تكون مستقرة عندما يكون عدد النيوترونات فيها أكبر من عدد البروتونات ويمكن فهم ذلك حسب خصائص القوة النووية، حيث إن زيادة عدد النيوترونات ضروري من أجل تخفيف الشحنة الموجبة للبروتونات ومن ثم خفض التأثير التناهري لقوى كولوم. ولكي تحفظ النواة بحالة الاستقرار وتصل الأنوية إلى حالة الاستقرار فإنها تقوم بإشعاع جسيمات ألفا وبيتا وتصبحها أشعة جاما لتصل إلى العناصر المستقرة في عملية يطلق عليها الانحلال الإشعاعي.

إبعاد جسيم ألفا *Alpha Emission*

لكي تستطيع النواة الأم أن تبعث جسيم ألفا لابد أن يكون مجموع كتلتها أكبر من مجموع كتل الأنوية الناتجة عن إحلالها، ومثال على ذلك اتحلال عنصر البولونيوم حسب المعادلة



إذا جمعنا كتل الأنوية الناتجة حتماً سنجد أنها أقل من كتلة النواة الأصلية أو الأم والسبب يعود إلى أن فقد في هذه الكتلة يتحول إلى طاقة حرارية تكتسبه جسيمات ألفا المشعة. إذ تكتسب هذه الجسيمات 98% من الطاقة ،

الوحدة الرابعة الفيزياء الذرية

Atomic Physics

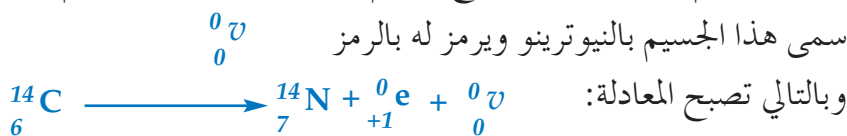
بينما تستخدم (2%) منها في الحركة الارتدادية للنواة الناتجة، وذلك للحفاظ على كمية التحرك الخططي ثابتة. ويصاحب انبعاث جسيم ألفا خروج أشعة جاما.

انبعاث جسيم بيتا Beta Emission

عندما تبعث النواة جسيم بيتا فإنها تطلق إما إلكترون أو بوزيترون (البوزيترون له نفس كتلة الإلكترون، ولكنه يحمل شحنة موجبة e^+)، وبالتالي فإن العدد الذري للعنصر الناتج إما أنه يزداد أو يقل بمقدار واحد عن العنصر الأصلي على سبيل المثال:

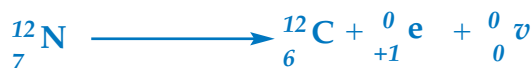


ومن الحقائق المخيرة حول انبعاث جسيمات بيتا هو أن كمية تحرك الإلكترون المنطلق ليست مساوية ومضادة في الاتجاه لكمية تحرك ارتداد النواة. وهذا يتعارض مع مبدأ حفظ كمية التحرك الخططية. لذلك فقد افترض العلماء وجود جسيم آخر ينبعث سوياً مع جسيم بيتا، وإن كتلة هذا الجسيم السكونية تساوي صفرًا ولا شحنة له وقد

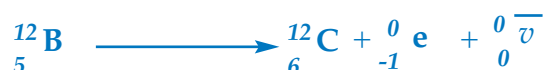


والنيوتينو جسيم صغير للغاية ، يصعب الكشف عنه وكتلته الحركية صغيرة للغاية. ويتافق خروجه مع انحلال بيتا ، وهو نوعان :

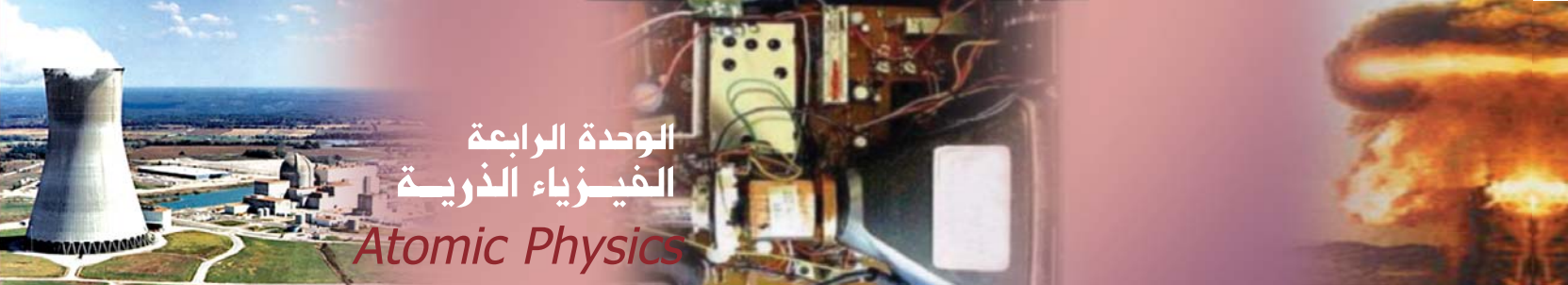
١- النيوتينو (v) : ويخرج مع انحلال بيتا الموجب (البوزيترون)



٢- النيوتينو المضاد (\bar{v}) : ويخرج مع انحلال بيتا السالب (الإلكترون)



إن السبب الرئيسي لخروج النيوتينو هو تخلص النواة من باقي الطاقة الزائدة و التي تبقي بعد انحلال بيتا.



الوحدة الرابعة الفيزياء الذرية *Atomic Physics*

مثال (٢) :

أوجد الطاقة المنشورة من التفاعل التالي



علماً أن الكتل الذرية لأنوبي العناصر في التفاعل هي
 $^4_2\text{He} = 4.003 \text{ u}$ $^{206}_{82}\text{Pb} = 205.974 \text{ u}$ $^{210}_{84}\text{Po} = 209.983 \text{ u}$

$$\Delta m = 209.983 - (205.974 + 4.003) = 0.006 \text{ u} \quad \text{الحل :}$$

$$\therefore E_b = \Delta m \times c^2$$

$$\therefore E_b = 0.006 \times 931.494 = 5.5889 \text{ MeV}$$

اختبار فهمك (٣) :

- ١- من خلال الشكل (٥-٨) وبالاستعانة بالجدول الدوري للعناصر:
سمّي أربعة عناصر مستقرة؟ و أربعة عناصر غير مستقرة؟
- ٢- ينحل نظير الحديد $^{56}_{27}\text{Fe}$ إلى نظير الكوبالت $^{56}_{26}\text{Co}$
أ- اكتب معادلة الانحلال لهذه العملية.

ب- احسب الطاقة المنشورة من العملية السابقة. علماً أن كتل الأنبوية كالتالي:

$$^{56}_{27}\text{Co} = 55.9398 \text{ u} \quad , \quad ^{56}_{26}\text{Fe} = 55.9349 \text{ u}$$

٤-٨

الانحلال الإشعاعي وعمر النصف *Radioactivity and the Half life*

تحتوي أي عينة لنظير مشع على عدد ضخم من الأنوبي المشعة التي لا تتحلل جميعها في وقت واحد. بل تتحلل على مدى فترة من الزمن ، وتعتبر هذه العملية عشوائية إذ لا يمكن التنبؤ بالوقت الذي تبدأ فيه أي نواة بالانحلال، ولكن يمكننا تحديد كمية الأنوبية المتبقية من عملية الانحلال بعد فترة زمنية معينة على أساس احتمالي.
إن عدد ما ينحل من الأنوبية ΔN في فترة زمنية قصيرة جداً من الزمن Δt تتناسب طردياً مع العدد الأصلي

$$\frac{\Delta N}{\Delta t} \propto N \quad \text{لأنوبية المشعة } N :$$

وبالت遇وض عن الثابت

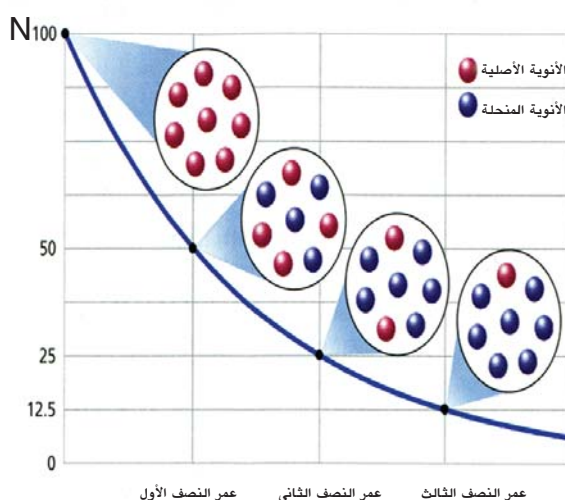
$$\frac{\Delta N}{\Delta t} = -\lambda N$$

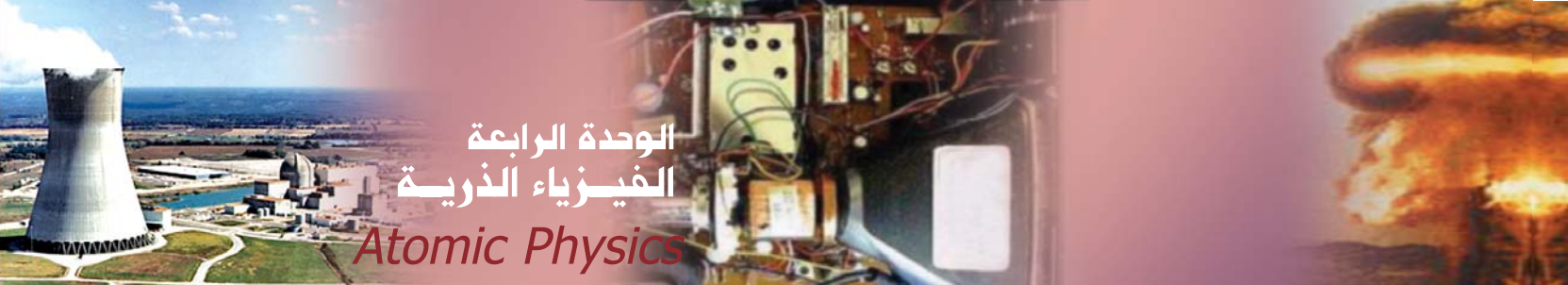
والإشارة السالبة تدل على أن عدد الإنحلالات تقل مع الزمن وبالتالي:

$$\Delta N = -\lambda N \cdot \Delta t \quad (5-8)$$

الشكل (٧-٨) : العدد N من النوى الأم في العينة يتناقص للنصف في كل مرة

حيث λ هو ثابت التناص *decay constant* ، والذي يختلف باختلاف النظائر. فكلما زاد مقدار λ ، ازداد معدل الانحلال. ويطلق على المقدار $\frac{\Delta N}{\Delta t}$ بالنشاط الإشعاعية أو معدل الانحلال ويعرف بأنه عدد ما ينحل من أنوبية في الثانية الواحدة. كما يوضحها الشكل (٧-٨) ويقاس بوحدة البيكيل (Bq) ، وهي تساوي إنحلال لكل ثانية $\frac{1 \text{ Decay}}{1 \text{ s}}$ وهناك وحدة أخرى وهي الكوري Ci ، حيث إن: $1 \text{ Ci} = 3.7 \times 10^{10} \text{ Bq}$





الوحدة الرابعة الفيزياء الذرية *Atomic Physics*

الاستكشاف (١) : تناقص نشاطية المواد المشعة عبر الزمن.

سؤال علمي: كيف تتناقص نشاطية المواد المشعة عبر الزمن؟

المواد والأدوات : 40 قطعة من العملات المعدنية (فئة 50 - 25 - 10 - 5 بيسة) – ورقة رسم بياني
الإجراءات:

١. ارسم جدولًا لتسجيل البيانات كما هو مبين.
٢. أختر أحد أوجه العملة وأدر باقي العملات بحيث يكون ذلك الوجه مقابل لك. حيث يشير ذلك إلى أن النواة لم تبدأ بالانحلال.
٣. ارم العملات إلى الأعلى بحيث تدور في الهواء ثم انظر إلى الوجه الذي تسقط عليه.
٤. سجل عدد العملات التي سقطت على نفس الوجه الذي اخترته في البداية، وأستبعد العملات التي سقطت

| المجموعات الأخرى | | | مجموعتك | عدد المحاولات |
|----------------------|----------------------|----------------------|----------------------|---------------|
| عدد العملات المتبقية | عدد العملات المتبقية | عدد العملات المتبقية | عدد العملات المتبقية | عدد المحاولات |
| | | | | الأولى |
| | | | | الثانية |
| | | | | الثالثة |

جدول (٢-٨) : نتائج المحاولات

على الوجه الآخر، وسجل النتائج في الجدول التالي:

٥. كرر الخطوة (٣-٤) مع ما تبقى لديك من العملات.

٦. تبادل البيانات الخاصة بك مع المجموعات الأخرى، وانقلها في جدول البيانات الخاص بك .

التحليل والتفسير :

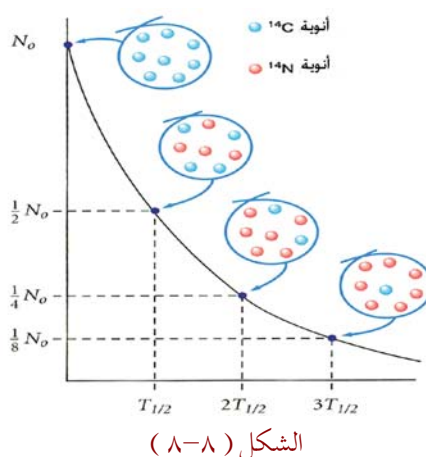
١. هل حصلت كل مجموعة على نفس العدد من العملات بعد كل محاولة؟
٢. ارسم بيانيًّا العلاقة بين عدد العملات المتبقية في كل محاولة (على المحور الرأسي)، وعدد المحاولات (على المحور الأفقي).
٣. قارن العلاقة البيانية التي حصلت عليها بالشكل (٧-٨).

الوحدة الرابعة الفيزياء الذرية

Atomic Physics

عمر النصف Half Life

إن معدل انحلال أي من العناصر المشعة غالباً ما يحدده معرفة عمر النصف. ويعرف عمر النصف لنظير مشع بأنه الوقت الذي يستغرقه لتنحل نصف كميته الأصلية. على سبيل المثال، عمر النصف لنظير الكربون ^{14}C حوالي 5730 سنة، فإذا كان عدد الأئونية في هذه العينة يساوي 1022 نواة، فبعد 5730 yr سيصبح عدد النوى $\frac{1022}{2} = 511$ وبعد 5730 سنة أخرى سوف يصبح عدد النوى $\frac{511}{2} = 255.5$ وهكذا، كما هو مبين في الشكل (٦-٨) حيث يوضح انحلال عنصر الكربون عبر الزمن.



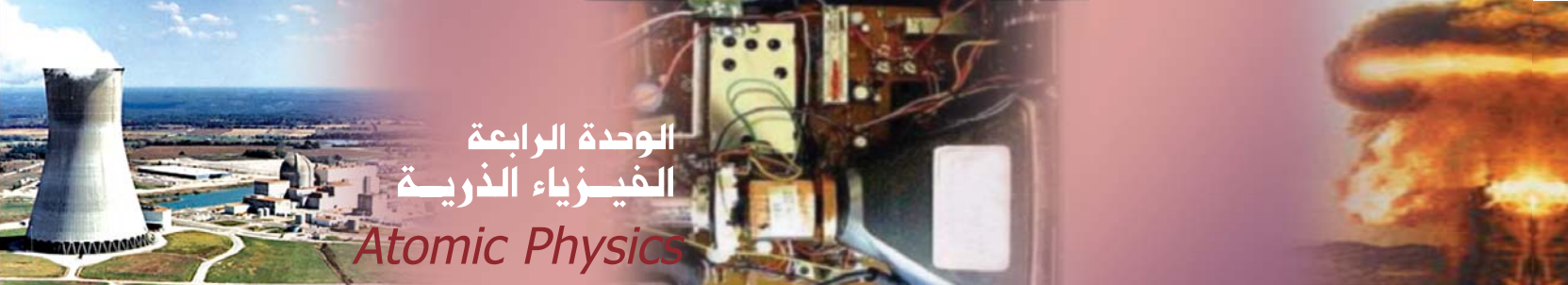
إن عمر النصف للنظائر المشعة المعروفة تختلف من حوالي 10^{-22} s إلى حوالي 10^{21} yr . ويوضح الجدول (٣-٨) عمر النصف لبعض النظائر المشعة، ويتبين أن عمر النصف يتناصف عكسياً مع ثابت الانحلال فكلما زاد عمر النصف للناظير المشع فإن انحلاله يكون بطبيعاً أي أن ثابت انحلالها يكون صغيراً. يعني أن العناصر النشطة إشعاعياً تكون ثابت انحلالها كبيراً جداً وعمر النصف لها قصير. ويستخدم عمر النصف في تقدير عمر الحفريات التي يكتشفها علماء الآثار وذلك عن طريق أخذ عينة منها وفحص كمية أنيونية نظير الكربون المشع ^{14}C المتبقية في هذه العينة. وبعض العمليات الحسابية يستطيع العلماء معرفة عمر هذه الحفريات حيث إن الكربون ^{14}C المشع يبدأ في الانحلال بعد وفاة الكائن الحي مباشرةً.

ويمكن حساب عمر النصف $T_{\frac{1}{2}}$ من العلاقة التالية:

$$T_{\frac{1}{2}} = \frac{0.693}{\lambda} \quad (٦-٨)$$

| عمر النصف | العنصر |
|----------------------------------|--------------------------------|
| 3.82 days | ^{222}Ra الرادون 88 |
| 24.1 days | ^{234}Th الثوريوم 90 |
| 5730 years | ^{14}C الكربون 6 |
| $7.04 \times 10^8 \text{ years}$ | ^{234}U اليورانيوم 92 |
| $1.28 \times 10^9 \text{ years}$ | ^{40}K البوتاسيوم 19 |

جدول (٣-٨): عمر النصف لبعض العناصر



الوحدة الرابعة الفيزياء الذرية *Atomic Physics*

مثال (٣):

إذا كان عمر النصف لنظير الراديوم Ra_{88}^{226} هو $5 \times 10^{10} \text{ s}$ ، فإذا احتوت عينة منه على 3×10^{10} نواة، احسب النشاطية الإشعاعية لهذا العنصر.

الحل:

أولاً: نحسب ثابت الانحلال.

$$\lambda = \frac{0.693}{T_{\frac{1}{2}}} = \frac{0.693}{5 \times 10^{10} \text{ s}} = 1.4 \times 10^{-11} \text{ s}^{-1}$$

$$\lambda N = (1.4 \times 10^{-11}) (3.0 \times 10^{10}) = 0.42 \text{ Bq}$$

اختبار فهمك (٤):

١- إذا كان عمر النصف لعينة من نظير عنصر مشع يساوي 1 yr ، ما الكمية المتبقية من العينة الأصلية في نهاية السنة الثانية؟

٢- إذا كان عمر النصف للبلوانيوم Po_{84}^{210} هو 140 day . كم تستغرق عينة منه لكي تنحل إلى ثمن العينة الأصلية؟

الوحدة الرابعة الفيزياء الذرية

Atomic Physics

٥-٨

سلسلة الانحلال Decay Series

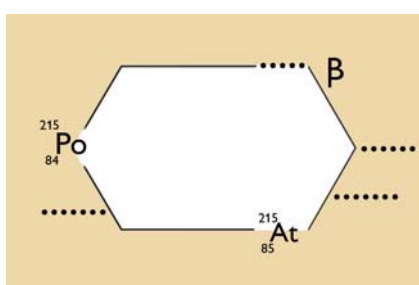
في أغلب الحالات عند انحلال أحد النظائر المشعة فإنه يتحول إلى نظير آخر مشع أيضاً. وأحياناً فإن النواة الوليدة المشعة تنحل هي الأخرى إلى نظير جديد، وتستمر هذه العملية إلى أن تصل إلى عنصر مستقر لا ينحل. هذه العملية المتتالية من الانحلالات تسمى سلسلة الانحلال، وتمثل بيانياً كما هو موضح في الشكل (٩-٨).

حيث يوضح الشكل أن نظير عنصر اليورانيوم $^{238}_{92} U$ ينحل بإشعاع ألفا إلى نظير عنصر الثوريوم $^{234}_{90} Th$ ، الذي

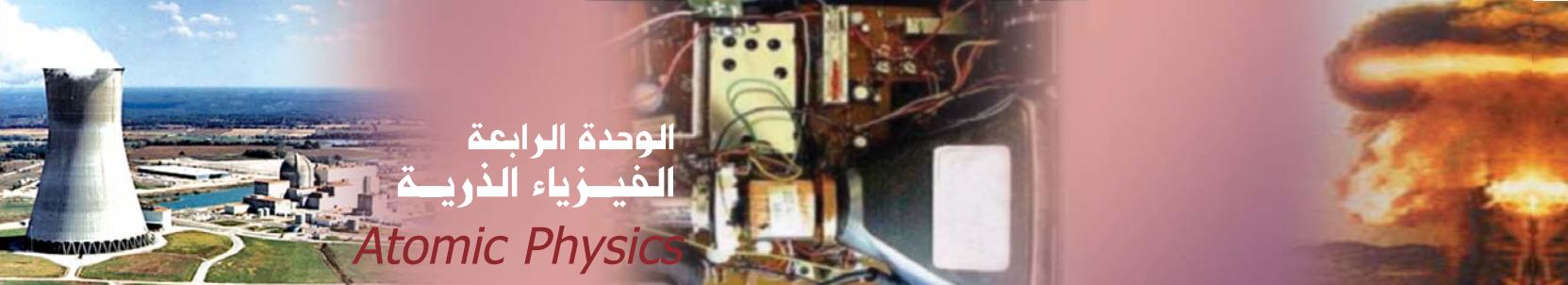
يبدوره ينحل بإشعاع بيتا إلى نظير عنصر الباريوم $^{91}_{91} Pa$ ، وتستمر السلسلة كما هو مبين إلى أن تصل إلى نظير عنصر الرصاص المستقر $^{206}_{82} Pb$ ، ويحدث الانحلال أحياناً بإشعاع ألفا أو بيتا. فعلى سبيل المثال، فإن نظير عنصر البولونيوم $^{218}_{82} Po$ يمكن أن ينحل بإشعاع ألفا إلى نظير عنصر الرصاص $^{214}_{82} Pb$ أو ينحل بإشعاع بيتا إلى نظير عنصر الاستاتين $^{218}_{85} At$.

ومن خلال السلسلة السابقة يمثل السهم الأفقي إشعاع بيتا (لا يحدث تغيير في A) ، في حين يمثل السهم المائل إشعاع ألفا (يتغير A بمقدار ٤، ويتغير Z بمقدار ٢). وهناك العديد من سلاسل الانحلال الأخرى.

اختبار فهمك (٥):



١. أكمل سلسلة الانحلال التالية:



الوحدة الرابعة الفيزياء الذرية *Atomic Physics*

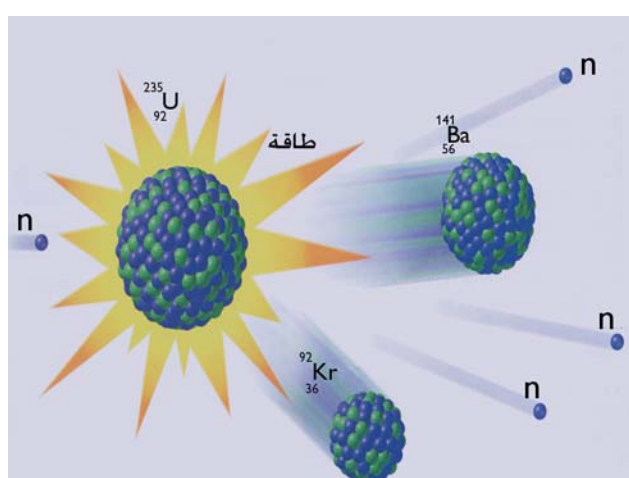
٦-٨

الانشطار النووي *Nuclear Fission*

كان العالم انريكو فيرمي (*Enrico Fermi*) في العام ١٩٣٤ م يقوم بعض التجارب للحصول على نظائر العناصر عن طريق قذف الألتوнаية بالنيوترونات. وعندما وصل إلى عنصر اليورانيوم (العنصر الأخير في الجدول الدوري في ذلك الوقت) . توقع أن قذف العنصر بالنيوترونات سيؤدي إلى وجود نواة غير مستقرة تشع جسيمات بيتا، وبالتالي ازدياد العدد الذري من ٩٢ إلى ٩٩ وإنماج عنصر جديد في الجدول الدوري، ولكنه لم يحصل على ما توقعه ولم يستطع التعرف على نواتج التفاعل.

استمرت الأبحاث والدراسات من العام ١٩٣٥ م إلى العام ١٩٣٨ م حيث قامت عالمة ألمانية تدعى إدا نوداك (*Ida Noddack*) بالتعرف على نواتج التفاعل الذي قام به فيرمي، وأوضحت أن نواة اليورانيوم انشطرت إلى نوتين متوسطتي الكتلة . وقد أكدت الدراسات صحة ما افترضته هذا العالمة . وبذلك يُعرف الانشطار النووي على أنه "نقسام نواة ثقيلة إلى نوتين متوسطتي الكتلة ، وإنماج كميات هائلة من الطاقة نتيجة تفاعل نووي" ويحدث الانشطار النووي لثلاثة أنواع من النظائر الثقيلة هي :

اليورانيوم $^{235}_{92}$ والبلوتونيوم $^{239}_{94}$ والليورانيوم $^{233}_{92}$. حيث تعرف هذه العناصر أيضًا بعناصر الوقود النووي. وبأخذ اليورانيوم كمثال يمكن تمثيل الانشطار النووي بالمعادلة:



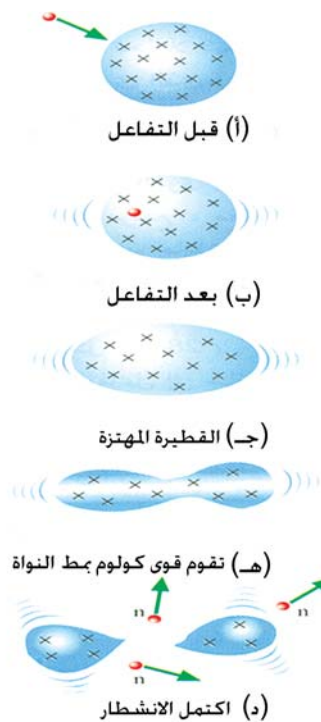
الشكل (١٠-٨)

ويبين الشكل (١٠-٨) كيفية حدوث الانشطار النووي لعنصر اليورانيوم $^{235}_{92}$.

يتبيّن من المعادلة أن نواة اليورانيوم تنشطر إلى نوتين وعدده من النيوترونات وطاقة تمثل فرق الكتلة بين النواة الأصلية ونواتج الانشطار، والسبب المباشر لحدوث الانشطار هو حالة عدم الاستقرار التي يصل لها نظير اليورانيوم $^{235}_{92}$ بحيث أنه عند قذفه بالنيوترون يتحوّل إلى نظير عنصر اليورانيوم $^{236}_{92}$ وهو نظير غير مستقر

الوحدة الرابعة الفيزياء الذرية

Atomic Physics

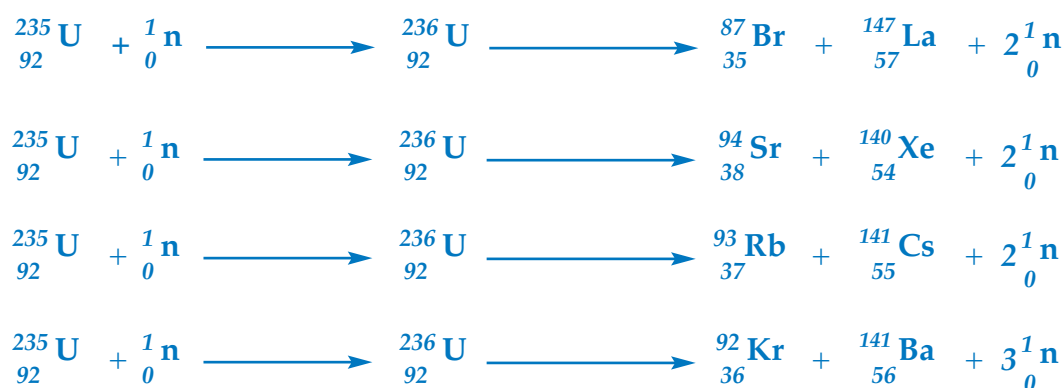


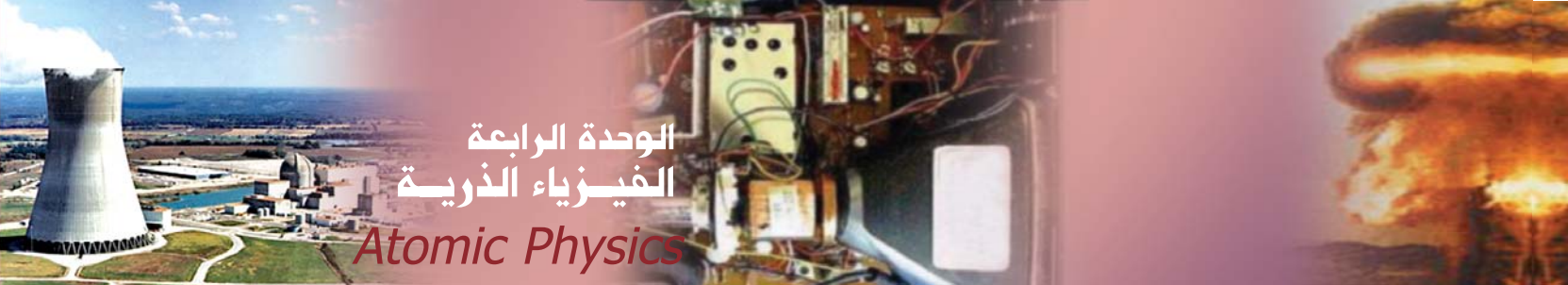
الشكل (١١-٨) : عملية الانشطار كما تحدث لقطرة سائل

تماماً لأن مدة بقائه حوالي $s_{10^{-12}}$ قبل أن ينশطر إلى نواتين، وتكون عملية انشطار اليورانيوم عملية سريعة جداً.

ولفهم عملية الانشطار نفترض أن نواة اليورانيوم الثقيلة هي عبارة عن قطرة سائل ، فعند إضافة نيوترون إلى القطرة تهتز بشكل عشوائي مما يجعل مساحتها تزداد، وبالتالي تتضاعل قوة التجاذب بين جزيئات السائل ثم تبدأ قوى كولوم التنافريّة بدفع الجزيئات بعيداً عن بعضها البعض وبالتالي يحدث الانشطار لقطرة السائل كما هو موضح في الشكل (١١-٨).

إن النواتج من الأنوبيّة التي تظهر بعد الانشطار والتي أسميناها x و y قد تأخذ ٣٠ احتمالاً أو زوجاً من الأنوبيّة، ومن النادر جداً أن تنشطر النواة إلى أكثر من نوatin ومن هذه الاحتمالات:





الوحدة الرابعة الفيزياء الذرية *Atomic Physics*

معلومة تهمك

التخصيب هو عملية فصل اليورانيوم $^{238}_{92}\text{U}$ من اليورانيوم $^{235}_{92}\text{U}$ ، ويتم بواسطة شبكة معدنة من الأنابيب وأجهزة الطرد المركزي للغاز. حيث يتم إدخال اليورانيوم $^{238}_{92}\text{U}$ داخل جهاز الطرد الذي يقوم بفصل اليورانيوم $^{238}_{92}\text{U}$ ، وتنكرر العملية حتى يتم الحصول على يورانيوم $^{235}_{92}\text{U}$ نقى، وقد تستغرق هذه العملية عدة أشهر أو سنوات.

كما توجد نواة عنصر آخر غير مستقرة وقابلة للانشطار بسهولة إذا قذفت ببروتون سريع، وهي نواة نظير عنصر البلوتونيوم $^{239}_{94}\text{Pu}$ الذي لا يوجد في الطبيعة ولكن يتم تصنيعه من خلال مفاعلات التوليد ، حيث يتم عرض نظير عنصر اليورانيوم $^{238}_{92}\text{U}$ لقاذف بروتونات فتحدث سلسلة من التفاعلات يتبعها نظير عنصر البلوتونيوم $^{239}_{94}\text{Pu}$. وتبين المعادلات التالية سلسلة التفاعلات التي تحدث.



و نظير البلوتونيوم هذا هو المادة المستخدمة في أغلب أسلحة الانشطار النووي في العالم، بالإضافة إلى اليورانيوم. أما طاقة الانشطار النووي فهي تنتج عن انشطار النواة الأصلية وتفكك قوى الترابط بين النيوكليونات، كما ذكرنا سابقاً وتعادل تقريراً (200 MeV) لليورانيوم $^{238}_{92}\text{U}$.

اختبار فهمك (٦):

بماذا يختلف الانشطار النووي عن الانحلال الاشعاعي؟

لمزيد من المعلومات قم بزيارة الموقع الإلكتروني التالية على الشبكة العالمية للاتصالات الدولية:

http://www.schoolarabia.net/fezia/nuclear/nuclear_fission/nuclear_1.htm

<http://hazemsakeek.com>

الوحدة الرابعة الفيزياء الذرية

Atomic Physics

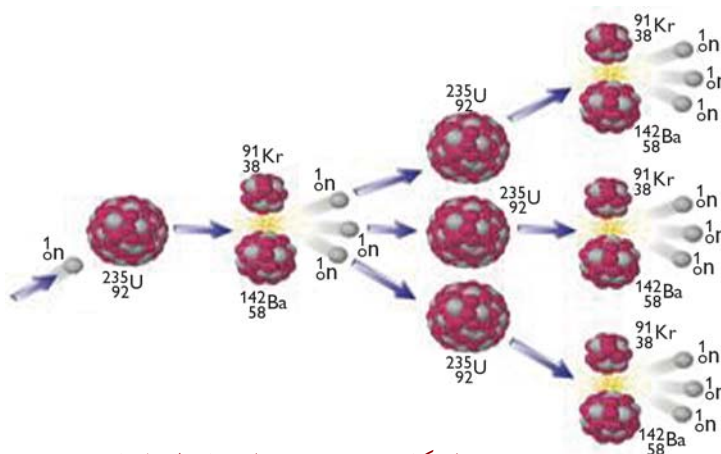
٧-٨

التفاعل المتسلسل

عند انشطار نواة ذرة اليورانيوم تنطلق من هذا الانشطار، بالإضافة إلى الأنوية الجديدة والطاقة الهائلة نيوترونات سريعة والتي بدورها يتم امتصاصها من قبل أنيون ذرات يورانيوم أخرى محدثة انشطارات أخرى. فإذا انطلقت ثلاثة نيوترونات من انشطار نظير اليورانيوم $^{236}_{92}\text{U}$ فإن كل نيوترون يذهب إلى نواة ذرة يورانيوم

$^{235}_{92}\text{U}$ ويحولها إلى نظير اليورانيوم $^{236}_{92}\text{U}$ ،

والذي ينشطر مطلقاً ثلاثة نيوترونات أخرى، وتستمر هذه العملية فيما يعرف بالتفاعل المتسلسل كما هو موضح في الشكل (١٢-٨)، ولا يتوقف هذا التفاعل إلى أن تنتهي كتلة اليورانيوم ، وكلما كانت سرعة النيوترونات بطيئة كانت احتمالية اصطدامها بأنوية اليورانيوم أكبر .



الشكل (١٢-٨) : التفاعل المتسلسل

الاستكشاف (٢) : تفاعل سلسلة قطع الدومنة

سؤال علمي : كيف يتم التفاعل المتسلسل لذرات عنصر اليورانيوم في الانشطار النووي؟

المواد والأدوات: 15 قطعة من قطع الدومنة – ساعة إيقاف.

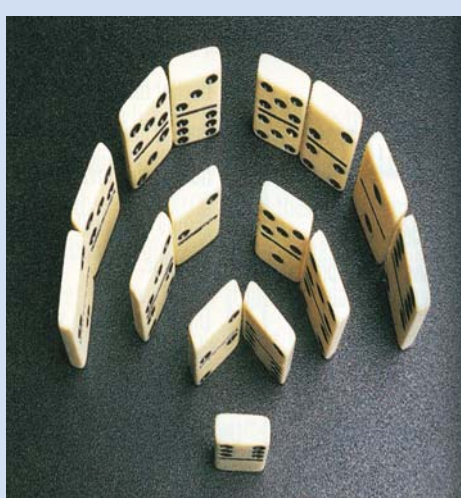
الإجراءات:

النموذج الأول:

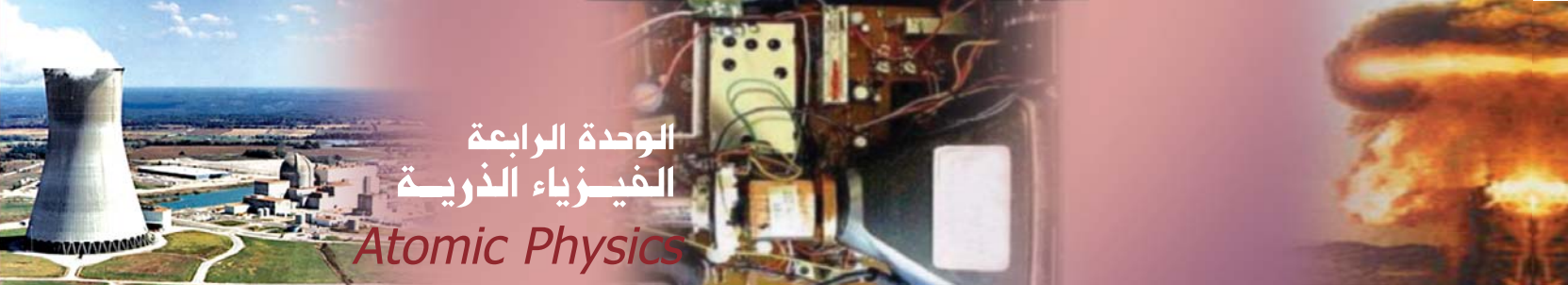
١- قم بترتيب القطع كما في الشكل (١٣-٨). بحيث تكون كل قطعة خلفها قطعتين ثم اسقط القطة الأمامية ولا حظ ما يحدث.

٢- احسب الزمن الذي تستغرقه قطع الدومنة لتسقط كلها. ابدأ بتشغيل الساعة عند إسقاط القطة الأولى وأوقفها عند سقوط آخر قطة.

٣- إذا لم تسقط كل القطع أعد الخطوات السابقة وتأكد من سقوطها جميعاً.



الشكل (١٣-٨)



الوحدة الرابعة الفيزياء الذرية *Atomic Physics*



الشكل (١٤-٨)

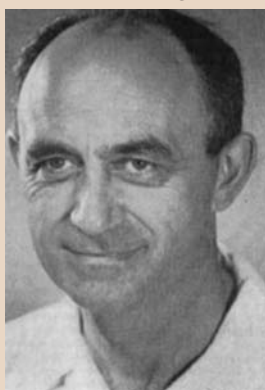
النموذج الثاني

- قم بترتيب القطع كما في الشكل (١٤-٨) بحيث تقوم قطعة الدومنة في الصف الأول بإسقاط قطعتي الدومنة في الصف الثاني، بينما تقوم قطعة واحدة من الصف الثاني بإسقاط القطعتين في الصف الثالث وهكذا.
- احسب الزمن الذي تستغرقه قطع الدومنة لتسقط كلها. ابدأ بتشغيل الساعة عند إسقاط القطعة الأولى وأوقفها عند سقوط آخر قطعة.
- إذا لم تسقط كل القطع أعد الخطوات السابقة وتأكد من سقوطها جميعاً.

معلومات تهمك:

في عام ١٩٣٨م فاز فيرمي بجائزة نوبل في الفيزياء، وبدلاً من العودة إلى إيطاليا واصل سفره إلى الولايات المتحدة ليحمل أستاداً وباحثاً في جامعة كولومبيا، وكانت فيرمي يحلم بإحداث انشطار نووي متسلسل وتغيير طاقة الذرة من خلال شطر أنوية العناصر الثقيلة وبخاصة اليورانيوم، واستطاعت الجامعة أن توفر له كميات كبيرة من اليورانيوم الخام من كندا والكونغو.

وبعد دراسات نظرية وحسابية مeticulous بالتعاون مع فريق من الباحثين والمساعدين استطاع فيرمي في عام ١٩٤٦م أن يتحقق أول نجاحاته بإحداث انشطار نووي متسلسل مستمر بقوّة ذاتيّة



باستخدام سبعة أطنان من اليورانيوم والجرافيت، والاعتماد على قضبان الكاديوم للسيطرة على التفاعل، وقد تم ذلك في أحد ملاعب الأسكواش المهجورة في جامعة شيكاغو.

التحليل والتفسير:

- أي نموذج يمثل تفاعل غير مسيطر عليه؟ وأيهما يمثل تفاعل مسيطر عليه؟
- تخيل أن كل قطعة دومنة تعطي طاقة في أثناء سقوطها. أي النماذجين يعطي طاقة أكبر؟
- بالمقارنة بالوقت المستغرق، أي النماذجين يحتاج لوقت أطول ليعطي طاقة؟ وأيهما يحتاج لوقت أقصر؟

Nuclear Reactor المفاعل النووي

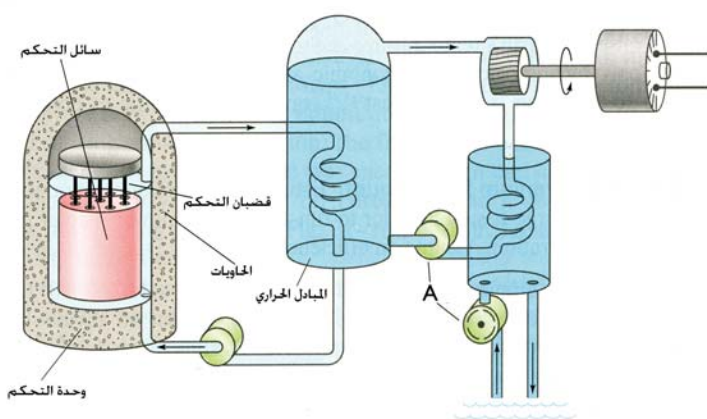
المفاعل النووي عبارة عن منشأة ضخمة يتم فيها السيطرة على عملية الانشطار النووي، حيث يتم توفير الظروف المناسبة لاستمرار عملية الانشطار النووي دون وقوع انفجارات في أثناء الانشطارات المتسلسلة.

ويستخدم المفاعل النووي لأغراض متعددة منها:

- إنتاج الطاقة الكهربائية.
- تصنيع الأسلحة النووية.
- تحلية المياه.

- إنتاج نظائر ذات فعالية اشعاعية.

تم بناء أول مفاعل نووي في العالم عام ١٩٤٢م وكان الغرض الرئيسي من هذا المفاعل هو تصنيع الأسلحة النووية. وفي عام ١٩٥١م وللمرة الأولى تم إنتاج الطاقة الكهربائية من مفاعل أيداهو *Idaho* في الولايات المتحدة. ويكون أي مفاعل نووي من الأجزاء التالية كما يوضحها الشكل (١٥-٨) :



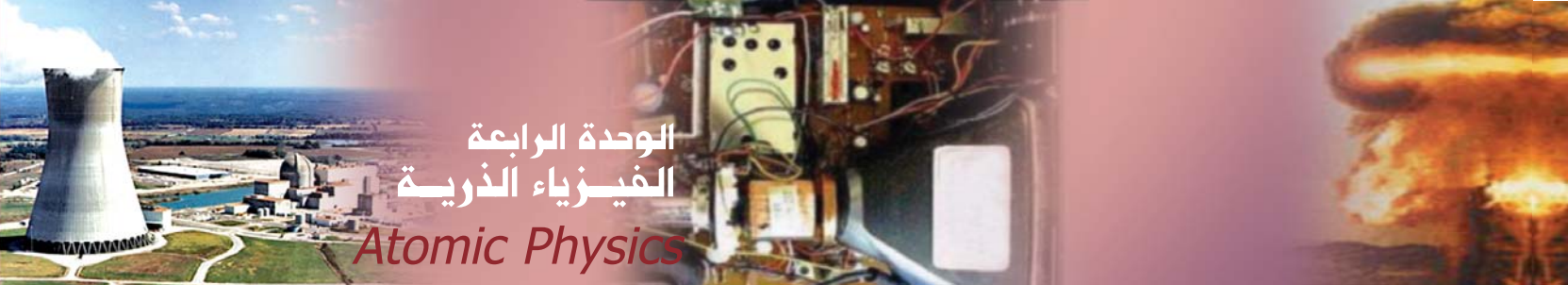
الشكل (١٥-٨) : تركيب المفاعل النووي

١ - وحدة التحكم : وهي عبارة عن قلب أو مركز المفاعل، وهو الجزء الذي تتم فيه سلسلة عمليات الإنشطار النووي ويحتوي على:

- **قضبان التحكم** : والتي عادة ما تكون من مادة البورون أو الكادميوم والتي لها القدرة الكبيرة على امتصاص النيوترونات، ولذلك تسمى بقضبان التحكم وتعمل على السيطرة على التفاعل المتسلسل الذي يحدث في قلب المفاعل.

- **سائل التحكم (المهد)**: ويستعمل الماء الثقيل عادة H_2O^2 أو الصوديوم المنصهر أو الجرافيت، وذلك لتهيئة النيوترونات الناتجة من الانشطار النووي، كما يعمل كواقي من الإشعاع المبعث من العملية.

- **الوقود النووي**: ويكون غالباً عنصر اليورانيوم U^{235}_{92} أو البلوتونيوم Pu^{239}_{94} . ويكون على شكل قضبان



الوحدة الرابعة الفيزياء الذرية *Atomic Physics*



الشكل (١٦-٨) : مفاعل نووي من الخارج

أسطوانية. ولكي يحدث التفاعل المتسلسل لا بد من أن تكون كتلة الوقود النووي مساوياً لكتلته معينة تسمى الكتلة الحرجة. والتي هي عبارة عن الحد الأدنى من كتلة مادة معينة كافية لتعطى سلسلة متغيرة من الانشطارات.

٢- **المبادل الحراري** : يتم فيه تبخير الماء بواسطة المهدئ الخارج من قلب المفاعل، ثم توجيه بخار الماء المضغوط إلى التوربينات التي تدیر المولدات الكهربائية.

٣- **حاويات**: تحيط بمركز المفاعل لمنع تسرب الإشعاعات الناتجة من الانشطار النووي.

و يوضح الشكل (١٦-٨) أحد المفاعلات النووية.

معلومات تهمك:

في فجر يوم ٢٦ أبريل ١٩٨٦م، تهشم صمام الأمان في قلب المفاعل رقم أربعة في محطة تشنوبيل الأوكرانية (قبيل انفجار الاتحاد السوفيتي وانفصال أوكرانيا عنه)، ثم تلا ذلك انفجارات دمرت مبنى المحطة، وتتصاعد عمود دخان شعاعي أسود لون السماء بلون أحمر، وانتشر في المنطقة، ثم امتد إلى عدد كبير من الدول الأوروبية والأفريقية والآسيوية، مسبباً أخطراً حادث نووي في التاريخ.

ويبدأ المفاعل النووي بالعمل عند إخراج قضبان التحكم بالتدريج من قلب المفاعل بواسطة محركات صغيرة، حيث يبدأ التفاعل المتسلسل وتنتج عنه كمية هائلة من الحرارة التي تعمل على تسخين مادة المهدئ والذي يندفع نحو المبادل الحراري. يسخن الماء العادي في المبادل الحراري ويتحول إلى بخار عالي الضغط ، الذي بدوره يندفع ليدير توربينات تحرّك لتوليد طاقة كهربائية.

الوحدة الرابعة الفيزياء الذرية *Atomic Physics*



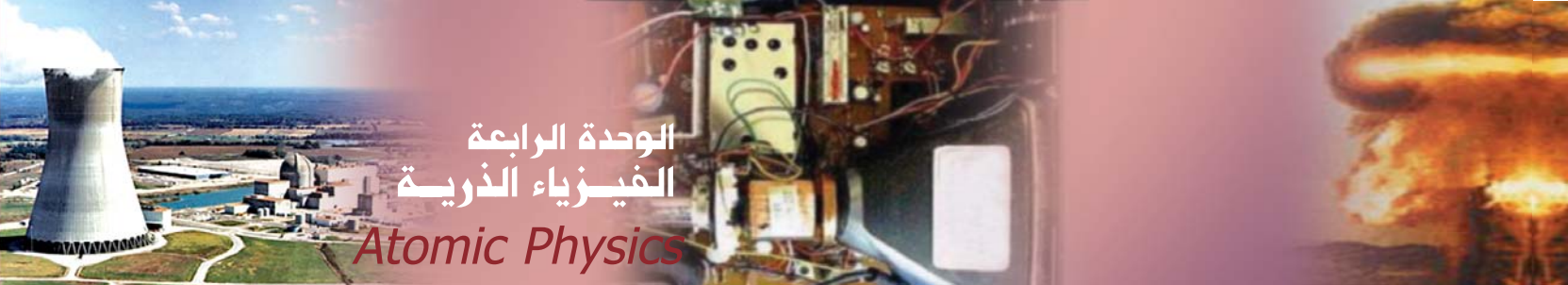
إن الطاقة العالية التي تنتج في قلب المفاعل بقدر قليل من الوقود المستخدم تجعل من المفاعلات النووية الحل الأمثل لإنتاج الطاقة والبدائل المناسبة لمواجهة مشكلة نفاد الطاقة الاحفورية. ولكن هناك مشكلة كبيرة وهي الإشعاعات الناتجة من التفاعل المتسلسل، ففي المفاعل يتم منع هذه التفاعلات عن طريق العازل الأسمتي، ولكن قد يحدث بعض التسريب نتيجة طول الفترة الزمنية التي يعمل خلالها المفاعل إلى جانب قلة الصيانة للمفاعل خصوصاً عند بعض الدول التي تمتلك المفاعلات النووية ولكنها لا تملك الخبرة أو الإمكانيات اللازمة لمحافظة على سلامة المفاعل وضمان عمله (الشكل ١٧-٨) : حادثة تشنوبيل كارثة هزت العالم بطريقة سلمية. وبالتالي قد تحدث كوارث بشرية وبيئية كبيرة مثلما حدث في مفاعل تشنوبيل عام ١٩٨٦م، كما يوضحه الشكل (١٧-٨).

اختبار فهمك (٧):

ماذا يحدث إذا تم إخراج جميع قضبان مادة التحكم من قلب المفاعل؟

تطبيقات حياتية

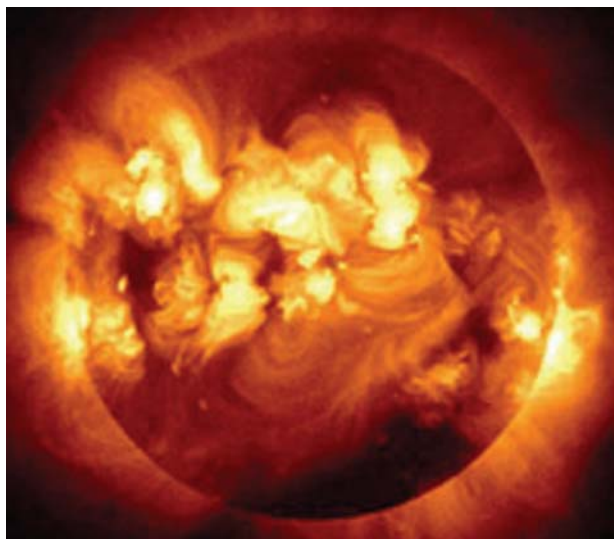
تستخدم المفاعلات النووية في إنتاج الطاقة الكهربائية، كما تستخدم في محطات الأبحاث العلمية التي تبعد عن المناطق التي توفر فيها الطاقة الكهربائية، وعوضنا عن استخدام مولدات дизيل تستخدم المفاعلات النووية.



الوحدة الرابعة الفيزياء الذرية *Atomic Physics*

٩-٨

الاندماج النووي *Nuclear Fusion*



الشكل (١٨-٨) : التفاعل داخل الشمس

علمت أن بعض الأنوية الثقيلة مثل اليورانيوم $^{235}_{92}\text{U}$ تنشرط إلى نواتين متوسطتين إذا قذفت بنيوترون بطيء ، وعلمت أن مثل هذا التفاعل يسمى الانشطار النووي . وإذا عكسنا هذا التفاعل أي دمج نواتين خفيفتين معًا لتكوين نواة أثقل فيسمى التفاعل في هذه الحالة بالإندماج النووي، ويعرف على أنه تفاعل نووي يحدث فيه اندماج للنوى الخفيفة كالهيدروجين لإنتاج نوى أثقل كالهيليوم وتحرير طاقة نووية كبيرة مصدرها نقص كتلة النواة الناتجة عن مجموع كتلتي النواعين المدمجتين معًا.

معلومات تهمك:

القنبلة الهيدروجينية تكتسب طاقتها من الاندماج النووي ، وهي في الواقع قنبلة ذرية محاطة بالديوتريوم . فعندما تنفجر القنبلة الداخلية تتولد حرارة هائلة تجعل أنوية الديوتريوم تندمج مطلقة طاقة كبيرة جدًا.

ويحدث الاندماج النووي في درجات حرارة عالية جدًا حتى تمتلك الأنوية طاقة حرارية عالية جدًا تمكنها من التغلب على قوى التناحر الكولومي بينها، وهذا النوع من التفاعلات يسمى أيضًا بالتفاعلات النووية الحرارية. ويحدث هذا التفاعل بشكل طبيعي في الشمس والنجوم كونها شديدة الحرارة، كما يوضحه الشكل (١٨-٨).

ويوجد نوعان أساسيان من تفاعلات الاندماج النووي هما:

- الاندماج النووي في دورة البروتون ^1_1H
- الاندماج النووي في دورة الكربون $^{12}_6\text{C}$

وستتعرف على النوع الأول فقط من هذه التفاعلات حيث تبدأ بتفاعل اندماج بين بروتونين لإنتاج نواة هيليوم حسب المعادلات التالية:

الوحدة الرابعة الفيزياء الذرية

Atomic Physics

١- اندماج بروتونين لتكوين الديوتيريوم وانطلاق بوزيترون و نيوترون



حيث ${}_{+1}^0\text{e}$ إلكترون موجب (بوزيترون) و ${}_{0}^0\nu$ نيوترون.

٢- يتفاعل الديوتيريوم ${}_{1}^2\text{H}$ بعد ذلك مع بروتون آخر لإنتاج نظير الهيليوم ${}_{1}^3\text{He}$ حسب المعادلة



٣- تندمج نوافتاً نظير الهيليوم ${}_{2}^3\text{He}$ مع بعضهما لإنتاج نواة الهيليوم ${}_{2}^4\text{He}$ وبروتونين



٤- يندمج البروتونان الناتجان لبدء دورة جديدة.
وتكتب المعادلة الكاملة للاندماج السابق لدورة البروتون كما يلي:



ولحساب الطاقة الناتجة عن هذا التفاعل، علينا أن نجد الفقد في الكتلة بين كتل النوى الداخلية في التفاعل وهي ${}_{+1}^0\text{e}$ وأنوية هيدروجين وكتلة النواة الناتجة وهي الهيليوم،

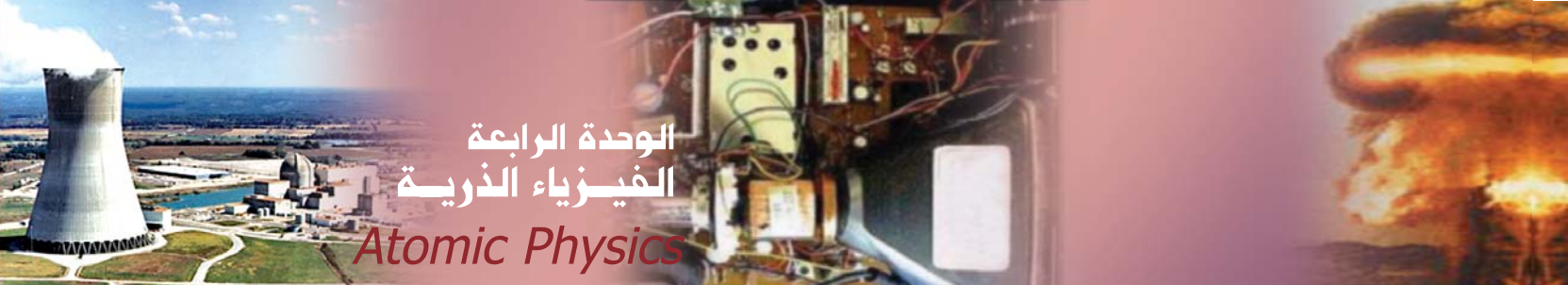
حيث كتلة الهيدروجين هي: $4 \times 1.007276 = 4.029104 \text{ u}$

وكتلة نواة الهيليوم هي: 4.0026 u

وبالتالي يكون فرق الكتلة هو: $4.029104 \text{ u} - 4.0026 \text{ u} = 0.0265 \text{ u}$

والطاقة المكافأة لهذه الكتلة هي: $(0.0276 \text{ u}) (931.494 \text{ MeV/u}) = 24.7 \text{ MeV}$

وقد يبدو للوهلة الأولى أن الاندماج النووي أسهل كثيراً من الانشطار النووي ، لأن الديوتيريوم موجود في الطبيعة ويمكن الحصول عليه بكميات وافرة بشمن رخيص ، إلا أن الحال ليس كذلك بسبب زيادة قوة التناصر



الوحدة الرابعة الفيزياء الذرية *Atomic Physics*

الكهربائية عند اقتراب النواتين من بعضهما البعض ولهذا السبب فإنه من أجل إحداث اندماج نووي لا بد من توفير الظروف التالية :

١. حصر الأنوية الخفيفة في حيز صغير جدًا لزيادة إمكانية تصادمهما والتحامهما معاً .
٢. زيادة الضغط الواقع على الأنوية الخفيفة بشكل كبير.
٣. رفع درجة حرارة الأنوية الخفيفة إلى $K = 7.6 \times 10^9$ ، وذلك لإكسابها طاقة حرارية عالية .

ويصعب توفير كل هذه الظروف ، حيث إنه لا يوجد إنسان يمكن أن يتحمل مادة درجة حرارتها عالية ومضغوطة بهذا الشكل ، لذلك كان من الصعب تحقيق الاندماجات النووية في المختبرات العلمية . ولكن المحاولات جارية لإيجاد نوى تندمج عند درجات حرارة أقل وربما يصبح الأمر ممكناً في القريب .

اختبار فهمك (٨) :

لماذا تكون نواتج الاندماج النووي أقل خطورة من نواتج الانشطار النووي؟

أسئلة الفعل

السؤال الأول: أختير الإجابة الصحيحة من بين البدائل المطروحة

١- كل ما يلي من خصائص القوى النووية ما عدا:

- بـ- قصيرة المدى
- أـ- قوى تجاذب
- جـ- لا تعتمد على شحنة جسيمات النواة
- دـ- قوى تنافر

٢- طاقة الربط النووي هي تلك الطاقة التي:

- بـ- تلزم لفصل مكونات النواة
- أـ- تحفظ الإلكترونات حول النواة
- دـ- تنطلق من النواة حين تتشطر
- جـ- تلزم لفصل الإلكترونات فصلاً تاماً

٣- متوسط طاقة الربط النووي للنيوكليون الواحد:

- بـ- أكبر لأنوية العناصر الخفيفة
- أـ- أكبر لأنوية العناصر الثقيلة
- دـ- متساوية لجميع أنوية العناصر
- جـ- أكبر لأنوية العناصر المتوسطة

٤- يتم تبطئة سرعة النيوترونات في المفاعل النووي بواسطة :

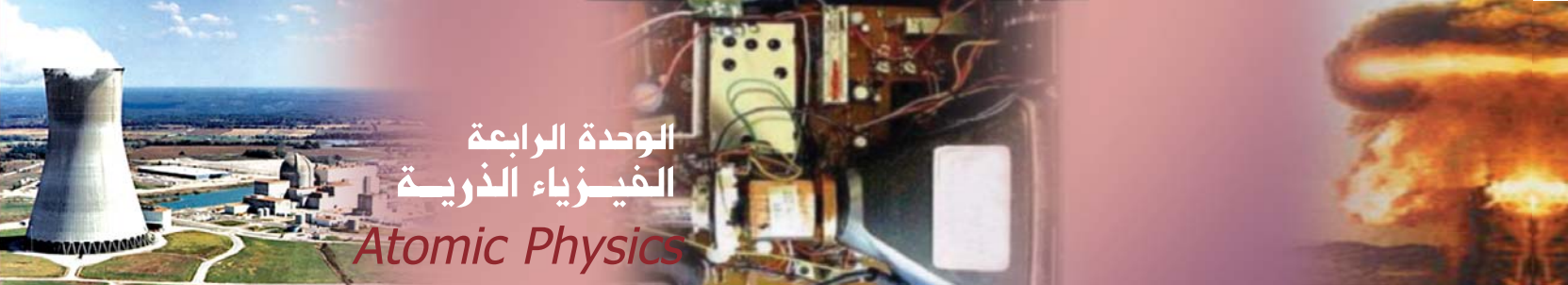
- بـ- اليورانيوم
- أـ- قضبان التحكم
- دـ- الماء الثقيل
- جـ- المبادر الحراري

٥- عند تحول نواة نظير عنصر الثوريوم $^{234}_{90}\text{Th}$ إلى نواة ذرة نظير عنصر البروتاكتنيوم $^{234}_{91}\text{Pa}$ يبعث منها:

- أـ- جسيم ألفا
- بـ- نيوترون
- جـ- جسيم بيتا
- دـ- بروتون

٦- إذا كانت طاقة الربط النووي لنواة الهيليوم $^{4}_{2}\text{He}$ يساوي 28 MeV فإن متوسط طاقة الربط النووي لها بوحدة MeV يساوي:

- دـ- 28
- جـ- 9
- بـ- 7
- أـ- 5



الوحدة الرابعة الفيزياء الذرية *Atomic Physics*

٧- تقترب أنوية العناصر الخفيفة من وضع الاستقرار بإشعاعها:

- أ- بوزيترون ب- أشعة جاما ج- جسيم ألفا د- إلكترون

٨- يستخدم في المفاعل النووي (الوقود النووي، مادة تعمل كمهديء، قضبان للتحكم في التفاعل) والمواد المستخدمة لذلك على الترتيب هي :

- أ- يورانيوم، كادميوم، جرافيت
ب- جرافيت، كادميوم، يورانيوم
ج- كادميوم، جرافيت، يورانيوم

٩- إذا كانت طاقة الربط النووي لأنوية ذرات العناصر التالية مقدرة بوحدة MeV كما يلي، فإن أكثر هذه الأنوية استقراراً هي النواة :-

| ${}_4^9 \text{Be}$ | ${}_6^{12} \text{C}$ | ${}_{19}^{39} \text{K}$ | ${}_2^4 \text{He}$ | العنصر |
|--------------------|----------------------|-------------------------|--------------------|-------------------|
| 56 | 79 | 196 | 28 | طاقة الربط النووي |
| د | ج | ب | أ | الإجابة |

١٠- إذا كانت كتلة نواة ذرة الليثيوم ${}_{3}^7 \text{Li}$ أقل بقدر 0.0042 عن مجموع كتل مكوناتها، فإن متوسط طاقة الربط النووي لها بوحدة MeV يساوي:

- أ- 0.0558 ب- 0.112 ج- 0.211 د- 0.558

١١- إذا كان عمر النصف لنظير عنصر الكوبالت ${}_{27}^{59} \text{Co}$ هو 5.3 yr فإن ما يتبقى من أنوية بعد مرور 21.2 yr هو :

- أ- $\frac{1}{2}$ ب- $\frac{1}{4}$ ج- $\frac{1}{8}$ د- $\frac{1}{16}$

الوحدة الرابعة الفيزياء الذرية

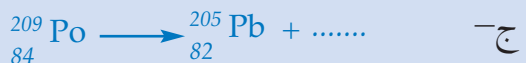
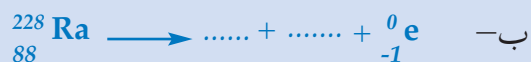
Atomic Physics

١٢ - أشعة جاما عبارة عن:

- أ- فوتونات ب- بروتونات ج- نيوترونات د- الكترونات

السؤال الثاني

١- أكمل المعادلات النووية التالية:



٢- قارن بين الانشطار النووي والاندماج النووي من حيث :

أ- الوقود المستعمل.

ب- الطاقة الناتجة .

ج- شرط حدوث الانفجار.

٣- يمثل الشكل المجاور العلاقة بين طاقة الربط النووي للكل نيوكليلون والعدد الكتلي لمجموعة من العناصر

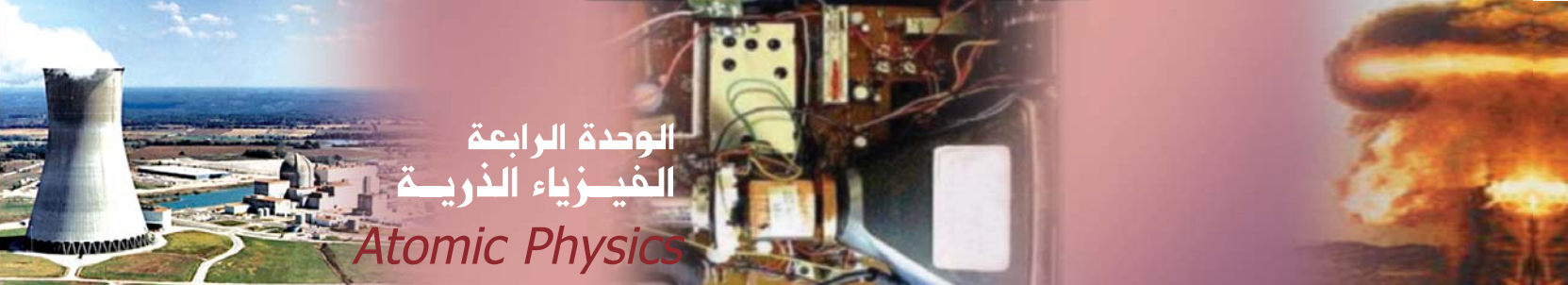


(W,X,Y,Z) اعتماداً على المنحنى . أجب عن الاسئلة التالية:

أ- أي هذه العناصر أكثر استقراراً؟ ولماذا؟

ب- أي هذه العناصر أكثر قابلية للانشطار؟ وأيها أكثر قابلية للاندماج عند إحداث تفاعل نووي؟

ج- احسب طاقة الربط النووي لنواة العنصر X؟

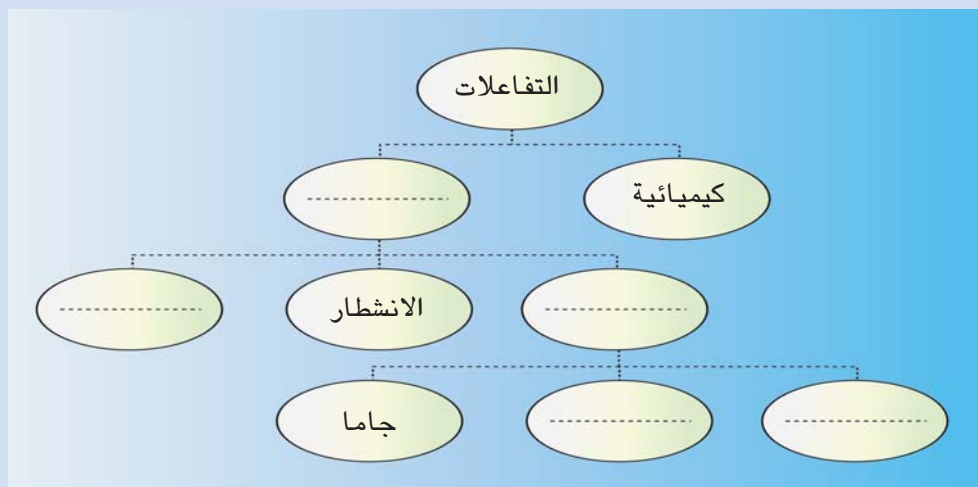


الوحدة الرابعة الفيزياء الذرية *Atomic Physics*

٤ - علل:

خروج طاقة عالية في التفاعل النووي.

٥ - باستخدام المعلومات التي درستها في هذا الفصل أكمل الشكل التالي :



٦ - أي الأنوية التالية تكون أكثر استقراراً :



٧ - إذ كان لديك كميات متساوية من عنصرين مشعين، عمر النصف لأحدهما قصير، وعمر النصف للعنصر الثاني طويل، أيهما أكثر نشاطية إشعاعية؟ فسر ذلك.

٨ - هل من الممكن التنبؤ بدقة عن كتلة النواة من خلال العدد الكتلي؟

٩ - نواة البريليوم ${}_{\text{4}}^{\text{8}} \text{Be}$ عند سلوكها نشاطاً إشعاعياً فإنها تنقسم إلى نصفين متساوين. ما النواة الناتجة؟ لماذا يعتبر هذا النوع من الإشعاع هو إشعاع ألفا؟

١٠ - ماذا يحدث إذا كانت طاقة الربط النووي تساوي صفر؟

١١ - لماذا تحتاج أنوية العناصر الثقيلة إلى مزيد من النيوترونات حتى تستقر؟

الوحدة الرابعة الفيزياء الذرية

Atomic Physics

السؤال الثالث: أجب عن الأسئلة الآتية:

١- في التفاعل النووي الآتي:

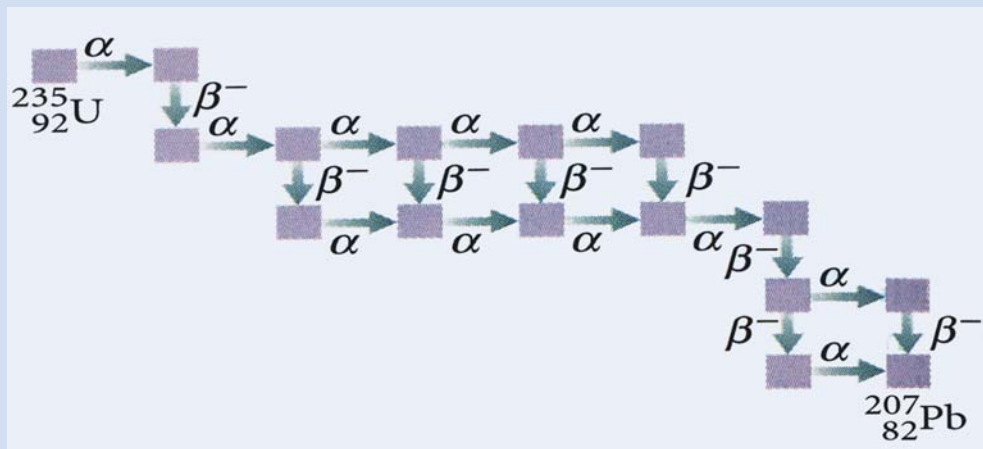


احسب الطاقة المترددة في هذا التفاعل بوحدة eV . اعتبر أن كلاً من كتل الجسيمات أو أنوية الذرات هي كما يلي:

$${}_{3}^{7}\text{Li} = 7.0182 \text{ u} \quad {}_{5}^{10}\text{Be} = 10.0160 \text{ u} \quad {}_{2}^{4}\text{He} = 4.0026 \text{ u} \quad {}_{0}^{1}\text{n} = 1.0087 \text{ u}$$

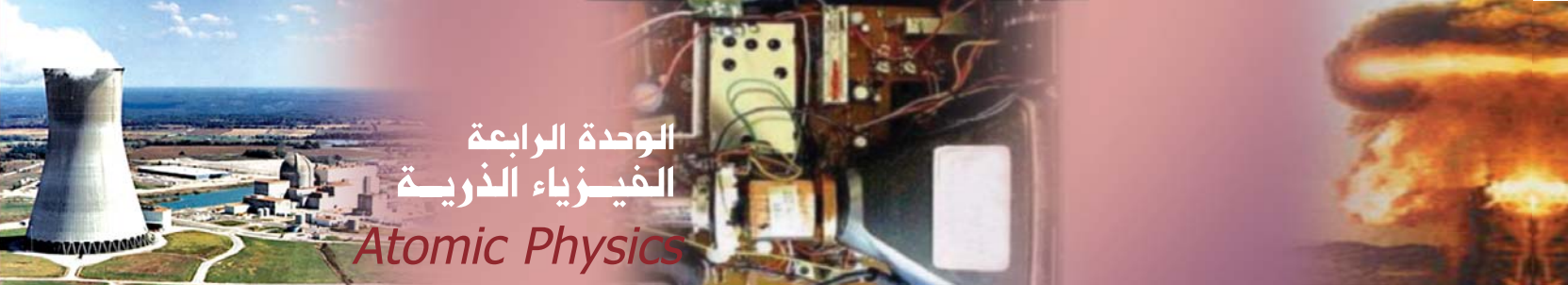
٢- احسب طاقة الربط النووي الكلية وطاقة الربط لكل نيوكليون في نواة عنصر الكالسيوم ${}_{20}^{40}\text{Ca}$ علماً أن الكتلة الذرية له 39.9625 u وكتلة البروتون 1.0078 u وكتلة النيوترون 1.0086 u .

٣- يوضح الشكل انحلال اليورانيوم ${}_{92}^{235}\text{U}$ إلى أن يصل للعنصر المستقر الرصاص ${}_{82}^{207}\text{Pb}$. ارسم الشكل ثم أكمل المربعات بالنظائر الناتجة من كل انحلال.



٤- ما العنصر الناتج من انحلال نظير عنصر البزموث ${}_{83}^{211}\text{Bi}$ عندما يطلق جسيم ألفا؟ اكتب معادلة الانحلال.

٥- عينة مشعة تحتوي على $10^5 \times 5.3 \text{ h}$ من الأنوية. وتنحل بمعدل إشعاعه واحدة كل 4.2 h .
أ- احسب ثابت الانحلال لهذه العينة.



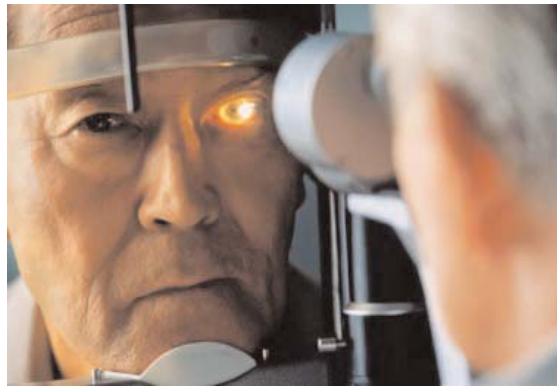
الوحدة الرابعة الفيزياء الذرية

Atomic Physics

ب- عمر النصف لها.

٦- إذا تولدت طاقة مقدارها $22.5 \times 10^{25} \text{ MeV}$ من تفاعل نووي فاحسب النقص في كتلة الوقود النووي ب u ؟

اختصاصي بصريات Optometrists



يتمثل عمل اختصاصي البصريات في تصحيح عيوب النظر باستخدام أجهزة بصرية مثل النظارات الطبية والعدسات اللاصقة، كما يقوم أيضاً بعلاج أمراض العين كالنزلول الأسود وتشخيص أمراض العين الناتجة من الأمراض الأخرى كمرض ضغط الدم ومرض السكري. يقوم اختصاصي البصريات بأخذ التاريخ الطبي للعين، ثم يستخدم المنشور والعدسات لتحديد العلاج المناسب للمرضى. وبعد سلسلة من الفحوصات يتم تشخيص المرض ووصف العلاج المناسب ، حيث يمكن أن يكون العلاج النظارات الطبية أو العدسات اللاصقة أو الدواء المناسب لمرض العين.

كما يقوم اختصاصي البصريات غالباً بتوفير الرعاية لمرضى النزلول الأبيض قبل وبعد إجراء العملية الجراحية وأيضاً للمرضى الذين يقومون بإجراء عمليات تصحيح النظر بالليزر والعمليات الجراحية الأخرى للعين.

في إصلاح الأجهزة الإلكترونية (جهاز التلفزيون)



تعتمد معظم أجهزة التلفزيون المستخدمة هذه الأيام على جهاز يسمى أنبوبة أشعة المهبط (CRT) لعرض الصور والذي يتكون من أنبوبة مفرغة من الهواء بها المهبط (cathode) يستعمل للدلالة على الطرف السالب والمصعد (anode) يستخدم للدلالة على الطرف الموجب والشعاع الإلكتروني والشاشة الفسفورية.

ويجب على فني إصلاح أجهزة التلفزيون أن يكون ملماً بهذا التركيب حتى يتمكن من معرفة الخلل المحدث في الجهاز وبالتالي أصلاحه .

عالم الآثار وتقدير عمر الحفريات



يعتمد عالم الآثار في عمله على سلسلة الإنحلالات الإشعاعية التي تحدث للكربون الموجود في جسم الكائن الحي المراد تقدير عمره والذي يدخل إليه عن طريق الأكل. حيث أنه كما هو معلوم يبدأ الكربون بالانحلال بعد وفاة الكائن حيث لا يتم تعويضه. ومن خلال مقارنة نسبة الكربون بنسبة الكربون الذي لا ينحل إنما يبقى ثابتاً يستطيع عالم الآثار تقدير عمر الحفريات .

قائمة المراجع

المراجع الأجنبية:

1. *Paul G.Hewitt, John Suchocki, Leslie A.Hewitt, Conceptual Physics Science-Exploration, 1st edition, Addison Wesley, San Francisco, 2003.*
2. *Alan Hirsch, David Martindale, Charles Stewart, Maurice Barry, Physics 12, Thomson Nelson, Canada, 2003.*
3. *Paul W. Zitzewitz, Ph.D., Physics Principles and problems, Glencoe McGraw-Hill, New York, 1999.*
4. *Charles Chew, Leong See Cheng, Comprehensive Physics For IGCCE Level science, 2nd edition, Times Media Private limited, Singapore, 2000.*
5. *Raymond A. Serway, Jerry S. Faughn, Holt Physics, Holt, Rinehart and Winston, New York, 1999.*
6. *Raymond A. Serway, Jerry S. Faughn, College Physics, 4th edition, Saunders college publishing, Fort Worth, 1995.*
7. *Tom Duncan, Advanced Physics, 4th edition, John Murray publishers, London, 1987.*
8. *H. D.Young, Physics, 8th edition , Addison Wesley, 1992.*
9. *Salters Horners , Advanced Physics AS, Heinemann,2000.*
10. *Jim Breithaupt, Understanding Physics for Advanced Level, Stanley Thornes, Forth edition, UK, 2000.*

قائمة المراجع

المراجع الأجنبية:

11. Tom Duncan, Heather Kennett, *IGCSE Physics*, Hodder Murray, 2002.
12. Charles Chew, Chow Siew Foong, Ho Boon Tiong, Education, 2007.
13. Ken Dobson and Martin Roberts, *Nelson Science Physics*, United Kingdom: Nelson Thornes, second edition, 2002.
14. Dobson, Grace and Lovett, *Physics*, London: Hyper Collins Publishers, second edition, 2002.
15. Douglas C. Giancoli, *Physics Principles with Applications*, sixth edition, Pearson education International, 2005.

المراجع العربية:

16. John Avison, *The World of Physics*, United Kingdom: Thomas Nelson and sons, second edition, 1989.
17. Holt Science & Technology Physical science, Holt, Rinehart and Winston, New York, 2001.
18. John D Cutnell, Kenneth W & Others Physics, USA1992.

قائمة المراجع

المراجع العربية:

١. أ. د. علي سالم، د. مجدي العشري، د. محمد عصمت فارس، *الفيزياء العملية*، جامعة التحدي، الطبعة الأولى ١٩٩٣ م، ليبيا.
٢. د. محمد الدبس وآخرون، *الموسوعة العلمية الشاملة* ، أكاديميا، بيروت لبنان، ٢٠٠٦ م.
٣. أحمد شفيق الخطيب، *الموسوعة العلمية الميسرة*، مكتبة لبنان، الطبعة الأولى ١٩٩٨ م.
٤. ف. بوش، *أساسيات الفيزياء*، الدار الدولية للنشر والتوزيع، الطبعة السادسة، ١٩٩٤ م.
٥. بوش ، *أساسيات الفيزياء* ، الدار الدولية للاستثمارات الثقافية ، ٢٠٠٥ .
٦. بوش، جيرد، *أساسيات الفيزياء*، الدار الدولية للاستثمارات الثقافية، الطبعة الأولى، مصر، ٢٠٠١ م.
٧. دز غاري ياسين القيسي، *أساسيات الميكانيكا و خواص المادة*، دار المسيرة، الطبعة الأولى، ٢٠٠٧ .
٨. *الفيزياء للصف العاشر*، المملكة الأردنية الهاشمية، وزارة التربية والتعليم، إدارة الكتب والمناهج الدراسية، الطبعة الأولى، ٢٠٠٦ م.
٩. *خواص المادة والحركة الموجية*، مطبعة كلية العلوم بجامعة بغداد، الطبعة الأولى ١٩٨٧ .
١٠. الدغمة محمد و المز وغي فرج، *أساسيات الكهرباء والمعناطيسية*، الكويت: مكتبة الفلاح للنشر والتوزيع، الطبعة الأولى، ٢٠٠٠ م.

تَحْمِيدُ اللَّهِ



www.moe.gov.om

عزيزي الطالب مطابقتك على الكتاب المدرسي هيئه حظارة

طام بـ ٦٤٧ موسى تحريرات وتأثیرات